



GOBIERNO
DE ESPAÑA

MINISTERIO
PARA LA TRANSICIÓN ECOLÓGICA
Y EL RETO DEMOGRÁFICO

CONFEDERACIÓN
HIDROGRÁFICA
DEL TAJO, O.A.



100
AÑOS
CONFEDERACIONES
HIDROGRÁFICAS
1926-2026



**INFORME DEL EPISODIO DE LLUVIAS
DEL 23 DE ENERO al 16 DE FEBRERO DE 2026**

SAIH TAJO

INFORME DEL EPISODIO DE LLUVIAS
23 DE ENERO al 16 DE FEBRERO DE 2026
AÑO HIDROLÓGICO 2025-2026

1.	INTRODUCCIÓN	4
2.	AVISOS Y PLANES AUTONÓMICOS	6
2.1.	AVISOS AEMET	6
2.2.	AVISOS EFAS.....	11
2.3.	AVISOS ES-ALERT A LA POBLACIÓN	16
2.4.	PLANES DE INUNDACIONES AUTONÓMICOS.....	16
2.5.	AVISOS SUPERACIÓN UMBRALES	18
3.	PREDICCIONES.....	21
3.1.	MAPAS DE PREDICCIONES – HARMONIE.....	21
3.2.	PREDICCIONES PROBABILÍSTICAS	23
3.3.	PREDICCIONES MODELOS ML	34
4.	DESCRIPCIÓN DEL EPISODIO	40
4.1.	BORRASCA INGRID.....	41
4.2.	BORRASCA JOSEPH	42
4.3.	BORRASCA KRISTIN	45
4.4.	BORRASCA LEONARDO	47
4.5.	BORRASCA MARTHA	48
4.6.	BORRASCA NILS.....	50
4.7.	BORRASCA ORIANA	51
5.	PRECIPITACIONES.....	53
5.1.	HIETOGRAMAS POR SISTEMAS	53
5.2.	PRECIPITACIÓN ACUMULADA DIARIA.....	59
5.3.	MAPAS DE PRECIPITACIÓN DIARIA	72
5.4.	MÁXIMOS REGISTROS PLUVIOMÉTRICOS	80
5.5.	PERCENTILES DE PRECIPITACIÓN POR SISTEMAS	82
6.	NIEVE.....	93
6.1.	SUBCUENCAS NIVALES	93
7.	RESPUESTA DE LOS CAUCES	95
7.1.	HIDROGRAMAS SISTEMA CABECERA	95
7.2.	HIDROGRAMAS SISTEMA TAJUÑA	100

7.3.	HIDROGRAMAS SISTEMA HENARES	103
7.4.	HIDROGRAMAS SISTEMA MADRID –JARAMA, MANZANARES Y GUADARRAMA.....	107
7.5.	HIDROGRAMAS ALBERCHE.....	120
7.6.	HIDROGRAMAS SISTEMA TAJO IZQUIERDA.	125
7.7.	HIDROGRAMAS SISTEMA TIÉTAR.....	132
7.8.	HIDROGRAMAS SISTEMA ALAGÓN.....	137
7.9.	HIDROGRAMAS SISTEMA ÁRRAGO	151
7.10.	HIDROGRAMAS SISTEMA BAJO TAJO.....	154
8.	GESTIÓN DE EMBALSES	158
8.1.	PRESAS SISTEMA CABECERA.....	158
8.2.	PRESAS SISTEMA HENARES	160
8.3.	PRESAS SISTEMA MADRID	162
8.4.	PRESAS SISTEMA ALBERCHE.....	165
8.5.	PRESAS SISTEMA TAJO IZQUIERDA.....	168
8.6.	PRESAS SISTEMA TIETAR	170
8.7.	PRESAS SISTEMA ALAGÓN	172
8.8.	PRESAS SISTEMA ÁRRAGO.....	174
8.9.	PRESAS SISTEMA BAJO TAJO.....	176
9.	ACTIVACIÓN DE ESCENARIOS DE PLANES EMERGENCIA (PEP)	182
9.1.	PRESAS TITULARIDAD ESTATAL.....	182
9.2.	PRESAS TITULARIDAD NO ESTATAL	182
10.	EMBALSES: CAUDALES MÁXIMOS - VOLÚMENES ALMACENADOS.....	184
11.	IMÁGENES SATÉLITE ZONAS MÁS AFECTADAS.....	190
11.1.	IMÁGEN SATELITE CORIA.....	192
11.2.	IMÁGEN SATELITE TIÉTAR.....	195
11.3.	IMÁGEN SATÉLITE ALBERCHE	197
12.	COMUNICACIONES CON PORTUGAL	201
13.	REUNIONES CON ORGANOS DE PROTECCIÓN CIVIL	202
13.1.	REUNIONES UVR	202
13.2.	REUNIONES CON LAS CCAA	202

ANEXOS:

ANEXO I. UBICACIÓN ESTACIONES DE PLUVIOMETRÍA.

ANEXO II. COMUNICACIÓN ESCENARIOS PRESAS.

ANEXO III. RELACIÓN COMUNICACIÓN APA.

ANEXO IV. RELACIÓN REUNIONES PROTECCIÓN CIVIL.

1. INTRODUCCIÓN

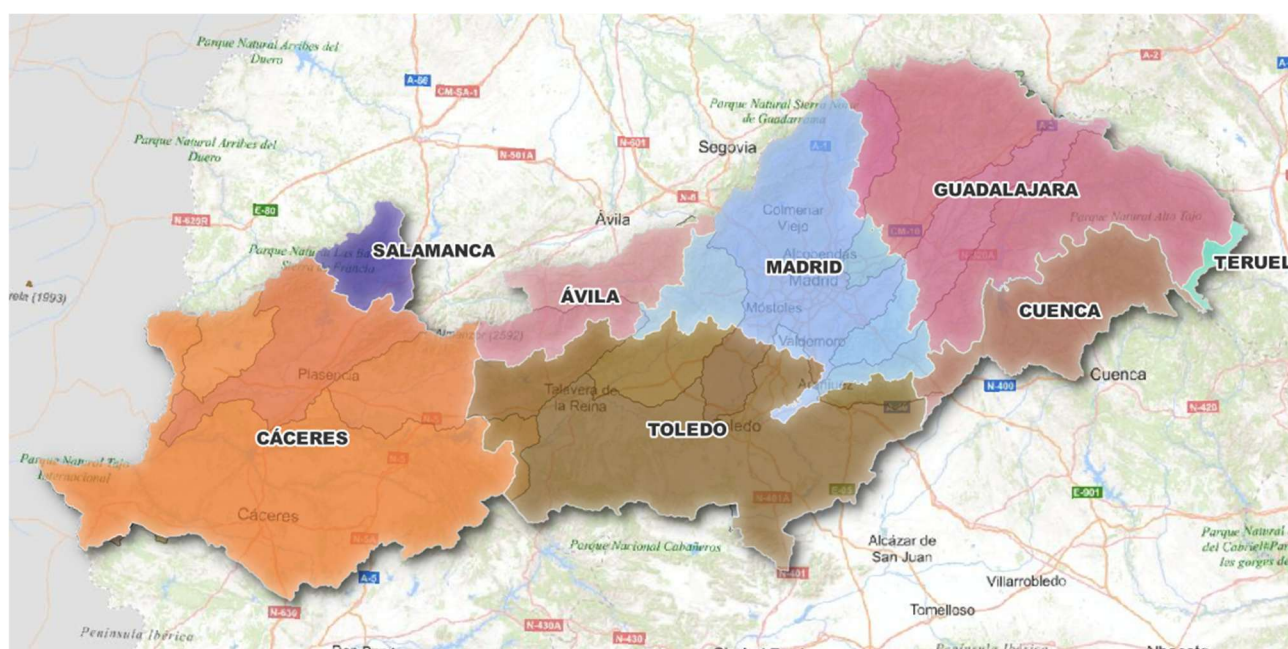
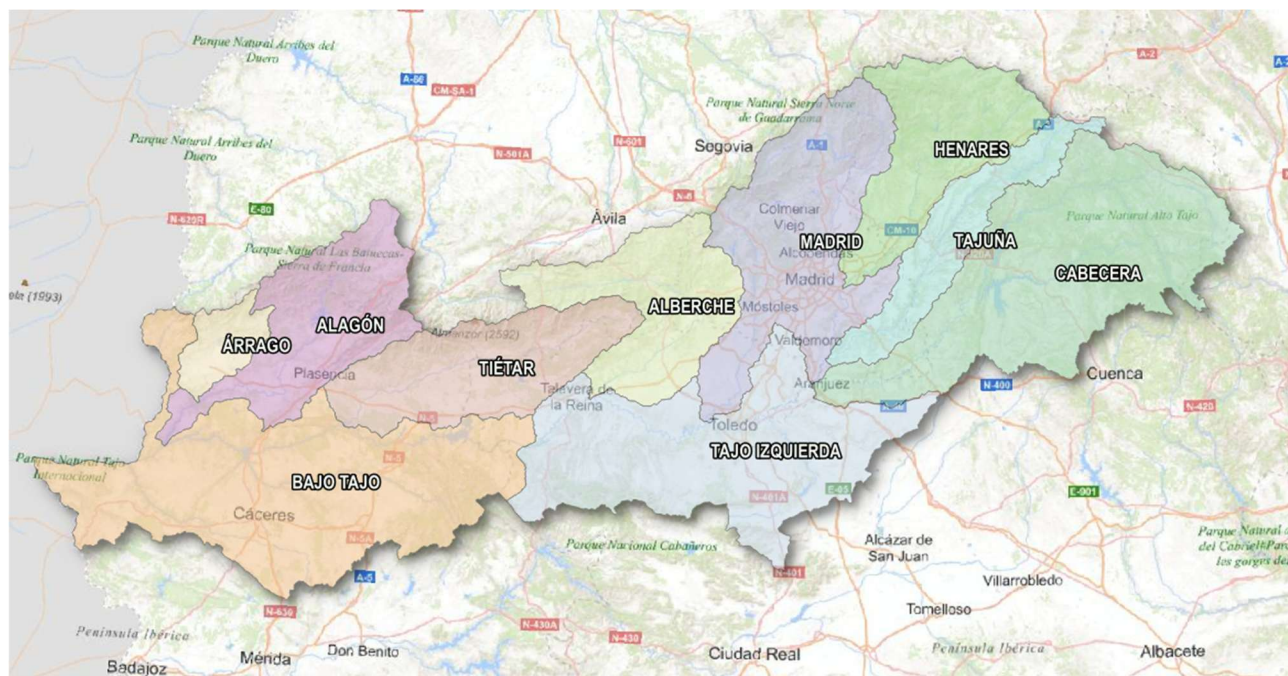
Se describe en el presente documento los episodios de avenidas consecutivas, ocasionados por la evolución de una cadena de borrascas que comenzó el día 21 de enero de 2026 con la borrasca Ingrid y se da por finalizados el día 16 de febrero de 2026 tras el paso de la borrasca Oriana. Las borrascas intermedias fueron denominadas Joseph, Kristin, Leonardo, Marta y Nils.

Las borrascas que más han afectado a nuestra demarcación han sido Joseph, Kristin, Leonardo, Marta y Oriana.

Las lluvias registradas no han sido, en general, de gran intensidad, pero sí continuadas en el tiempo durante más de 3 semanas. Las respuestas en los cauces y los caudales de entrada a los embalses han propiciado que hayan sido necesarias maniobras de desembalses simultáneas y planificadas en varias de las subcuencas.

Los sistemas más afectados en este episodio fueron Alagón, Árrago, Tiétar y Tajo Bajo. Se han producido también lluvias constantes, de menor entidad, junto con episodios de deshielo en los sistemas Madrid, Henares, Alberche y Cabecera. Han sido alcanzados máximos históricos de agua almacenada para un mes de enero en varios sistemas de la cuenca.

En las siguientes imágenes se presentan los subsistemas de la demarcación y las provincias en los que están contenidos:

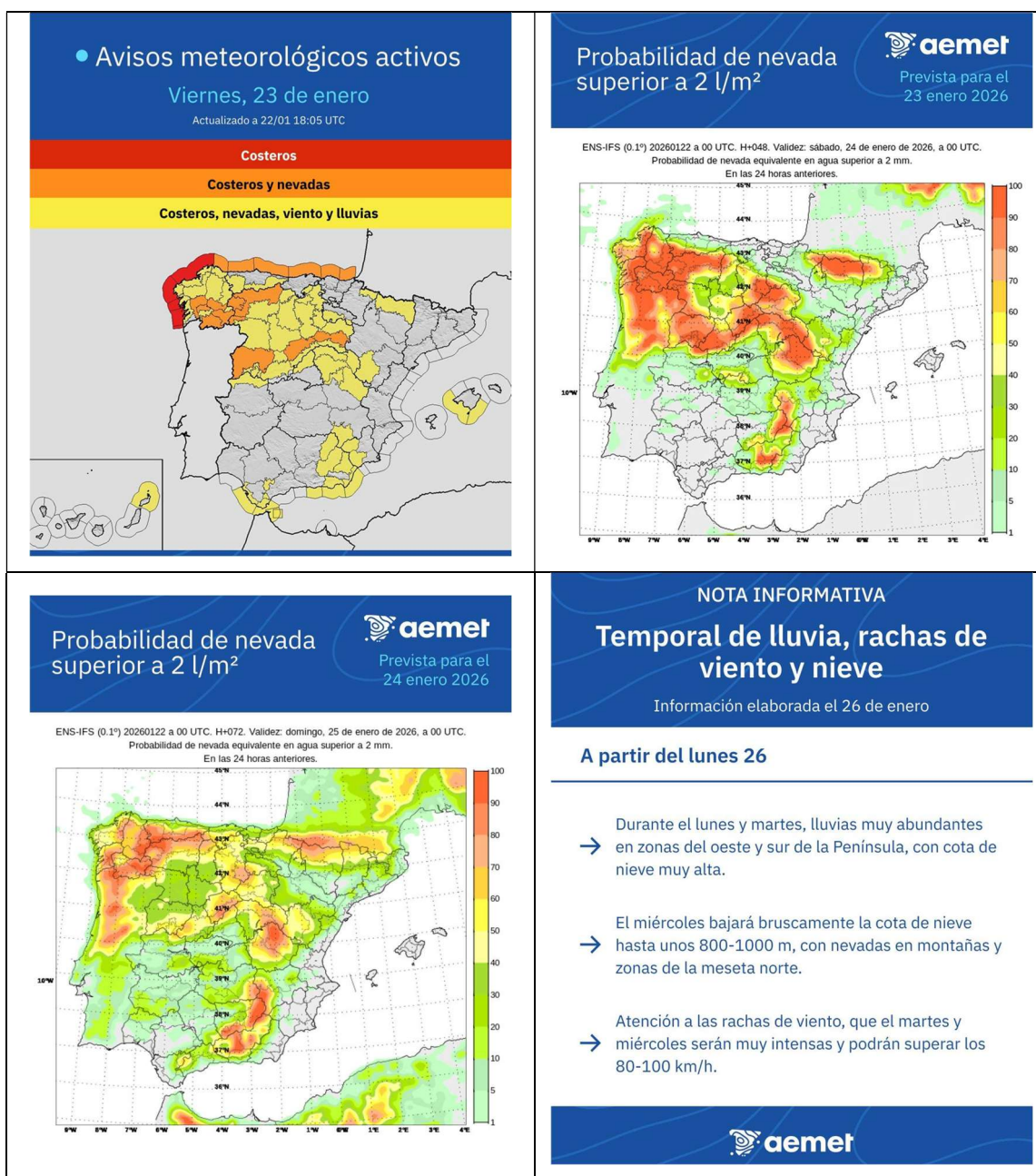


A continuación, se pasa a detallar y analizar todos los aspectos relevantes de este evento.

2. AVISOS Y PLANES AUTONÓMICOS

2.1. AVISOS AEMET

Antes de la llegada de cada una de las borrascas, la Agencia Estatal de Meteorología fue activando avisos de diversa índole en su página web. Se adjunta a continuación alguno de los mapas y avisos especiales publicados para cada borrasca.



⚠️ Aviso Especial

Viento, temporal marítimo, lluvia y nieve

Información elaborada el 27 de enero

📍 Península y Baleares

🕒 Del martes 27 al jueves 29 de enero

- ➔ El miércoles 28 será el día más adverso por el paso de la pequeña, pero profunda, borrasca Kristin.
- ➔ Nevadas en cotas bajas del norte peninsular, con mayor impacto en Castilla y León.
- ➔ Vientos muy fuertes en la mayor parte de la Península y Baleares, con rachas huracanadas en el sureste.

• Avisos meteorológicos activos

Martes, 27 de enero
Actualizado a 26/01 18:54 UTC

Lluvias

Lluvias, costeros, viento

Lluvias, costeros, viento, nevadas, aludes y deshielos

• Avisos meteorológicos activos

Miércoles, 28 de enero
Actualizado a 27/1 12:18 UTC

Viento, nevadas, lluvias y costeros

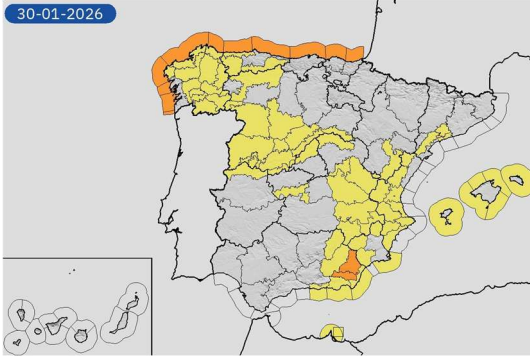
Viento, nevadas, lluvias y costeros

Probabilidad de nevada superior a 2 l/m²

Prevista para el 28 enero 2026

ENS-IFS (0.1°) 20260127 a 00 UTC. H+048. Validez: Jueves, 29 de enero de 2026, a 00 UTC. Probabilidad de nevada equivalente en agua superior a 2 mm. En las 24 horas anteriores.

30-01-2026



Aviso Especial

Lluvias intensas y extraordinariamente persistentes

Información elaborada el 2 de febrero



Tercio sur peninsular y puntos del oeste



Desde el miércoles 4 hasta, al menos, el jueves 5

- La borrasca Leonardo, junto con aire muy húmedo, provocará lluvias abundantes y extraordinariamente persistentes.
- Serán especialmente significativas en puntos de las provincias de Cádiz y Málaga.
- Los suelos ya tienen mucha humedad y las nuevas lluvias pueden provocar crecidas e inundaciones.



Aviso Especial

Temporal atlántico

Información elaborada el 3 de febrero



Península, excepto cuadrante nordeste

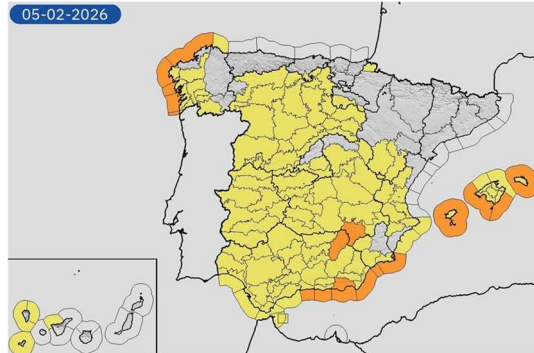


Desde el miércoles 4 hasta, al menos, el sábado 7

- La borrasca Leonardo arrastrará una masa de aire muy húmedo, que provocará lluvias muy abundantes, especialmente en Andalucía.
- Los suelos están ya muy saturados. Las nuevas lluvias pueden provocar inundaciones, desbordamientos de cauces y deslizamientos de tierra.
- El jueves se esperan rachas muy fuertes de viento en amplias zonas, con posibles caídas de ramas, árboles y objetos situados en zonas elevadas.



05-02-2026



Asimismo, se publicaron estos avisos en sus redes sociales, alertando a la población de la intensidad de las extraordinariamente persistentes precipitaciones, de las nevadas previstas y de las fuertes rachas de viento.

En el centro de control de cuenca SAIH se recibieron diferentes avisos de nivel amarillo, naranja y rojo procedentes de la Agencia Estatal de Meteorología, que afectaban a casi todas las provincias que abarca la cuenca del río Tajo, y que alertaban fundamentalmente sobre fenómenos de lluvia, nieve, deshielo y viento.

Se adjuntan algunos ejemplos de los avisos recibidos durante los eventos:

AGENCIA ESTATAL DE METEOROLOGÍA
BOLETÍN DE FENÓMENOS ADVERSOS DE NIVEL AMARILLO
BOLETÍN NÚMERO 164/ECA_E_C_AM_TT
EMITIDO A LAS 08:59 HORA OFICIAL DEL 23/01/2026
VÁLIDO HASTA LAS 00:00 HORA OFICIAL DEL 24/01/2026

C. AUTÓNOMA: EXTREMADURA.

FENÓMENOS PREVISTOS

Fenómeno(1) - Nevadas.

Acumulación de nieve en 24 horas: 10 cm.

Nivel: amarillo.

Ámbito geográfico: Cáceres (Norte).

Hora de comienzo: 00:00 hora oficial del 23/01/2026.

Hora de finalización: 00:00 hora oficial del 24/01/2026.

Probabilidad: 40%-70%.

Comentario: Serán mas frecuentes en la segunda mitad del día. Acumulaciones por encima inicialmente de 1200 metros y durante el día por encima de 900 a 1000, y por la noche por encima de 700. Probabilidad de ventiscas.

C. AUTÓNOMA: CASTILLA Y LEÓN.

FENÓMENOS PREVISTOS

Fenómeno(1) - Nevadas.

Acumulación de nieve en 24 horas: 10 cm.

Nivel: amarillo.

Ámbito geográfico: Ávila (Sistema Central); Burgos (Ibérica);

Palencia (Cordillera Cantábrica); Salamanca (Sistema Central);

Segovia (Sistema Central); Soria (Ibérica, Sistema Central).

Hora de comienzo: 08:00 hora oficial del 23/01/2026.

Hora de finalización: 00:00 hora oficial del 24/01/2026.

Probabilidad: 40%-70%.

Comentario: Acumulaciones por encima inicialmente de 1200 metros y durante el día por encima de 900, y por la noche en cualquier cota. Probabilidad de ventiscas.

C. AUTÓNOMA: CASTILLA - LA MANCHA.

FENÓMENOS PREVISTOS

Fenómeno(1) - Nevadas.

Acumulación de nieve en 24 horas: 4 cm.

Nivel: amarillo.

Ámbito geográfico: Cuenca (Alcarria conquense); Guadalajara (Alcarria).

Hora de comienzo: 10:00 hora oficial del 23/01/2026.

Hora de finalización: 00:00 hora oficial del 24/01/2026.

Probabilidad: 40%-70%.

Comentario: Los mayores acumulados se darán por encima de 1000 metros, con una cota de nieve situada en torno a 900 metros que, temporalmente podría descender hasta 700 metros.,.

Fenómeno(2) - Nevadas.

Acumulación de nieve en 24 horas: 10 cm.

Nivel: amarillo.

Ámbito geográfico: Cuenca (Serranía); Guadalajara (Serranía, Parameras de Molina).

Hora de comienzo: 10:00 hora oficial del 23/01/2026.

Hora de finalización: 00:00 hora oficial del 24/01/2026.

Probabilidad: 40%-70%.

Comentario: Los mayores acumulados se darán por encima de 1000 metros, con una cota de nieve situada en torno a 900 metros aunque, temporalmente, podría nevar a cualquier cota.

C. AUTÓNOMA: COMUNIDAD DE MADRID.

FENÓMENOS PREVISTOS

Fenómeno(1) - Nevadas.

Acumulación de nieve en 24 horas: 10 cm.

Nivel: amarillo.

Ámbito geográfico: Madrid (Sierra).

Hora de comienzo: 06:00 hora oficial del 23/01/2026.

Hora de finalización: 00:00 hora oficial del 24/01/2026.

Probabilidad: 40%-70%.

Comentario: Los mayores acumulados se darán por encima de 1000 metros, con una cota de nieve situada en torno a 900 metros que, temporalmente, podría descender hasta los 700 metros.,.

C. AUTÓNOMA: CASTILLA Y LEÓN.

FENÓMENOS PREVISTOS

Fenómeno(2) - Nevadas.
Acumulación de nieve en 24 horas: 10 cm.
Nivel: amarillo.
Ámbito geográfico: Ávila (Sistema Central); León (Cordillera Cantábrica); Palencia (Cordillera Cantábrica); Segovia (Sistema Central); Zamora (Sanabria).
Hora de comienzo: 00:00 hora oficial del 28/01/2026.
Hora de finalización: 18:00 hora oficial del 28/01/2026.
Probabilidad: 40%-70%.
Comentario: Acumulados a partir de 1000 metros.

Fenómeno(3) - Nevadas.
Acumulación de nieve en 24 horas: 10 cm.
Nivel: amarillo.
Ámbito geográfico: Salamanca (Sistema Central).
Hora de comienzo: 00:00 hora oficial del 28/01/2026.
Hora de finalización: 12:00 hora oficial del 28/01/2026.
Probabilidad: 40%-70%.
Comentario: Acumulados a partir de 1000 metros.

C. AUTÓNOMA: CASTILLA - LA MANCHA.

FENÓMENOS PREVISTOS

Fenómeno(3) - Nevadas.
Acumulación de nieve en 24 horas: 5 cm.
Nivel: amarillo.
Ámbito geográfico: Cuenca (Serranía); Guadalajara (Parameras de Molina).
Hora de comienzo: 00:00 hora oficial del 28/01/2026.
Hora de finalización: 18:00 hora oficial del 28/01/2026.
Probabilidad: 40%-70%.
Comentario: Se esperan estos acumulados por encima de 1000 metros.

Fenómeno(4) - Nevadas.
Acumulación de nieve en 24 horas: 15 cm.
Nivel: amarillo.
Ámbito geográfico: Guadalajara (Serranía).
Hora de comienzo: 00:00 hora oficial del 28/01/2026.
Hora de finalización: 18:00 hora oficial del 28/01/2026.
Probabilidad: 40%-70%.
Comentario: Se esperan estos acumulados por encima de 1000 metros.

Fenómeno(10) - Vientos.
Rachas máximas: 70 km/h.
Nivel: amarillo.
Ámbito geográfico: Cuenca (Alcarria conquense); Guadalajara (Alcarria).
Hora de comienzo: 06:00 hora oficial del 28/01/2026.
Hora de finalización: 20:00 hora oficial del 28/01/2026.
Probabilidad: 40%-70%.
Comentario: Viento de componente oeste.

Fenómeno(11) - Vientos.
Rachas máximas: 80 km/h.
Nivel: amarillo.
Ámbito geográfico: Cuenca (Serranía); Guadalajara (Serranía, Parameras de Molina).
Hora de comienzo: 06:00 hora oficial del 28/01/2026.
Hora de finalización: 20:00 hora oficial del 28/01/2026.
Probabilidad: 40%-70%.
Comentario: Viento de componente oeste.

C. AUTÓNOMA: COMUNIDAD DE MADRID.

FENÓMENOS PREVISTOS

Fenómeno(1) - Nevadas.
Acumulación de nieve en 24 horas: 15 cm.
Nivel: amarillo.
Ámbito geográfico: Madrid (Sierra).
Hora de comienzo: 00:00 hora oficial del 28/01/2026.
Hora de finalización: 18:00 hora oficial del 28/01/2026.
Probabilidad: 40%-70%.
Comentario: Se esperan estos acumulados por encima de 1000 metros.

Fenómeno(2) - Nevadas.
Acumulación de nieve en 24 horas: 2 cm.
Nivel: amarillo.
Ámbito geográfico: Madrid (Metropolitana y Henares).
Hora de comienzo: 06:00 hora oficial del 28/01/2026.
Hora de finalización: 12:00 hora oficial del 28/01/2026.
Probabilidad: 10%-40%.
Comentario: Acumulaciones sobre los 600-700 metros. Afectará más a la parte norte y este de la zona. Aviso de baja probabilidad.

Fenómeno(3) - Vientos.
Rachas máximas: 80 km/h.
Nivel: amarillo.
Ámbito geográfico: Madrid (Sierra).
Hora de comienzo: 06:00 hora oficial del 28/01/2026.
Hora de finalización: 18:00 hora oficial del 28/01/2026.
Probabilidad: 40%-70%.
Comentario: Viento de componente oeste.

Fenómeno(4) - Vientos.
Rachas máximas: 70 km/h.
Nivel: amarillo.
Ámbito geográfico: Madrid (Metropolitana y Henares, Sur, Vegas y Oeste).
Hora de comienzo: 06:00 hora oficial del 28/01/2026.
Hora de finalización: 18:00 hora oficial del 28/01/2026.
Probabilidad: 40%-70%.
Comentario: Viento de componente oeste.

C. AUTÓNOMA: EXTREMADURA.

FENÓMENOS PREVISTOS

Fenómeno(1) - Nevadas.
Acumulación de nieve en 24 horas: 5 cm.
Nivel: amarillo.
Ámbito geográfico: Cáceres (Norte).
Hora de comienzo: 03:00 hora oficial del 28/01/2026.
Hora de finalización: 18:00 hora oficial del 28/01/2026.
Probabilidad: 40%-70%.
Comentario: Acumulaciones de nieve por encima de 600 metros.

2.2. AVISOS EFAS

El proyecto EFAS se trata de un sistema de ámbito pan-europeo, cuyo objetivo es, generar alertas tempranas de inundaciones, basándose en múltiples predicciones meteorológicas, que permiten al modelo hidrológico, desarrollado por EFAS, proporcionar alertas tempranas de inundaciones, que se actualizan dos veces al día, con diferentes resoluciones espaciales y temporales. Desde 2013 la Confederación Hidrográfica del Tajo colabora estrechamente mediante intercambio de información, lo que permite al personal del SAIH acceder a predicciones deterministas y probabilísticas tanto a nivel meteorológico como hidrológico.

Para los eventos que son objeto de estudio en el presente documento, se analizó la siguiente información:

2.2.1. Notificaciones

A partir del 22/01/2026 se fueron recibiendo avisos para los distintos subsistemas. Se muestra a continuación un ejemplo de notificación.

EFAS Formal Flood Notification

Country(ies): **Spain**
River(s): **Tiétar (Tagus/Tejo)**
Predicted start of event: **Tuesday, 27th of January 2026 - 06:00**
Earliest predicted peak: **Tuesday, 27th of January 2026 - 12:00**
Total probability to exceed a 5-year return period threshold: **55 %**
Total probability to exceed a 20-year return period threshold: **10 %**
Forecast date: **2026-01-23 12 UTC**
Comment: -

This is the only notification you will receive for this event! Please follow the evolution of the event on [EFAS](#).

EFAS FORECASTER ON DUTY

Maarten Smoorenburg
Institute: Rijkswaterstaat Water Management Center for the Netherlands (RWS) /
Deltares Department Operational Water Management
email: info@efas.eu

Note: An EFAS Notification is valid for the upstream and downstream river stretch of the same name that exceeds the 50% total probability threshold shown in the flood probability layer in the same country.

LEAVE A FEEDBACK FOR THIS NOTIFICATION

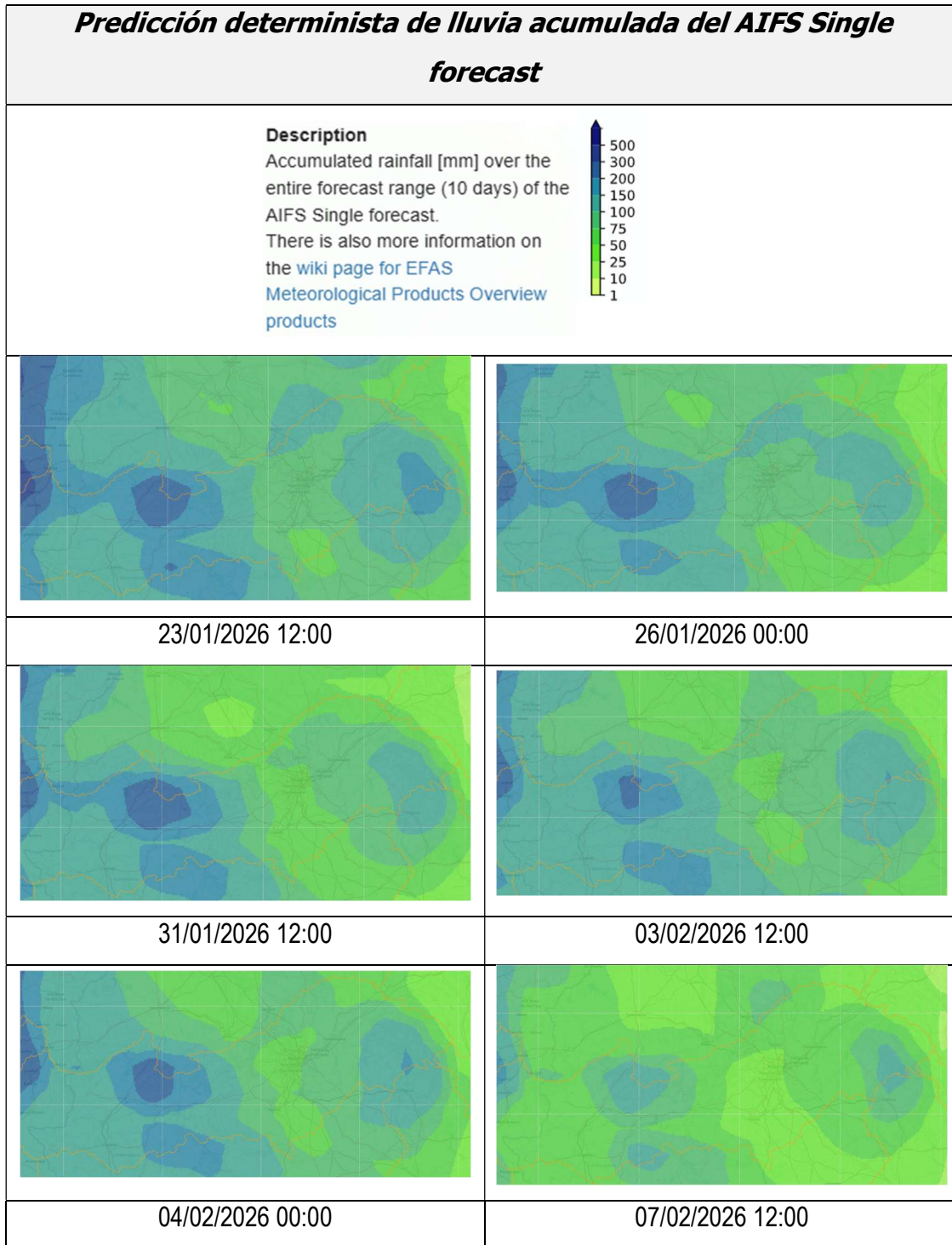
Notificación Formal Flood EFAS – 24/01/2026

Se resume en la siguiente tabla todas las notificaciones recibidas con la información principal que incluían.

BORRASCA JOSEPH (PROVINCIAS)					
Country(ies)	Administration Region(s)	Likely start of event	Probability to exceed a 5-year return period threshold	Probability to exceed a 20-year return period threshold	Forecast date
Spain	Toledo	27/01/2026 06:00	90%	35%	25/01/2026 12:00
Spain	Cáceres	27/01/2026 06:00	81%	12%	25/01/2026 12:00
BORRASCA LEONARDO (PROVINCIAS)					
Country(ies)	Administration Region(s)	Likely start of event	Probability to exceed a 5-year return period threshold	Probability to exceed a 20-year return period threshold	Forecast date
Spain	Toledo	02/02/2026 12:00	39%	0%	31/01/2026 12:00
Spain	Cáceres	02/02/2026 06:00	37%	13%	31/01/2026 12:00
Spain	Toledo	05/02/2026 06:00	69%	20%	03/02/2026 12:00
Spain	Guadalajara	05/02/2026 06:00	69%	20%	03/02/2026 12:00
Spain	Cáceres	05/02/2026 06:00	32%	23%	04/02/2026 00:00
Spain	Salamanca	05/02/2026 18:00	40%	0%	04/02/2026 12:00
BORRASCA MARTA (PROVINCIAS)					
Country(ies)	Administration Region(s)	Likely start of event	Probability to exceed a 5-year return period threshold	Probability to exceed a 20-year return period threshold	Forecast date
Spain	Toledo	07/02/2026 18:00	34%	13%	06/02/2026 00:00
BORRASCA ORIANA (PROVINCIAS)					
Country(ies)	Administration Region(s)	Likely start of event	Probability to exceed a 5-year return period threshold	Probability to exceed a 20-year return period threshold	Forecast date
Spain	Toledo	13/02/2026 06:00	36%	17%	12/02/2026 00:00
Spain	Cuenca	13/02/2026 12:00	39%	0%	12/02/2026 00:00
Spain	Cáceres	13/02/2026 06:00	41%	11%	12/02/2026 00:00
Spain	Guadalajara	13/02/2026 06:00	39%	30%	12/02/2026 00:00

BORRASCA JOSEPH (CAUCES)							
Country(ies)	River (s)	Predicted starto of event	Earliest predicted peak	Probability to exceed a 5-year return period threshold	Probability to exceed a 20-year return period threshold	Forecast date	Type
Spain	Tiétar	27/01/2026 06:00	27/01/2026 06:00	63%	11%	22/01/2026 22:00	Informal
Spain	Guadiela	27/01/2026 06:00	27/01/2026 06:00	42%	7%	22/01/2026 22:00	Informal
Spain	Tiétar	27/01/2026 06:00	27/01/2026 12:00	55%	10%	23/01/2026 12:00	Formal
Spain	Tajo	27/01/2026 06:00	27/01/2026 06:00	43%	4%	23/01/2026 12:00	Formal
Spain	Alagón	27/01/2026 18:00	27/01/2026 18:00	62%	2%	24/01/2026 24:00	Formal
BORRASCA LEONARDO (CAUCES)							
Country(ies)	River (s)	Predicted starto of event	Earliest predicted peak	Probability to exceed a 5-year return period threshold	Probability to exceed a 20-year return period threshold	Forecast date	Type
Spain	Tajuña	03/02/2026 12:00	06/02/2026 06:00	71%	45%	28/01/2026 00:00	Formal
Spain	Alberche	03/02/2026 12:00	03/02/2026 18:00	42%	7%	28/01/2026 00:00	Informal
Spain	Henares	03/02/2026 00:00	06/02/2026 06:00	92%	17%	28/01/2026 00:00	Formal
BORRASCA ORIANA (CAUCES)							
Country(ies)	River (s)	Predicted starto of event	Earliest predicted peak	Probability to exceed a 5-year return period threshold	Probability to exceed a 20-year return period threshold	Forecast date	Type
Spain	Tajo	13/02/2026 06:00	14/02/2026 06:00	100%	9%	12/02/2026 12:00	Informal

2.2.2. Predicciones – Visor EFAS

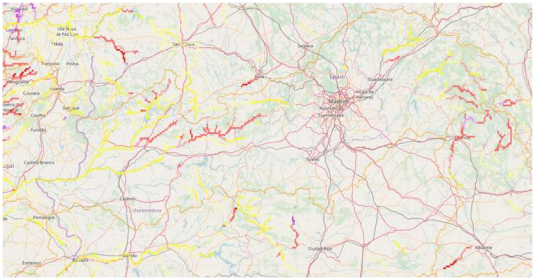


Predicción determinista de superación de caudales asociados a determinados periodos de retorno ECMWF

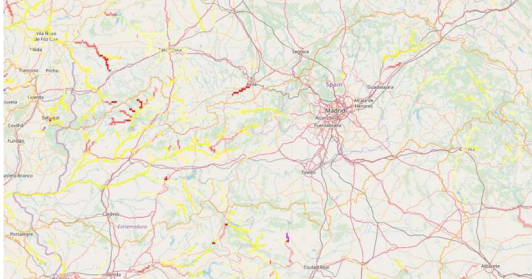
Description

Return period exceedance map showing the highest return period exceedance within the forecast range based on the deterministic ECMWF forecast.

- EFAS 20-year return period
- EFAS 5-year return period
- EFAS 2-year return period
- EFAS 1.5-year return period



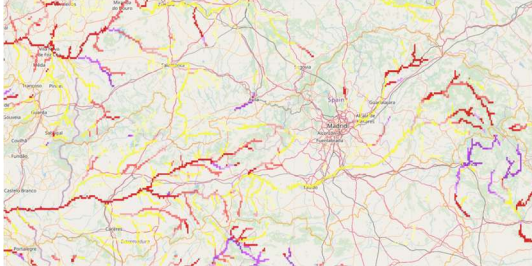
23/01/2026 12:00



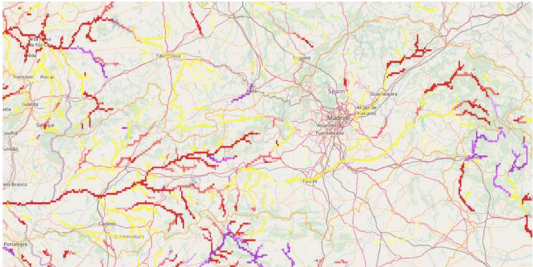
26/01/2026 00:00



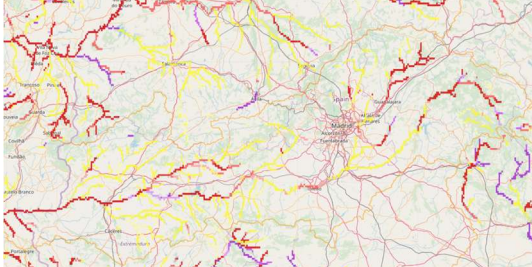
31/01/2026 12:00



03/02/2026 12:00



04/02/2026 00:00



07/02/2026 12:00

2.3. AVISOS ES-ALERT A LA POBLACIÓN

Comunidad autónoma de Castilla la Mancha

08/02/2026 – Zona ribera río Alberche – Alerta preventiva por riesgo de posibles inundaciones.

10/02/2026 – Alcolea de Tajo, Azután, El Bercial y Puente del Arzobispo por desembalse extraordinario en la presa de Azután

Comunidad autónoma de Extremadura

28/01/2026 - Zona Cáceres y Plasencia. – Alerta Roja por vientos huracanados y fenómenos meteorológicos adverso de intensidad excepcional. Peligro de desprendimiento e inundaciones.

2.4. PLANES DE INUNDACIONES AUTONÓMICOS

A continuación, se indican las distintas fases activadas durante el desarrollo de los episodios de lluvia en cada una de las Comunidades Autónomas que abarca la cuenca del Tajo.

2.4.1. COMUNIDAD AUTÓNOMA DE MADRID (INUNCAM)

- **Fase de Preemergencia INUNCAM:** Se activa el día 03 de febrero de 2026 a las 12:30.
- **Fase de EMERGENCIA Situación Operativa 0:** Se activa el 10 de febrero de 2026 a las 14:55
- **Fase de Preemergencia INUNCAM:** El 14 de febrero de 2026 a las 18:00 se desactiva la Situación Operativa 0 de la fase de emergencia y se pasa a la fase de Preemergencia.
- **Desactivación del INUNCAM** el 23 de febrero de 2026 a las 08:30 se desactiva la fase de Preemergencia INUNCAM.

2.4.2. COMUNIDAD AUTÓNOMA DE CASTILA-LA MANCHA (PRICAM)

- **Fase de Alerta. Situación Operativa 0:** El 05 de febrero de 2026 a las 12:00 para toda la región.
- **Fase de EMERGENCIA Situación Operativa 1:** El 06 de febrero de 2026 a las 11:00 para toda la región.

- **Fase de EMERGENCIA Situación Operativa 2:** El 11 de febrero de 2026 a las 12:05 para toda la región.
- **Fase de EMERGENCIA Situación Operativa 1:** El 15 de febrero de 2026 a las 13:35 para toda la región.
- **Desactivación del PRICAM:** 17 de febrero a las 19:00.

2.4.3. COMUNIDAD AUTÓNOMA DE CASTILA Y LEÓN (INUNcyl)

- **Fase de EMERGENCIA Situación Operativa 1:** El 06 de febrero de 2026 a las 23:15 para la provincia de Ávila.
- **Fase de EMERGENCIA Situación Operativa 1:** El 06 de febrero de 2026 a las 23:15 para la provincia de Salamanca.
- **Desactivación EMERGENCIA Situación Operativa 1:** El 17 de febrero de 2026 a las 11:45 para la provincia de Ávila.
- **Desactivación EMERGENCIA Situación Operativa 1:** El 17 de febrero de 2026 a las 11:30 para la provincia de Salamanca.

2.4.4. COMUNIDAD AUTÓNOMA DE EXTREMADURA (INUCAEX)

- **Fase de EMERGENCIA Situación Operativa 0, comunidad autónoma de Extremadura:** El 27 de enero de 2026 a las 21:30 h.
- **Desactivación Fase de EMERGENCIA Situación Operativa 0:** El 31 de enero de 2026 a las 11:00 h.
- **Fase de EMERGENCIA Situación Operativa 1, provincia de Cáceres:** El 04 de febrero de 2026 a las 12:00 h.
- **Desactivación Fase de EMERGENCIA Situación Operativa 1 del INUNCAEX:** El 18 de febrero de 2026 a las 20:30 h.
- **Desactivación Fase de EMERGENCIA Situación Operativa 0 del INUNCAEX:** El 20 de febrero de 2026 a las 11:30 h.

		EMERGENCIA									
		Preemergencia / Alerta		Situación 0		Situación 1		Situación 2		Situación 3	
	ÁMBITO	Activación	Desactivación	Activación	Desactivación	Activación	Desactivación	Activación	Desactivación	Activación	Desactivación
INUN CAM	CAM	03/02/2026 12:30	23/02/2026 8:30	10/02/2026 14:55	14/02/2026 18:00						
INUN cyl	Avila					06/02/2026 23:15	17/02/2026 11:45				
	Salamanca					06/02/2026 23:15	17/02/2026 11:30				
PRICAM	CLM	05/02/2026 12:00	17/02/2026 19:00			06/02/2026 11:00	17/02/2026 19:00	11/02/2026 12:05	15/02/2026 13:35		
INUN CAEX	Extremadura			27/01/2026 21:30	31/01/2026 11:00						
	Cáceres			18/02/2026 20:30	20/02/2026 11:30	04/02/2026 12:00	18/02/2026 20:30				

Cuadro resumen Planes Autonómicos a 23/02/2026 09:00

Mientras estuvieron activadas las distintas fases de Emergencia se mantuvieron reuniones con las distintas Comunidades Autónomas, a petición de éstas. Las reuniones mantenidas y las fecha en que tuvieron lugar pueden ser consultadas en el **ANEXO IV** del presente informe.

2.5. AVISOS SUPERACIÓN UMBRALES

A partir del día 30 a las 12:30 se inicia el envío automático de boletines de aforos a las CCAA, de acuerdo a lo indicado en el PROTOCOLO DE COMUNICACIÓN Y AVISOS DE LA INFORMACIÓN HIDROLÓGICA EN CASO DE CRECIDAS

Previamente a el envío automático, se habían realizado los siguientes envíos de desembalses:

1. **26/01/2026** 09:13 – EXTREMADURA
2. 26/01/2026 11:53 – EXTREMADURA
3. 26/01/2026 12:12 – EXTREMADURA
4. 26/01/2026 14:48 – APA (Agência Portuguesa do Ambiente)
5. **27/01/2026** 10:03 – EXTREMADURA
6. 27/01/2026 12:48 – EXTREMADURA
7. 27/01/2026 14:22 – APA
8. **28/01/2026** 09:52 – EXTREMADURA
9. 28/01/2026 11:12 – EXTREMADURA
10. 28/01/2026 12:13 – APA
11. 28/01/2026 21:11 – CASTILLA LA MANCHA
12. 28/01/2026 21:16 - EXTREMADURA
13. 28/01/2026 22:48 – APA
14. **29/01/2026** 02:26 – APA

15. 29/01/2026 22:41 – CASTILLA LA MANCHA

16. 29/01/2026 23:04 – EXTREMADURA

17. 30/01/2026 00:00 – CASTILLA LA MANCHA

18. 30/01/2026 00:02 – EXTREMADURA

Desde el inicio de los envíos se ha enviado más de 2000 correos con los boletines de Aforos y Embalses (*en fecha de redacción de el informe se siguen emitiendo boletines por desescalada de niveles*). Por CCAA se ha enviado el siguiente número de correos:

- Extremadura – se superan los 1000
- Castilla-La Mancha – superior a los 700
- Castilla y León – en torno a 100
- Comunidad de Madrid – unos 500

Adjuntamos ejemplo de los boletines enviados, el primero de Estaciones de Aforos en Extremadura. El segundo de Embalses en Castilla- La Mancha.

Fecha: 10/02/2026 Hora: hh:mm 17:54 Boletín nº: 1006

Se informa de EPISODIO DE SUPERACIÓN DE UMBRALES HIDROLÓGICOS por datos registrados en las siguientes estaciones de aforo de la CHT

Para el seguimiento en tiempo real de la situación, consúltese el siguiente enlace:
El próximo boletín se emitirá cuando haya cambios significativos en la situación

<https://saihtajo.chtajo.es/>



Datos provisionales sujetos a validación

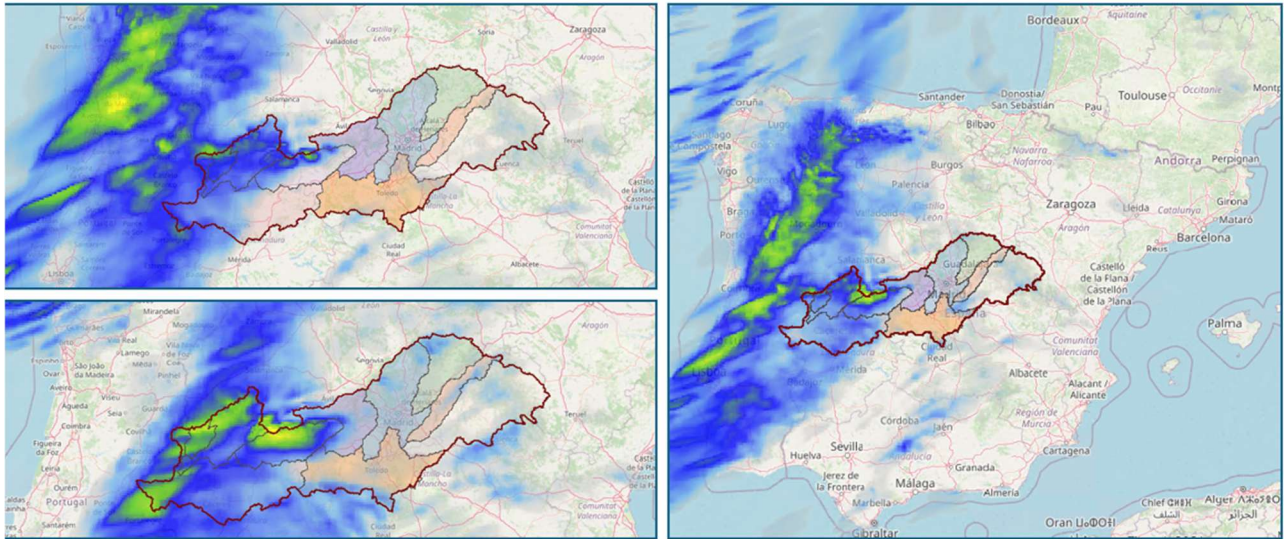
LOCALIZACIÓN ESTACIONES				UMBRALES HIDROLÓGICOS DE REFERENCIA					MÁXIMO HISTÓRICO		DATOS REGISTRADOS ÚLTIMOS				MÁXIMO DESDE INICIO EPISODIO								
Río	Prov.	T.M.	SISTEMA DE EXPLOTACIÓN	Estación		Amarillo		Naranja		Rojo		Caudal (m³/s)	Año hidrológico	Hora	Nivel (m)	Caudal (m³/s)	Tendencia	Estado aviso	Fecha	Hora	Nivel (m)	Caudal (m³/s)	
				Nombre	Código	Nivel (m)	Caudal (m³/s)	Nivel (m)	Caudal (m³/s)	Nivel (m)	Caudal (m³/s)												
Río Alagón	CÁCERES	Coria	ALAGON	ALAGON EN CORIA	MC07	222,50		222,80		223,00		224,84	0,00	2022-2023	17:45	224,59	0,00	ascendente	ROJO	06/02/2026	04:00	225,44	0,00
Garganta Jaranda	CÁCERES	Jaraiz de la Vera	TIETAR	G. JARANDA EN JARAIZ DE LA VERA	AR33	0,86		1,73		2,58		4,68	2.025,23	1999-2000	17:45	1,92	65,11	descendente	NARANJA	05/02/2026	10:15	3,64	181,37
Río Erjas	CÁCERES	Alicantara	BAJO TAJO	PIEDRAS ALBAS	R163	2,11	41,91	3,16	123,90	4,22	283,04	6,67	944,84	2019-2020	17:45	3,59	179,72	descendente	NARANJA	05/02/2026	13:00	6,18	780,59
Río Jerte	CÁCERES	Galisteo	ALAGON	JERTE EN GALISTEO	AR43	1,50	46,14	2,00	83,23	3,15	220,58	5,94	684,60	1978-1979	17:45	3,03	201,10	ascendente	NARANJA	05/02/2026	17:15	5,09	701,93
Río Los Ángeles	CÁCERES	Casar de Palomero	ALAGON	LOS ANGELES EN CASAR PALOMERO	AR40	0,83	20,37	1,65	65,63	2,48	135,22	6,76	560,20	2019-2020	17:45	1,09	32,17	estable	AMARILLO	27/01/2026	08:30	2,10	100,43
Río Bronco	CÁCERES	Montehermoso	ALAGON	BRONCO EN MONTEHERMOSO	AR47	1,00	14,14	1,70	60,91	2,50	137,40	3,17	969,47	2006-2007	17:45	1,64	56,32	descendente	AMARILLO	05/02/2026	10:00	3,64	280,02
Río Tietar	CÁCERES	Losar de la Vera	TIETAR	TIETAR EN VALVERDE DE LA VERA- LOSAR	MC05	247,70	180,66	246,50	270,09	249,60	396,52	250,90	0,00	2019-2020	17:45	249,72	417,43	ascendente	ROJO	05/02/2026	16:30	250,38	1.056,75
Río Tietar	CÁCERES	Robiedillo de la Vera	TIETAR	POZO DEL REY	R502	3,84	27,04	4,46	43,85	5,21		7,30	873,47	2017-2018	17:45	4,52	280,10	estable	NARANJA	05/02/2026	15:00	6,35	563,38
Río Tietar	CÁCERES	Jaraiz de la Vera	TIETAR	TIETAR EN CASAJADA JARAIZ-BAZAGONA	MC06	91,53	399,28	92,49	599,68	93,31	798,11	31,45	7.997,73	2023-2024	17:45	92,79	669,60	ascendente	NARANJA	21/01/2026	14:00	97,31	1.286,25
Río Jerte	CÁCERES	Casas del Castañar	ALAGON	JERTE EN EL TORNO	AR42	1,28	59,57	1,72	119,84	2,18	200,96	5,08	710,23	1989-1990	17:45	2,02	170,07	descendente	NARANJA	05/02/2026	12:00	2,98	381,91
Río Almonte	CÁCERES	Torrejón el Rubio	BAJO TAJO	ALMONTE EN MOLINO BUITREIRA	AR50	2,57	49,73	3,81	99,70	4,73	149,55	11,79	833,92	1971-1972	17:45	5,77	219,44	ascendente	ROJO	05/02/2026	08:30	6,79	239,06
Garganta Cuartos	CÁCERES	Losar de la Vera	TIETAR	G. CUARTOS EN LOSAR DE LA VERA	AR32	0,98		1,95		2,93		3,98	652,14	2000-2001	17:45	1,25	50,52	estable	AMARILLO	27/01/2026	07:30	2,10	114,17
Río Ambroz	CÁCERES	Cujo de Granadilla	ALAGON	AMBROZ EN EL VILLAR	AR41	1,13	39,75	1,62	90,22	1,96	140,37	6,18	241,64	1971-1972	17:45	1,77	109,80	ascendente	NARANJA	05/02/2026	15:30	2,44	224,67
Arroyo Las Monjas	CÁCERES	Plasencia	ALAGON	ARROYO LAS MONJAS EL BATAN	AR48	1,20	27,73	2,00	130,60	3,00	321,46	3,48	431,90	2023-2024	17:45	2,26	174,97	descendente	NARANJA	05/02/2026	06:45	4,20	612,19
Río Cuerpo de Hombre	SALAMANCA	Sotoserrano	ALAGON	CUERPO DE HOMBRE EN COJOS	AR37	1,38	42,72	1,63	68,00	1,83	88,22	2,51	488,50	2000-2001	17:45	1,89	94,29	descendente	ROJO	05/02/2026	12:15	2,57	162,64
Garganta Minchones	CÁCERES	Villanueva de la Vera	TIETAR	MINCHONES VILLANUEVA DE LA VERA	AR31	1,02	9,95	2,05	41,27	3,08	93,37	3,96	566,68	2000-2001	17:45	1,15	12,88	estable	AMARILLO	27/01/2026	08:15	2,16	45,76
Río Rivera de Gata	CÁCERES	Moraleja	ARRAGO	R. GATA EN MORALEJA	AR45	1,74	73,11	2,22	110,29	2,78	153,84	4,11	481,18	1993-1994	17:45	2,29	115,88	descendente	NARANJA	05/02/2026	11:30	4,26	257,79
Río Arrago	CÁCERES	Moraleja	ARRAGO	ARRAGO EN HUELAGA	AR46	1,93	46,67	2,59	78,01	2,80	88,97	3,69	119,78	2002-2003	17:45	2,08	53,22	ascendente	AMARILLO	05/02/2026	15:00	3,67	137,43
Río Salor	CÁCERES	Membrio	BAJO TAJO	SALOR EN MEMBRIO	AR52	2,59	109,10	3,01	145,17	3,38	180,78	9,11	1.437,83	2022-2023	17:45	2,71	119,41	ascendente	AMARILLO	05/02/2026	09:30	7,93	1.087,30
Río Alagón	SALAMANCA	Garcibuey	ALAGON	ALAGON EN GARCIBUEY	AR35	2,82	32,90	3,38	43,10	3,85	56,36	6,34	237,83	2009-2010	17:45	2,96	34,83	ascendente	AMARILLO	05/02/2026	14:00	3,94	59,87

3. PREDICCIONES

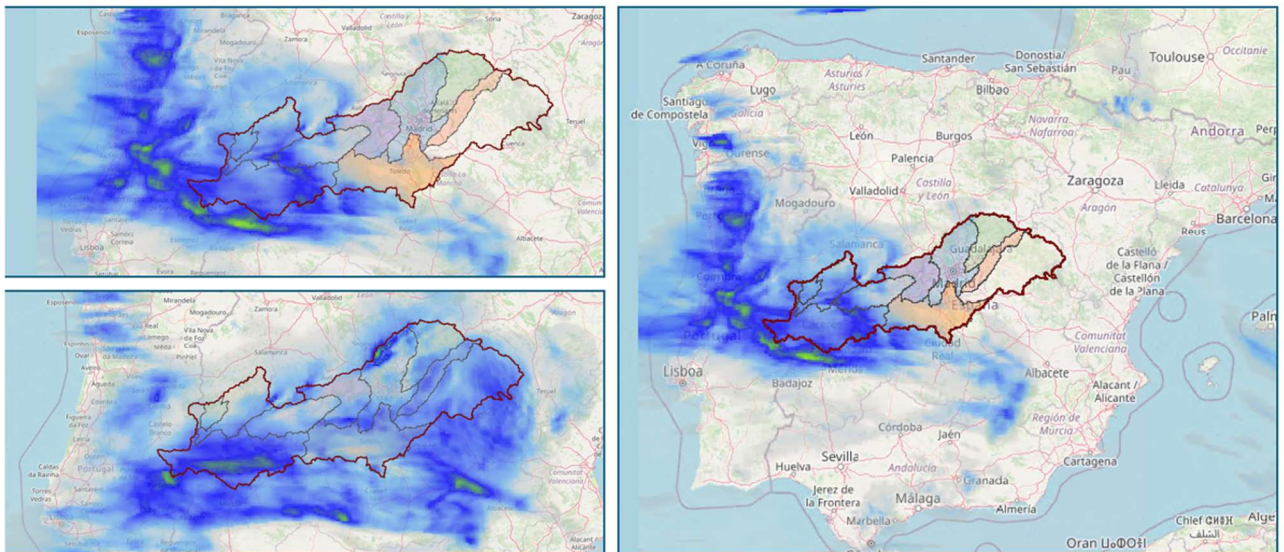
3.1. MAPAS DE PREDICCIONES – HARMONIE

En el siguiente apartado se adjuntan mapas de predicción de la pluviometría mediante el modelo HARMONIE para cada borrasca, en los momentos de máxima intensidad de precipitación de cada evento.

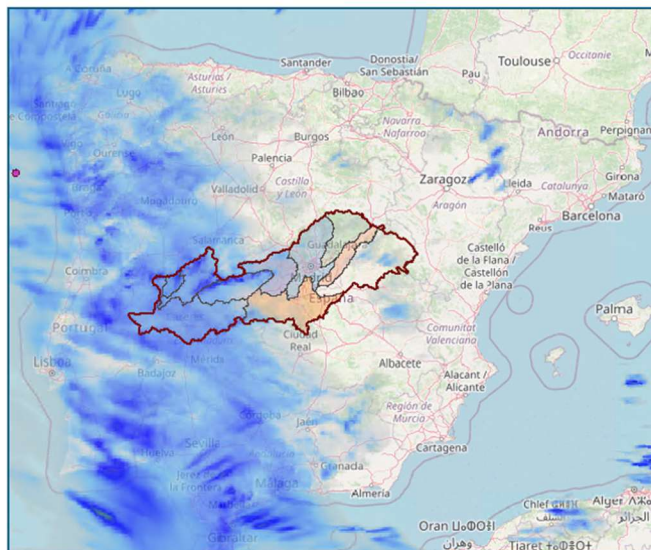
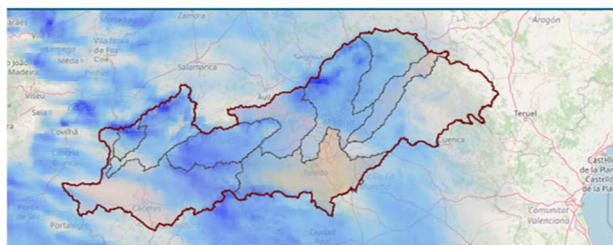
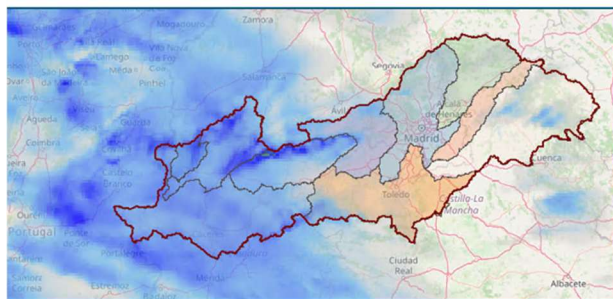
Joseph: 25 enero 2026



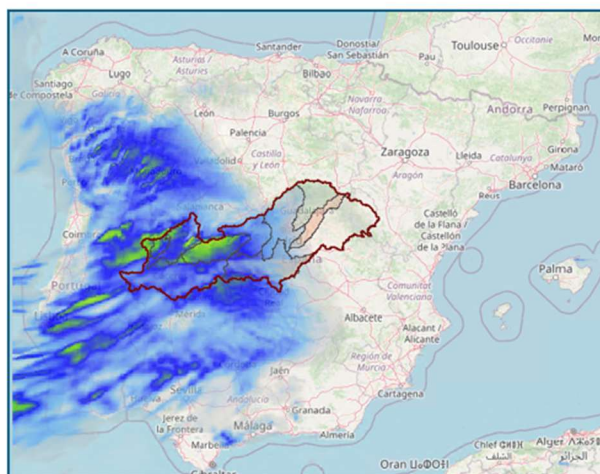
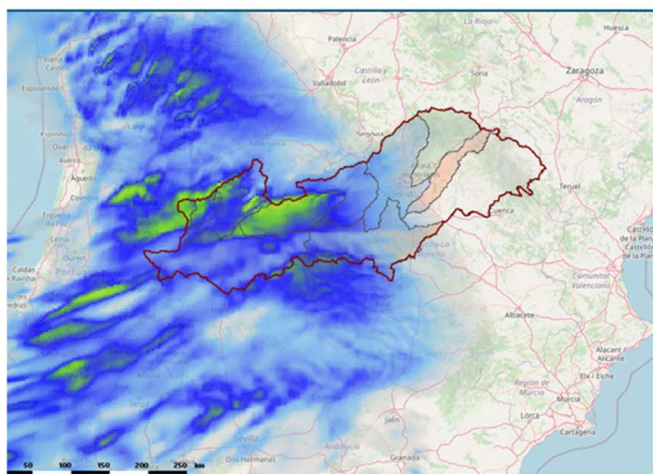
Kristin: 27 enero 2026



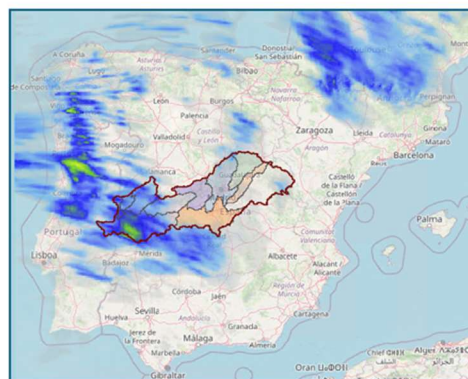
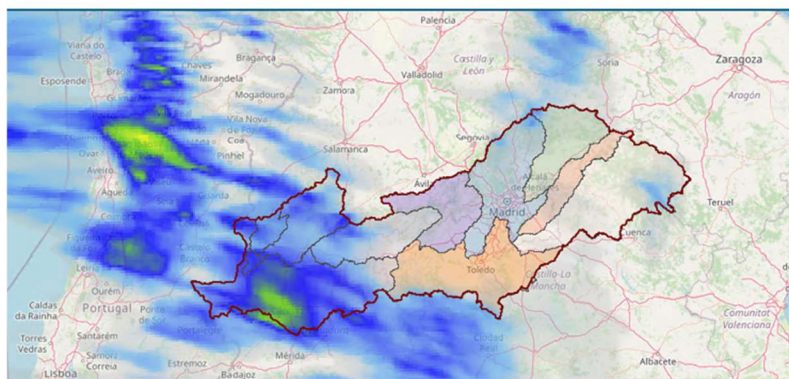
Leonardo: 2 febrero 2026



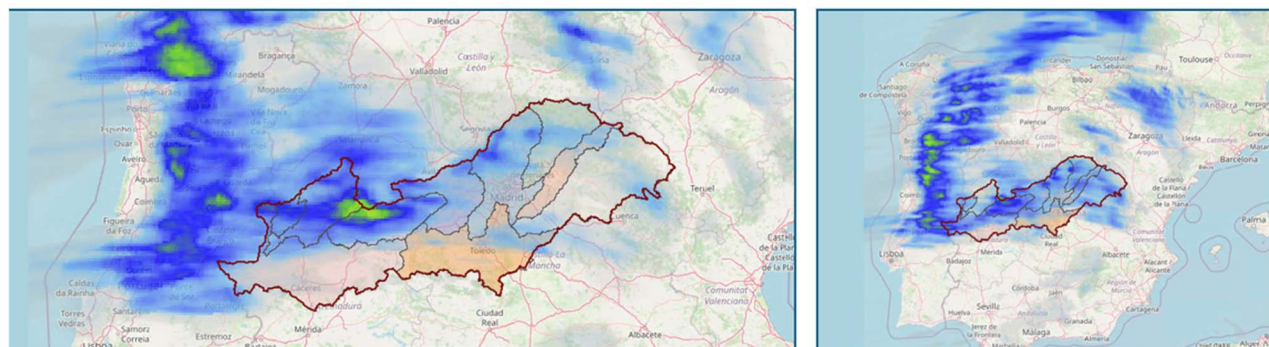
Marta: 5 febrero 2026



Nils: 10 febrero 2026



Oriana: 11 febrero 2026



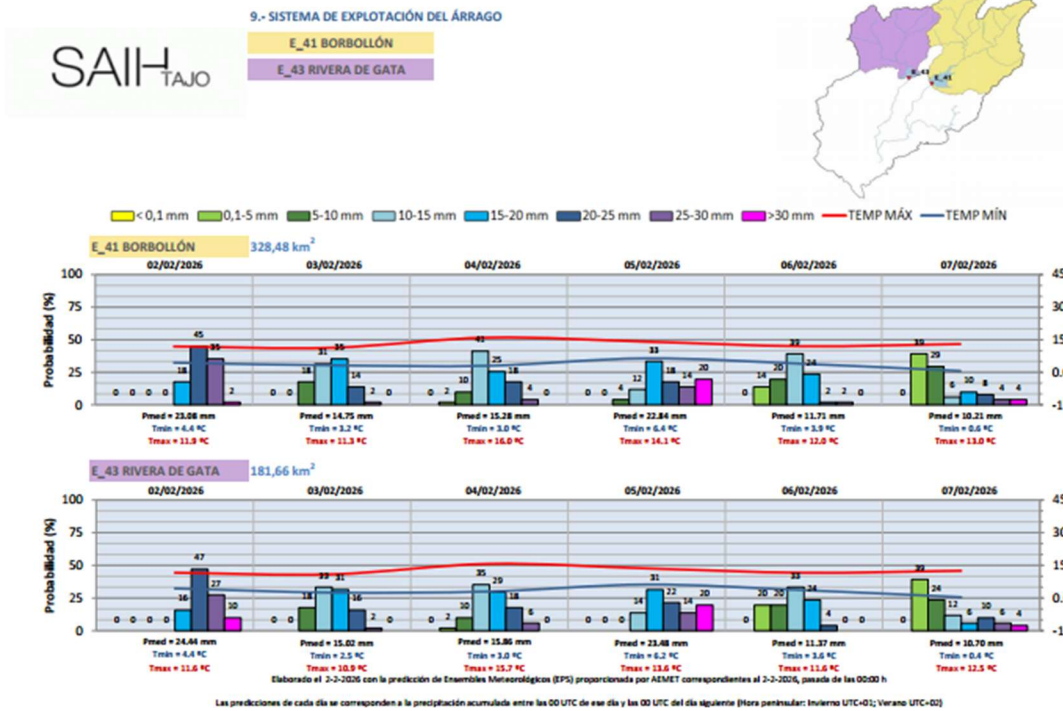
3.2. PREDICCIONES PROBABILÍSTICAS

3.2.1. Predicciones de pluviometría

Con la información recibida de AEMET del sistema de predicción por conjuntos equiprobables (EPS: Ensemble Prediction System), se calculan diariamente las predicciones de lluvia areal y temperaturas a seis días en el punto de cierre de los embalses. A continuación, se muestra los archivos que se generan por cada sistema con la predicción más representativa perteneciente a la borrasca, Leonard.

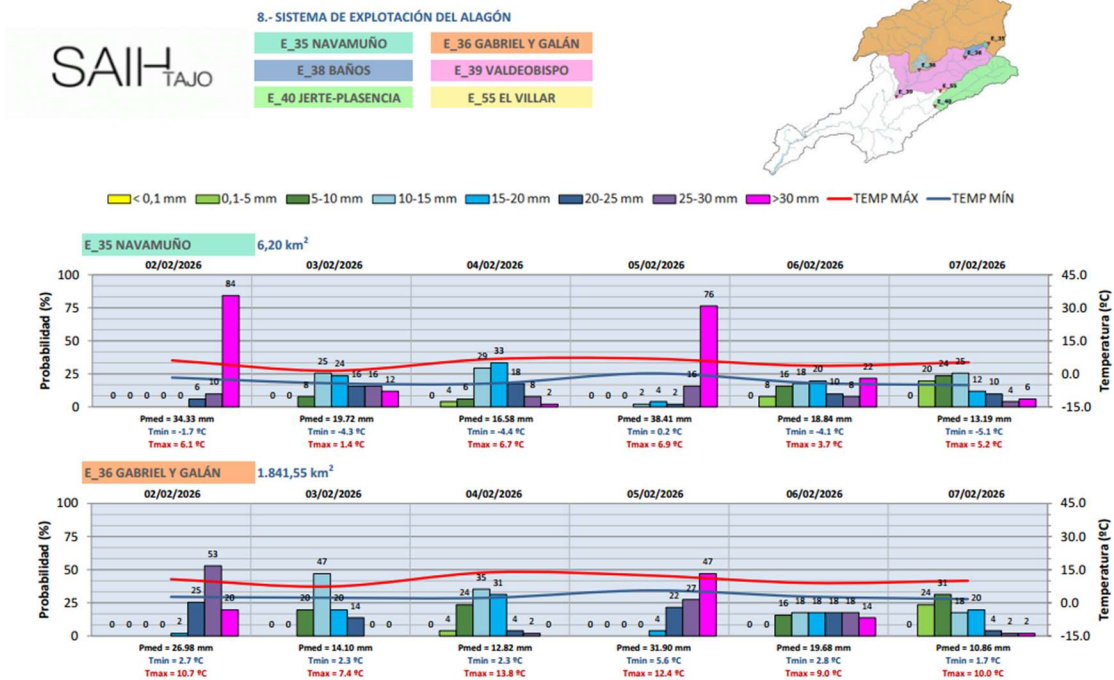
SISTEMA ÁRRAGO

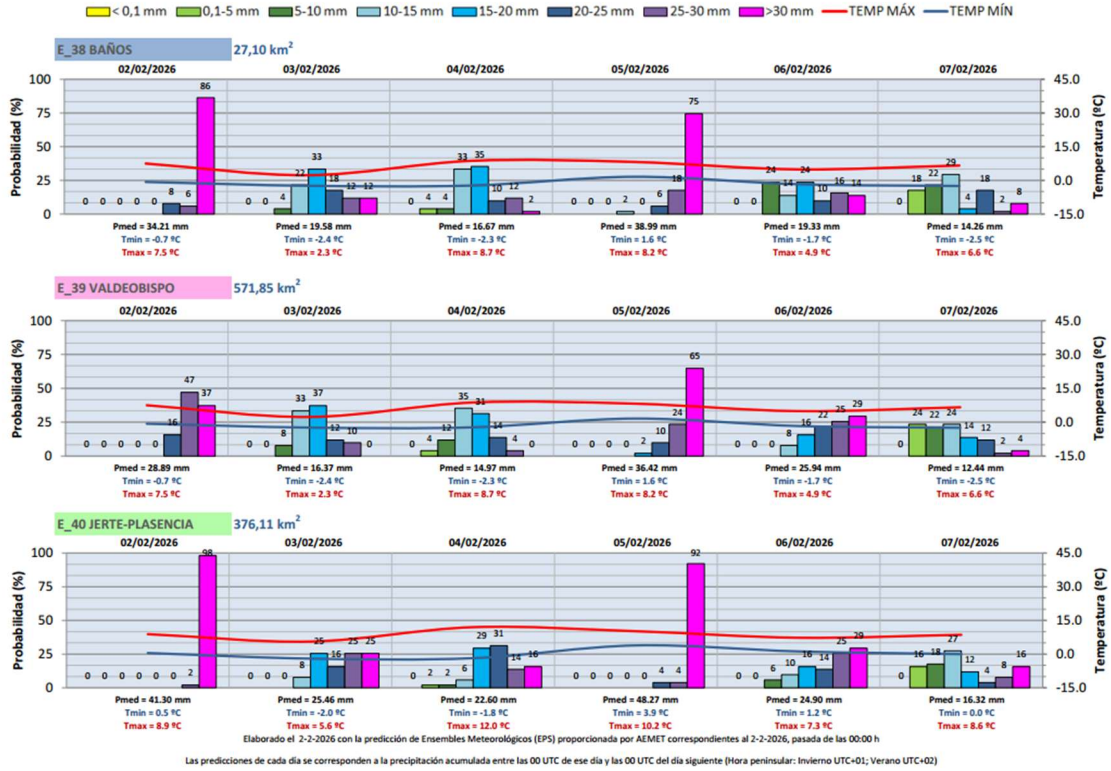
PREDICCIÓN DE PRECIPITACIÓN EN EMBALSES DEL 2-2-2026 AL 7-2-2026



SISTEMA ALAGÓN

PREDICCIÓN DE PRECIPITACIÓN EN EMBALSES DEL 2-2-2026 AL 7-2-2026



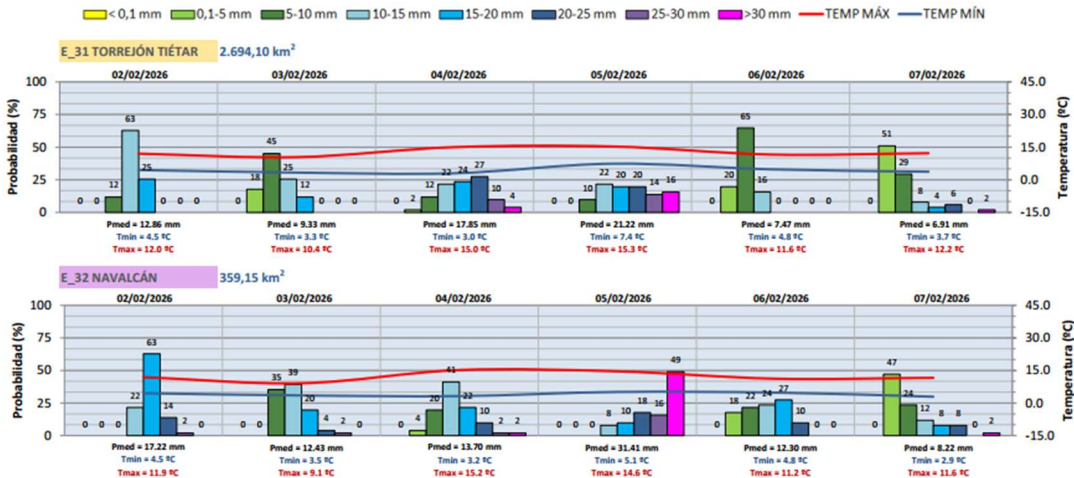
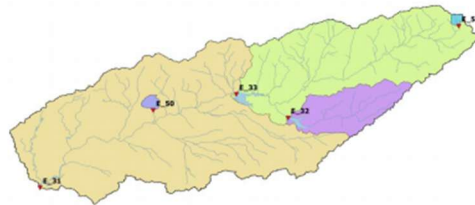


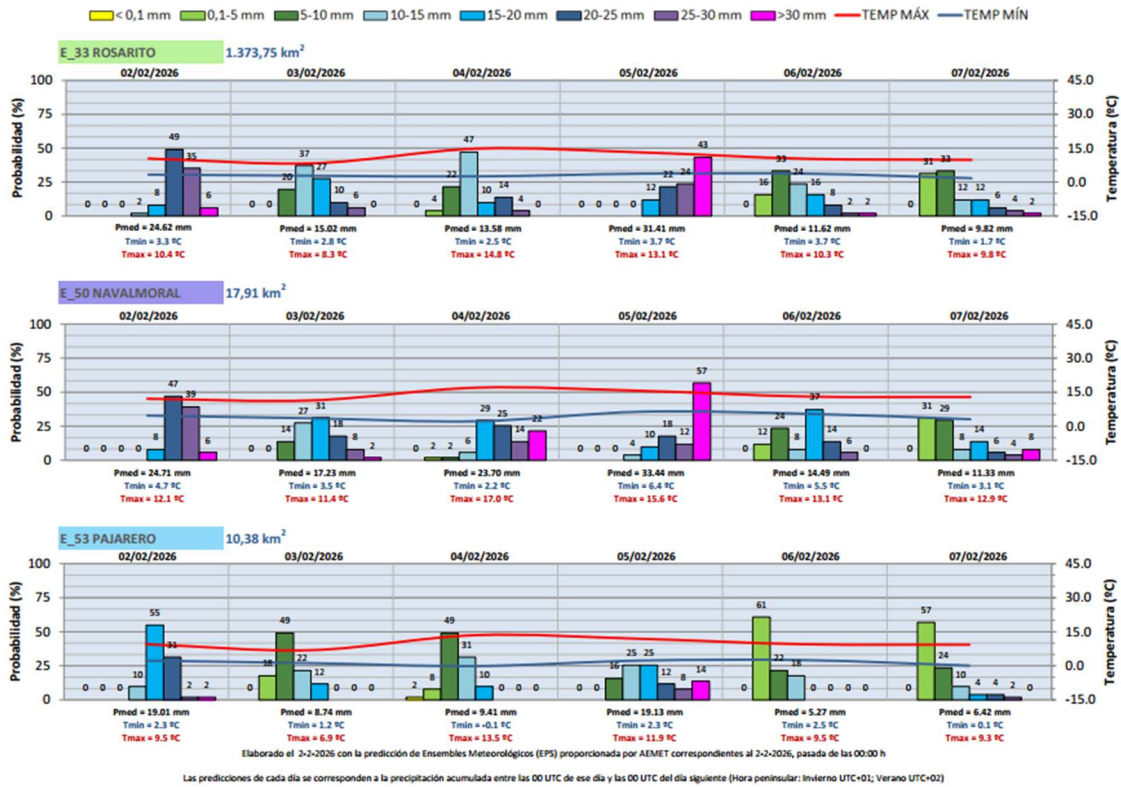
SISTEMA TIÉTAR

PREDICCIÓN DE PRECIPITACIÓN EN EMBALSES DEL 2-2-2026 AL 7-2-2026

7.- SISTEMA DE EXPLOTACIÓN DEL TIÉTAR

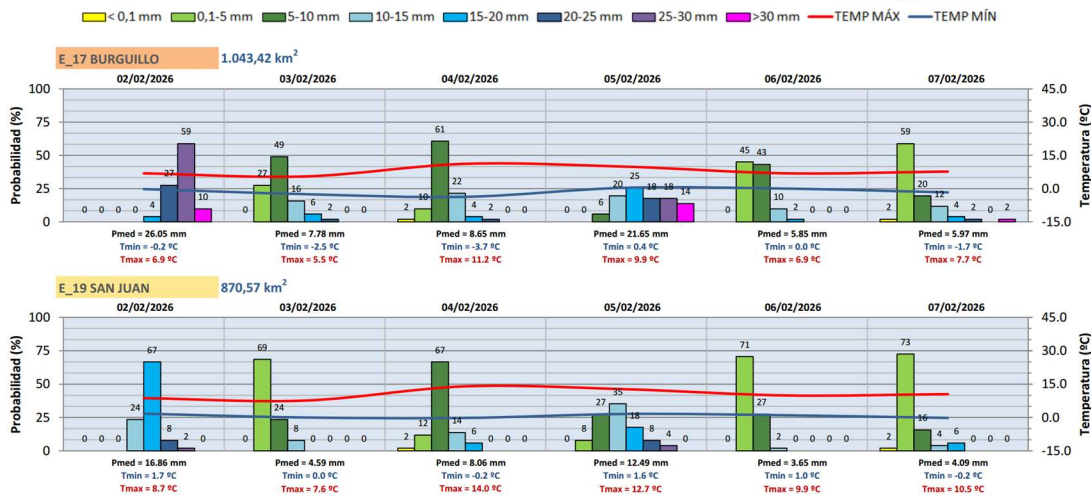
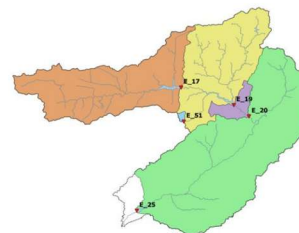
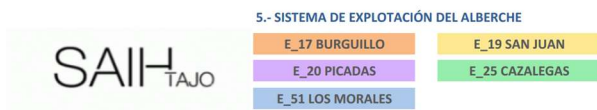
- E_31 TORREJÓN TIÉTAR
- E_32 NAVALCÁN
- E_33 ROSARITO
- E_50 NAVALMORAL
- E_53 PAJARERO

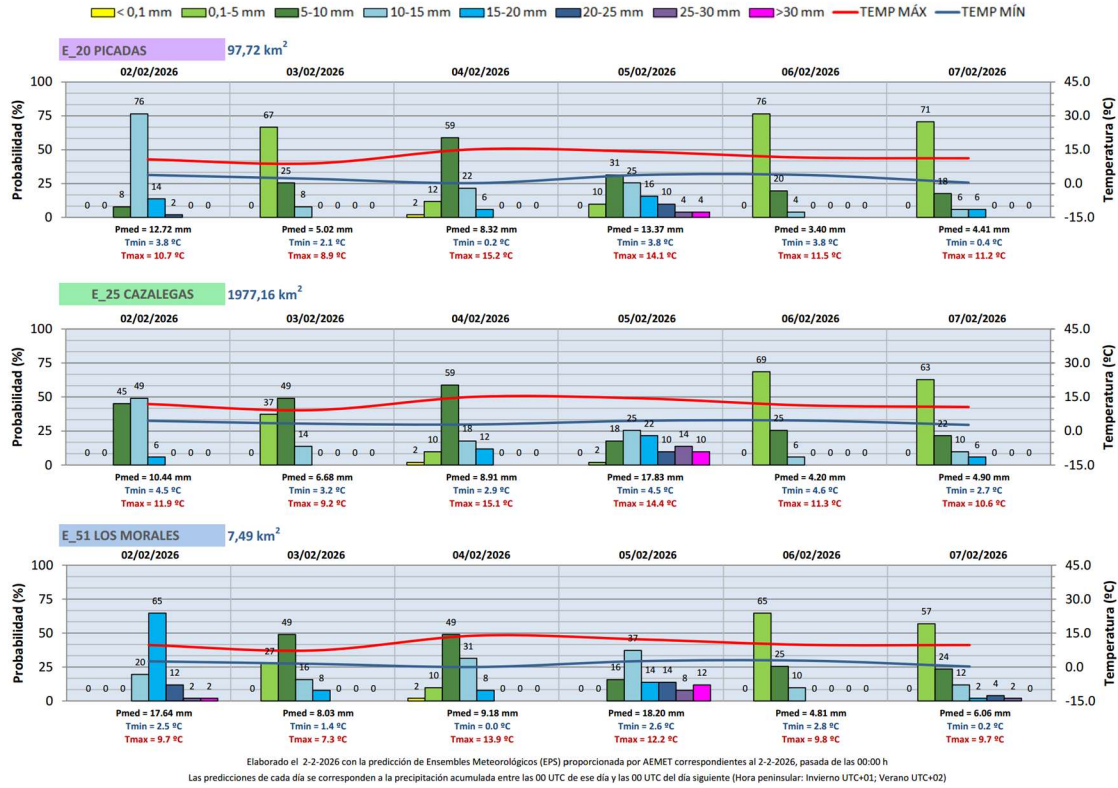




SISTEMA ALBERCHE

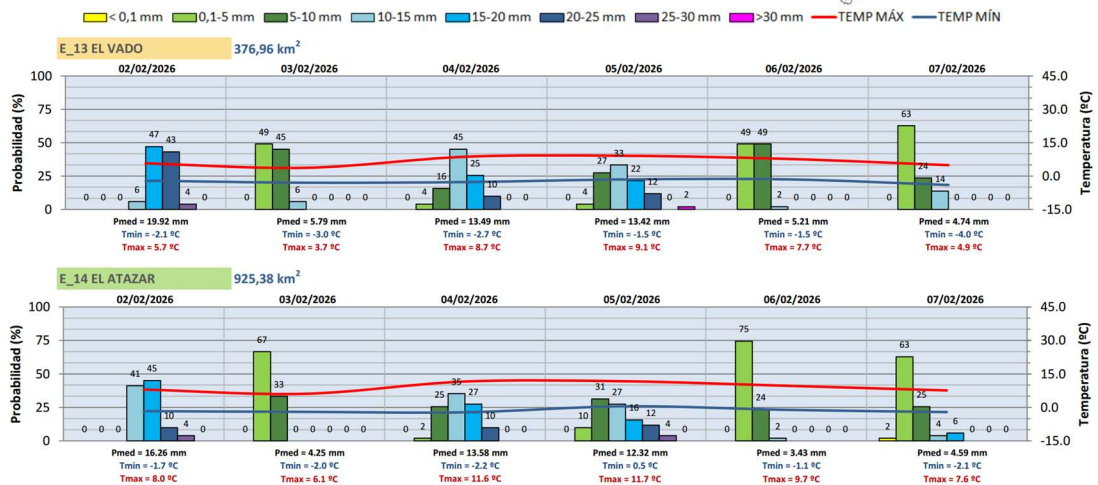
PREDICCIÓN DE PRECIPITACIÓN EN EMBALSES DEL 2-2-2026 AL 7-2-2026

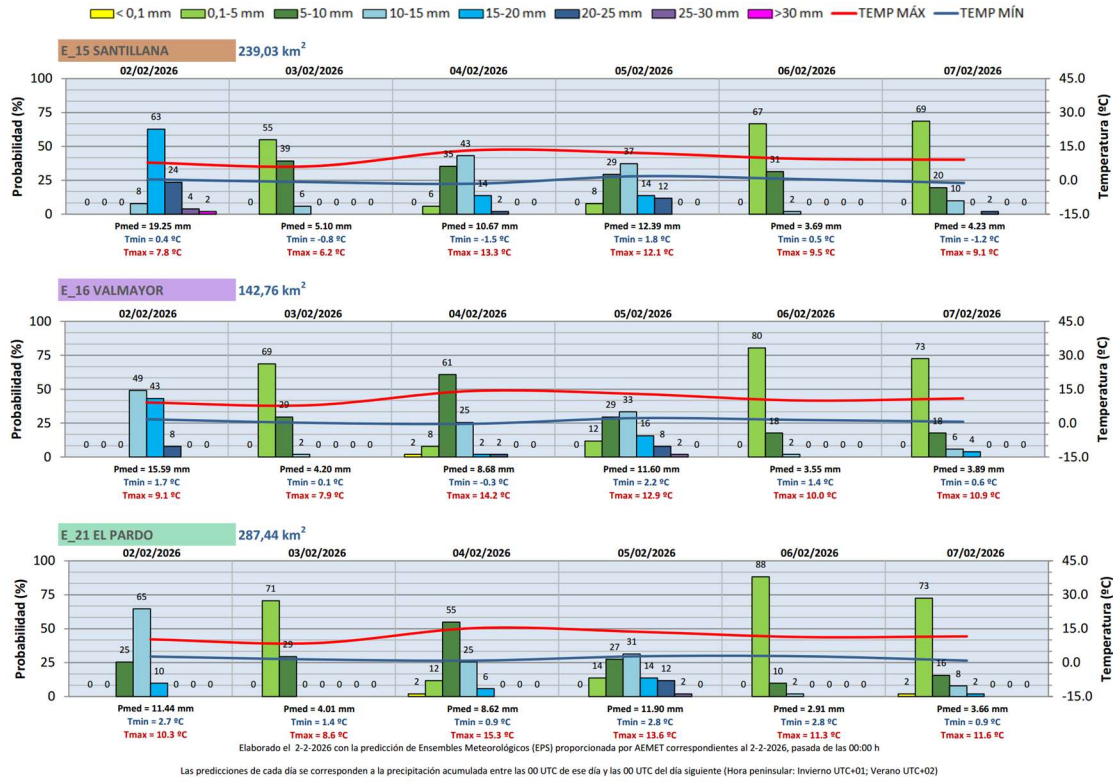




SISTEMA MADRID

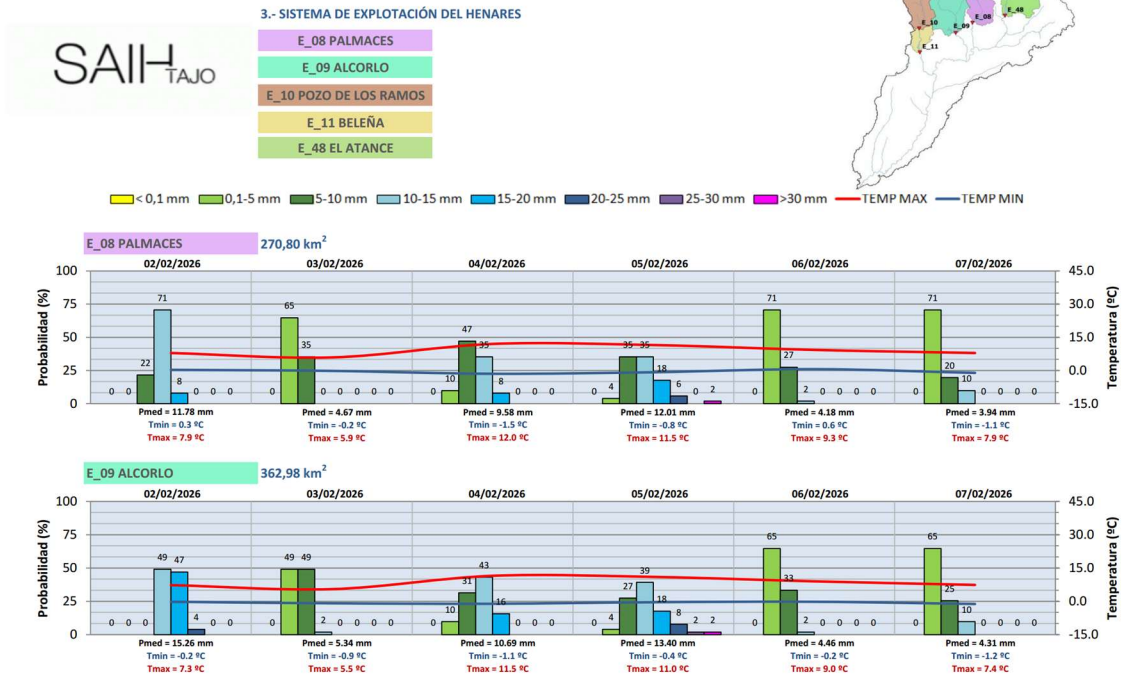
PREDICCIÓN DE PRECIPITACIÓN EN EMBALSES DEL 2-2-2026 AL 7-2-2026

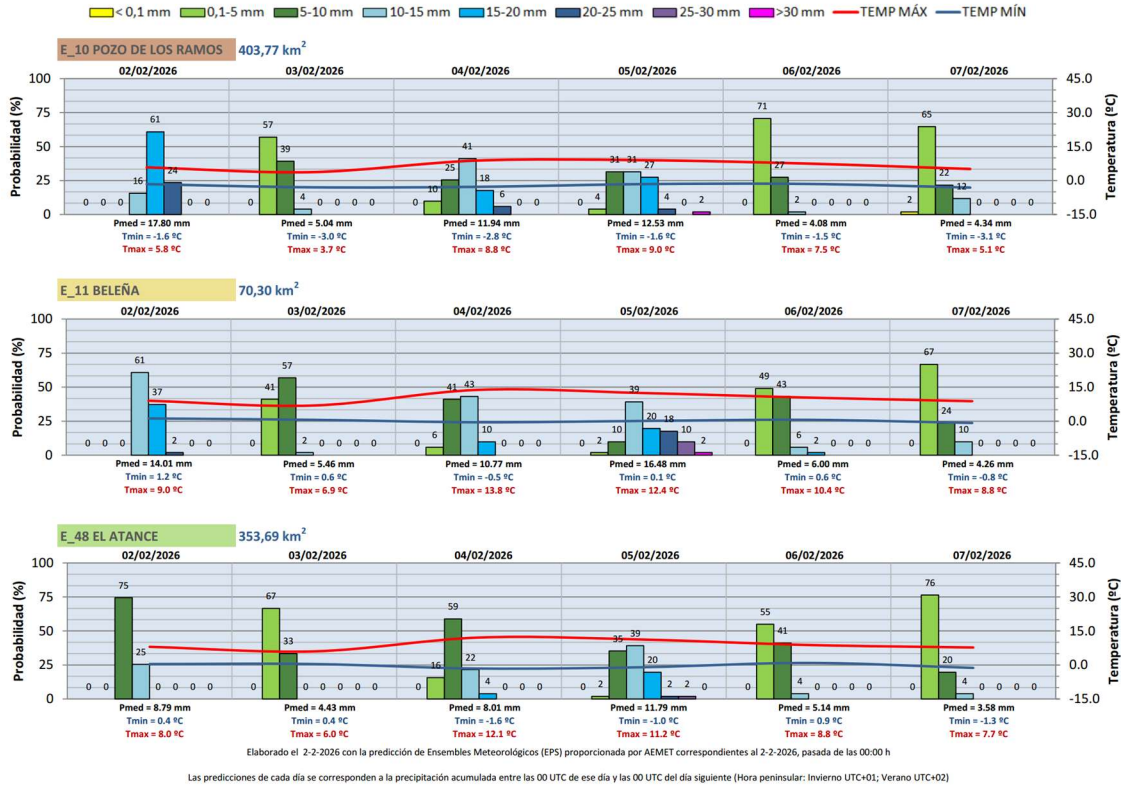




SISTEMA HENARES

PREDICCIÓN DE PRECIPITACIÓN EN EMBALSES DEL 2-2-2026 AL 11-2-2026



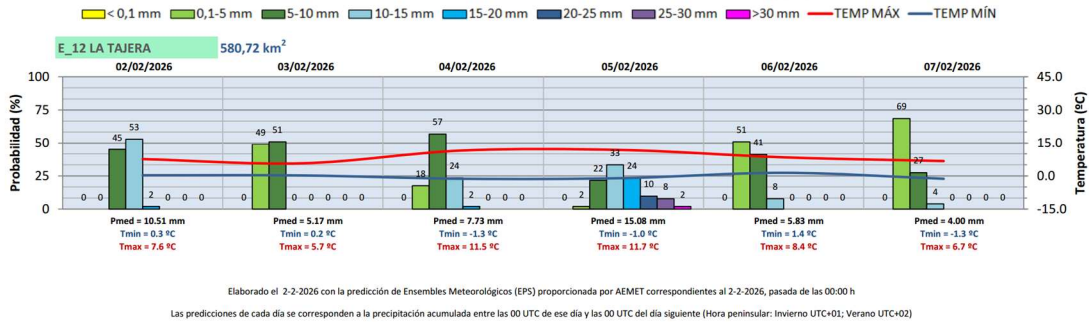
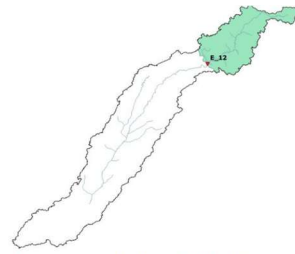


SISTEMA TAJUÑA

PREDICCIÓN DE PRECIPITACIÓN EN EMBALSES DEL 2-2-2026 AL 7-2-2026

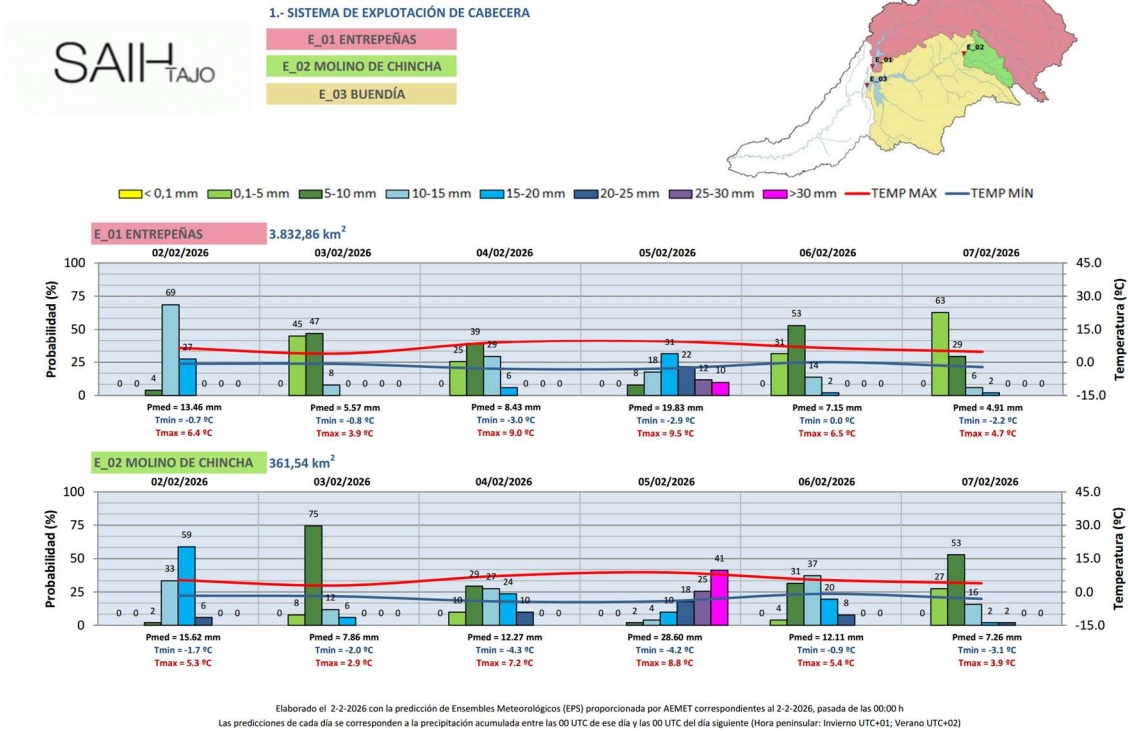


2.- SISTEMA DE EXPLOTACIÓN DEL TAJUÑA
E_12 LA TAJERA



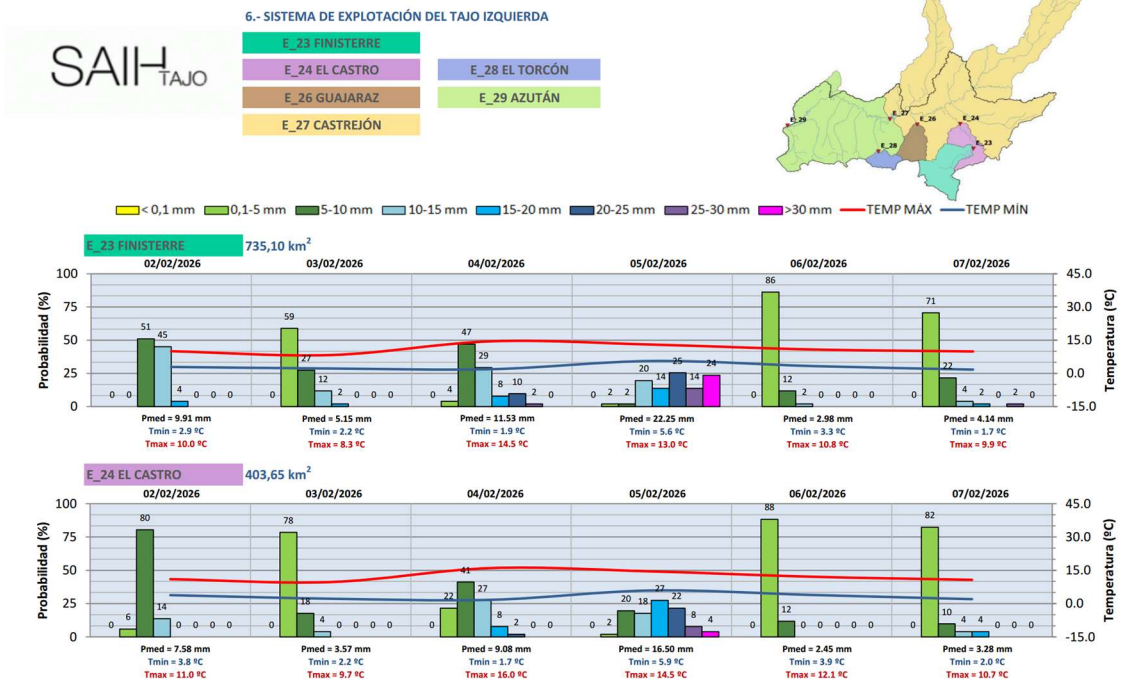
SISTEMA CABECERA

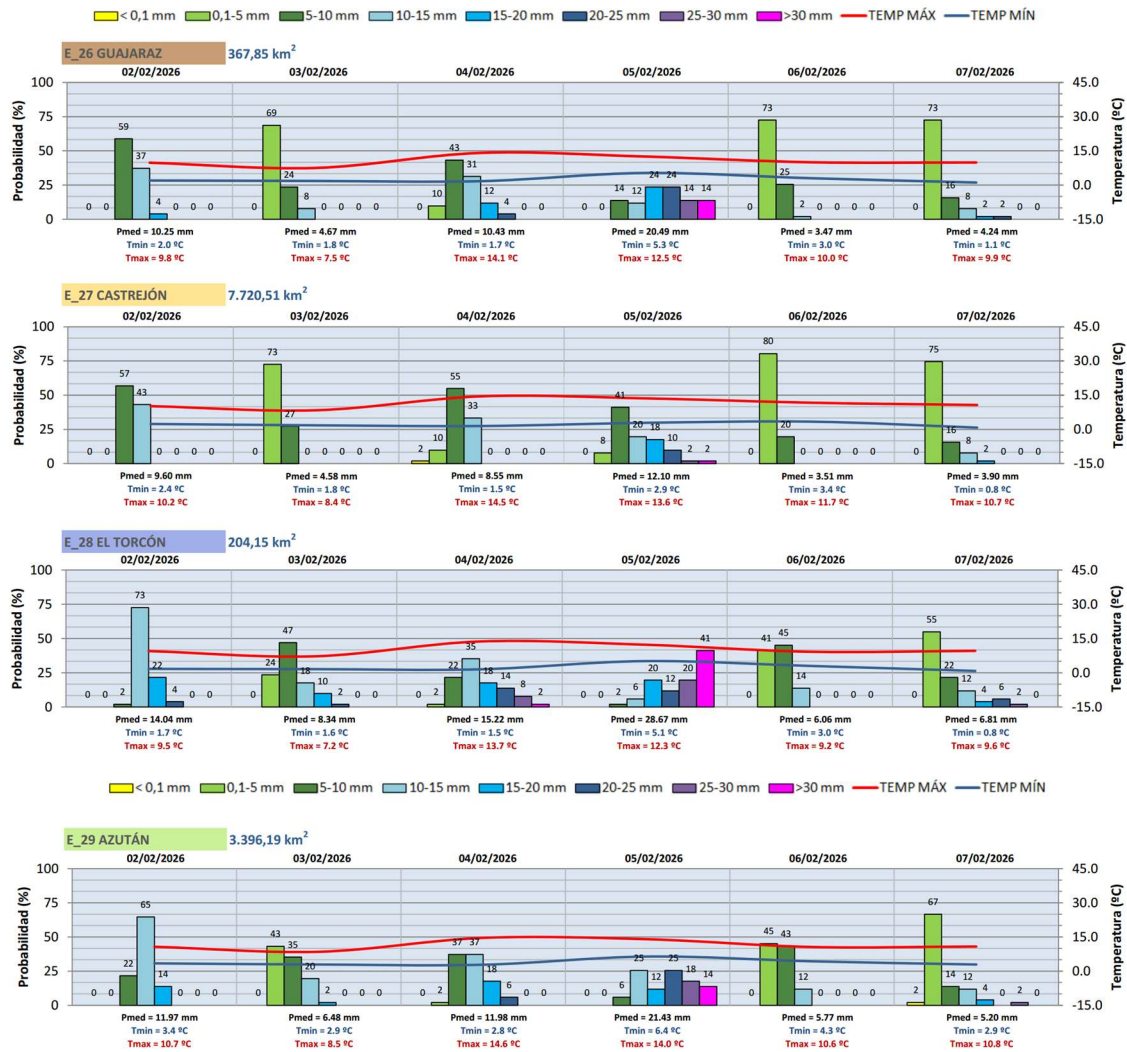
PREDICCIÓN DE PRECIPITACIÓN EN EMBALSES DEL 2-2-2026 AL 7-2-2026



SISTEMA TAJO IZQUIERDA

PREDICCIÓN DE PRECIPITACIÓN EN EMBALSES DEL 2-2-2026 AL 7-2-2026





Elaborado el 2-2-2026 con la predicción de Ensembles Meteorológicos (EPS) proporcionada por AEMET correspondientes al 2-2-2026, pasada de las 00:00 h
 Las predicciones de cada día se corresponden a la precipitación acumulada entre las 00 UTC de ese día y las 00 UTC del día siguiente (Hora peninsular: Invierno UTC+01; Verano UTC+02)

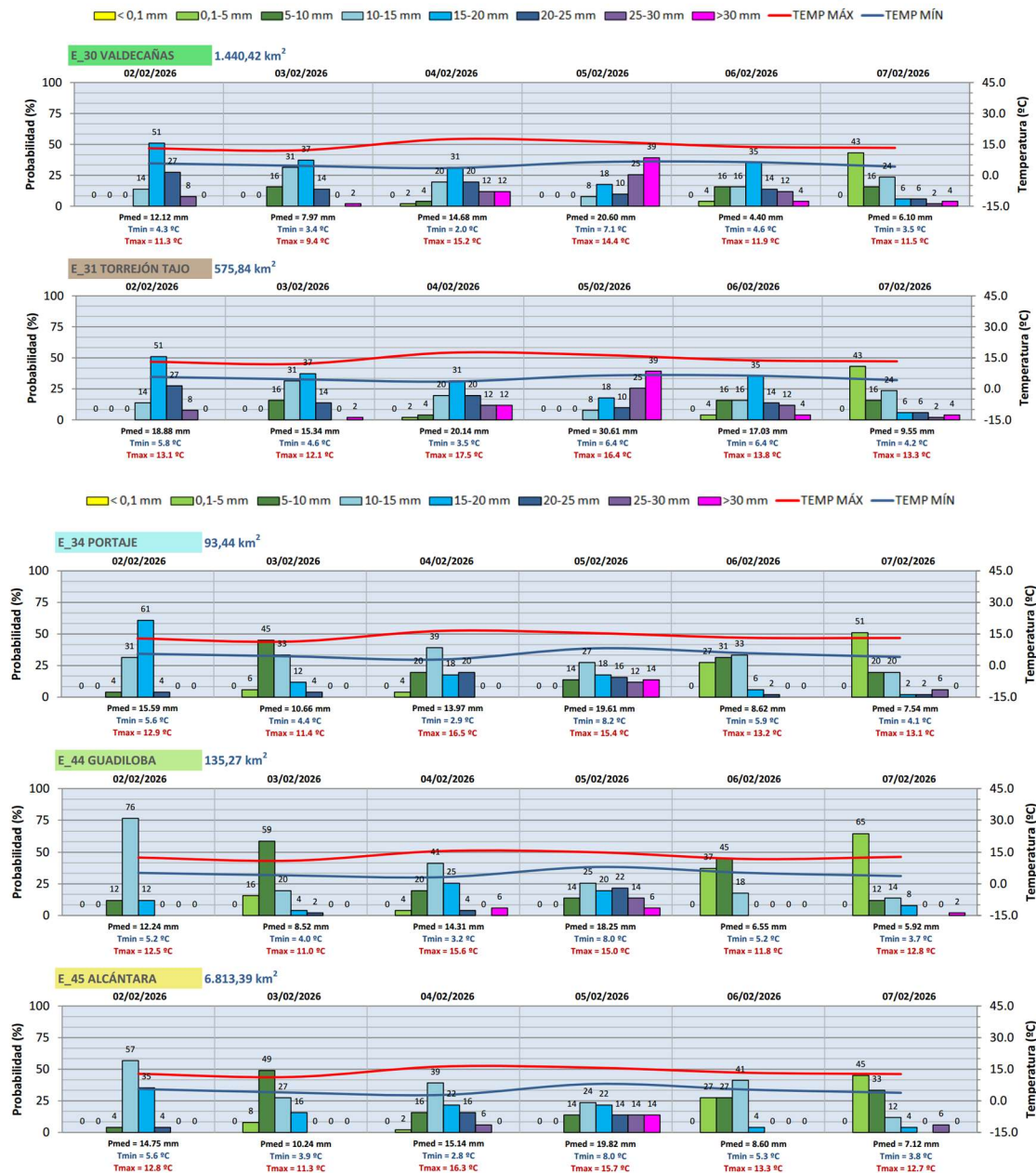
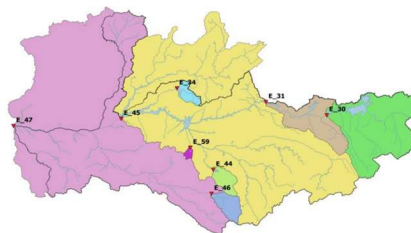
SISTEMA BAJO TAJO

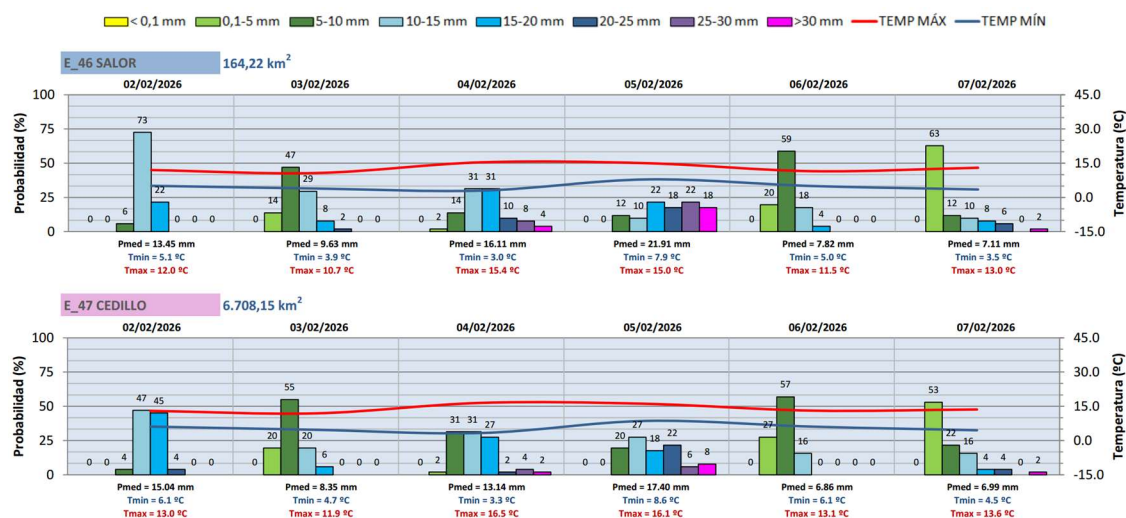
PREDICCIÓN DE PRECIPITACIÓN EN EMBALSES DEL 2-2-2026 AL 7-2-2026

10.- SISTEMA DE EXPLOTACIÓN DEL BAJO TAJO

SAIH_TAJO

E_30 VALDECAÑAS	E_45 ALCÁNTARA
E_31 TORREJÓN TAJO	E_46 SALOR
E_34 PORTAJE	E_47 CEDILLO
E_44 GUADILoba	





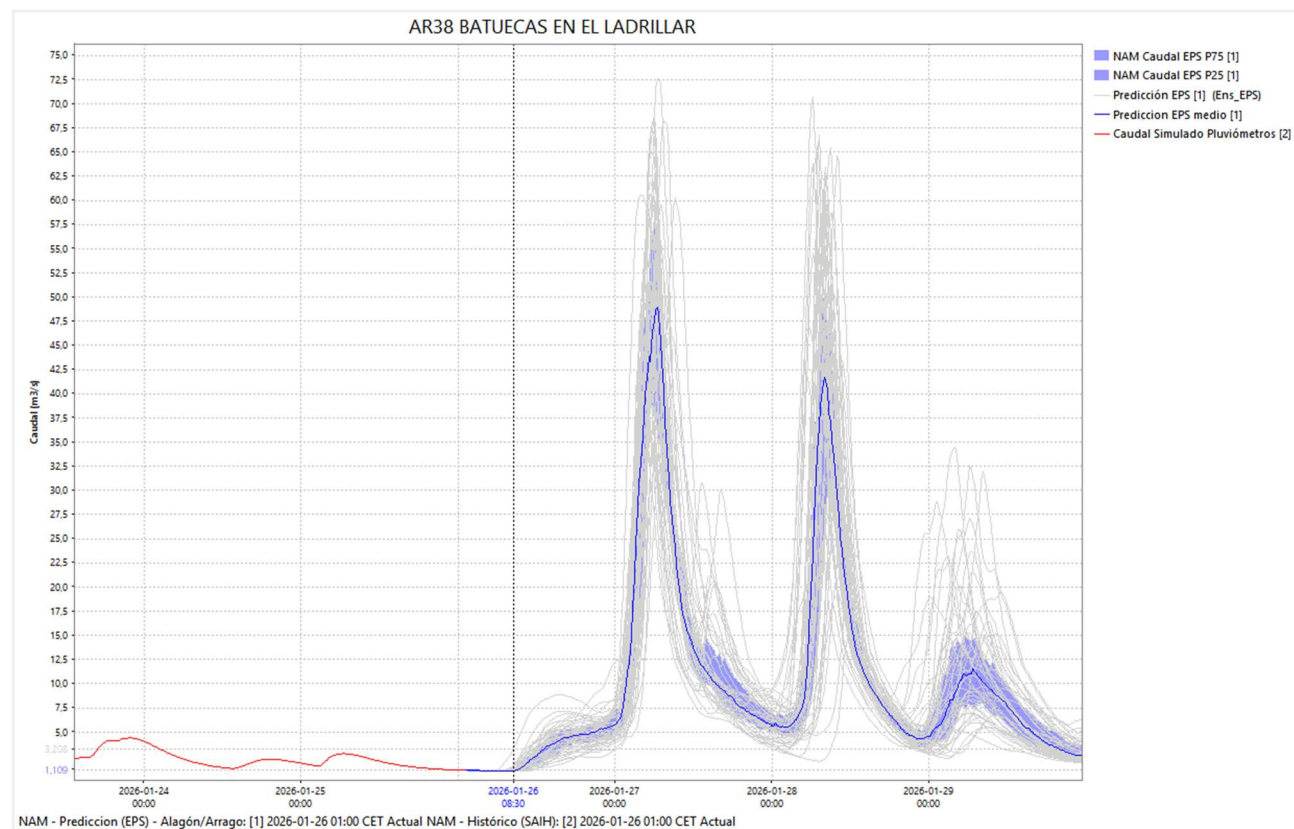
Elaborado el 2-2-2026 con la predicción de Ensembles Meteorológicos (EPS) proporcionada por AEMET correspondientes al 2-2-2026, pasada de las 00:00 h
Las predicciones de cada día se corresponden a la precipitación acumulada entre las 00 UTC de ese día y las 00 UTC del día siguiente (Hora peninsular: Invierno UTC+01; Verano UTC+02)

3.2.2. Predicciones de caudal del SAD

Tomando como datos de entrada las predicciones de lluvia de los EPS y a través de los modelos NAM y MIKE 11 integrados en la plataforma FEWS (Flood Early Water System) del Sistema de Ayuda a la Decisión (SAD), se dispone de predicciones de caudal en estaciones de aforo y a la entrada de los embalses.

Se muestra, como ejemplo, las salidas del modelo NAM en una estación de la cuenca del río Alagón obtenidas a partir de las predicciones emitidas por AEMET el día 26/01/2026.

AR38 – Batuecas en el Ladrillar



3.3. PREDICCIONES MODELOS ML

Entre los trabajos realizados dentro del *Pliego de Digitalización*, en el Área de Hidrología se propuso del desarrollo de un modelo de Machine Learning (ML) centrado en predecir los caudales de entrada al embalse de Rosarito (E_33). Este modelo, de uso interno actualmente, se ha empezado a utilizar durante el evento. A continuación, se presentan varias de las predicciones realizadas por el modelo y el comportamiento real de la cuenca.

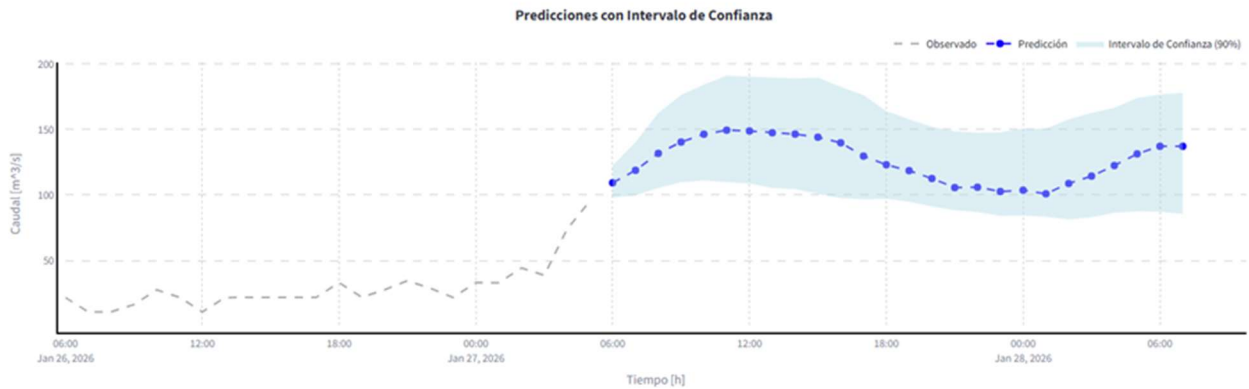
27/01/2026

En esta primera previsión la tendencia de crecida vemos que es la adecuada, pero se queda corta con lo realmente aconteció. Se llegó a valores de entrada superiores a los 400 m³/s y el modelo contemplaba valores inferiores a 200 m³/s en su banda de confianza.

Selección el modelo

Rosarito-base

Últimas Predicciones del modelo de Rosarito, con la versión Rosarito-base



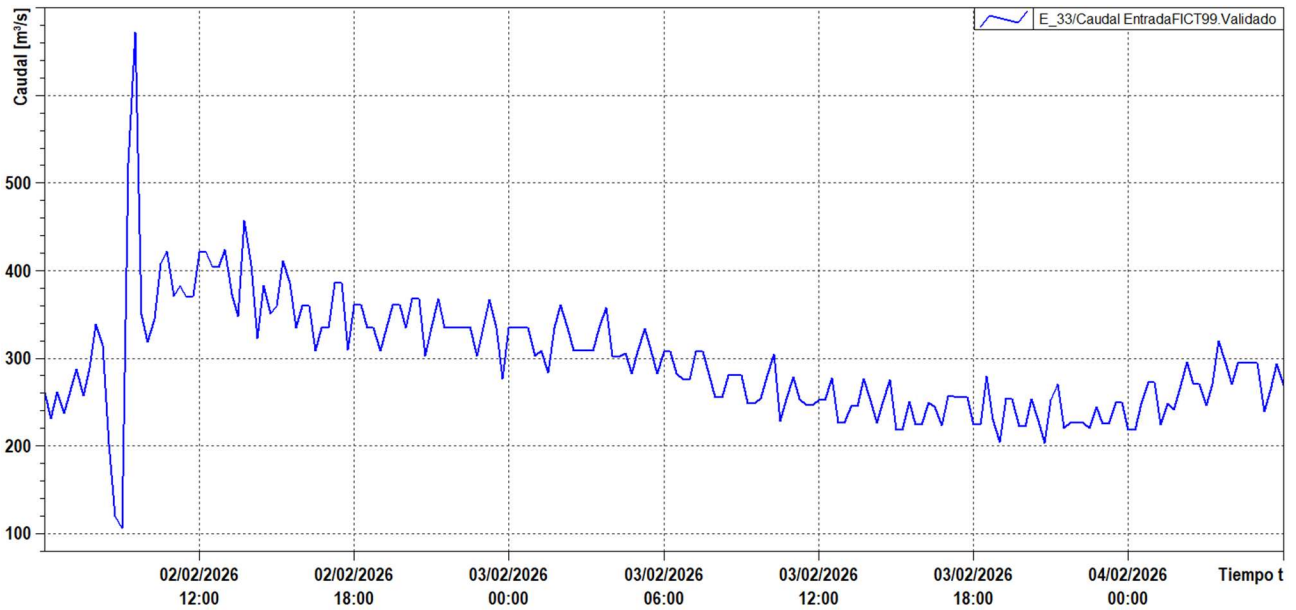
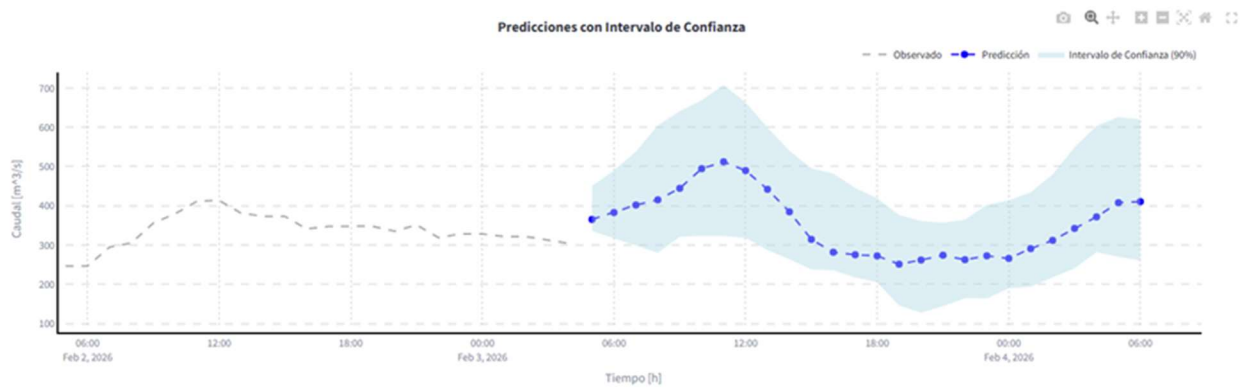
Nombre del archivo csv



03/02/2026

En esta predicción el comportamiento real del caudal de entrada está dentro de la banda inferior del intervalo de confianza.

Últimas Predicciones del modelo de Rosarito, con la versión Rosarito-base



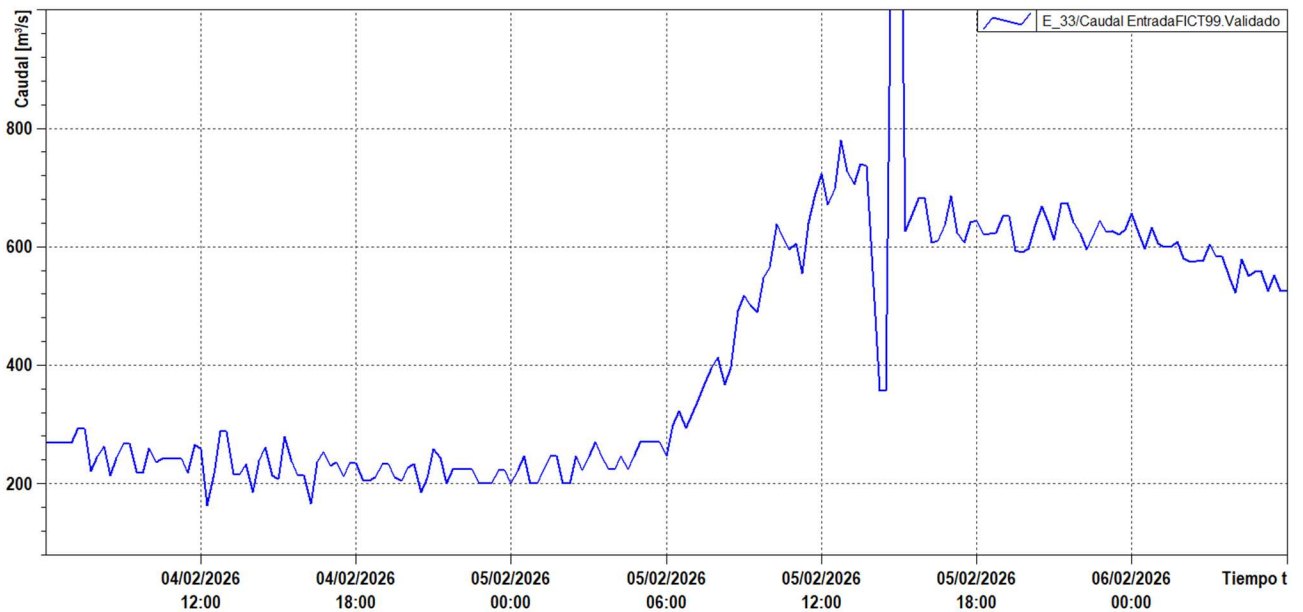
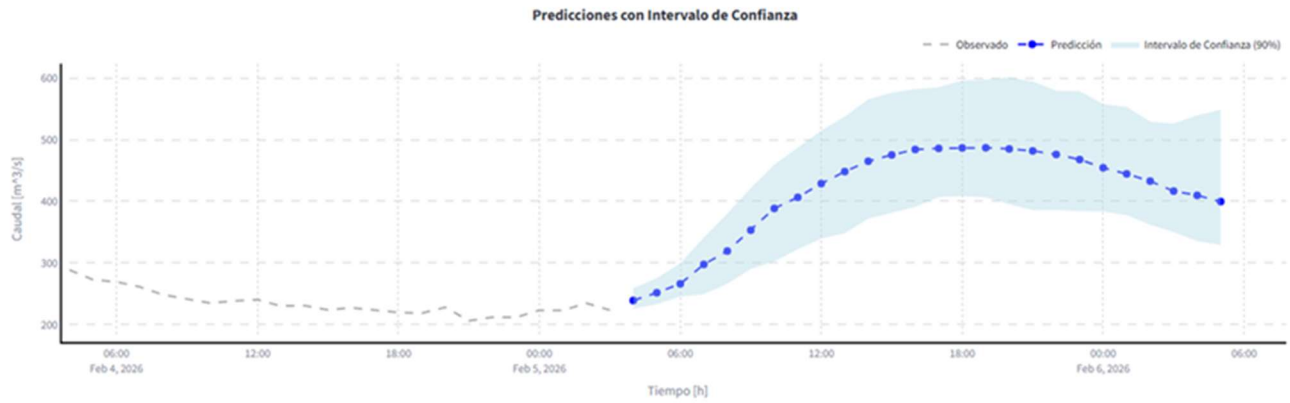
05/02/2026

Para el día 05, se observa que la predicción se vuelve a quedar corta. La tendencia es la adecuada, pero el valor del caudal pico fue de aproximadamente 740 m³/s, valor que excede el intervalo de confianza.

Selecciona el modelo

Rosarito-base

Últimas Predicciones del modelo de Rosarito, con la versión Rosarito-base



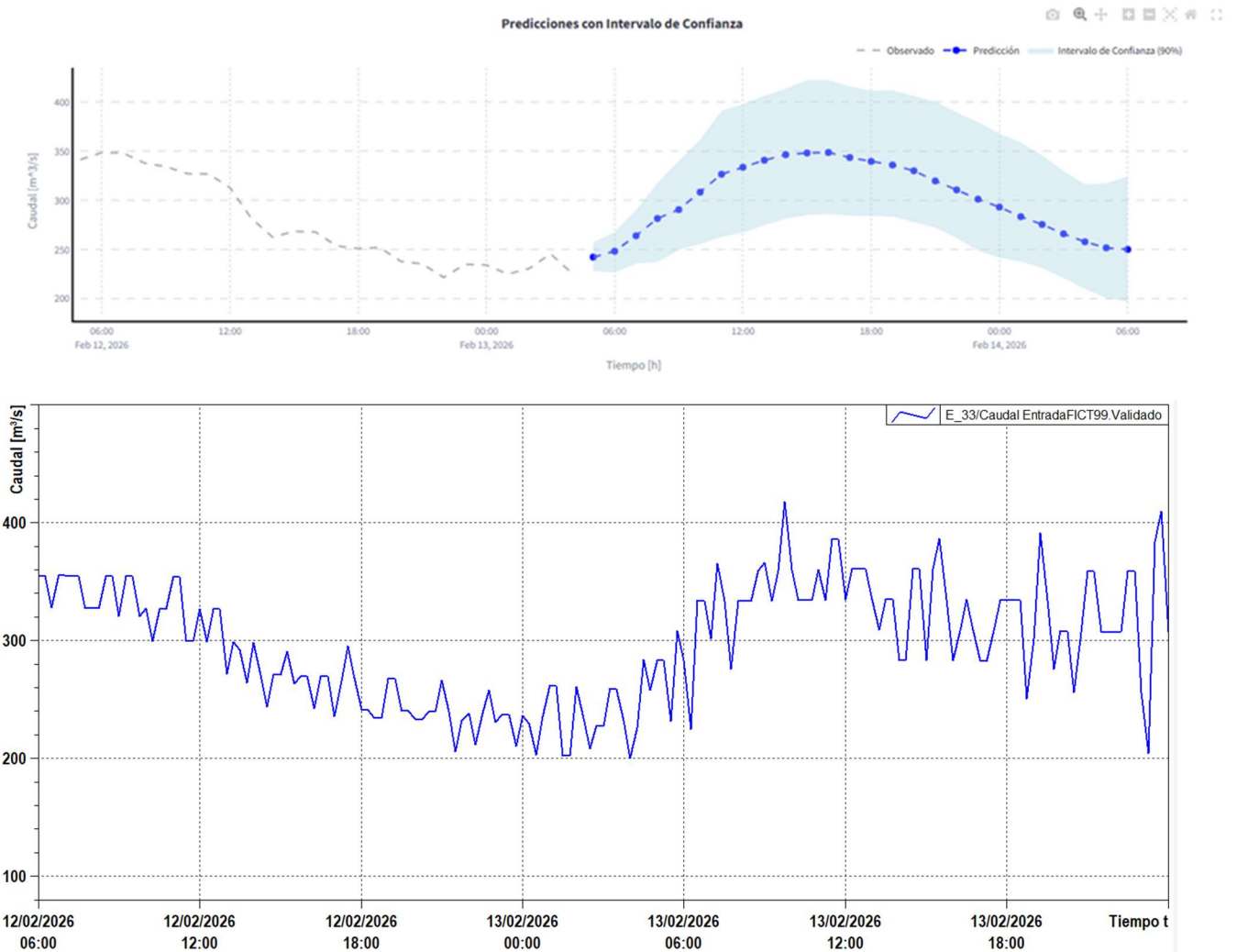
13/02/2026

Para el día 13, se observa que el modelo contiene en su intervalo de confianza el comportamiento real de las entradas del embalse E_33.

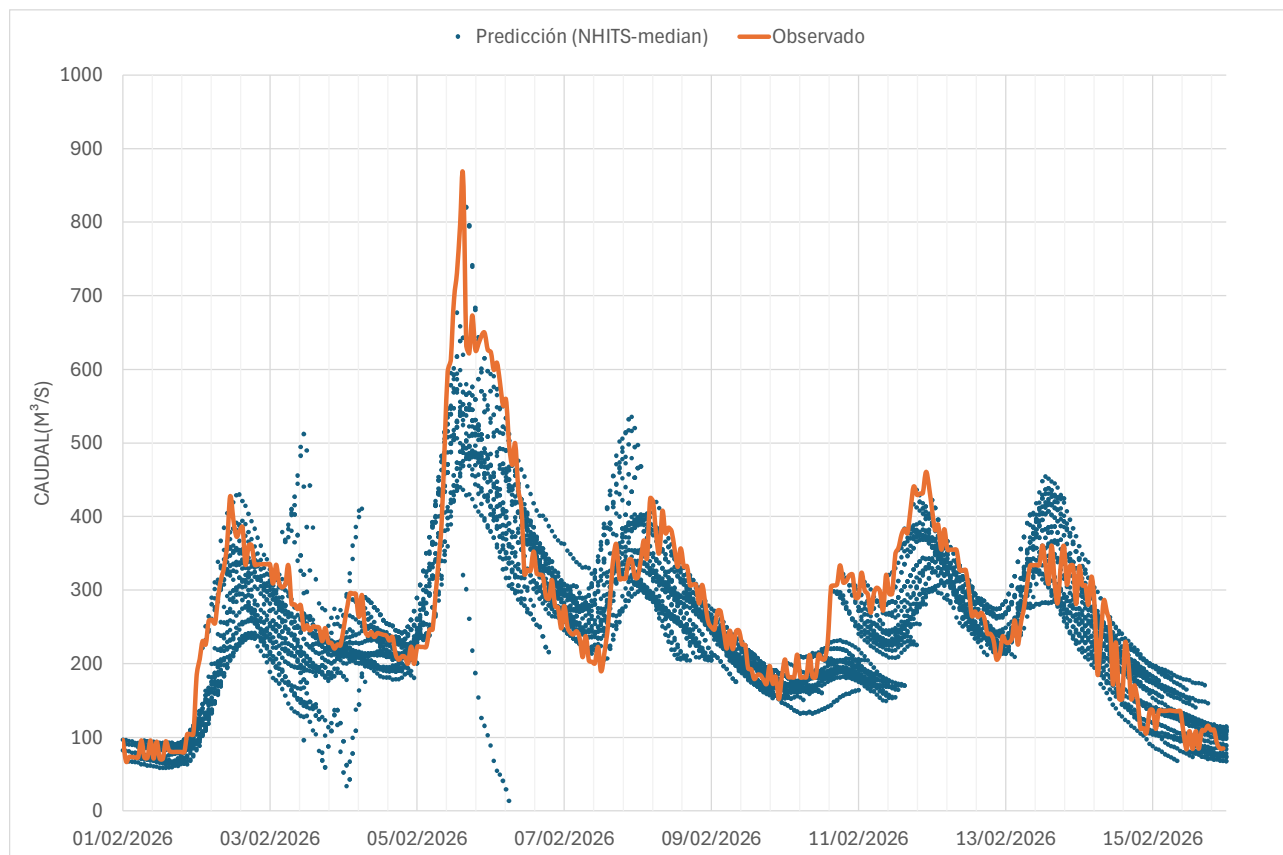
Selecciona el modelo

Rosarito-base

Últimas Predicciones del modelo de Rosarito, con la versión Rosarito-base ⇔



A continuación se muestran una comparativa entre las predicciones, que periódicamente ha ido lanzando el modelo y el caudal observado posteriormente durante el intervalo de estudio.



4. DESCRIPCIÓN DEL EPISODIO

El episodio que se analiza en el presente documento se caracteriza por la consecución de siete borrascas muy próximas entre sí, sin apenas pausa entre una y otra. No han dejado lluvias especialmente intensas, pero si muy prolongadas en el tiempo suponiendo 25 días consecutivos con alertas meteorológicas. Esto es lo que ha hecho que se considere un evento excepcional.

A continuación, se indica la fecha de inicio de cada una de las borrascas:

Nombre	Fecha	Servicio Met. que puso el nombre
Ingrid	20/01/2026	IPMA (Portugal)
Joseph	25/01/2026	IPMA (Portugal)
Kristin	27/01/2026	IPMA (Portugal)
Leonardo	02/02/2026	IPMA (Portugal)
Marta	05/02/2026	IPMA (Portugal)
Nils	10/02/2026	Météo – France
Oriana	11/02/2026	AEMET

Fuente: Agencia Estatal de Meteorología AEMET

Los sistemas de la cuenca hidrográfica del Tajo más afectados han sido los situados en la zona más occidental de la cuenca; el Árrago, Alagón, y Tiétar. Aunque también se han tenido que realizar desembalses en los sistemas del Alberche, Madrid (Manzanares y Jarama) y Henares.

Se han registrado caudales históricos de desembalse a Portugal alcanzando un máximo de 6.383 m³/s el día 05/02/2026, superando los 4.369,5 m³/s del 01/04/2013.

Al inicio del evento la cuenca almacenaba un total de 6.681 hm³ lo que supone un 60,5 % del volumen total. Con las lluvias registradas durante los 25 días que ha durado el episodio, el volumen de la cuenca se incrementó notablemente, alcanzando al final del episodio los

9.182 hm³ (83%) de volumen almacenado. El día 20 de febrero se alcanzó el máximo histórico de volumen almacenado por segundo año consecutivo con 9.204 hm³ (83,3%).

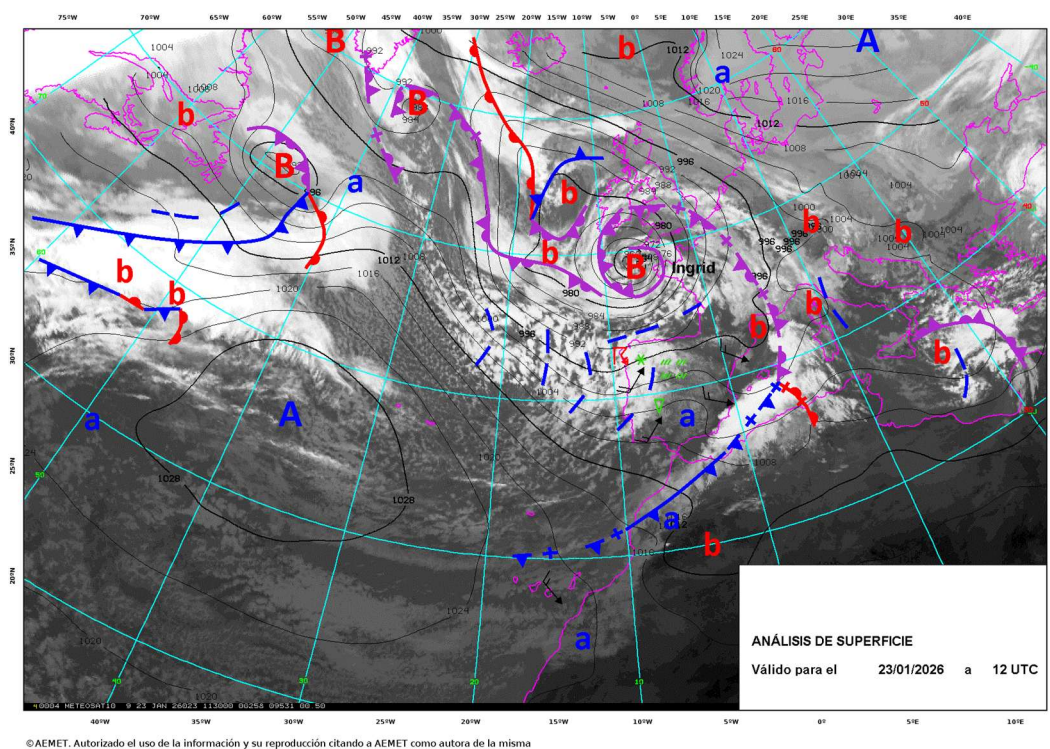
4.1. BORRASCA INGRID

Ingrid fue la novena borrasca nombrada de la temporada 2025-2026 y recibió su nombre por el Instituto Português do Mar e da Atmosfera (IPMA). Afectó a la península ibérica entre los días 22 y 25 de enero de 2026, dando lugar a un episodio invernal muy adverso caracterizado por un intenso temporal marítimo, vientos muy fuertes y nevadas en cotas bajas, especialmente en el cuadrante noroccidental peninsular, así como precipitaciones generalizadas. Su impacto estuvo asociado a una circulación atlántica muy activa favorecida por el rápido desarrollo y profundización de la borrasca y que dio lugar a una entrada de una masa de aire marítimo polar, que provocó un acusado descenso térmico.

La presencia de un potente chorro en altura favoreció la génesis de una profunda borrasca al noroeste de la Península, nombrada como Ingrid, que experimentó un proceso de ciclogénesis explosiva mientras se desplazaba hacia las islas británicas. En combinación con el anticiclón de las Azores se estableció un marcado pasillo de vientos del noroeste que canalizó aire marítimo polar hacia la península ibérica. Ingrid se formó al noroeste de la Península la tarde del 22 y se desplazó rápidamente hacia el noreste, barriando con sus sistemas de frentes toda la Península y Baleares durante las últimas horas del 22 y la primera mitad del 23.

Tras el paso de los sistemas frontales, el día 23 y la primera mitad del 24, la Península se vio afectada por varias líneas de inestabilidad asociadas a la descarga posfrontal. Como consecuencia de lo anterior, desde el viernes 23 de enero se produjeron precipitaciones generalizadas, en muchos casos en forma de chubascos, con un descenso progresivo de la cota de nieve. Durante la tarde del viernes 23 y la mañana del sábado 24 la nieve llegó a aparecer por debajo de los 300-400 metros en zonas del interior de Galicia y la meseta Norte, extendiéndose a amplias áreas de la mitad norte. Las nevadas fueron localmente

intensas, con acumulaciones rápidas y acompañadas de rachas fuertes de viento, y por lo tanto con episodios de ventisca. Los mayores espesores se registraron en áreas montañosas del macizo Galaico-Leonés, la cordillera Cantábrica, el sistema Central, el oeste del sistema Ibérico y Sierra Nevada, con acumulados del orden de 10 a 20 cm.



Análisis de superficie de las 12 UTC para el día 23 de enero de 2026. (Fuente: Agencia Estatal de Meteorología - AEMET)

En la cuenca del Tajo esta primera borrasca tuvo poca incidencia en el comportamiento de los niveles de los ríos, que se incrementaron levemente, salvo en la cuenca del Árrago donde el día 21/01/2026 ya se registraron subidas de cierta entidad.

4.2. BORRASCA JOSEPH

La borrasca Joseph fue nombrada por el IPMA el 25 de enero de 2026. Siendo la décima borrasca de gran impacto dentro de la temporada 2025/2026.

Durante el 24 de enero se formó una profunda ciclogénesis en el Atlántico Norte. Su llegada a la Península se produjo el lunes 26 de enero, inmediatamente después del paso de la borrasca Ingrid, dando lugar a un episodio de tiempo adverso caracterizado por precipitaciones muy abundantes en el oeste y noroeste, viento fuerte o muy fuerte de carácter generalizado y un temporal marítimo intenso, con impactos destacables asociados principalmente a inundaciones y al viento.

Durante la primera mitad del día 26 de enero comenzó a penetrar por el noroeste el primer frente asociado a Joseph, con una banda cálida transportando una gran cantidad de humedad subtropical, y que terminó de barrer la mitad norte peninsular durante el día.

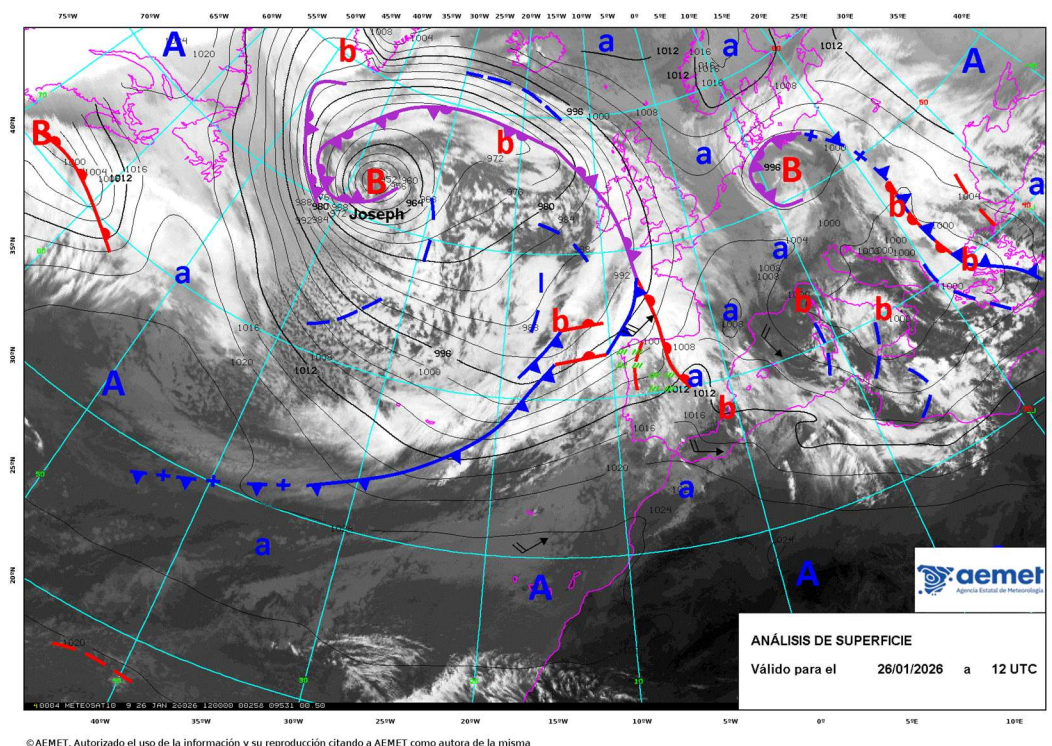
Además, en la tarde el 26, el frente frío asociado a Joseph entró por el noroeste a la vez que una pequeña perturbación situada en la parte trasera del mismo comenzaba a profundizarse. Esta segunda borrasca en rápido desarrollo, alcanzó el sistema de frentes asociado a Joseph a últimas horas del día 26, profundizándose aún más, mientras su centro se desplazaba al noreste y posteriormente al norte, conformando la borrasca nombrada como Chandra por el Met Office.

El frente frío asociado en este punto a Chandra, terminó de barrer la Península de oeste a este durante el día 27, dando lugar a precipitaciones generalizadas, alcanzando Baleares por la tarde. Las precipitaciones más abundantes se produjeron durante la primera mitad del día y sobre todo en la mitad oeste con especial incidencia en el norte de Cáceres y sur de Ávila así como en Andalucía occidental, especialmente en Grazalema.

Al mismo tiempo, el paso del frente vino acompañado de un giro del viento de componente sur a componente suroeste, con fuertes rachas de viento en zonas expuestas de la mitad oeste peninsular, más intensas durante la mañana.

Por la tarde, se produjo una entrada de aire más frío e inestable, con chubascos posfrontales que se dieron de forma generalizada, incluyendo Baleares y un descenso progresivo de las

temperaturas. Mientras, el viento canalizado por el gradiente de presión, mantuvo rachas muy fuertes de componente oeste y suroeste sobre todo en la mitad sur y litoral sureste, este peninsular y Baleares. Este fuerte gradiente de presión estuvo favorecido por la localización del anticiclón subtropical centrado al oeste de Canarias.



©AEMET. Autorizado el uso de la información y su reproducción citando a AEMET como autora de la misma

Análisis de superficie de las 12 UTC para el día 26 de enero de 2026 (Fuente: Agencia Estatal del Meteorología - AEMET)

Durante esta borrasca en la cuenca del Tajo el nivel de los ríos comenzó a subir la madrugada del día 27/01/2026, alcanzando el pico de avenida sobre las 08:00 aproximadamente en la cuenca del Árrago, Alagón y en las gargantas del Tiétar. En la mayoría de las estaciones de aforo de la cuenca del río Alagón esta borrasca es la que generó el pico de avenida más alto.

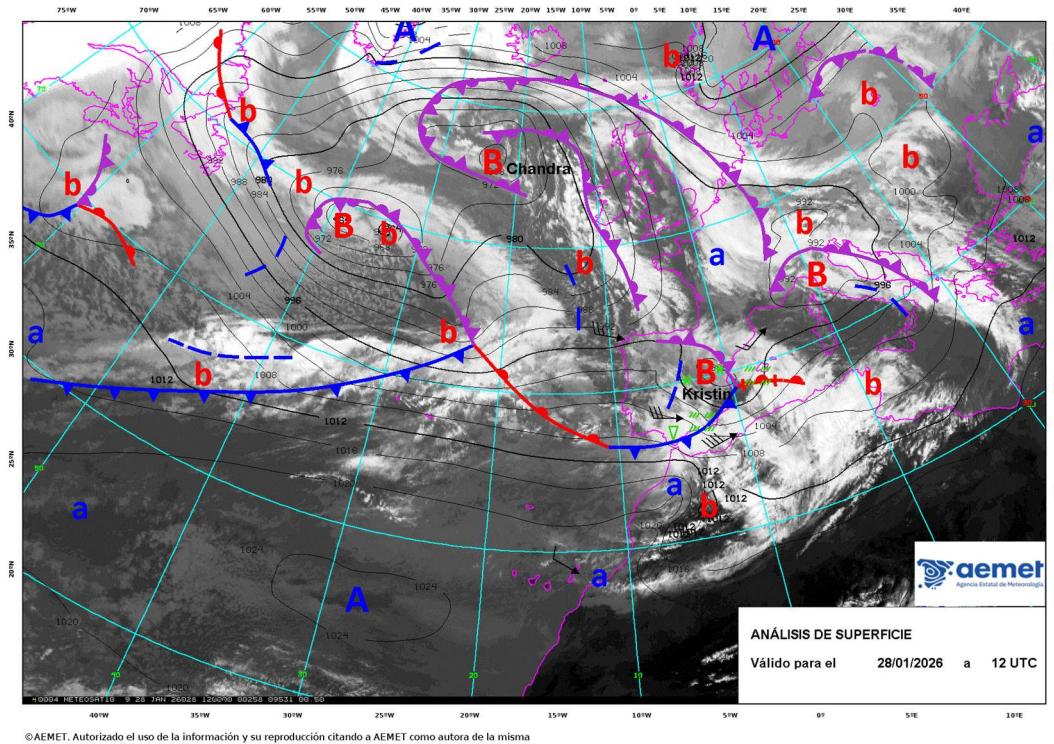
Se comenzaron a realizar maniobras de desembalse en las cuencas del Árrago, Tiétar y Alberche. Comenzó a verter por aliviadero el embalse de Borbollón (E_41), Cazalegas (E_25) e incrementaron sus vertidos el embalse de Rosarito (E_33) y el del Jerte (E_40).

4.3. BORRASCA KRISTIN

La borrasca Kristin fue nombrada por el IPMA el 27 de enero de 2026. Undécima de la temporada 2025-2026.

La jornada más adversa del episodio tuvo lugar el miércoles 28 tratándose de una baja relativamente pequeña pero profunda y de desplazamiento rápido hacia el este, y capaz de generar un episodio generalizado de viento muy fuerte, temporal marítimo, precipitaciones localmente intensas y nevadas con cotas relativamente bajas al comienzo del día 27, seguido de un ascenso posterior de la cota de nieve.

En superficie, Kristin cruzó rápidamente la Península de oeste a este durante el día 28, con un sistema frontal asociado y un marcado gradiente de presión que dieron lugar a intensas precipitaciones de forma generalizada, que fueron en forma de nieve en amplias zonas del interior norte y este, y la zona centro, debido a presencia de una masa de aire muy fría sobre la mitad norte. Al paso de la borrasca, el acusado gradiente de presión dio lugar a fuertes vientos, especialmente en la mitad sur. A medida que la borrasca se desplazó al este se debilitó y alcanzó el Mediterráneo por la tarde. El día 29 el centro depresionario se sitúa ya muy alejado en el Mediterráneo oriental.



Análisis de superficie de las 12 UTC para el día 28 de enero de 2026. (Fuente: Agencia Estatal de Meteorología - AEMET)

En la respuesta de los cauces se observa que el día 28 de enero se registran máximos relativos, siendo los valores de estos picos, los más bajos de todo el conjunto de ondas de avenida, que se suceden durante el episodio completo.

Durante el periodo en el que dura esta borrasca y a la vista de la previsión de una nueva borrasca, empieza a desembalsar por aliviadero el embalse de Cedillo (E_47) el 28/01/2026 y se comenzaron a enviar las comunicaciones a Portugal sobre los caudales de salida de dicho embalse. Así mismo comienzan a soltar caudales por los aliviaderos Valdeobispo (E_39) el 02/02/2026 por la tarde y el embalse de Alcántara (E_45) el día 04/02/2026.

En la cuenca del Henares comienza desembalsando por aliviadero Pálmaces (E_08) el día 28/01/2026, seguido de Beleña (E_11) que incrementa su caudal de salida el 01/02/2026 y por último Alcorlo (E_09) que aumenta las salidas por los desagües de medio fondo el 03/02/2026.

4.4. BORRASCA LEONARDO

La borrasca Leonardo fue nombrada por el IPMA el 2 de febrero de 2026.

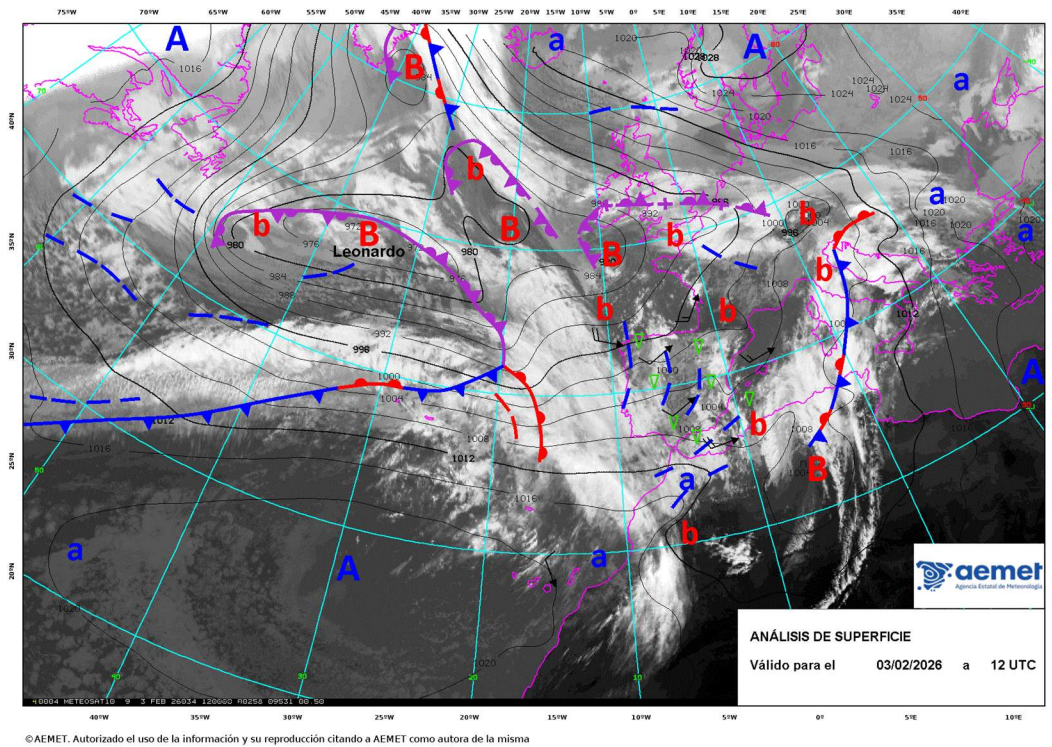
El temporal atlántico asociado a Leonardo afectó a toda la Península excepto en su cuadrante noreste, comenzó el miércoles 4 de febrero y su duración se extiende al menos hasta el sábado 7. El episodio dejó precipitaciones muy abundantes y persistentes con máximos extraordinarios en el entorno de las Béticas occidentales, especialmente en la localidad de Grazalema (Cádiz), con acumulaciones de precipitación extraordinarias, junto con un temporal de viento con rachas muy fuertes en zonas expuestas.

La borrasca Leonardo permaneció estacionaria al noroeste de la Península desde el día 4 hasta el fin de semana del 7 y 8 de febrero. La circulación inducida por Leonardo favoreció el arrastre hacia el tercio sur peninsular de una masa de aire de origen tropical con gran cantidad de agua precipitable y anómala para la época, ingrediente clave para la persistencia de las precipitaciones, especialmente en zonas de realce orográfico a barlovento del flujo del oeste.

El miércoles 4 fue el día de mayor adversidad por la combinación de esa masa húmeda con los primeros sistemas frontales, especialmente el frente cálido, que se mantuvo estacionario al sur de la Península, y que produjo precipitaciones muy persistentes y de carácter extraordinario en amplias zonas de Andalucía.

El jueves 5 persistió el flujo del oeste y suroeste con nuevos frentes, con tendencia a desplazar parte de los máximos hacia áreas montañosas del centro y norte a barlovento, mientras continuaba la precipitación en puntos de las Béticas. Tras el avance del frente frío y la entrada de masa fría posfrontal, el régimen evolucionó hacia chubascos, localmente fuertes y con tormenta en el tercio oeste peninsular. El día 5 las rachas de viento posfrontales fueron significativas en gran parte de la Península y Baleares, registrándose las intensidades más fuertes en el cuadrante sureste peninsular.

El viernes 6 se produjo un progresivo debilitamiento de la borrasca que se mantuvo estacionaria al suroeste de las islas británicas, manteniendo aún su influencia.



Análisis de superficie de las 12 UTC para el día 3 de febrero de 2026. (Fuente: Agencia Estatal de Meteorología - AEMET)

Se produjeron crecidas en los ríos y en los caudales de entrada a los embalses que suponen en la mayoría de los casos los máximos caudales registrados durante el episodio. El día 5 se incrementaron notablemente los caudales desembalsados en la mayoría de las presas.

El día 05/02/2026 se aumenta el caudal de salida Valdeobispo (E_39) y el 06/02/2026 se suma Guijo de Granadilla, que comienza a verter por aliviadero también.

Asimismo, el día 05/02/2026 a las 09:00, se empieza a soltar por aliviadero en las presas de San Juan (E_19) y Picadas (E_20), pertenecientes a la cuenca del Alberche.

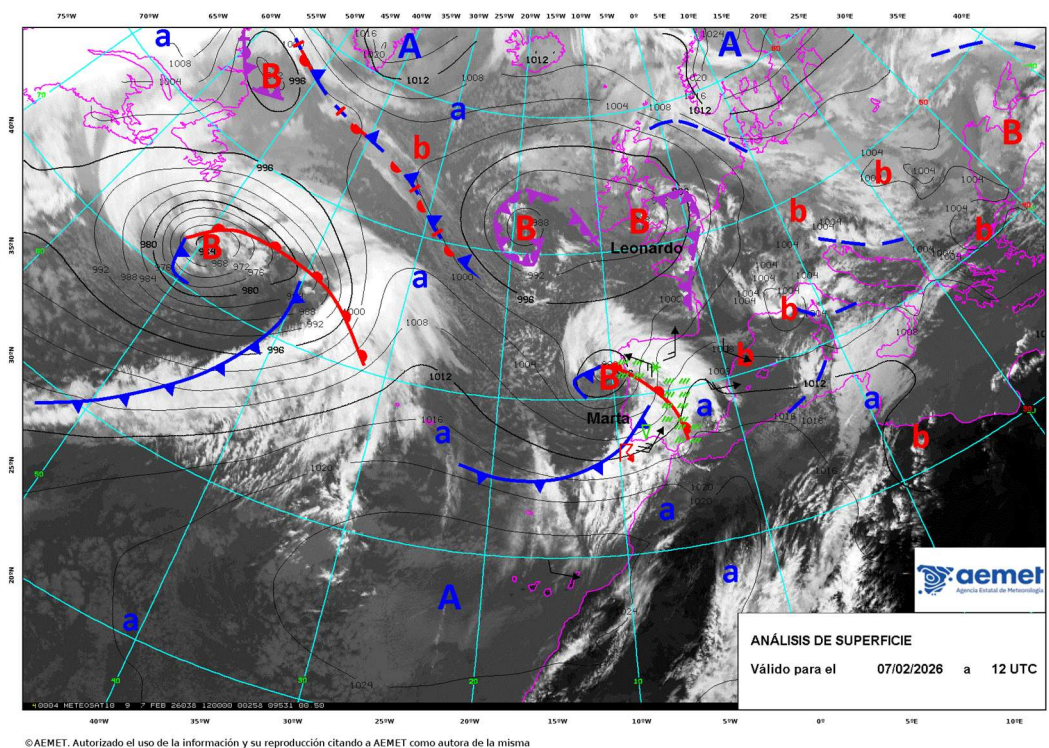
4.5. BORRASCA MARTHA

La borrasca Marta fue nombrada por el IPMA el 5 de febrero de 2026.

El episodio combinó precipitación significativa en el suroeste peninsular y en áreas de montaña del interior, un temporal de viento con rachas muy intensas en puntos expuestos, y una componente invernal con nieve y con afecciones a la movilidad.

Esta borrasca se formó el 5 de febrero al sur de Terranova y se desplazó en los días siguientes rápidamente al este. El día 7, al interactuar con la borrasca Leonardo situada al norte, se profundizó y empezó a afectar a la Península a primeras horas del día pasando a situar su centro al suroeste de Galicia en horas centrales del día. Posteriormente, a lo largo del día 7, se desplazó con rapidez al este para localizarse el domingo 8 en el golfo de Génova.

En su paso a través de la Península, un sistema frontal activo afectó de manera más importante al cuadrante suroeste peninsular con un aporte de flujo húmedo del suroeste, dando lugar a abundantes precipitaciones y fuertes vientos tras el paso del frente frío. La precipitación tendió a adoptar un carácter más de chubascos posfrontales en la vertiente atlántica. Durante el día 7 se produce el tránsito desde una depresión situada al oeste con frentes afectando al sur, hacia una depresión sobre la Península y posteriormente una fase más madura con mayor protagonismo del posfrente y de la advección más fría.



Análisis de superficie de las 12 UTC para el día 7 de febrero de 2026. (Fuente: Agencia Estatal de Meteorología - AEMET)

Esta borrasca tuvo menor impacto en la cuenca del Tajo, tras su paso, durante los días 8 y 9 de febrero de forma generalizada en todos los sistemas se fueron reduciendo progresivamente los caudales desembalsados.

4.6. BORRASCA NILS

La borrasca Nils fue nombrada por MÉTÉO-FRANCE el 10 de febrero de 2026. Es la octava de gran impacto de la temporada 2025-2026. A diferencia de borrascas anteriores, Nils destacó por su rápida velocidad de traslación, una presión atmosférica muy baja y la intensidad de sus vientos.

Empezó a afectar el noroeste peninsular el martes 10 de febrero, impulsada por un "río atmosférico" que inyectó aire templado y húmedo.

Se produjo el pico de intensidad el miércoles 11. El centro de la borrasca se situó cerca de las Islas Británicas, pero su radio de acción generó un fortísimo gradiente de presión sobre España y Portugal.

A partir del viernes 13, Nils se desplazó hacia el noreste de Europa, dando paso a una breve entrada de aire frío (borrasca Oriana) antes de la llegada de un potente anticiclón que estabilizó el tiempo hacia el fin de semana.

Vuelven a subir los niveles de los ríos generando un nuevo pico de avenida el día 11 de febrero aunque inferior que el anterior, la respuesta de los cauces esta vez es pas rápida.

Debido a una nueva subida de los caudales de entrada a los embalses, durante los días 11 y 12 vuelve a haber un incremento en el caudal de salida de las presas, que se encuentran desembalsando. Durante esta borrasca comienza a verter por aliviadero el embalse de Gabriel y Galán (E_36) el día 12/02/2026.

4.7. BORRASCA ORIANA

La borrasca Oriana fue nombrada por la AEMET el 11 de febrero de 2026. Es la novena de la temporada. Su paso entre el 12 y el 16 de febrero marcó el fin del tren de borrascas atlánticas.

A diferencia de sus predecesoras, destacó por inyectar una masa de aire ártico marítimo, lo que desplomó las temperaturas y trajo nieve a cotas inusualmente bajas.

Oriana comenzó a gestarse en el Atlántico, entrando inicialmente por el litoral portugués y Galicia. A medida que se desplazaba hacia el interior peninsular, sufrió un proceso de ciclogénesis que intensificó sus vientos. Durante los días 12 y 13 de febrero hubo lluvias generalizadas en la vertiente atlántica y los primeros avisos rojos y naranjas por viento. El sábado 14 fue el día más crítico. La borrasca se situó sobre el noreste peninsular, creando un gradiente de presión extremo. Destaca la presencia de vientos huracanados,

registrándose rachas de entre 130 y 140 km/h. La cota de nieve bajó hasta los 600 metros en el norte.

A partir del 15 de febrero la borrasca comenzó a trasladarse hacia el Mediterráneo y el Golfo de León, permitiendo la entrada del anticiclón de las Azores por el oeste.

Para el lunes 16, la estabilidad empezó a imponerse, cerrando un ciclo histórico de 25 días de borrascas ininterrumpidas.

Finalizadas las lluvias se continuaron con las maniobras de desembalses un tiempo, para permitir que las presas volvieran a su estado de normalidad.

La subida de la cota en el embalse de Entrepeñas hizo que se abriera el trasvase a Buendía el 19/02/2026 a las 12:00. desviando inicialmente 4 m³/s y llegando a evacuar un máximo de 28,80 m³/s.

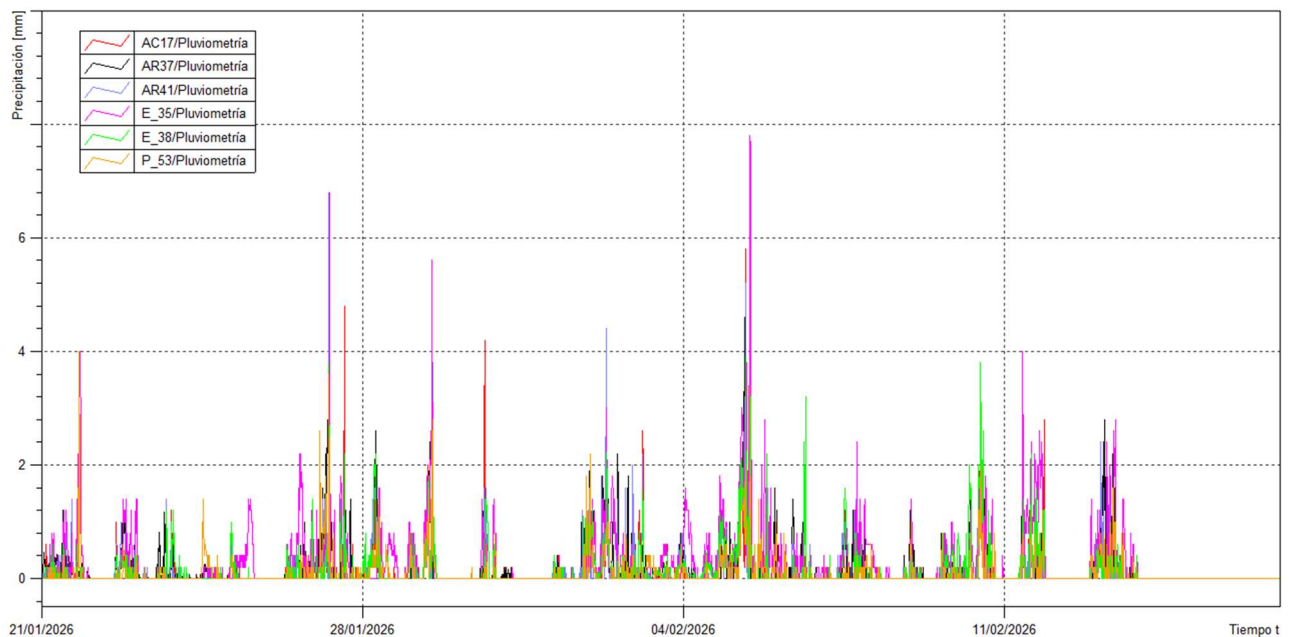
5. PRECIPITACIONES

Tal y como se ha descrito en el anterior epígrafe, a nivel pluviométrico, las lluvias fueron generalizadas afectando a todos los sistemas de la cuenca.

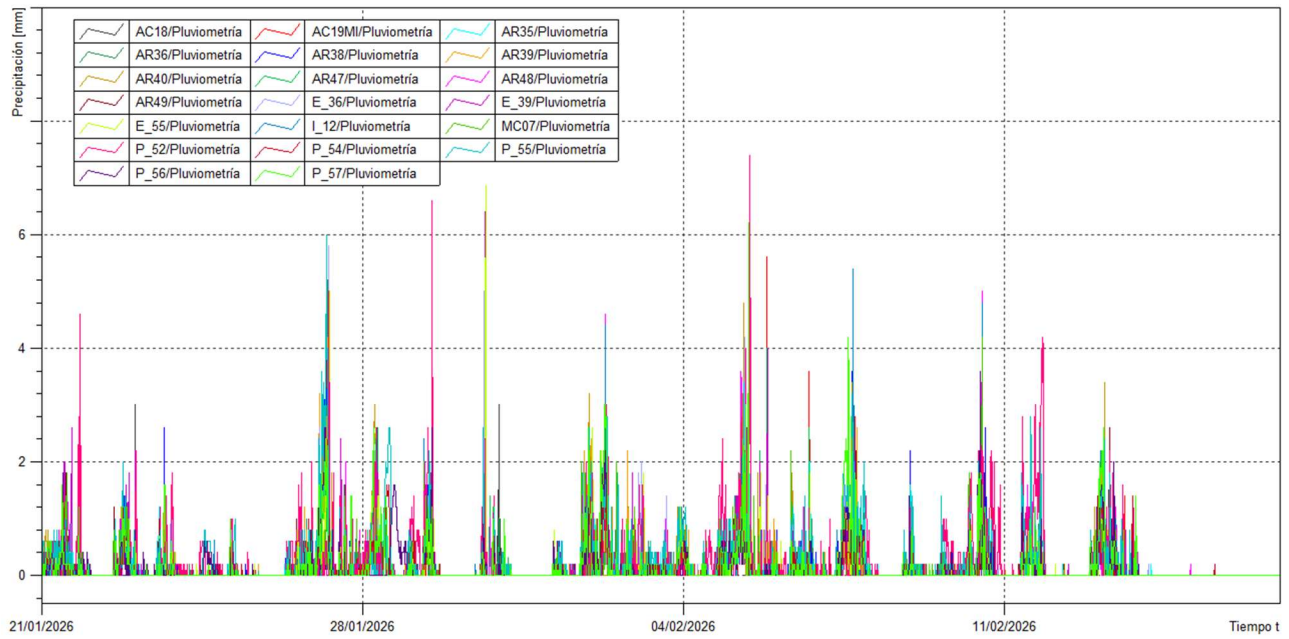
5.1. HIETOGRAMAS POR SISTEMAS

A continuación, se adjuntan los datos quinceminutales registrados por los pluviómetros en los diferentes sistemas afectados:

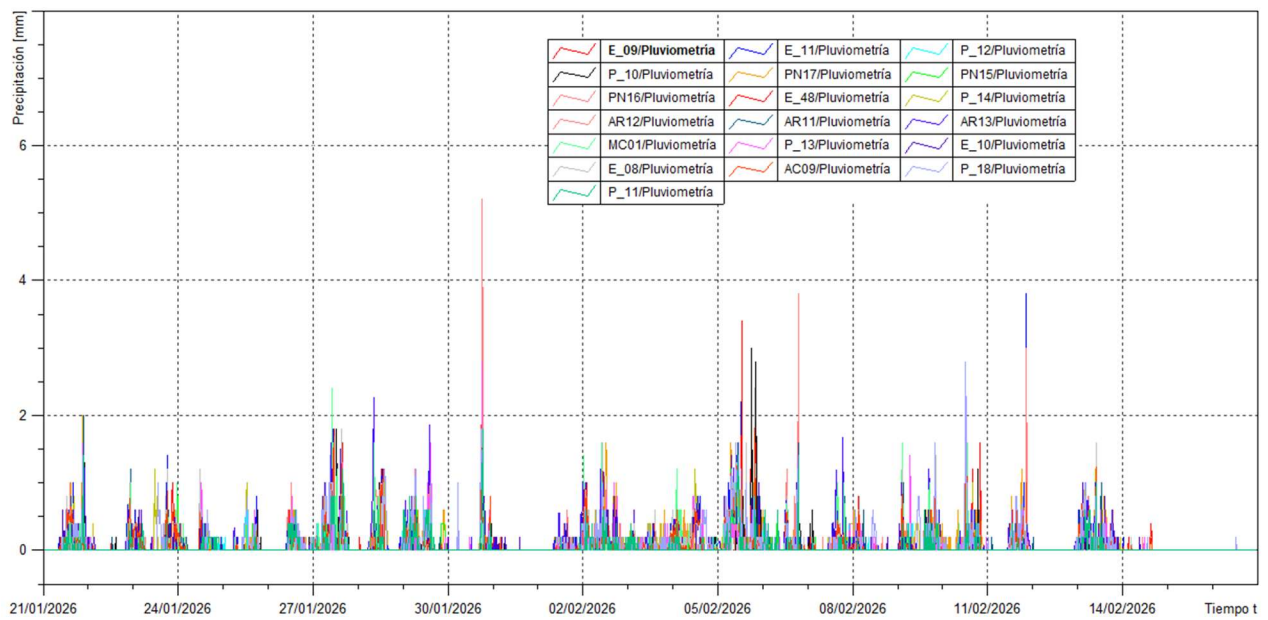
5.1.1. SISTEMA ALAGÓN. MARGÉN IZQUIERDA (MI)



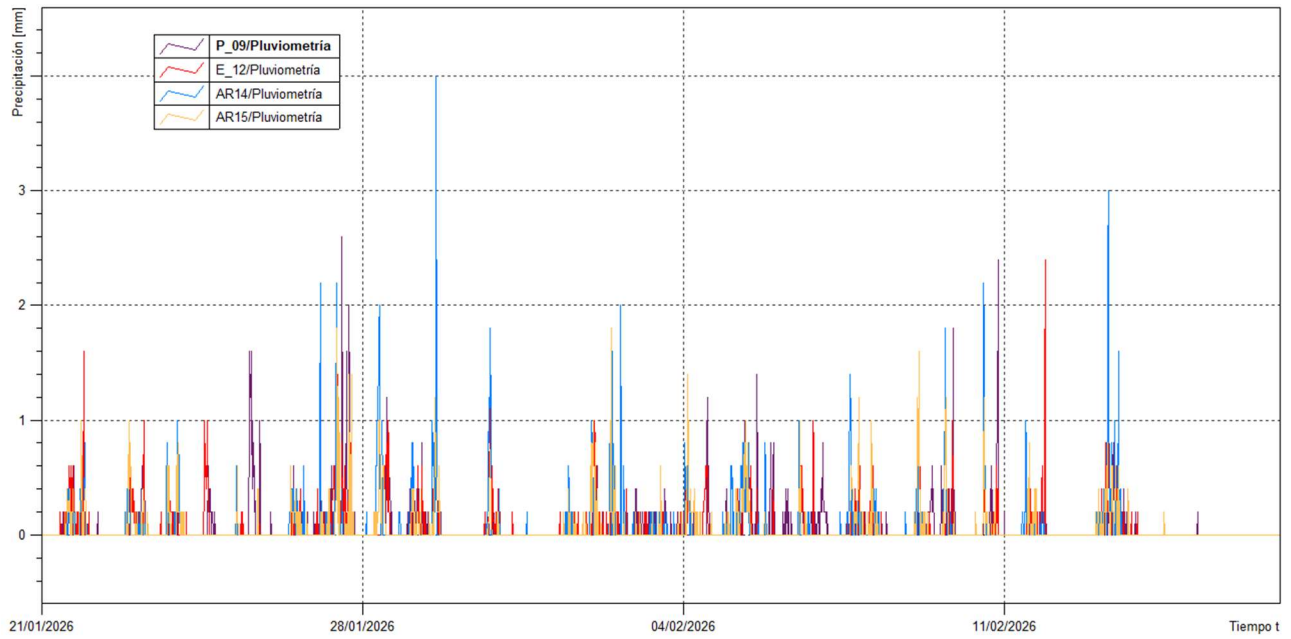
5.1.2. SISTEMA ALAGÓN. MÁRGEN DERECHA (MD)



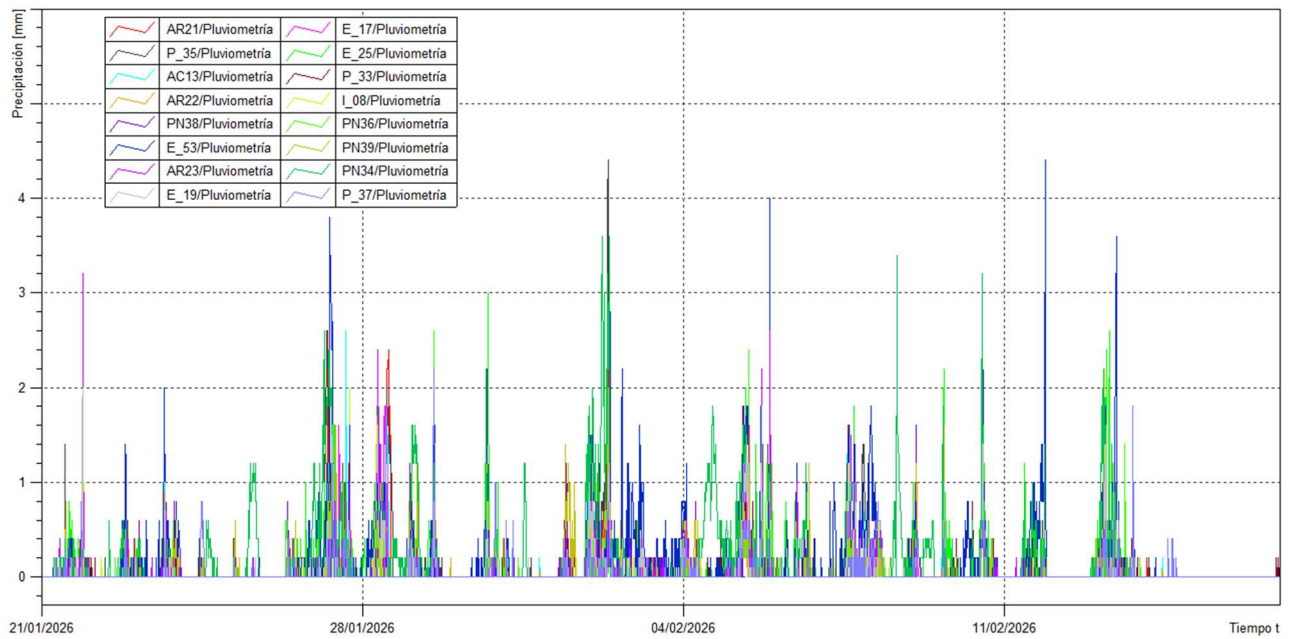
5.1.3. SISTEMA HENARES



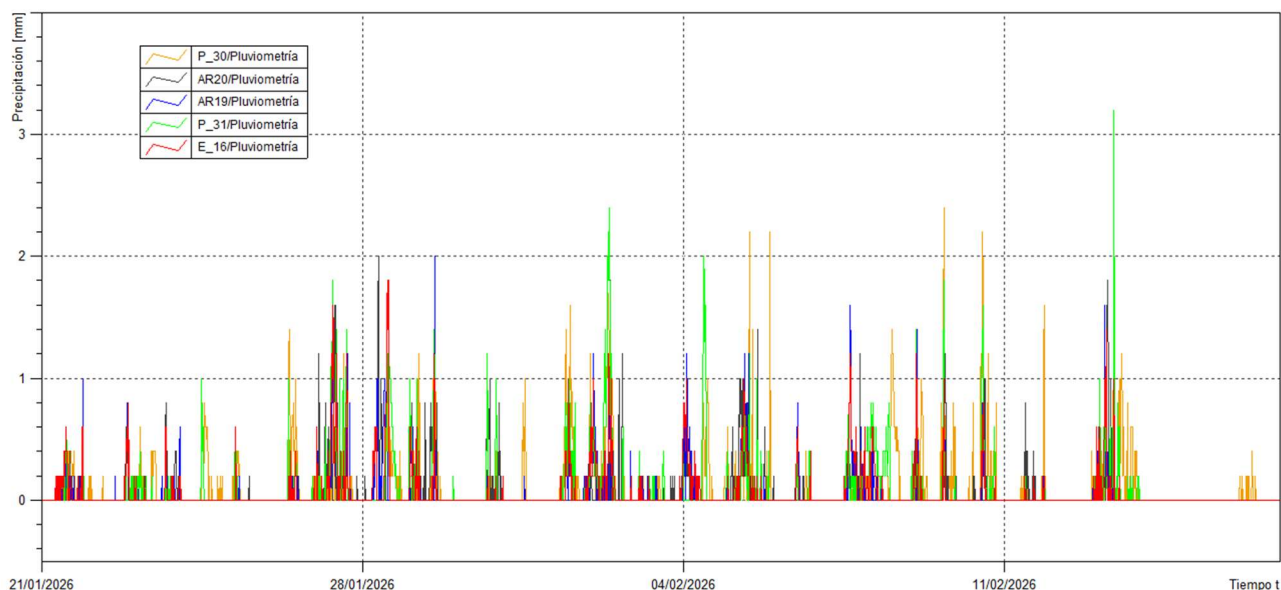
5.1.4. SISTEMA TAJUÑA



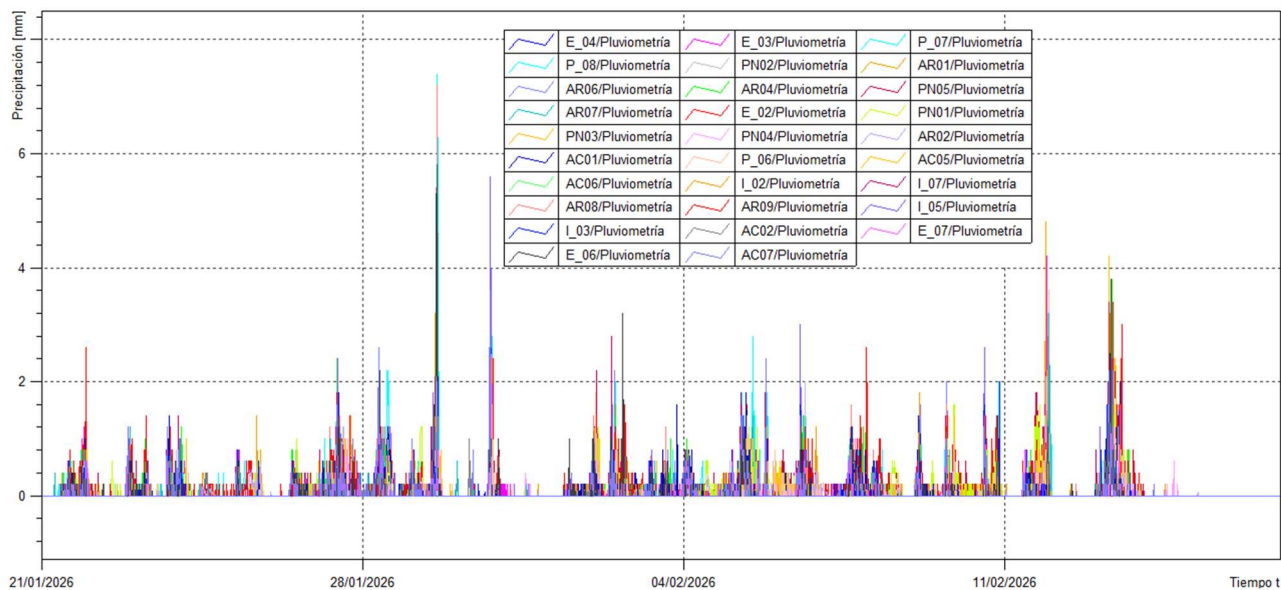
5.1.5. SISTEMA ALBERCHE



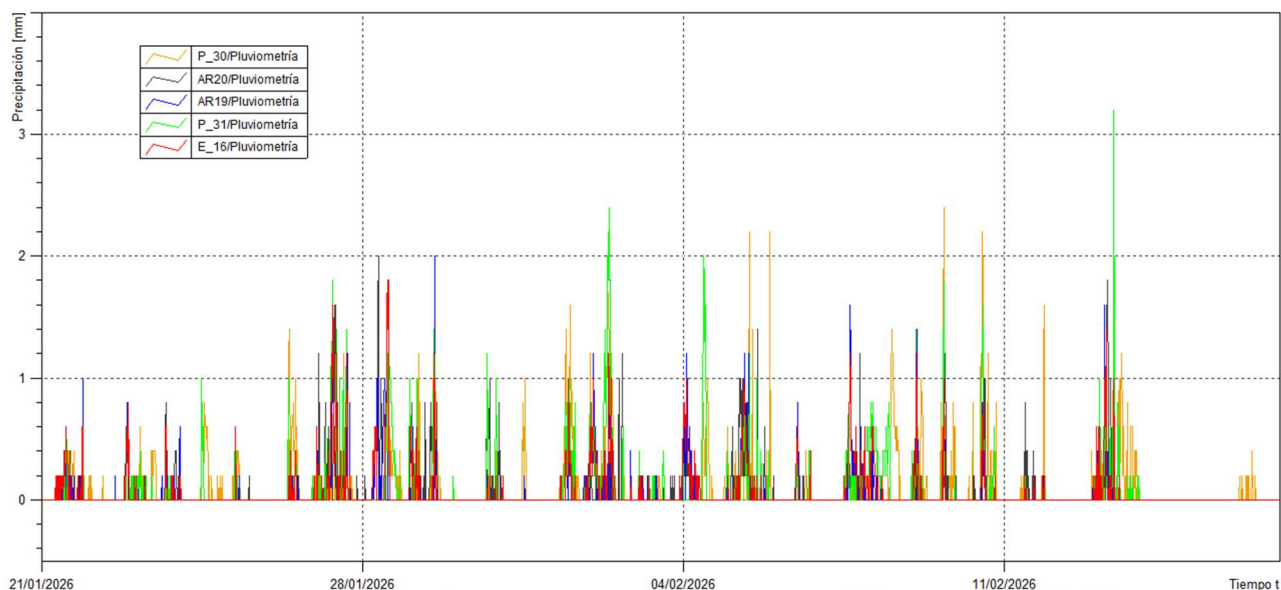
5.1.6. SISTEMA MADRID. GUADARRAMA



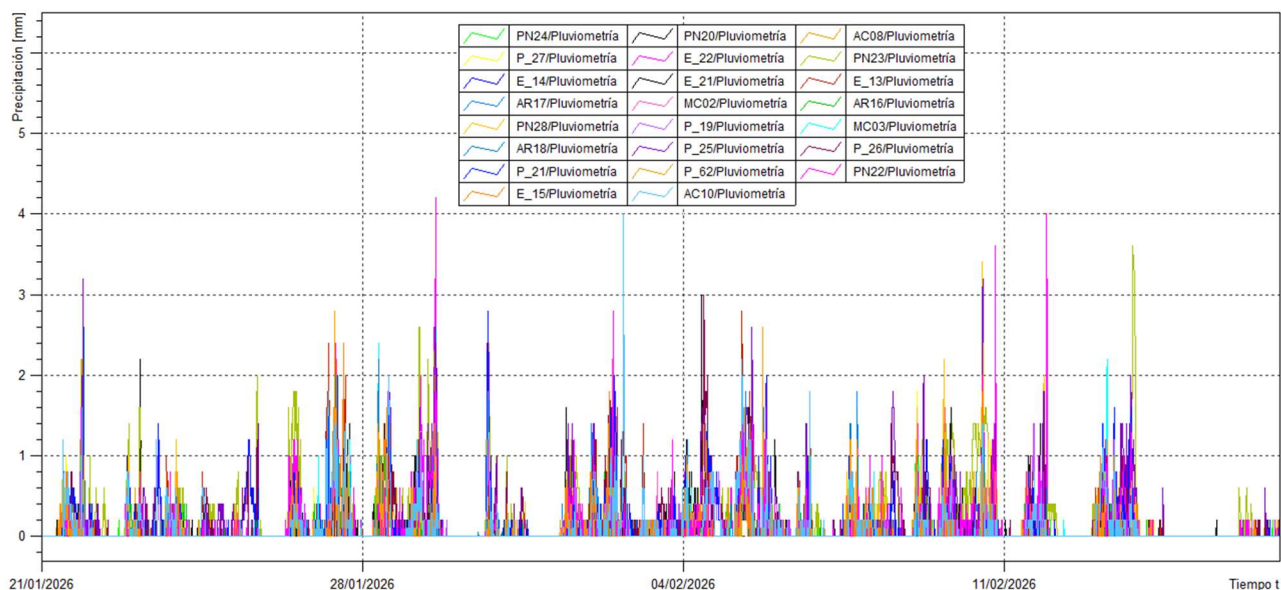
5.1.7. SISTEMA CABECERA



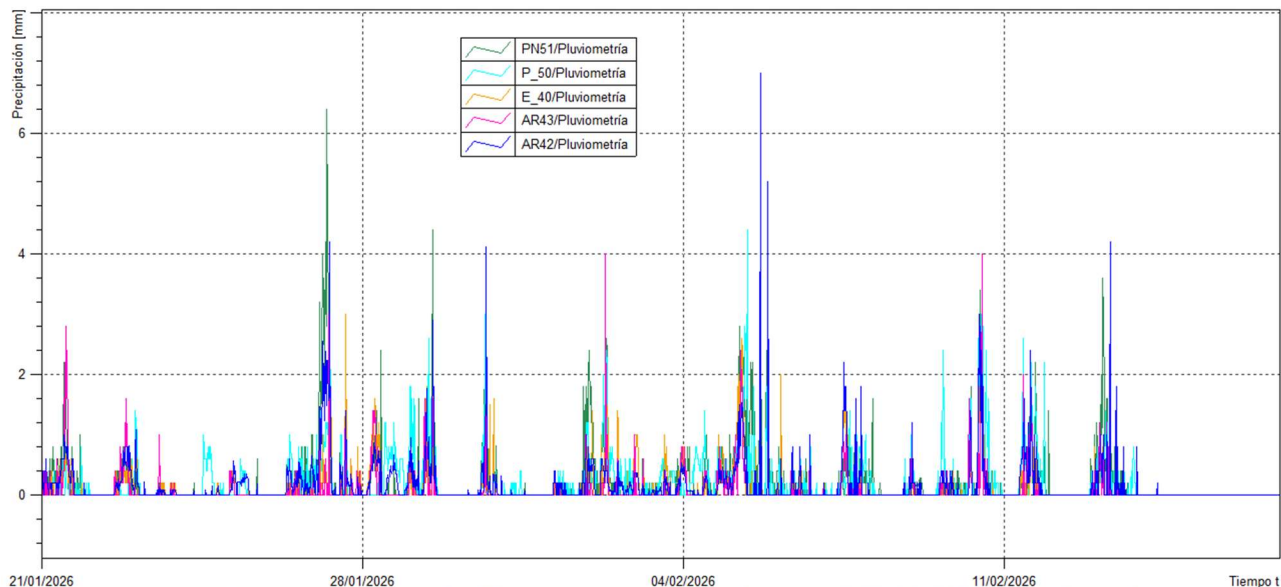
5.1.8. SISTEMA MADRID. GUADARRAMA



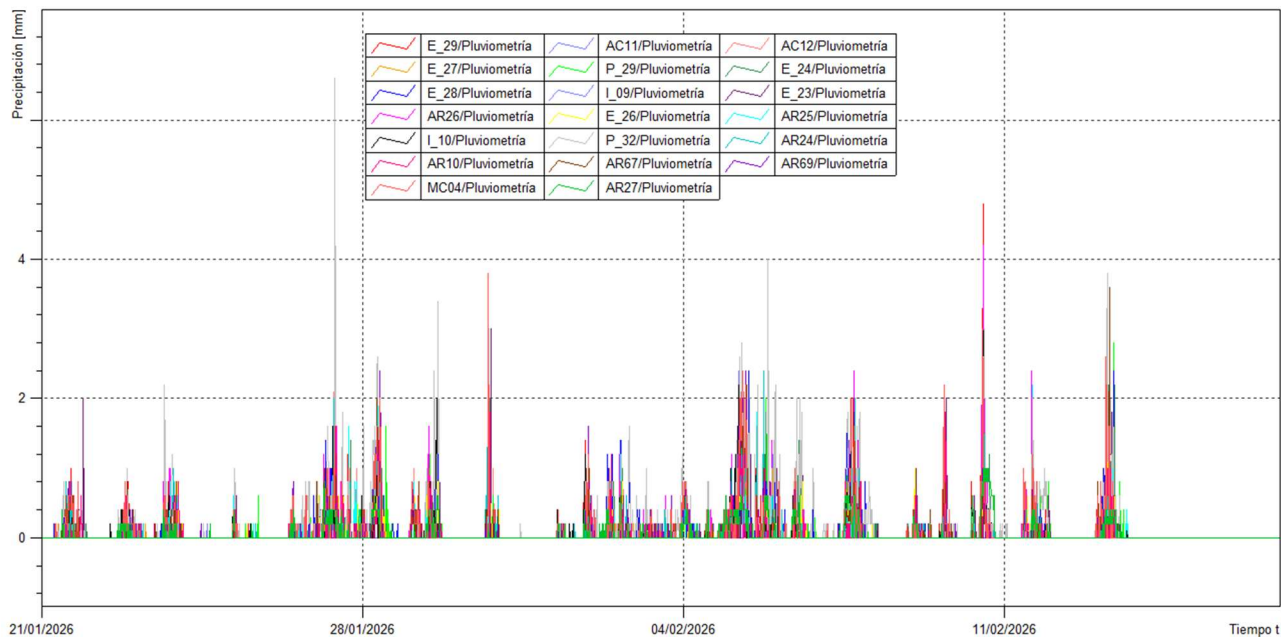
5.1.9. SISTEMA MADRID. JARAMA



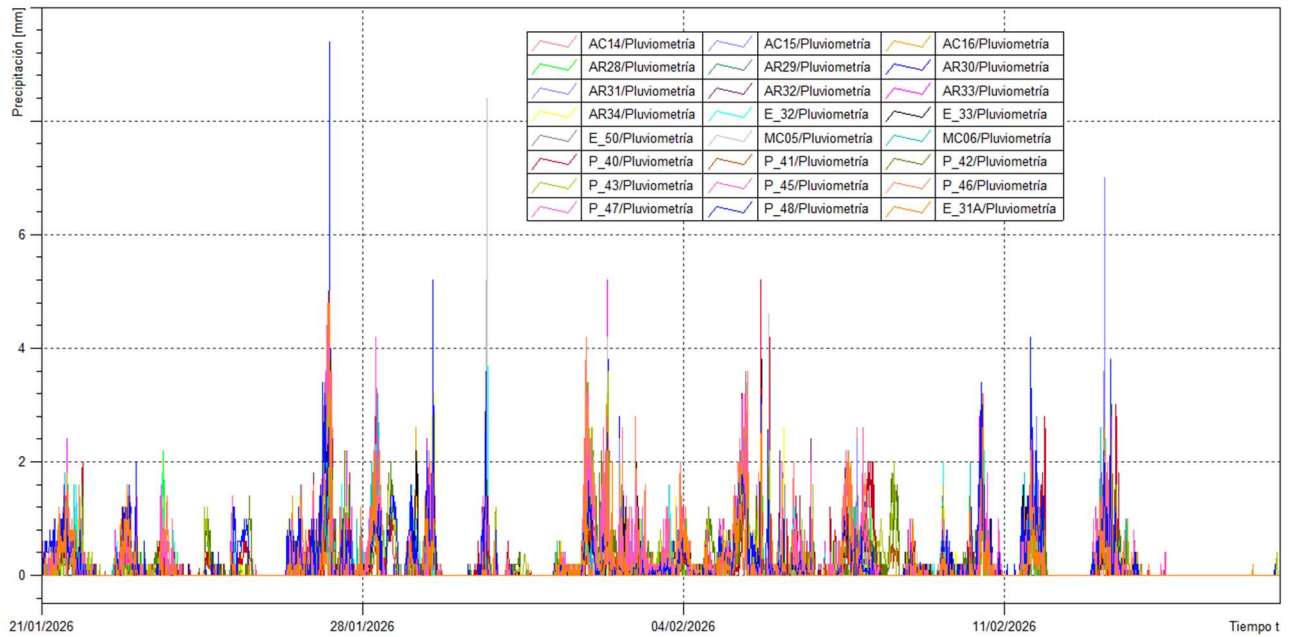
5.1.10. SISTEMA ALAGÓN. JERTE



5.1.11. SISTEMA TAJO IZQUIERDA



5.1.12. SISTEMA TIÉTAR

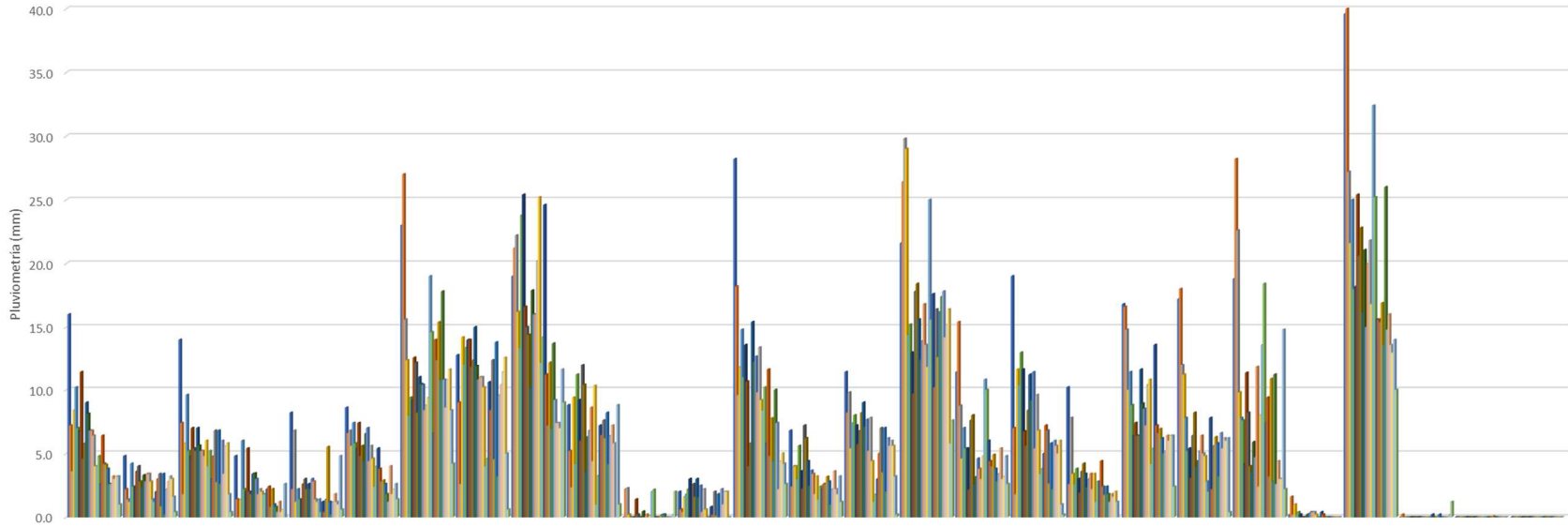


5.2. PRECIPITACIÓN ACUMULADA DIARIA

A continuación, se adjunta la precipitación acumulada diaria para los puntos de pluviometría con registros más importantes, con precipitaciones acumuladas.

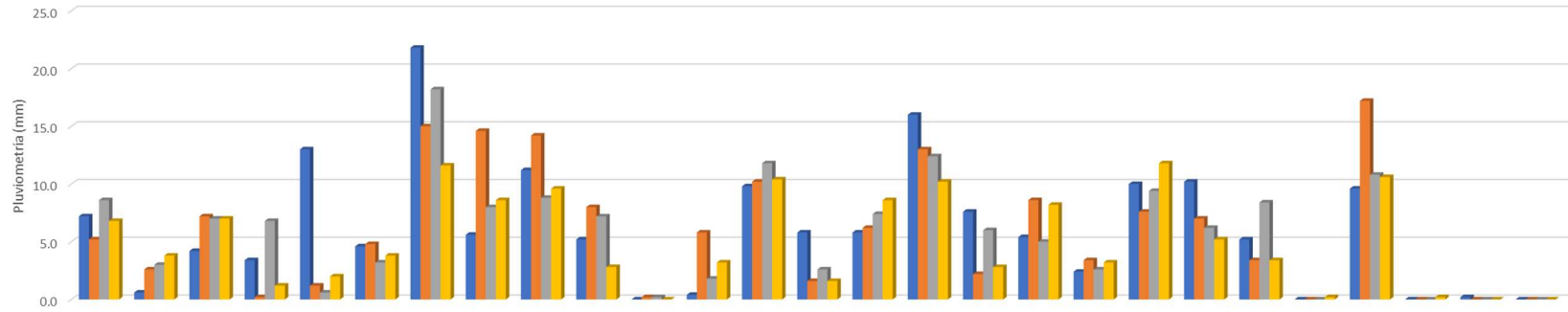
Se puede consultar la ubicación de los pluviómetros en el ANEXO I del presente documento.

Precipitaciones representativas Cabecera



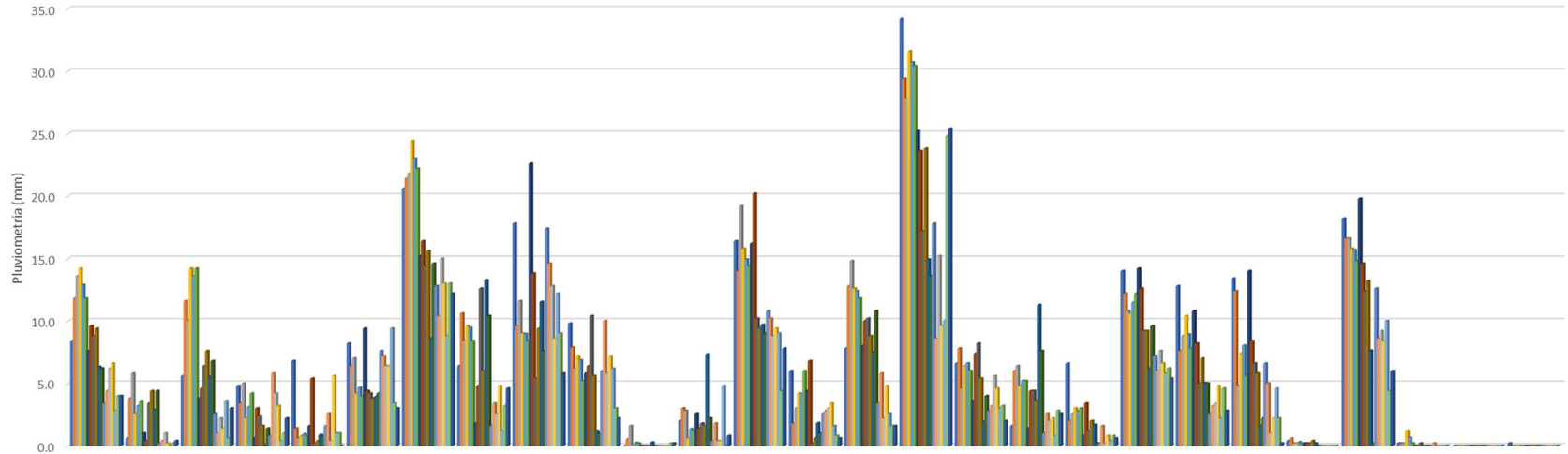
	21-ene.	22-ene.	23-ene.	24-ene.	25-ene.	26-ene.	27-ene.	28-ene.	29-ene.	30-ene.	31-ene.	1-feb.	2-feb.	3-feb.	4-feb.	5-feb.	6-feb.	7-feb.	8-feb.	9-feb.	10-feb.	11-feb.	12-feb.	13-feb.	14-feb.	15-feb.	16-feb.
E_02	16.0	4.8	14.0	4.8	8.2	8.6	23.0	12.8	19.0	8.8	0.0	2.0	28.2	6.8	11.4	21.6	11.4	19.0	10.2	16.8	17.2	18.8	0.2	39.6	0.0	0.0	0.0
PN05	7.2	2.2	7.4	1.4	2.2	6.6	27.0	9.0	21.2	5.2	2.2	0.6	18.2	2.4	8.2	26.4	15.4	7.0	2.6	16.6	18.0	28.2	1.6	40.0	0.2	0.0	0.0
PN01	3.6	1.4	1.8	0.0	6.8	6.8	15.6	2.6	22.2	2.3	2.3	0.4	9.6	4.0	9.8	29.8	8.8	1.8	7.8	14.8	12.0	22.6	0.2	27.2	0.0	0.0	0.0
P_08	8.4	1.2	5.8	1.4	1.2	5.6	12.4	14.2	16.2	9.4	0.2	1.6	11.8	4.0	5.4	29.0	4.6	11.6	3.4	10.0	11.2	9.8	1.0	21.6	0.0	0.0	0.0
AR04	10.2	4.2	9.6	6.0	2.2	7.4	8.0	12.0	13.4	4.2	0.0	1.8	14.8	3.0	7.4	14.4	7.0	10.4	2.6	11.4	7.8	7.8	0.2	25.0	0.0	0.0	0.0
AR08	7.0	2.4	5.2	2.2	1.4	5.8	9.4	13.4	23.8	11.2	0.0	2.2	11.0	5.6	8.0	15.2	5.4	13.0	3.8	8.8	5.2	7.6	0.4	18.0	0.0	0.0	0.0
E_06	6.8	2.4	4.8	2.0	1.4	5.4	9.2	14.0	25.4	9.2	0.0	3.0	13.6	3.6	7.2	13.0	5.4	11.6	3.0	6.4	5.4	4.2	0.2	18.2	0.0	0.0	0.0
E_03	11.4	3.6	7.0	5.4	2.6	7.4	12.6	14.0	16.6	6.0	1.4	0.0	10.7	2.2	5.7	9.7	2.2	6.7	1.9	7.4	3.1	11.3	0.0	25.4	0.0	0.0	0.0
I_05	4.6	4.0	5.4	2.0	3.0	4.8	12.2	11.8	15.0	12.0	0.2	2.6	4.0	7.2	6.8	17.8	7.6	5.6	3.6	6.4	6.4	8.2	0.0	20.6	0.0	0.0	0.0
I_03	5.8	2.8	5.2	1.8	2.2	5.6	8.2	12.4	14.4	10.4	0.0	1.6	5.8	6.2	8.2	18.4	8.0	8.4	4.2	6.4	8.2	4.0	0.0	22.8	0.0	0.0	0.0
AC01	9.0	2.4	7.0	3.4	2.6	4.4	11.0	15.0	10.2	3.6	0.0	3.0	15.4	4.4	9.0	15.6	2.6	11.2	3.4	11.6	4.0	3.6	0.2	16.2	0.0	0.0	0.0
E_04	8.1	3.3	5.6	3.4	2.2	6.6	10.5	11.9	17.9	6.3	0.4	1.6	12.3	2.5	7.1	12.4	3.2	9.2	2.3	8.9	4.4	5.9	0.3	21.1	0.0	0.0	0.0
AC02	6.8	2.8	5.2	3.0	3.0	7.0	10.4	10.8	16.0	6.8	0.0	2.5	12.7	3.7	7.7	13.9	4.6	11.4	3.0	8.5	5.2	4.7	0.4	15.0	0.0	0.0	0.0
AR07	6.8	3.4	5.2	1.8	2.8	4.4	8.4	11.0	16.0	8.6	0.2	0.4	9.8	3.4	5.2	16.8	3.8	5.4	3.4	7.2	6.4	11.8	0.4	20.0	0.0	0.0	0.0
I_02	6.4	3.4	4.8	2.2	1.4	5.6	8.8	11.0	20.2	4.4	0.0	2.2	13.4	1.8	7.8	13.6	3.0	9.6	2.2	10.4	5.0	2.4	0.4	21.8	0.0	0.0	0.0
AR06	4.0	2.8	6.0	2.0	1.2	4.6	9.4	10.2	25.2	10.3	0.1	0.6	9.2	3.2	4.4	11.8	4.8	6.8	3.4	10.8	4.8	8.0	0.2	16.8	0.0	0.0	0.0
PN03	4.0	1.4	4.0	1.8	1.4	2.4	19.0	4.0	12.2	1.0	2.0	0.0	8.4	1.4	1.2	25.0	10.8	3.4	1.2	4.2	2.8	13.6	0.0	32.4	0.0	0.0	0.0
PN02	4.8	1.2	5.2	1.8	0.4	4.0	14.6	4.6	14.2	3.3	2.2	0.0	10.2	2.4	1.8	15.6	10.0	3.8	2.8	5.4	2.0	18.4	0.0	25.2	0.0	0.0	0.0
P_07	2.6	2.0	3.0	2.2	1.2	5.4	6.6	10.6	24.6	7.2	0.0	0.8	5.8	2.2	3.0	17.6	6.0	5.0	2.8	13.6	7.8	7.4	0.4	15.6	0.2	0.0	0.0
AR03	6.4	3.0	4.8	2.4	0.4	3.8	14.0	8.4	11.2	6.4	0.0	0.2	11.6	2.6	5.0	10.2	4.4	7.2	4.4	7.2	2.2	9.4	0.2	15.6	0.0	0.0	0.0
AC05	4.2	3.4	6.8	0.8	1.4	2.8	12.4	12.4	7.2	7.6	0.0	2.0	4.8	2.6	7.0	16.4	4.0	6.8	2.4	6.6	5.6	3.2	0.0	15.4	0.0	0.0	0.0
AR02	4.1	0.8	2.7	2.2	5.5	2.9	15.4	4.6	12.2	6.2	0.1	0.1	7.8	3.2	3.5	12.6	4.9	2.6	1.7	6.9	6.3	10.9	0.0	16.9	0.1	0.1	0.0
AC07	3.8	3.4	6.8	1.0	1.2	2.6	10.8	13.8	7.0	8.2	0.2	1.8	4.4	2.8	7.0	16.2	3.8	5.8	2.4	6.2	5.8	2.8	0.0	13.6	0.2	0.0	0.0
P_06	2.6	0.2	2.6	0.8	0.2	1.8	17.8	3.2	13.7	4.2	0.2	0.0	10.0	1.0	2.0	17.4	2.8	2.2	1.8	5.0	3.2	11.2	0.0	26.0	0.0	0.0	0.0
I_07	2.6	2.2	6.0	0.4	1.2	1.2	10.8	9.6	9.2	6.4	0.0	2.2	7.4	2.2	6.2	17.8	3.4	6.0	1.2	5.2	6.6	2.6	0.0	14.8	0.0	0.0	0.0
E_07	3.2	2.8	3.4	1.2	1.8	4.0	8.6	10.4	7.4	7.2	0.0	1.0	2.2	3.6	5.6	14.2	5.4	5.6	1.8	6.4	5.4	4.4	0.0	16.0	0.0	0.0	0.0
AR09	3.0	3.2	5.6	0.4	1.2	1.8	10.8	11.4	7.4	5.8	0.0	2.0	4.4	2.2	6.0	15.2	3.0	5.0	1.6	6.0	6.2	3.0	0.0	13.6	0.0	0.0	0.0
AC06	3.2	3.0	5.8	0.6	1.0	2.2	11.6	12.6	7.0	0.0	0.0	2.0	5.0	1.8	5.6	16.4	3.2	6.0	2.0	6.4	6.0	3.0	0.0	13.0	0.0	0.0	0.0
AR01	3.2	1.6	1.8	2.6	4.8	2.6	8.4	5.0	11.6	8.8	0.2	0.0	4.2	3.2	3.2	5.8	4.8	1.0	1.2	6.4	6.2	14.8	0.0	14.0	0.2	0.0	0.0
PN04	1.0	0.4	0.4	0.0	0.6	1.4	4.2	0.6	9.0	1.0	2.0	0.0	2.6	1.2	0.2	7.6	2.6	0.2	0.0	2.4	0.4	2.2	0.0	10.0	1.2	0.0	0.0

Precipitaciones representativas Tajuña



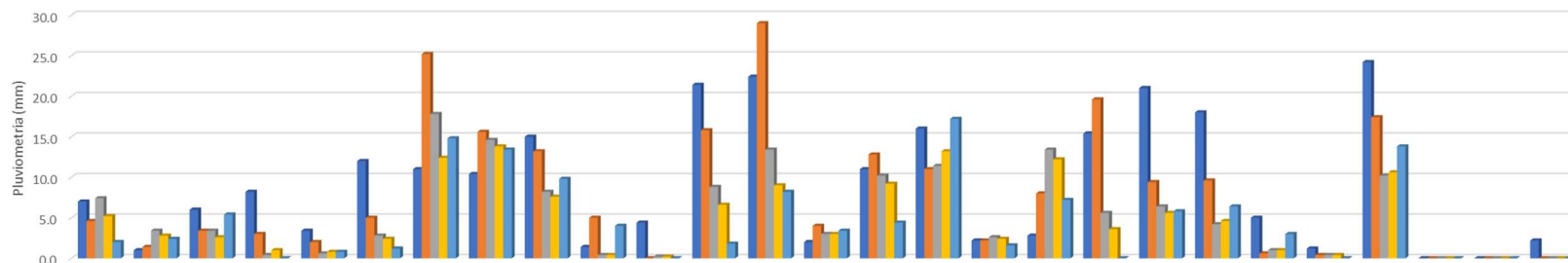
	21-ene.	22-ene.	23-ene.	24-ene.	25-ene.	26-ene.	27-ene.	28-ene.	29-ene.	30-ene.	31-ene.	1-feb.	2-feb.	3-feb.	4-feb.	5-feb.	6-feb.	7-feb.	8-feb.	9-feb.	10-feb.	11-feb.	12-feb.	13-feb.	14-feb.	15-feb.	16-feb.
■ P_09	7.2	0.6	4.2	3.4	13.0	4.6	21.8	5.6	11.2	5.2	0.0	0.4	9.8	5.8	5.8	16.0	7.6	5.4	2.4	10.0	10.2	5.2	0.0	9.6	0.0	0.2	0.0
■ AR14	5.2	2.6	7.2	0.2	1.2	4.8	15.0	14.6	14.2	8.0	0.2	5.8	10.2	1.6	6.2	13.0	2.2	8.6	3.4	7.6	7.0	3.4	0.0	17.2	0.0	0.0	0.0
■ E_12	8.6	3.0	7.0	6.8	0.6	3.2	18.2	8.0	8.8	7.2	0.2	1.8	11.8	2.6	7.4	12.4	6.0	5.0	2.6	9.4	6.2	8.4	0.0	10.8	0.0	0.0	0.0
■ AR15	6.8	3.8	7.0	1.2	2.0	3.8	11.6	8.6	9.6	2.8	0.0	3.2	10.4	1.6	8.6	10.2	2.8	8.2	3.2	11.8	5.2	3.4	0.2	10.6	0.2	0.0	0.0

Precipitaciones representativas Henares



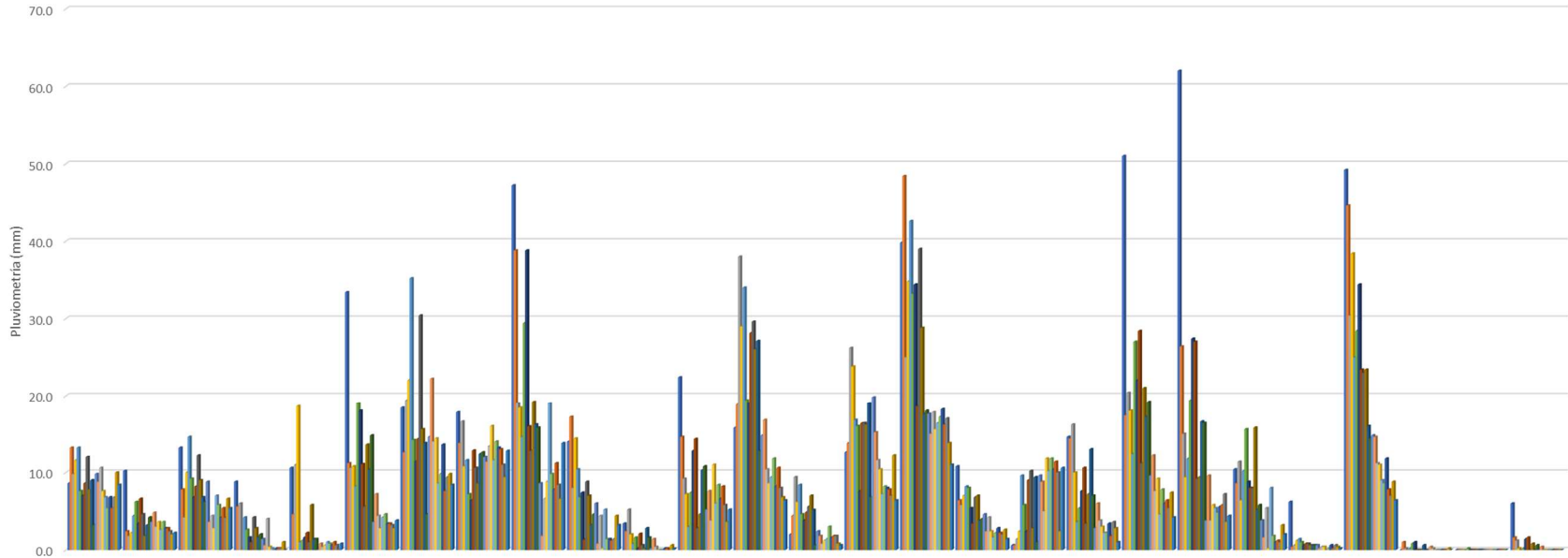
	21-ene.	22-ene.	23-ene.	24-ene.	25-ene.	26-ene.	27-ene.	28-ene.	29-ene.	30-ene.	31-ene.	1-feb.	2-feb.	3-feb.	4-feb.	5-feb.	6-feb.	7-feb.	8-feb.	9-feb.	10-feb.	11-feb.	12-feb.	13-feb.	14-feb.	15-feb.	16-feb.
P_18	8.4	0.6	5.6	4.8	6.8	8.2	20.6	6.4	17.8	9.8	0.0	2.0	16.4	6.0	7.8	34.2	6.6	1.6	6.6	14.0	12.8	13.4	0.4	18.2	0.2	0.0	0.2
E_11	11.8	3.8	11.6	3.4	1.4	6.4	21.4	10.6	9.6	7.9	0.5	3.0	14.0	1.8	12.8	29.4	7.8	6.0	2.0	12.2	7.6	12.4	0.6	16.6	0.2	0.0	0.0
E_10	13.6	5.8	10.0	5.0	0.6	7.0	21.8	8.4	11.6	6.2	1.6	2.8	19.2	3.0	14.8	27.8	4.6	6.4	2.6	10.8	8.8	4.8	0.2	16.6	0.2	0.0	0.0
E_09	14.2	2.6	14.2	2.2	0.8	4.2	24.4	9.6	9.0	7.2	0.0	0.6	15.8	4.2	12.6	31.6	6.4	4.8	3.0	10.6	10.4	7.4	0.2	15.8	1.2	0.0	0.0
AC09	12.9	3.2	13.6	3.1	0.9	4.7	23.0	9.5	9.0	6.9	0.2	1.4	14.9	4.2	12.4	30.7	6.6	5.2	2.8	11.5	8.9	8.0	0.3	15.7	0.7	0.0	0.0
E_08	11.8	3.6	14.2	4.2	0.8	4.0	22.2	8.4	8.4	5.2	0.2	1.2	14.4	6.0	11.8	30.4	6.0	5.2	3.0	12.2	7.8	5.6	0.2	14.8	0.2	0.0	0.0
PN17	7.6	1.0	3.8	0.6	1.6	9.4	15.2	1.8	22.6	5.8	0.0	2.6	16.2	4.4	8.0	25.2	3.6	1.4	0.8	14.2	10.8	14.0	0.2	19.8	0.0	0.0	0.0
P_14	9.6	0.4	4.6	3.0	5.4	4.4	16.4	4.8	13.8	6.4	0.0	1.4	20.2	6.8	10.0	23.6	7.4	4.4	3.4	12.6	8.2	8.4	0.2	14.6	0.0	0.0	0.0
AR12	8.8	3.4	6.4	2.4	0.2	4.2	14.4	12.6	5.4	10.4	0.0	1.8	10.2	0.2	10.2	17.2	8.2	4.4	1.2	9.2	5.0	6.6	0.2	12.4	0.2	0.0	0.0
AR11	9.4	4.4	7.6	1.6	0.4	3.8	15.6	6.0	9.4	5.6	0.0	1.6	9.4	0.6	8.8	23.8	5.4	3.6	2.0	9.2	7.0	5.8	0.4	13.2	0.0	0.0	0.0
AR13	6.3	2.9	5.5	0.1	0.9	3.9	8.6	13.3	11.5	1.2	0.3	7.3	9.7	1.8	7.5	14.9	2.0	11.3	1.7	6.2	5.0	1.7	0.2	7.6	0.0	0.0	0.0
MC01	6.2	4.4	6.8	1.4	0.8	4.2	14.6	10.4	7.6	1.0	0.0	2.2	9.0	1.0	10.8	13.6	4.0	7.6	0.2	9.6	5.0	2.2	0.0	0.2	0.0	0.0	0.0
PN15	3.4	0.2	2.6	0.8	1.6	7.6	12.8	1.6	17.4	6.0	0.0	0.4	10.8	2.6	3.4	17.8	2.8	1.0	0.2	7.2	2.6	6.6	0.0	12.6	0.0	0.0	0.0
P_13	4.4	0.4	1.0	5.8	2.6	7.2	10.4	3.4	14.6	10.0	0.0	1.8	10.2	2.8	5.8	8.6	3.2	2.6	1.6	6.0	3.2	5.0	0.0	8.6	0.2	0.0	0.0
P_11	6.2	1.0	2.2	4.2	0.4	6.4	15.0	2.6	12.8	5.8	0.0	0.4	8.8	3.0	2.2	15.2	5.6	2.0	0.2	7.6	3.4	1.0	0.0	9.2	0.0	0.0	0.0
P_12	6.6	0.2	1.4	3.2	5.6	6.4	13.0	4.8	8.6	7.2	0.0	0.4	9.4	3.4	4.8	9.6	4.6	2.2	0.8	6.6	4.8	2.2	0.0	8.4	0.0	0.0	0.0
PN16	2.8	0.0	3.6	0.4	1.0	9.4	8.8	1.2	12.2	6.2	0.0	4.8	9.0	1.6	2.6	10.0	3.0	0.8	0.4	5.8	2.2	4.6	0.0	10.0	0.0	0.0	0.0
P_10	4.0	0.2	0.6	1.0	1.0	3.4	13.0	3.2	9.0	3.0	0.2	0.0	4.4	0.8	1.6	24.8	3.2	2.8	0.8	6.2	4.6	2.2	0.0	4.4	0.0	0.0	0.0
E_48	4.0	0.4	3.0	2.2	0.0	3.0	12.2	4.6	5.8	2.2	0.2	0.8	7.8	0.6	1.6	25.4	2.0	2.6	0.6	5.4	2.8	0.2	0.0	6.0	0.0	0.0	0.0

Precipitaciones representativas Guadarrama



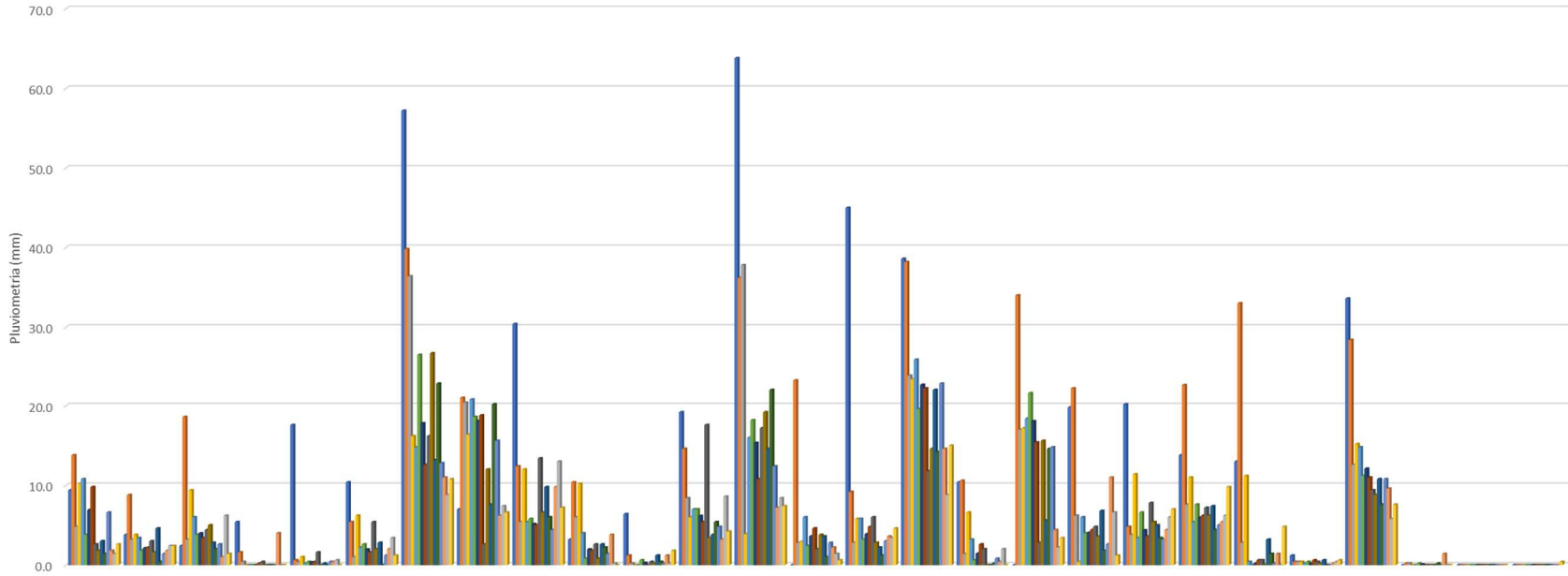
	21-ene.	22-ene.	23-ene.	24-ene.	25-ene.	26-ene.	27-ene.	28-ene.	29-ene.	30-ene.	31-ene.	1-feb.	2-feb.	3-feb.	4-feb.	5-feb.	6-feb.	7-feb.	8-feb.	9-feb.	10-feb.	11-feb.	12-feb.	13-feb.	14-feb.	15-feb.	16-feb.
■ P_30	7.0	1.0	6.0	8.2	3.4	12.0	11.0	10.4	15.0	1.4	4.4	21.4	22.4	2.0	11.0	16.0	2.2	2.8	15.4	21.0	18.0	5.0	1.2	24.2	0.0	0.0	2.2
■ P_31	4.6	1.4	3.4	3.0	2.0	5.0	25.2	15.6	13.2	5.0	0.0	15.8	29.0	4.0	12.8	11.0	2.2	8.0	19.6	9.4	9.6	0.6	0.4	17.4	0.0	0.0	0.0
■ E_16	7.4	3.4	3.4	0.4	0.6	2.8	17.8	14.6	8.2	0.4	0.2	8.8	13.4	3.0	10.2	11.4	2.6	13.4	5.6	6.4	4.2	1.0	0.4	10.2	0.0	0.0	0.0
■ AR19	5.2	2.8	2.6	1.0	0.8	2.4	12.4	13.8	7.6	0.4	0.2	6.6	9.0	3.0	9.2	13.2	2.4	12.2	3.6	5.6	4.6	1.0	0.4	10.6	0.0	0.0	0.0
■ AR20	2.0	2.4	5.4	0.0	0.8	1.2	14.8	13.4	9.8	4.0	0.0	1.8	8.2	3.4	4.4	17.2	1.6	7.2	0.0	5.8	6.4	3.0	0.0	13.8	0.0	0.0	0.0

Precipitaciones representativas Jarama



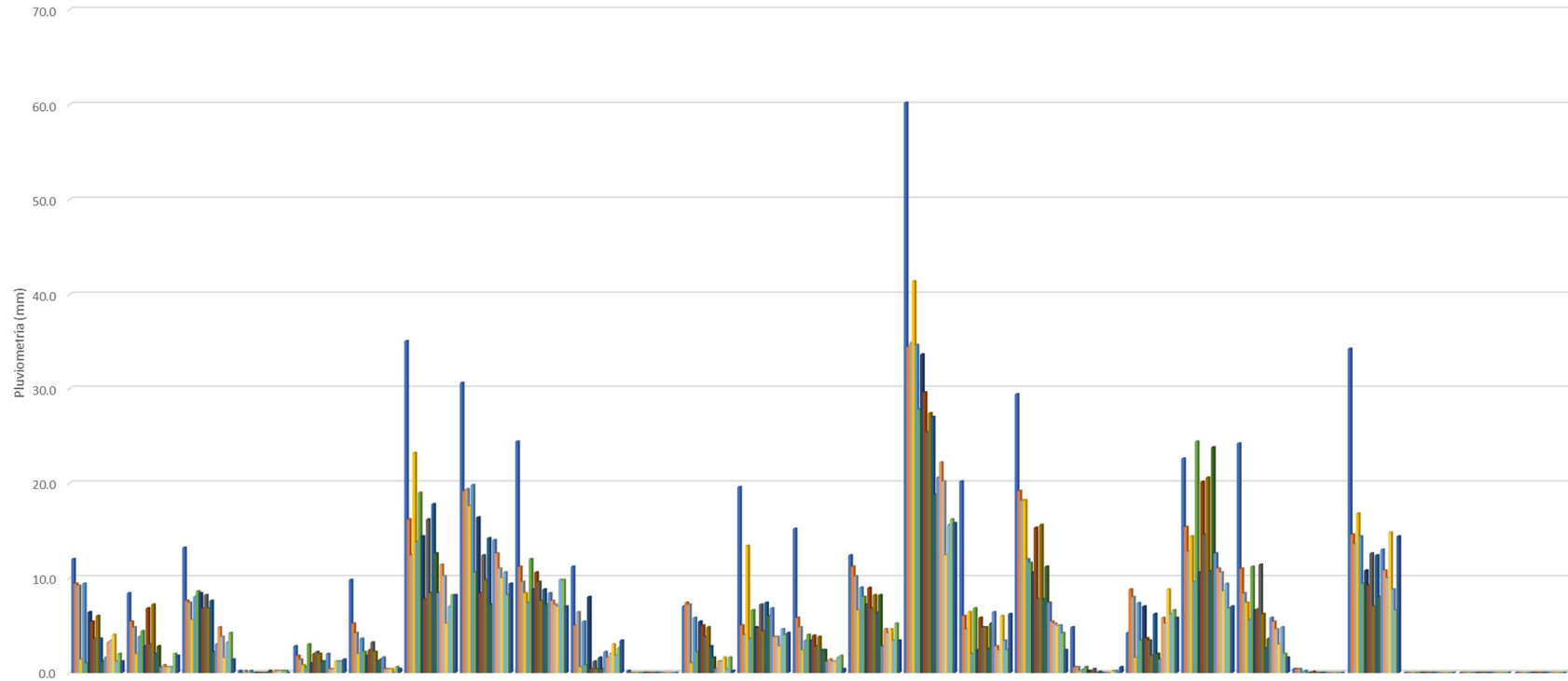
	21-ene.	22-ene.	23-ene.	24-ene.	25-ene.	26-ene.	27-ene.	28-ene.	29-ene.	30-ene.	31-ene.	1-feb.	2-feb.	3-feb.	4-feb.	5-feb.	6-feb.	7-feb.	8-feb.	9-feb.	10-feb.	11-feb.	12-feb.	13-feb.	14-feb.	15-feb.	16-feb.
■ PN23	8.6	10.2	13.2	8.8	10.6	33.4	18.4	17.8	47.2	14.0	3.4	22.4	15.8	2.0	12.6	39.8	10.8	0.6	14.6	51.0	62.0	10.4	6.2	49.2	0.0	0.0	6.0
■ P_25	13.2	2.4	7.8	5.6	4.6	11.2	12.6	13.8	38.8	17.2	2.4	14.6	18.8	4.4	13.8	48.4	6.4	0.6	14.4	17.4	26.4	8.6	0.4	44.6	1.0	0.0	1.6
■ P_26	9.8	1.8	4.2	6.0	11.0	10.6	19.4	16.6	19.0	8.0	5.2	9.2	38.0	9.4	26.2	25.0	5.8	1.4	16.2	20.4	15.0	11.4	0.6	30.4	0.2	0.0	1.2
■ P_21	11.6	2.2	10.0	0.0	18.6	10.8	22.0	10.8	18.4	14.4	2.0	7.2	29.0	6.2	23.8	34.8	7.0	2.4	10.0	18.0	9.4	6.4	1.2	38.4	0.0	0.0	0.2
■ E_13	13.2	4.4	14.6	4.2	1.0	8.2	35.2	11.6	14.6	10.4	0.8	3.0	34.0	8.4	16.8	42.6	8.2	9.6	3.6	12.4	11.8	10.2	1.4	25.0	0.2	0.0	0.0
■ PN20	7.6	6.2	9.2	2.6	1.2	19.0	14.2	7.2	29.4	6.8	1.6	7.4	19.4	4.6	16.0	33.2	8.0	5.8	5.4	27.0	19.4	15.6	1.0	28.4	0.8	0.2	0.2
■ PN22	7.0	3.4	6.8	1.6	1.6	18.0	11.4	6.4	38.8	7.4	0.2	12.8	19.0	3.8	7.6	34.4	5.4	2.4	7.6	22.0	27.4	8.8	0.6	34.4	1.0	0.0	1.4
■ PN28	8.6	6.6	8.2	1.0	2.2	11.1	14.3	12.8	16.0	1.3	2.1	14.3	28.1	4.8	16.4	18.6	3.4	9.0	10.6	28.4	27.0	8.0	0.8	23.4	0.0	0.0	1.6
■ AC10	12.0	4.6	12.2	4.2	1.0	5.6	30.4	10.6	12.8	8.8	0.6	2.8	29.6	5.6	16.4	39.0	6.8	10.2	3.4	11.2	9.2	8.0	0.8	23.0	0.0	0.0	0.0
■ P_19	7.8	1.8	9.0	2.8	5.8	13.6	15.6	8.6	19.2	7.0	0.2	4.6	26.0	7.0	16.2	28.8	7.0	2.8	7.2	21.0	9.4	15.8	0.6	23.4	0.0	0.0	0.8
■ P_27	9.0	3.2	6.8	1.6	1.4	10.4	13.8	12.4	16.2	3.2	2.8	10.3	27.1	5.2	19.0	17.6	3.8	9.4	13.0	17.2	16.6	5.2	0.6	16.0	0.6	0.0	0.0
■ PN24	3.2	4.2	6.2	2.0	1.4	14.8	4.6	12.6	15.8	4.6	1.6	10.8	12.8	0.6	6.8	18.0	4.0	1.0	7.0	19.2	16.4	5.8	0.6	14.4	0.0	0.0	0.6
■ E_14	9.8	3.6	8.8	1.4	0.0	3.6	14.6	12.0	8.6	6.0	0.2	5.2	14.8	2.4	19.8	17.6	4.6	9.6	2.8	9.6	3.8	3.8	0.6	14.8	0.0	0.0	0.0
■ E_15	8.8	4.8	3.6	0.6	0.8	7.2	22.2	11.4	1.8	0.8	1.4	7.6	16.8	1.8	15.2	15.0	2.4	8.8	6.0	12.2	9.6	1.6	0.2	14.6	0.4	0.0	0.4
■ AR16	10.6	3.0	4.4	4.0	0.4	4.4	14.0	13.4	6.6	4.4	0.4	3.8	10.4	0.8	11.6	17.8	4.2	5.0	3.8	7.6	3.8	5.4	0.4	11.2	0.2	0.0	0.0
■ E_21	7.6	3.6	2.8	0.4	0.6	2.8	14.4	16.0	8.8	0.2	0.0	11.0	8.6	1.2	10.4	15.6	2.4	11.8	3.0	9.2	5.8	0.2	0.4	11.0	0.0	0.0	0.0
■ E_22	6.8	2.6	7.0	0.2	1.0	4.2	8.6	11.6	19.0	5.2	0.0	6.0	9.4	1.4	7.2	16.4	1.6	10.2	2.2	4.6	5.4	8.0	0.0	9.0	0.0	0.0	0.0
■ MC02	5.4	3.6	5.8	0.0	0.8	4.6	9.8	14.0	9.8	1.4	0.0	8.4	11.8	3.0	8.2	17.2	2.2	11.8	2.2	7.8	4.8	1.8	0.2	8.6	0.0	0.0	0.0
■ MC03	6.8	2.8	4.2	0.2	0.6	3.4	13.6	13.2	7.8	1.4	0.2	6.6	8.2	1.6	8.0	18.2	2.8	10.4	3.4	6.0	5.6	1.0	0.6	11.8	0.0	0.0	0.0
■ AR17	5.4	2.8	5.4	0.2	1.0	3.4	7.6	13.0	11.2	1.2	0.2	8.2	10.6	1.8	7.8	16.2	2.2	11.4	1.8	6.4	5.8	1.2	0.2	7.8	0.0	0.0	0.0
■ P_62	6.8	2.4	4.2	0.2	0.6	3.2	9.4	11.0	8.4	1.4	0.0	5.8	8.0	1.8	7.0	17.0	2.0	10.0	3.6	5.4	7.2	1.0	0.6	7.0	0.0	0.0	0.0
■ AC08	10.0	2.0	6.6	1.0	0.0	2.8	9.8	9.4	6.6	4.4	0.6	3.6	6.8	0.8	12.2	13.8	2.6	2.4	2.8	7.4	3.6	3.2	0.4	8.8	0.2	0.0	0.0
■ AR18	8.4	2.2	5.4	0.0	0.8	3.8	8.4	12.8	13.8	3.2	0.1	5.2	6.4	0.6	6.4	11.0	1.4	10.6	1.0	4.2	4.4	2.0	0.2	6.4	0.0	0.0	0.0

Precipitaciones representativas Alberche



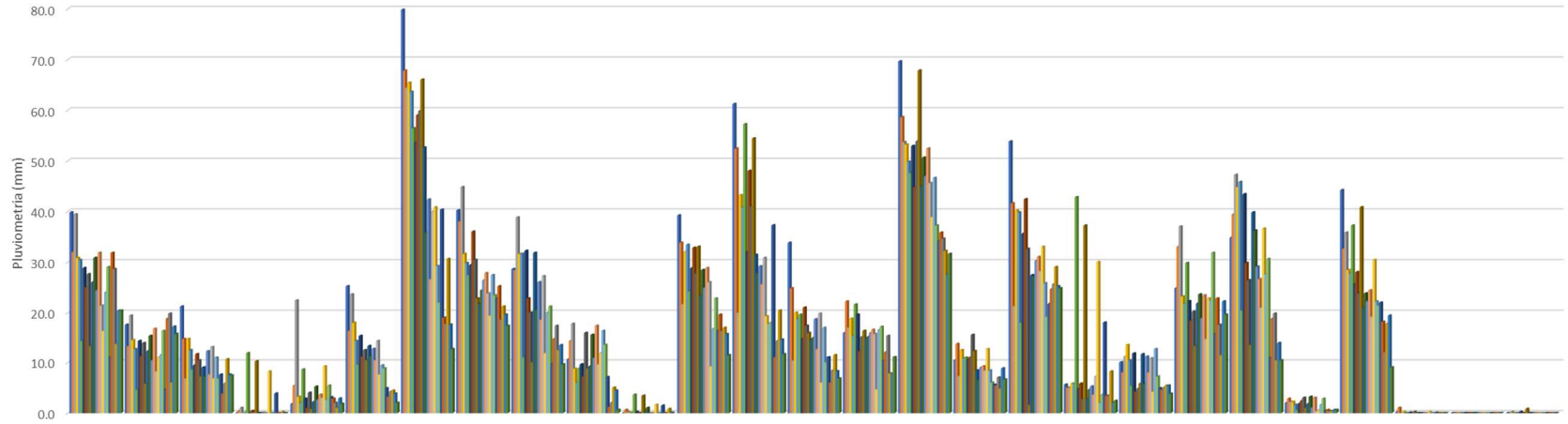
	21-ene.	22-ene.	23-ene.	24-ene.	25-ene.	26-ene.	27-ene.	28-ene.	29-ene.	30-ene.	31-ene.	1-feb.	2-feb.	3-feb.	4-feb.	5-feb.	6-feb.	7-feb.	8-feb.	9-feb.	10-feb.	11-feb.	12-feb.	13-feb.	14-feb.	15-feb.	16-feb.
PN34	9.4	3.8	2.4	5.4	17.6	10.4	57.2	7.0	30.4	3.2	6.4	19.2	63.8	0.0	45.0	38.6	10.4	0.0	19.8	20.2	13.8	13.0	1.2	33.6	0.0	0.0	0.0
E_53	13.8	8.8	18.6	1.6	0.6	5.4	39.8	21.0	12.4	10.4	1.2	14.6	36.2	23.2	9.2	38.2	10.6	34.0	22.2	4.8	22.6	33.0	0.4	28.4	0.2	0.0	0.0
P_35	4.8	3.2	3.2	0.4	0.4	1.0	36.4	20.4	5.4	6.0	0.2	8.4	37.8	2.8	2.8	23.8	1.4	17.0	6.2	3.8	7.6	2.8	0.4	12.6	0.2	0.0	0.0
E_25	10.2	3.8	9.4	0.0	1.0	6.2	16.2	16.4	12.0	10.2	0.0	6.0	3.9	2.9	5.8	23.3	6.6	17.2	0.4	11.4	11.0	11.2	0.4	15.2	0.0	0.0	0.0
L_08	10.8	3.4	6.0	0.0	0.2	2.2	14.8	20.8	5.4	4.0	0.0	7.0	16.0	6.0	5.8	25.8	3.2	18.4	6.0	3.4	5.4	0.4	0.2	14.8	0.0	0.0	0.0
AC13	3.8	1.8	3.8	0.0	0.4	2.6	26.4	18.6	5.8	0.8	0.6	7.0	18.2	2.4	3.2	19.6	0.6	21.6	4.0	6.6	7.6	0.0	0.4	11.2	0.2	0.0	0.0
AR22	6.9	2.1	4.0	0.0	0.3	1.9	17.8	18.1	5.1	2.0	0.3	6.2	15.3	3.6	3.9	22.6	1.4	18.1	4.1	4.4	6.0	0.2	0.2	12.1	0.1	0.0	0.0
AR23	9.8	2.2	3.4	0.2	0.4	1.6	12.6	18.8	5.0	1.8	0.0	5.4	10.8	4.6	4.8	22.2	2.6	15.4	4.4	3.6	6.2	0.6	0.6	11.0	0.0	0.0	0.0
PN39	2.6	3.0	4.4	0.4	1.6	5.4	16.2	2.6	13.4	2.6	0.4	17.6	17.2	2.0	6.0	11.8	2.0	2.8	4.8	7.8	7.2	0.6	0.4	9.4	0.0	0.0	0.0
E_17	1.8	1.6	5.0	0.0	0.0	2.0	26.6	12.0	6.6	0.8	0.2	3.4	19.2	3.8	2.8	14.6	0.0	15.6	3.6	5.4	6.2	0.0	0.2	8.8	0.0	0.0	0.0
PN36	3.0	4.6	2.8	0.0	0.2	2.8	13.2	7.6	9.8	2.6	1.2	3.8	14.6	3.6	2.2	22.0	0.0	5.6	6.8	5.0	7.4	3.2	0.6	10.8	0.0	0.0	0.0
AR21	1.4	0.4	2.0	0.0	0.0	0.0	22.8	20.2	6.0	2.2	0.4	5.4	22.0	1.0	1.2	14.2	0.2	14.6	1.8	3.4	4.4	1.4	0.0	7.6	0.2	0.0	0.0
E_19	6.6	1.4	2.6	0.0	0.4	1.2	12.8	15.6	4.4	1.4	0.2	4.8	12.4	2.8	3.0	22.8	0.8	14.8	2.6	3.2	5.0	0.2	0.0	10.8	0.0	0.0	0.0
P_37	1.8	1.8	1.0	4.0	0.4	2.0	11.0	6.2	9.8	3.8	1.2	3.2	7.2	2.2	3.6	14.6	0.4	4.4	11.0	4.4	5.4	1.4	0.2	9.6	1.4	0.0	0.0
PN38	1.4	2.4	6.2	0.0	0.6	3.4	8.8	7.4	13.0	0.2	0.2	8.6	8.4	1.4	3.4	8.8	2.0	2.2	6.6	6.0	6.2	0.0	0.4	5.8	0.0	0.0	0.0
P_33	2.6	2.4	1.4	0.0	0.0	1.2	10.8	6.6	7.2	0.0	1.8	4.2	7.4	0.6	4.6	15.0	0.0	3.4	1.2	7.0	9.8	4.8	0.6	7.6	0.0	0.0	0.4

Precipitaciones representativas Tajo Izquierda



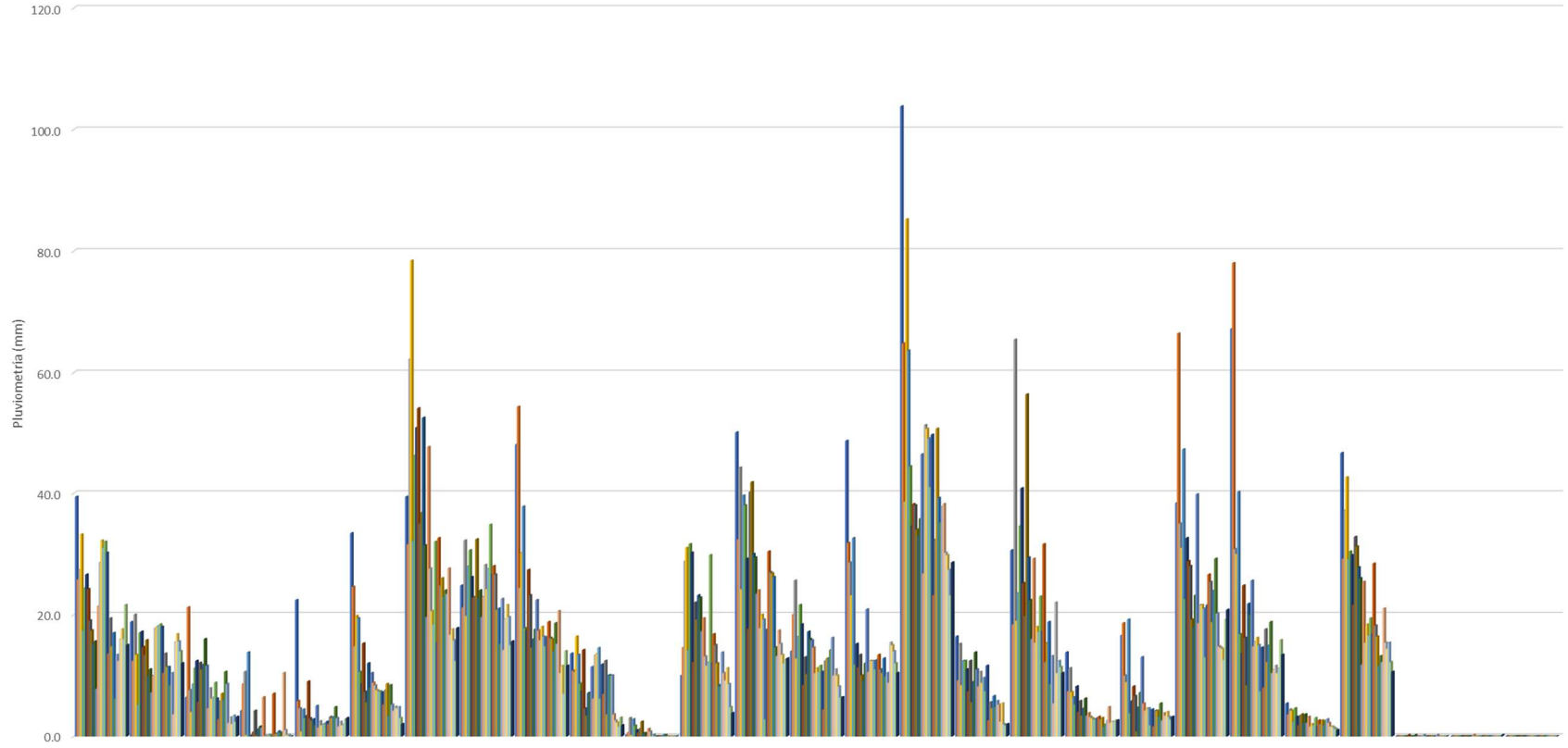
	21-ene.	22-ene.	23-ene.	24-ene.	25-ene.	26-ene.	27-ene.	28-ene.	29-ene.	30-ene.	31-ene.	1-feb.	2-feb.	3-feb.	4-feb.	5-feb.	6-feb.	7-feb.	8-feb.	9-feb.	10-feb.	11-feb.	12-feb.	13-feb.	14-feb.	15-feb.	16-feb.
■ P_32	12.0	8.4	13.2	0.2	2.8	9.8	35.0	30.6	24.4	11.2	0.2	7.0	19.6	15.2	12.4	60.2	20.2	29.4	4.8	4.2	22.6	24.2	0.4	34.2	0.0	0.0	0.0
■ MCO4	9.4	5.4	7.6	0.0	1.8	5.2	16.2	19.2	11.2	5.0	0.0	7.4	5.0	5.8	11.2	34.4	6.0	19.2	0.6	8.8	15.4	11.0	0.4	14.6	0.0	0.0	0.0
■ AR69	9.2	4.8	7.4	0.2	1.4	4.2	12.4	19.4	9.6	6.4	0.0	7.2	4.0	4.8	10.2	34.8	4.6	18.2	0.6	8.0	12.8	8.4	0.4	13.6	0.0	0.0	0.0
■ E_28	1.4	2.0	5.6	0.0	0.8	2.0	23.2	17.6	8.4	0.6	0.0	1.0	13.4	2.4	6.6	41.4	6.4	18.2	0.2	1.6	14.4	7.4	0.0	16.8	0.0	0.0	0.0
■ AR67	9.4	3.8	8.0	0.2	0.6	3.6	13.8	19.8	7.4	5.4	0.0	5.8	3.6	3.4	9.0	34.6	2.0	12.0	0.3	7.4	9.6	5.6	0.2	14.4	0.0	0.0	0.0
■ AR26	1.0	4.4	8.6	0.0	3.0	2.2	19.0	10.6	12.0	0.8	0.0	2.2	6.6	4.0	8.0	27.8	6.8	11.6	0.6	3.4	24.4	11.2	0.0	9.4	0.0	0.0	0.0
■ AR24	6.4	2.8	8.4	0.0	1.0	1.8	14.4	16.4	8.8	8.0	0.0	5.4	4.8	3.4	7.2	33.6	2.4	10.6	0.2	7.0	10.6	6.6	0.0	10.8	0.0	0.0	0.0
■ L_10	5.4	6.8	6.8	0.0	2.0	2.4	7.8	8.4	10.6	0.4	0.0	5.0	4.7	3.9	9.0	29.6	5.8	15.3	0.2	3.6	20.2	6.7	0.1	9.2	0.0	0.0	0.0
■ AR25	3.6	3.0	8.2	0.0	2.2	3.2	16.2	12.4	9.6	1.2	0.0	3.8	7.2	2.8	6.8	25.4	4.8	7.8	0.4	3.4	14.6	11.4	0.0	12.6	0.0	0.0	0.0
■ E_29	6.0	7.2	6.8	0.0	2.0	2.2	8.4	9.8	7.6	0.4	0.0	4.8	4.4	3.8	8.2	27.4	4.8	15.6	0.0	1.8	20.6	6.2	0.0	7.0	0.0	0.0	0.0
■ AC12	3.6	2.0	7.6	0.0	1.2	1.2	17.8	14.2	8.8	1.6	0.0	2.8	7.4	2.4	6.3	27.0	2.5	7.8	0.1	6.2	10.7	2.6	0.0	12.4	0.0	0.0	0.0
■ AR27	1.2	2.8	2.2	0.2	1.2	1.4	12.6	7.2	7.2	0.4	0.0	1.6	6.0	2.4	8.2	18.8	5.2	11.2	0.0	2.0	23.8	3.6	0.0	8.0	0.0	0.0	0.0
■ P_29	1.6	0.6	3.0	0.0	2.0	1.6	8.4	14.0	8.4	2.2	0.0	0.4	6.8	1.2	2.8	20.6	6.4	7.4	0.0	1.4	12.6	5.8	0.0	13.0	0.0	0.0	0.0
■ AC11	3.2	0.8	4.8	0.2	0.4	0.4	11.4	12.6	7.6	1.6	0.0	1.2	3.8	1.4	4.6	22.2	2.8	5.4	0.0	5.8	11.0	5.4	0.0	10.8	0.0	0.0	0.0
■ E_27	3.4	0.6	3.8	0.2	0.4	0.4	10.2	11.0	7.2	2.0	0.0	1.2	3.8	1.2	4.2	20.2	2.4	5.2	0.0	5.2	10.6	4.6	0.0	10.0	0.0	0.0	0.0
■ E_23	4.0	0.6	1.6	0.2	1.2	0.4	5.2	10.0	7.0	3.0	0.0	1.6	2.8	1.2	4.6	12.4	6.0	5.0	0.2	8.8	8.6	3.0	0.0	14.8	0.0	0.0	0.0
■ E_26	1.2	0.6	3.2	0.2	1.2	0.0	7.0	10.6	9.8	1.8	0.0	0.4	4.6	1.6	3.4	15.6	3.4	5.0	0.2	6.2	9.4	4.8	0.0	8.8	0.0	0.0	0.0
■ AR10	2.0	2.0	4.2	0.2	1.2	0.6	8.2	8.2	9.8	2.6	0.0	1.6	4.0	1.8	5.2	16.2	2.4	4.2	0.0	6.6	6.8	2.0	0.0	6.6	0.0	0.0	0.0
■ E_24	1.2	1.8	1.4	0.0	1.4	0.4	8.2	9.4	7.0	3.4	0.0	0.2	4.2	0.4	3.4	15.8	6.2	2.4	0.6	5.8	7.0	1.6	0.0	14.4	0.0	0.0	0.0

Precipitaciones representativas Tiétar



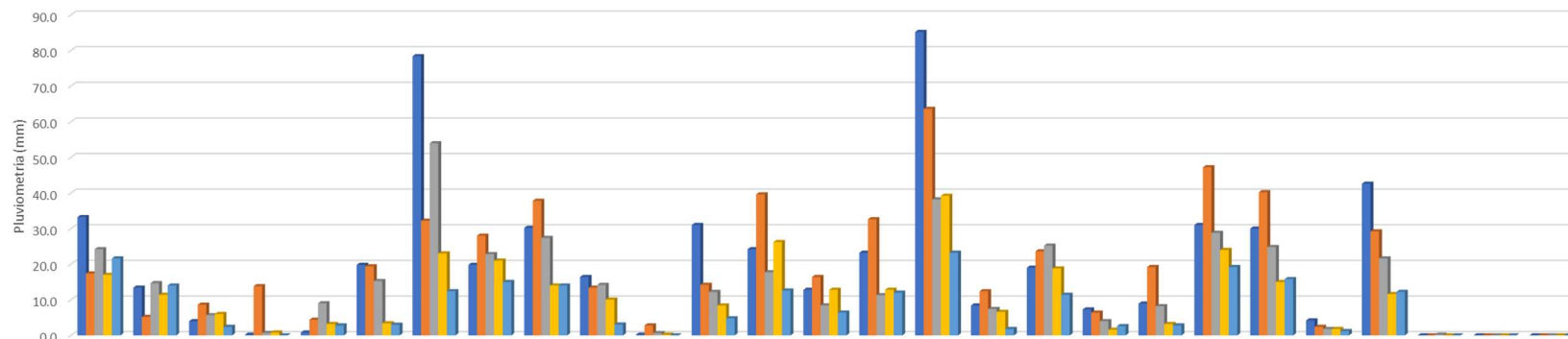
	21-ene.	22-ene.	23-ene.	24-ene.	25-ene.	26-ene.	27-ene.	28-ene.	29-ene.	30-ene.	31-ene.	1-feb.	2-feb.	3-feb.	4-feb.	5-feb.	6-feb.	7-feb.	8-feb.	9-feb.	10-feb.	11-feb.	12-feb.	13-feb.	14-feb.	15-feb.	16-feb.
■ P_46	39.8	17.6	21.2	0.0	1.8	25.2	79.8	40.2	28.6	10.6	0.0	39.2	61.2	33.8	16.0	69.6	10.4	53.8	5.6	10.0	24.8	34.8	2.0	44.2	0.2	0.0	0.0
■ P_47	32.0	13.4	14.8	0.4	5.4	16.4	67.8	38.0	28.4	14.4	0.6	33.8	52.4	24.8	22.2	58.6	13.8	41.6	5.0	8.0	33.0	39.4	2.8	32.6	1.0	0.0	0.0
■ P_48	39.4	19.4	6.8	1.0	22.4	23.6	64.4	44.8	38.8	17.8	0.2	21.7	20.0	10.4	17.1	53.7	7.3	21.3	5.0	11.3	37.0	47.2	2.2	35.8	0.0	0.0	0.2
■ AR31	30.8	14.6	14.8	0.0	3.2	18.0	65.4	31.6	31.6	8.7	0.1	32.0	43.2	20.0	18.8	53.2	12.6	40.2	5.8	13.6	23.2	44.8	2.2	28.4	0.2	0.0	0.0
■ AR30	30.4	12.8	12.6	0.2	2.0	14.4	63.6	29.8	31.6	6.0	0.0	33.4	40.8	18.8	15.4	49.8	10.8	39.8	5.8	10.4	21.8	45.8	1.6	27.8	0.0	0.0	0.0
■ P_42	14.4	4.6	8.6	12.0	8.6	9.6	56.4	27.4	11.0	8.8	3.6	24.2	57.2	19.6	21.6	47.6	11.0	18.0	42.8	5.4	29.8	20.4	0.6	37.2	0.0	0.0	0.0
■ AC16	28.8	14.4	9.4	0.0	2.8	15.4	53.6	29.4	32.2	9.6	0.2	28.8	32.0	14.8	19.6	52.9	10.6	35.6	4.8	11.9	22.3	43.4	1.9	25.6	0.1	0.0	0.2
■ P_45	25.0	11.4	11.8	0.4	1.0	11.2	59.0	36.0	22.8	7.2	0.0	32.8	48.0	21.0	12.4	44.8	11.0	42.4	5.8	4.2	18.4	29.8	2.4	28.0	0.0	0.0	0.0
■ AR32	27.6	14.0	10.4	0.2	4.0	12.6	59.8	30.4	20.0	16.0	0.0	27.8	41.0	17.4	15.2	53.8	15.6	32.6	2.8	4.8	20.2	26.4	3.0	23.8	0.2	0.0	0.0
■ P_43	13.4	5.8	7.2	10.2	0.8	10.4	66.0	22.8	10.0	8.8	3.4	33.0	54.4	16.0	16.4	67.8	12.4	1.6	37.2	5.8	13.4	13.6	1.0	40.8	0.0	0.0	0.8
■ E_33	26.0	12.4	9.0	0.0	2.2	13.4	52.6	21.8	31.8	9.2	0.2	23.4	31.4	14.6	15.0	45.0	8.4	27.4	2.8	11.8	21.8	39.8	1.8	21.0	0.0	0.0	0.0
■ E_50	30.8	15.4	7.2	0.0	5.2	11.4	35.8	24.4	20.6	15.6	1.0	28.4	27.8	15.0	15.2	50.6	6.6	27.2	4.6	5.8	23.6	36.2	3.2	23.8	0.0	0.0	0.0
■ AR29	24.4	10.4	12.4	0.0	2.6	12.8	42.3	26.4	26.0	10.9	0.0	24.9	29.1	18.7	16.0	46.9	9.0	30.3	5.2	11.3	18.9	29.1	1.1	22.2	0.0	0.0	0.0
■ MC05	31.8	16.8	7.6	0.0	3.6	10.4	26.6	27.8	18.6	17.4	0.0	28.8	25.6	12.8	16.6	52.4	9.2	31.0	3.6	8.0	23.4	26.6	3.0	24.4	0.0	0.0	0.0
■ AR34	21.4	8.2	13.2	0.0	3.0	14.4	40.0	23.8	27.2	9.6	0.0	26.0	30.8	19.8	15.8	45.6	8.4	28.2	7.2	10.8	14.8	21.0	0.4	19.2	0.0	0.0	0.0
■ P_40	16.4	11.0	6.8	8.2	9.2	7.6	40.8	19.4	12.0	12.0	1.6	9.2	19.3	6.0	4.6	38.9	12.8	33.0	30.0	4.2	22.8	36.6	0.6	30.4	0.2	0.0	0.0
■ E_32	24.0	11.6	11.0	0.0	2.6	9.4	29.2	27.4	20.0	16.4	0.0	16.8	17.8	17.0	16.6	46.6	8.4	25.8	2.0	12.8	22.4	27.6	1.6	22.2	0.0	0.0	0.0
■ AR33	29.0	16.4	6.8	0.0	5.4	8.8	22.0	23.4	21.2	13.6	0.0	22.8	18.0	10.0	17.2	37.2	6.0	19.2	3.6	7.2	31.8	30.6	2.8	21.4	0.0	0.0	0.0
■ P_41	11.0	4.7	7.6	3.8	3.1	4.9	40.3	22.8	9.8	7.1	1.5	16.4	37.2	11.1	10.3	34.1	5.6	21.7	18.0	4.9	15.8	10.9	0.5	22.0	0.1	0.0	0.0
■ MC06	31.8	18.8	3.8	0.0	2.8	3.2	19.0	25.2	14.8	1.2	0.0	19.6	11.0	6.0	12.2	35.8	5.4	24.6	3.4	4.6	22.8	18.8	0.6	18.2	0.0	0.0	0.0
■ E_31	28.6	19.8	5.8	0.0	2.0	4.2	17.8	18.6	17.4	2.0	0.0	16.4	14.4	8.4	15.4	34.6	7.0	25.6	3.4	5.0	17.6	19.8	0.4	12.2	0.0	0.0	0.0
■ AR28	13.8	6.0	10.6	0.2	1.0	4.4	30.6	21.2	12.6	5.0	0.8	17.0	20.4	11.6	7.8	32.2	4.8	29.0	8.2	5.4	11.6	10.4	0.4	17.8	0.0	0.0	0.0
■ AC15	20.4	17.3	7.6	0.0	2.9	3.8	17.6	19.6	13.6	4.4	0.1	15.8	14.7	8.2	7.8	27.6	8.8	25.2	2.0	5.4	22.2	14.0	0.6	19.4	0.0	0.0	0.0
■ AC14	20.4	15.8	7.4	0.0	1.8	2.0	12.8	17.4	9.6	0.6	0.0	11.6	11.8	6.8	11.2	31.6	6.6	24.8	2.4	3.8	19.6	10.4	0.6	9.0	0.0	0.0	0.0

Precipitaciones representativas Alagón



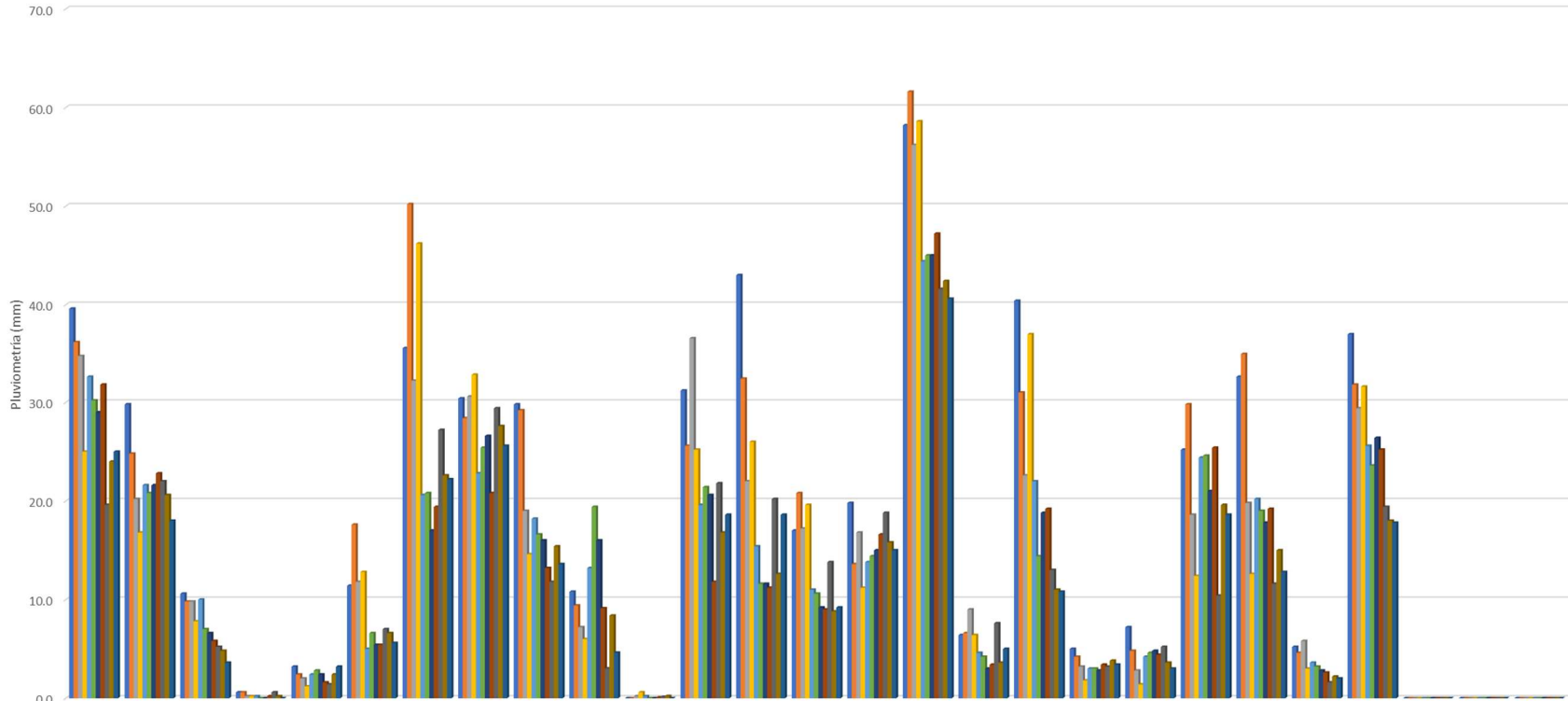
	21-ene.	22-ene.	23-ene.	24-ene.	25-ene.	26-ene.	27-ene.	28-ene.	29-ene.	30-ene.	31-ene.	1-feb.	2-feb.	3-feb.	4-feb.	5-feb.	6-feb.	7-feb.	8-feb.	9-feb.	10-feb.	11-feb.	12-feb.	13-feb.	14-feb.	15-feb.	16-feb.
E_35	39.4	18.8	6.4	4.2	22.4	33.4	39.4	24.8	48.0	13.6	0.2	10.0	50.0	14.0	48.6	103.8	16.4	30.6	13.8	16.6	38.4	67.2	5.4	46.6	0.0	0.0	0.0
P_52	25.8	12.4	21.2	8.6	5.8	24.6	31.6	21.2	54.2	10.8	0.6	14.6	32.4	20.0	31.8	64.8	9.2	18.4	7.4	18.6	66.4	78.0	3.6	29.2	0.0	0.0	0.0
P_55	27.4	20.0	7.6	10.6	4.6	14.8	62.2	32.2	24.4	10.6	3.0	28.8	44.2	25.6	28.6	38.6	15.2	65.4	11.2	10.0	35.0	30.8	4.4	37.2	0.0	0.0	0.0
PN51	33.2	13.4	4.0	0.2	0.8	19.8	78.4	19.8	30.2	16.4	0.2	31.0	24.2	12.8	23.2	85.2	8.4	19.0	7.3	8.9	31.0	30.0	4.2	42.6	0.0	0.0	0.0
P_50	17.4	5.2	8.6	13.8	4.4	19.4	32.2	28.0	37.8	13.4	2.8	14.2	39.6	16.4	32.6	63.6	12.4	23.6	6.4	19.2	47.2	40.2	2.4	29.2	0.0	0.0	0.0
AR39	24.4	17.0	11.2	0.0	3.0	10.6	46.2	30.6	17.8	8.7	1.7	31.6	38.0	21.6	11.8	44.4	12.4	34.6	5.2	3.8	22.6	16.8	4.6	30.4	0.0	0.0	0.0
AR38	26.6	17.2	12.4	0.2	3.4	8.6	50.8	26.2	17.4	7.4	1.0	30.2	29.2	18.4	15.2	34.6	11.0	40.8	8.2	5.8	32.6	13.6	3.2	29.8	0.0	0.0	0.0
AR42	24.2	14.7	5.7	0.7	9.0	15.3	54.0	22.8	27.4	14.2	0.6	12.2	17.7	8.4	11.3	38.2	7.4	25.2	4.0	8.2	28.8	24.8	1.8	21.6	0.2	0.0	0.0
AR37	19.0	13.4	12.1	4.2	3.0	7.3	35.0	23.0	23.2	4.6	1.2	22.0	40.2	13.0	13.4	38.0	12.4	19.8	5.8	6.6	28.0	16.2	3.4	32.8	0.0	0.0	0.0
P_57	17.4	15.8	11.0	0.2	2.6	5.6	36.8	32.4	14.6	3.4	2.4	19.2	41.8	10.2	10.0	34.0	5.6	56.4	3.4	0.8	19.2	8.4	3.6	31.2	0.0	0.0	0.0
AR36	15.2	10.0	11.8	1.2	2.8	12.0	52.4	22.8	16.0	7.1	0.5	23.2	30.0	17.2	9.2	33.0	9.0	29.4	4.6	4.8	18.0	21.8	2.2	27.8	0.0	0.0	0.0
AR35	15.6	11.0	16.0	1.6	1.8	8.0	31.4	24.0	17.6	7.1	0.5	22.8	29.4	16.0	12.0	35.8	13.8	22.4	6.2	7.2	23.2	20.0	3.6	26.0	0.2	0.0	0.0
E_38	7.8	7.2	11.6	1.4	5.0	10.4	19.6	19.6	22.4	11.4	0.0	17.3	23.4	15.8	20.9	46.4	11.0	16.0	3.4	13.0	39.8	25.6	2.2	11.8	0.0	0.0	0.0
P_54	21.4	10.0	4.6	6.4	1.4	8.8	47.6	23.0	17.4	6.2	1.2	19.4	24.0	14.6	10.6	26.8	8.2	29.2	3.8	5.4	18.6	14.8	3.2	25.4	0.0	0.2	0.0
AR47	28.6	17.7	7.9	0.1	2.5	8.4	27.6	28.2	15.8	13.4	0.8	13.1	17.8	10.4	12.4	51.2	10.6	15.4	3.2	4.2	21.6	15.6	1.6	15.4	0.0	0.0	0.0
E_39	32.2	18.0	6.2	0.0	1.8	7.6	20.6	24.2	18.0	13.6	0.0	11.6	20.0	11.2	12.4	50.6	8.8	18.0	3.0	4.6	21.6	16.2	2.0	18.4	0.0	0.0	0.0
AC18	31.0	18.2	6.4	0.2	2.0	7.4	18.4	27.6	16.4	14.5	0.3	12.2	19.2	10.6	12.4	49.0	9.6	17.2	2.8	4.6	21.0	15.0	1.8	16.6	0.2	0.0	0.0
AR40	32.0	18.4	8.8	0.2	2.0	7.4	32.0	34.8	14.8	6.2	0.0	29.8	2.8	11.6	11.0	41.0	7.4	23.0	2.8	1.8	13.0	7.4	3.0	19.4	0.0	0.0	0.0
AC19	30.2	18.0	6.2	0.0	2.4	7.2	15.4	26.6	16.4	11.8	0.0	12.0	17.6	10.6	12.6	49.6	11.6	17.2	3.0	4.4	21.6	14.6	1.6	16.8	0.0	0.0	0.0
P_56	13.6	10.4	2.8	7.0	2.0	5.2	32.6	28.0	18.8	6.9	0.0	16.8	30.4	4.4	13.4	23.2	2.6	31.6	3.2	1.6	26.6	8.0	2.6	28.4	0.0	0.0	0.0
E_55	19.4	13.6	5.8	0.4	3.2	7.6	24.8	26.6	16.2	12.4	0.0	15.0	27.0	12.4	11.0	32.4	5.6	12.2	2.8	4.2	25.4	17.6	2.0	18.2	0.0	0.0	0.0
AR41	14.8	11.4	7.0	0.4	3.0	8.6	26.0	20.8	16.0	3.6	0.0	12.0	26.8	12.8	10.4	50.6	4.6	15.4	3.0	4.2	18.8	12.2	2.6	16.4	0.0	0.0	0.0
E_40	17.0	11.4	6.0	0.8	3.2	3.4	23.0	21.0	14.0	10.1	0.2	8.4	26.2	12.8	12.8	39.2	6.6	18.8	1.6	3.2	24.0	15.0	1.8	11.6	0.0	0.0	0.0
AC17	6.2	8.4	10.6	0.6	4.8	8.4	24.0	15.2	18.6	10.0	0.2	8.2	14.6	14.2	9.8	35.2	4.8	8.6	2.0	5.4	29.2	18.8	2.6	13.2	0.0	0.0	0.0
E_36	13.4	10.4	8.6	0.0	3.0	5.2	23.4	22.6	15.2	10.0	0.0	13.8	13.2	16.2	10.4	37.8	5.8	13.2	2.6	2.6	20.2	10.4	2.8	12.2	0.2	0.0	0.0

Precipitaciones representativas Jerte



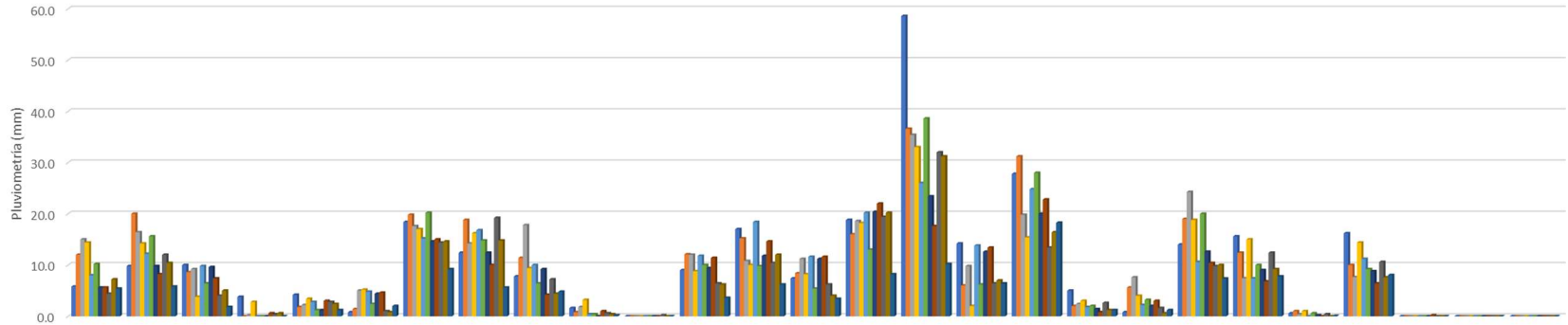
	21-ene.	22-ene.	23-ene.	24-ene.	25-ene.	26-ene.	27-ene.	28-ene.	29-ene.	30-ene.	31-ene.	1-feb.	2-feb.	3-feb.	4-feb.	5-feb.	6-feb.	7-feb.	8-feb.	9-feb.	10-feb.	11-feb.	12-feb.	13-feb.	14-feb.	15-feb.	16-feb.
■ PN51	33.2	13.4	4.0	0.2	0.8	19.8	78.4	19.8	30.2	16.4	0.2	31.0	24.2	12.8	23.2	85.2	8.4	19.0	7.3	8.9	31.0	30.0	4.2	42.6	0.0	0.0	0.0
■ P_50	17.4	5.2	8.6	13.8	4.4	19.4	32.2	28.0	37.8	13.4	2.8	14.2	39.6	16.4	32.6	63.6	12.4	23.6	6.4	19.2	47.2	40.2	2.4	29.2	0.0	0.0	0.0
■ AR42	24.2	14.7	5.7	0.7	9.0	15.3	54.0	22.8	27.4	14.2	0.6	12.2	17.7	8.4	11.3	38.2	7.4	25.2	4.0	8.2	28.8	24.8	1.8	21.6	0.2	0.0	0.0
■ E_40	17.0	11.4	6.0	0.8	3.2	3.4	23.0	21.0	14.0	10.1	0.2	8.4	26.2	12.8	12.8	39.2	6.6	18.8	1.6	3.2	24.0	15.0	1.8	11.6	0.0	0.0	0.0
■ AR43	21.6	14.0	2.4	0.0	2.8	3.0	12.4	15.0	14.0	3.1	0.0	4.8	12.6	6.4	12.0	23.2	1.8	11.4	2.6	2.8	19.2	15.8	1.2	12.2	0.0	0.0	0.0

Precipitaciones representativas Arrago



	21-ene.	22-ene.	23-ene.	24-ene.	25-ene.	26-ene.	27-ene.	28-ene.	29-ene.	30-ene.	31-ene.	1-feb.	2-feb.	3-feb.	4-feb.	5-feb.	6-feb.	7-feb.	8-feb.	9-feb.	10-feb.	11-feb.	12-feb.	13-feb.	14-feb.	15-feb.	16-feb.
■ P_61	39.6	29.8	10.6	0.6	3.2	11.4	35.6	30.4	29.8	10.8	0.0	31.2	43.0	17.0	19.8	58.2	6.4	40.4	5.0	7.2	25.2	32.6	5.2	37.0	0.0	0.0	0.0
■ P_60	36.2	24.8	9.8	0.6	2.4	17.6	50.2	28.4	29.2	9.4	0.0	25.6	32.4	20.8	13.6	61.6	6.6	31.0	4.2	4.8	29.8	35.0	4.6	31.8	0.0	0.0	0.0
■ P_59	34.8	20.2	9.8	0.2	2.0	11.8	32.2	30.6	19.0	7.2	0.2	36.6	22.0	17.2	16.8	56.2	9.0	22.6	3.2	2.8	18.6	19.8	5.8	29.4	0.0	0.0	0.0
■ P_58	25.0	16.8	7.8	0.2	1.2	12.8	46.2	32.8	14.6	6.0	0.6	25.2	26.0	19.6	11.2	58.6	6.4	37.0	1.8	1.4	12.4	12.6	3.0	31.6	0.0	0.0	0.0
■ E_43	32.6	21.6	10.0	0.2	2.4	5.0	20.6	22.8	18.2	13.2	0.2	19.6	15.4	11.0	13.8	44.4	4.6	22.0	3.0	4.2	24.4	20.2	3.6	25.6	0.0	0.0	0.0
■ E_42	30.2	20.8	7.0	0.0	2.8	6.6	20.8	25.4	16.6	19.4	0.0	21.4	11.6	10.6	14.4	45.0	4.2	14.4	3.0	4.6	24.6	19.0	3.2	23.6	0.0	0.0	0.0
■ AC21	29.0	21.6	6.6	0.0	2.4	5.4	17.0	26.6	16.0	16.0	0.0	20.6	11.6	9.2	15.0	45.0	3.0	18.8	2.8	4.8	21.0	17.8	2.8	26.4	0.0	0.0	0.0
■ AC22	31.8	22.8	5.8	0.2	1.6	5.4	19.4	20.8	13.2	9.1	0.1	11.8	11.2	9.0	16.6	47.2	3.4	19.2	3.4	4.4	25.4	19.2	2.6	25.2	0.0	0.0	0.0
■ AR45	19.6	22.0	5.2	0.6	1.4	7.0	27.2	29.4	11.8	3.0	0.1	21.8	20.2	13.8	18.8	41.6	7.6	13.0	3.2	5.2	10.4	11.6	1.6	19.4	0.0	0.0	0.0
■ AR44	24.0	20.6	4.8	0.2	2.4	6.6	22.6	27.6	15.4	8.4	0.2	16.8	12.6	8.8	15.8	42.4	3.6	11.0	3.8	3.6	19.6	15.0	2.2	18.0	0.0	0.0	0.0
■ AR46	25.0	18.0	3.6	0.0	3.2	5.6	22.2	25.6	13.6	4.6	0.0	18.6	18.6	9.2	15.0	40.6	5.0	10.8	3.4	3.0	18.6	12.8	2.0	17.8	0.0	0.0	0.0

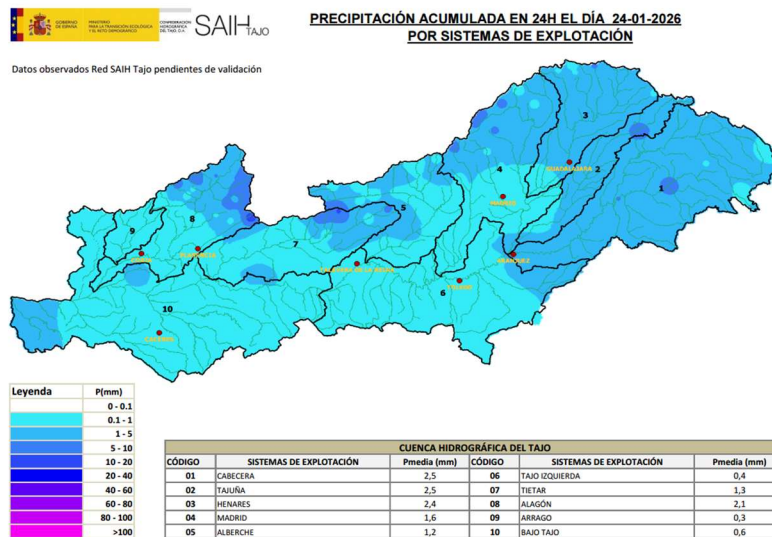
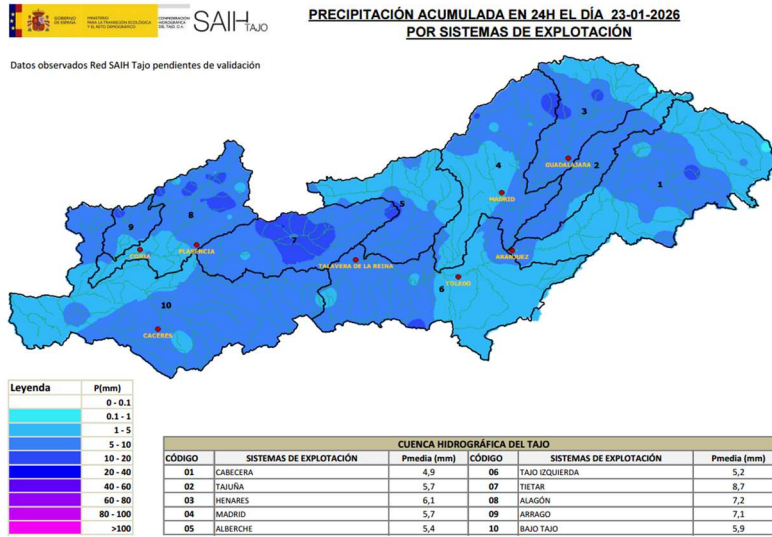
Precipitaciones representativas Bajo Tajo



	21-ene.	22-ene.	23-ene.	24-ene.	25-ene.	26-ene.	27-ene.	28-ene.	29-ene.	30-ene.	31-ene.	1-feb.	2-feb.	3-feb.	4-feb.	5-feb.	6-feb.	7-feb.	8-feb.	9-feb.	10-feb.	11-feb.	12-feb.	13-feb.	14-feb.	15-feb.	16-feb.
E_47	5.8	9.8	10.0	3.8	4.2	0.8	18.4	12.4	7.8	1.6	0.0	9.0	17.0	7.4	18.8	58.6	14.2	27.8	5.0	0.8	14.0	15.6	0.6	16.2	0.0	0.0	0.0
L_11	12.0	20.0	8.6	0.0	1.8	1.4	19.8	18.8	11.4	0.8	0.0	12.1	15.2	8.4	16.0	36.6	6.0	31.2	2.0	5.6	19.0	12.4	1.0	10.0	0.0	0.0	0.0
AR50	15.0	16.4	9.2	0.2	2.2	5.0	17.6	14.2	17.8	1.8	0.0	12.0	10.8	11.2	18.6	35.4	9.8	19.8	2.4	7.6	24.3	7.4	0.4	7.6	0.0	0.0	0.0
E_34	14.4	14.2	3.8	2.8	3.4	5.2	17.0	16.2	9.4	3.2	0.0	8.8	10.0	8.2	18.2	33.0	2.0	15.4	3.0	4.0	18.8	15.0	1.0	14.4	0.0	0.0	0.0
E_44	8.0	12.2	9.8	0.0	2.8	4.8	15.2	16.8	10.0	0.4	0.0	11.8	18.4	11.6	20.2	26.0	13.8	24.8	1.8	2.2	10.6	7.4	0.0	11.2	0.0	0.0	0.0
E_30	10.2	15.6	6.4	0.0	1.2	2.4	20.2	14.8	6.4	0.4	0.0	10.0	9.8	5.4	13.0	38.6	6.2	28.0	2.0	3.2	20.0	10.0	0.6	9.2	0.0	0.0	0.0
AR51	5.6	9.8	9.6	0.0	1.2	4.4	14.6	12.4	9.2	0.0	0.0	9.4	11.8	11.2	20.4	23.4	12.6	20.0	1.4	2.0	12.6	9.0	0.2	8.8	0.0	0.0	0.0
E_46	5.6	8.2	7.4	0.6	3.0	4.6	15.0	10.0	4.2	1.0	0.0	11.4	14.6	11.6	22.0	17.6	13.4	22.8	0.8	3.0	10.4	6.8	0.0	6.4	0.2	0.0	0.0
E_45	4.4	12.0	4.0	0.4	2.8	1.0	14.4	19.2	7.2	0.6	0.2	6.4	10.4	6.2	19.4	32.0	6.4	13.4	2.6	1.6	9.8	12.4	0.4	10.6	0.0	0.0	0.0
AR52	7.2	10.4	5.0	0.6	2.4	0.8	14.6	14.8	4.4	0.4	0.0	6.2	12.0	4.0	20.2	31.2	7.0	16.4	1.2	0.6	10.0	9.2	0.0	7.6	0.0	0.0	0.0
P_49	5.4	5.8	1.8	0.0	1.2	2.0	9.2	5.6	4.8	0.2	0.0	3.6	6.2	3.4	8.2	10.2	6.4	18.3	1.2	1.2	7.4	7.8	0.1	8.0	0.0	0.0	0.0

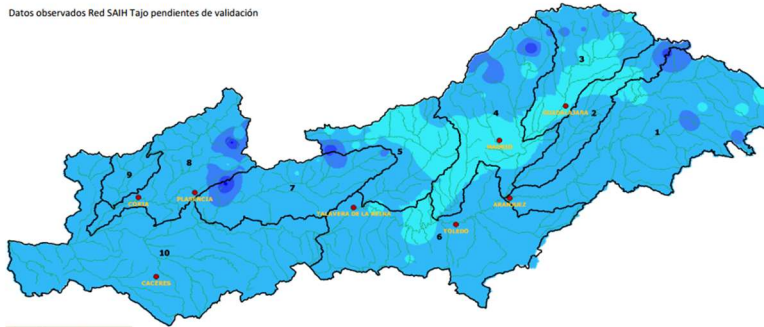
5.3. MAPAS DE PRECIPITACIÓN DIARIA

En el presente apartado se presentan los mapas de precipitación acumulada, que se registraron, durante cada uno de los días del intervalo de lluvias que abarca las siete borrascas.



**PRECIPITACIÓN ACUMULADA EN 24H EL DÍA 25-01-2026
POR SISTEMAS DE EXPLOTACIÓN**

Datos observados Red SAIH Tajo pendientes de validación

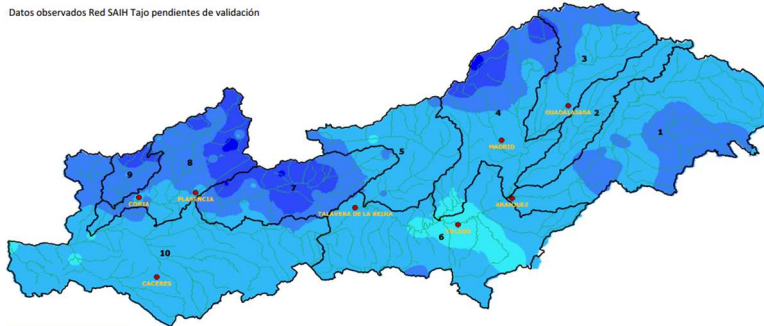


Leyenda	P(mm)
0 - 0.1	
0.1 - 1	
1 - 5	
5 - 10	
10 - 20	
20 - 40	
40 - 60	
60 - 80	
80 - 100	
>100	

CUENCA HIDROGRÁFICA DEL TAJO					
CÓDIGO	SISTEMAS DE EXPLOTACIÓN	Pmedia (mm)	CÓDIGO	SISTEMAS DE EXPLOTACIÓN	Pmedia (mm)
01	CABECERA	2,5	06	TAJO IZQUIERDA	1,4
02	TAJUEÑA	2,1	07	TIETAR	3,3
03	HENARES	1,5	08	ALAGÓN	3,5
04	MADRID	2,0	09	ARRAGO	2,2
05	ALBERCHE	1,4	10	BAJO TAJO	2,2

**PRECIPITACIÓN ACUMULADA EN 24H EL DÍA 26-01-2026
POR SISTEMAS DE EXPLOTACIÓN**

Datos observados Red SAIH Tajo pendientes de validación

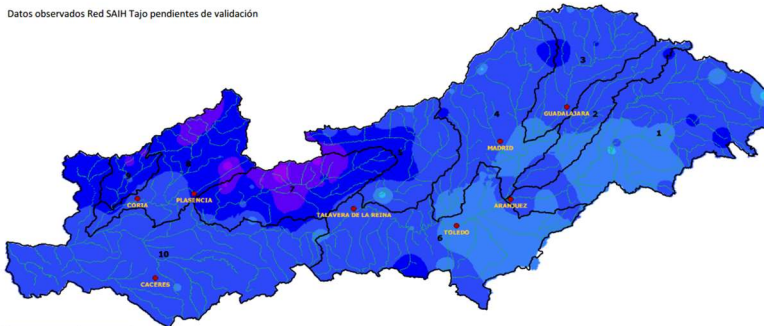


Leyenda	P(mm)
0 - 0.1	
0.1 - 1	
1 - 5	
5 - 10	
10 - 20	
20 - 40	
40 - 60	
60 - 80	
80 - 100	
>100	

CUENCA HIDROGRÁFICA DEL TAJO					
CÓDIGO	SISTEMAS DE EXPLOTACIÓN	Pmedia (mm)	CÓDIGO	SISTEMAS DE EXPLOTACIÓN	Pmedia (mm)
01	CABECERA	4,5	06	TAJO IZQUIERDA	2,0
02	TAJUEÑA	4,0	07	TIETAR	8,8
03	HENARES	4,8	08	ALAGÓN	8,6
04	MADRID	5,9	09	ARRAGO	8,0
05	ALBERCHE	3,1	10	BAJO TAJO	3,5

**PRECIPITACIÓN ACUMULADA EN 24H EL DÍA 27-01-2026
POR SISTEMAS DE EXPLOTACIÓN**

Datos observados Red SAIH Tajo pendientes de validación

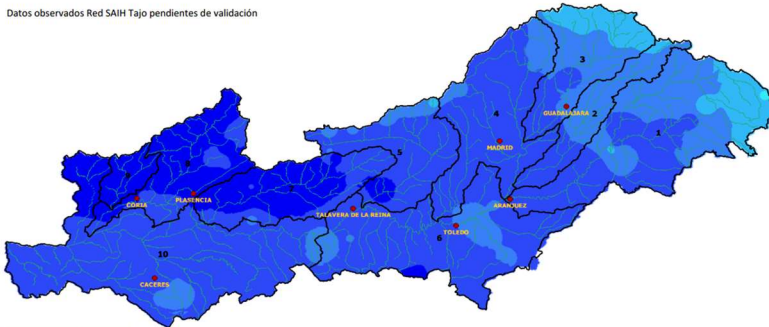


Leyenda	P(mm)
0 - 0.1	
0.1 - 1	
1 - 5	
5 - 10	
10 - 20	
20 - 40	
40 - 60	
60 - 80	
80 - 100	
>100	

CUENCA HIDROGRÁFICA DEL TAJO					
CÓDIGO	SISTEMAS DE EXPLOTACIÓN	Pmedia (mm)	CÓDIGO	SISTEMAS DE EXPLOTACIÓN	Pmedia (mm)
01	CABECERA	12,1	06	TAJO IZQUIERDA	11,5
02	TAJUEÑA	12,8	07	TIETAR	35,7
03	HENARES	14,6	08	ALAGÓN	29,3
04	MADRID	13,1	09	ARRAGO	27,0
05	ALBERCHE	19,5	10	BAJO TAJO	15,8

**PRECIPITACIÓN ACUMULADA EN 24H EL DÍA 28-01-2026
POR SISTEMAS DE EXPLOTACIÓN**

Datos observados Red SAIH Tajo pendientes de validación

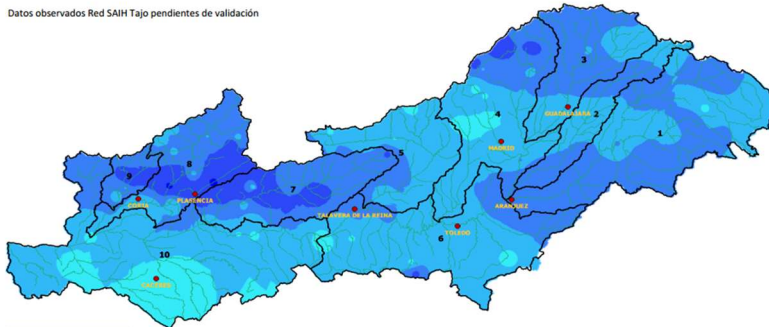


Leyenda	P(mm)
0 - 0.1	
0.1 - 1	
1 - 5	
5 - 10	
10 - 20	
20 - 40	
40 - 60	
60 - 80	
80 - 100	
>100	

CUENCA HIDROGRÁFICA DEL TAJO					
CÓDIGO	SISTEMAS DE EXPLOTACIÓN	Pmedia (mm)	CÓDIGO	SISTEMAS DE EXPLOTACIÓN	Pmedia (mm)
01	CABECERA	8,3	06	TAJO IZQUIERDA	12,2
02	TAJUNA	9,0	07	TIETAR	22,2
03	HENARES	7,1	08	ALAGÓN	22,2
04	MADRID	12,0	09	ARRAGÓN	25,5
05	ALBERCHE	15,3	10	BAJO TAJO	14,7

**PRECIPITACIÓN ACUMULADA EN 24H EL DÍA 30-01-2026
POR SISTEMAS DE EXPLOTACIÓN**

Datos observados Red SAIH Tajo pendientes de validación

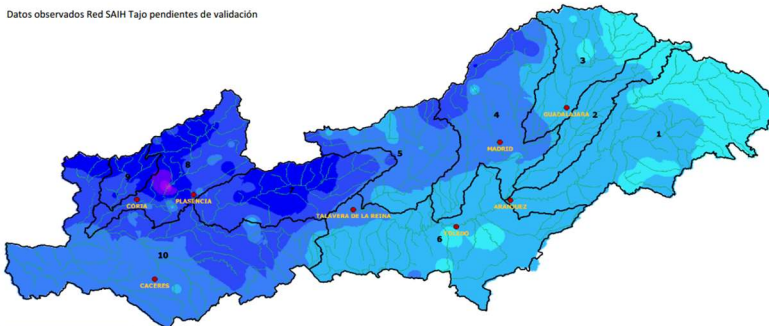


Leyenda	P(mm)
0 - 0.1	
0.1 - 1	
1 - 5	
5 - 10	
10 - 20	
20 - 40	
40 - 60	
60 - 80	
80 - 100	
>100	

CUENCA HIDROGRÁFICA DEL TAJO					
CÓDIGO	SISTEMAS DE EXPLOTACIÓN	Pmedia (mm)	CÓDIGO	SISTEMAS DE EXPLOTACIÓN	Pmedia (mm)
01	CABECERA	5,5	06	TAJO IZQUIERDA	3,4
02	TAJUNA	5,2	07	TIETAR	8,7
03	HENARES	5,3	08	ALAGÓN	8,4
04	MADRID	4,3	09	ARRAGÓN	8,8
05	ALBERCHE	3,5	10	BAJO TAJO	2,3

**PRECIPITACIÓN ACUMULADA EN 24H EL DÍA 01-02-2026
POR SISTEMAS DE EXPLOTACIÓN**

Datos observados Red SAIH Tajo pendientes de validación

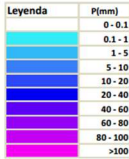
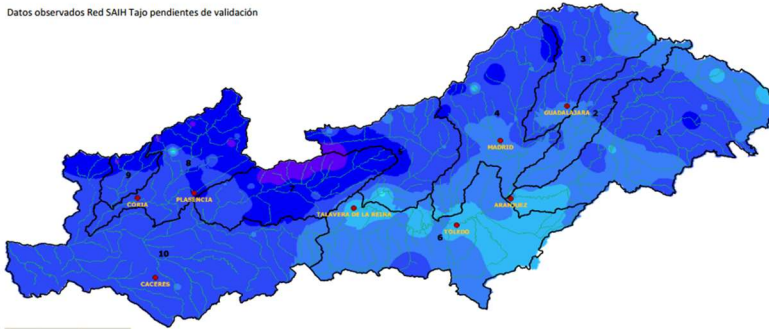


Leyenda	P(mm)
0 - 0.1	
0.1 - 1	
1 - 5	
5 - 10	
10 - 20	
20 - 40	
40 - 60	
60 - 80	
80 - 100	
>100	

CUENCA HIDROGRÁFICA DEL TAJO					
CÓDIGO	SISTEMAS DE EXPLOTACIÓN	Pmedia (mm)	CÓDIGO	SISTEMAS DE EXPLOTACIÓN	Pmedia (mm)
01	CABECERA	1,1	06	TAJO IZQUIERDA	2,5
02	TAJUNA	2,2	07	TIETAR	18,7
03	HENARES	2,0	08	ALAGÓN	20,2
04	MADRID	7,0	09	ARRAGÓN	23,1
05	ALBERCHE	7,3	10	BAJO TAJO	10,1

**PRECIPITACIÓN ACUMULADA EN 24H EL DÍA 02-02-2026
POR SISTEMAS DE EXPLOTACIÓN**

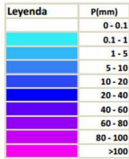
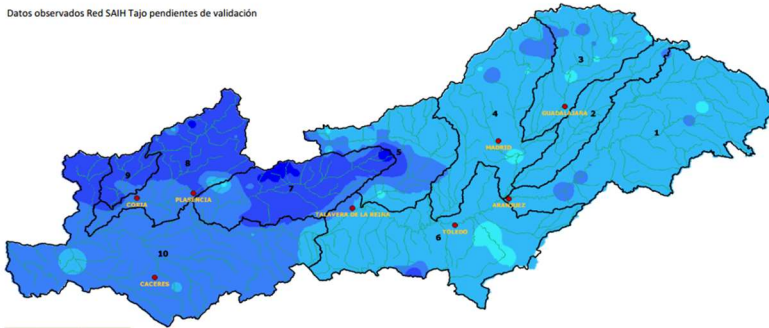
Datos observados Red SAIH Tajo pendientes de validación



CUENCA HIDROGRÁFICA DEL TAJO					
CÓDIGO	SISTEMAS DE EXPLOTACIÓN	Pmedia (mm)	CÓDIGO	SISTEMAS DE EXPLOTACIÓN	Pmedia (mm)
01	CABECERA	9,9	06	TAJO IZQUIERDA	5,8
02	TAJUEÑA	9,6	07	TIETAR	27,5
03	HENARES	11,8	08	ALAGÓN	22,5
04	MADRID	12,9	09	ARRAGO	21,0
05	ALBERCHE	16,8	10	BAJO TAJO	13,3

**PRECIPITACIÓN ACUMULADA EN 24H EL DÍA 03-02-2026
POR SISTEMAS DE EXPLOTACIÓN**

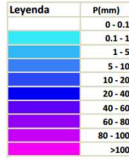
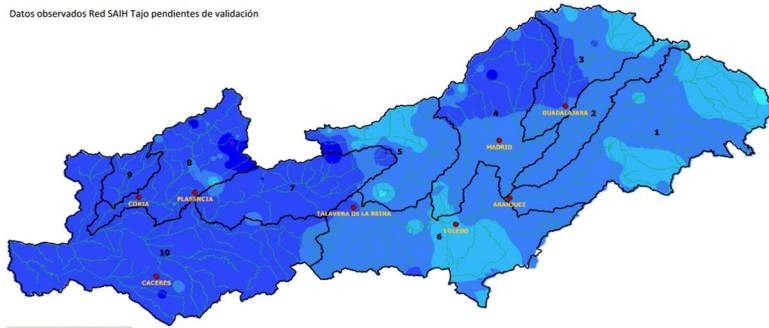
Datos observados Red SAIH Tajo pendientes de validación



CUENCA HIDROGRÁFICA DEL TAJO					
CÓDIGO	SISTEMAS DE EXPLOTACIÓN	Pmedia (mm)	CÓDIGO	SISTEMAS DE EXPLOTACIÓN	Pmedia (mm)
01	CABECERA	3,0	06	TAJO IZQUIERDA	2,5
02	TAJUEÑA	2,5	07	TIETAR	12,8
03	HENARES	2,4	08	ALAGÓN	11,9
04	MADRID	2,6	09	ARRAGO	12,7
05	ALBERCHE	5,1	10	BAJO TAJO	7,8

**PRECIPITACIÓN ACUMULADA EN 24H EL DÍA 04-02-2026
POR SISTEMAS DE EXPLOTACIÓN**

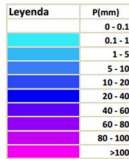
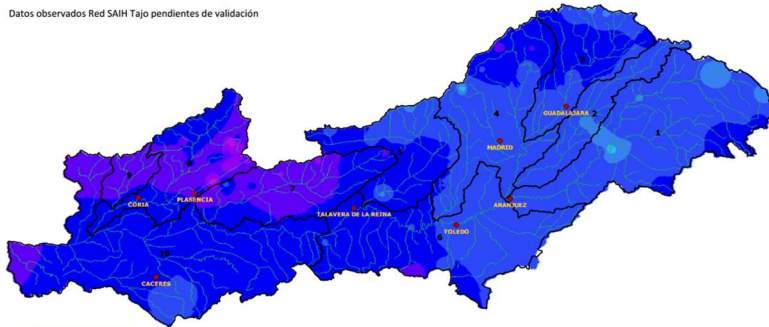
Datos observados Red SAIH Tajo pendientes de validación



CUENCA HIDROGRÁFICA DEL TAJO					
CÓDIGO	SISTEMAS DE EXPLOTACIÓN	Pmedia (mm)	CÓDIGO	SISTEMAS DE EXPLOTACIÓN	Pmedia (mm)
01	CABECERA	5,3	06	TAJO IZQUIERDA	6,3
02	TAJUEÑA	7,0	07	TIETAR	13,8
03	HENARES	8,0	08	ALAGÓN	14,2
04	MADRID	10,2	09	ARRAGO	14,9
05	ALBERCHE	6,9	10	BAJO TAJO	15,4

**PRECIPITACIÓN ACUMULADA EN 24H EL DÍA 05-02-2026
POR SISTEMAS DE EXPLOTACIÓN**

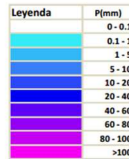
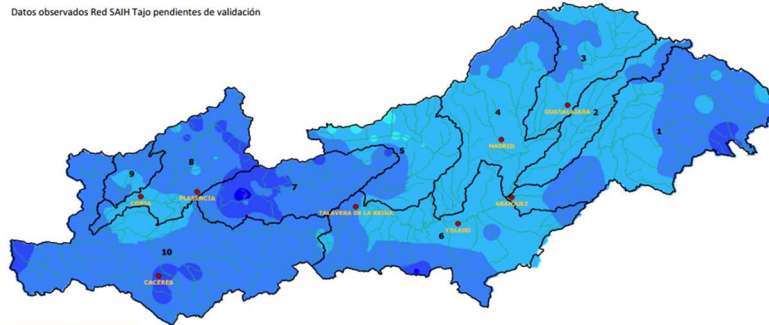
Datos observados Red SAIH Tajo pendientes de validación



CUENCA HIDROGRÁFICA DEL TAJO					
CÓDIGO	SISTEMAS DE EXPLOTACIÓN	Pmedia (mm)	CÓDIGO	SISTEMAS DE EXPLOTACIÓN	Pmedia (mm)
01	CABECERA	14,3	06	TAJO IZQUIERDA	21,5
02	TAJUEÑA	13,3	07	TIETAR	41,2
03	HENARES	19,7	08	ALAGÓN	42,5
04	MADRID	18,9	09	ARRAGO	46,5
05	ALBERCHE	21,3	10	BAJO TAJO	31,0

**PRECIPITACIÓN ACUMULADA EN 24H EL DÍA 06-02-2026
POR SISTEMAS DE EXPLOTACIÓN**

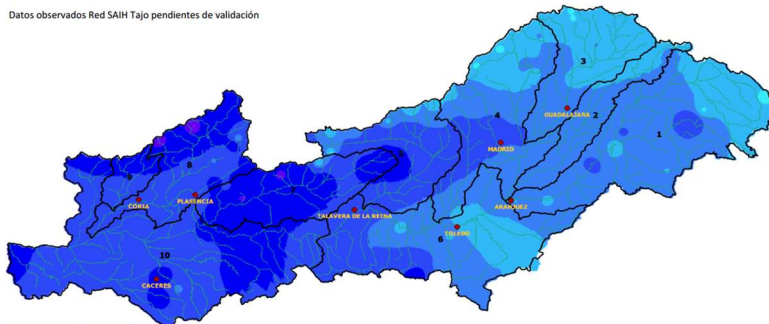
Datos observados Red SAIH Tajo pendientes de validación



CUENCA HIDROGRÁFICA DEL TAJO					
CÓDIGO	SISTEMAS DE EXPLOTACIÓN	Pmedia (mm)	CÓDIGO	SISTEMAS DE EXPLOTACIÓN	Pmedia (mm)
01	CABECERA	5,8	06	TAJO IZQUIERDA	5,0
02	TAJUEÑA	4,1	07	TIETAR	9,3
03	HENARES	4,3	08	ALAGÓN	7,3
04	MADRID	3,6	09	ARRAGO	5,7
05	ALBERCHE	3,3	10	BAJO TAJO	7,3

**PRECIPITACIÓN ACUMULADA EN 24H EL DÍA 07-02-2026
POR SISTEMAS DE EXPLOTACIÓN**

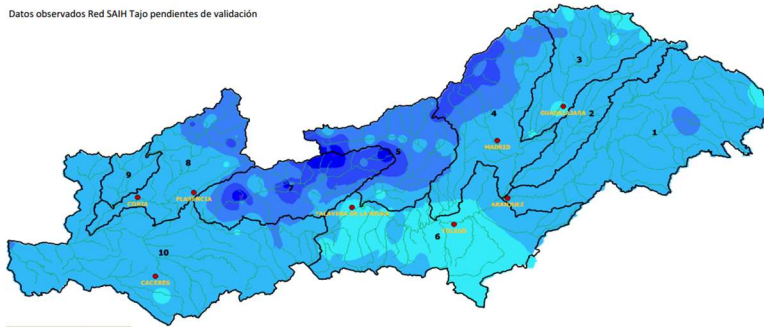
Datos observados Red SAIH Tajo pendientes de validación



CUENCA HIDROGRÁFICA DEL TAJO					
CÓDIGO	SISTEMAS DE EXPLOTACIÓN	Pmedia (mm)	CÓDIGO	SISTEMAS DE EXPLOTACIÓN	Pmedia (mm)
01	CABECERA	6,2	06	TAJO IZQUIERDA	8,2
02	TAJUEÑA	6,6	07	TIETAR	24,6
03	HENARES	4,3	08	ALAGÓN	20,7
04	MADRID	7,2	09	ARRAGO	20,3
05	ALBERCHE	13,6	10	BAJO TAJO	18,3

**PRECIPITACIÓN ACUMULADA EN 24H EL DÍA 08-02-2026
POR SISTEMAS DE EXPLOTACIÓN**

Datos observados Red SAIH Tajo pendientes de validación

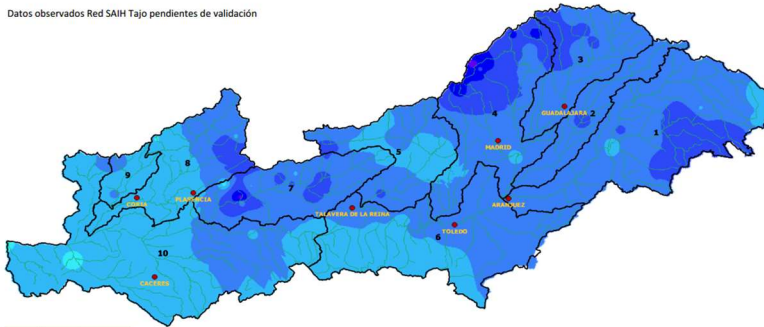


Legenda	P(mm)
0 - 0.1	
0.1 - 1	
1 - 5	
5 - 10	
10 - 20	
20 - 40	
40 - 60	
60 - 80	
80 - 100	
>100	

CUENCA HIDROGRÁFICA DEL TAJO					
CÓDIGO	SISTEMAS DE EXPLOTACIÓN	Pmedia (mm)	CÓDIGO	SISTEMAS DE EXPLOTACIÓN	Pmedia (mm)
01	CABECERA	2,9	06	TAJO IZQUIERDA	1,0
02	TAJUNA	2,4	07	TIETAR	10,1
03	HENARES	1,9	08	ALAGÓN	3,9
04	MADRID	5,0	09	ARRAGO	3,0
05	ALBERCHE	7,4	10	BAJO TAJO	2,3

**PRECIPITACIÓN ACUMULADA EN 24H EL DÍA 09-02-2026
POR SISTEMAS DE EXPLOTACIÓN**

Datos observados Red SAIH Tajo pendientes de validación

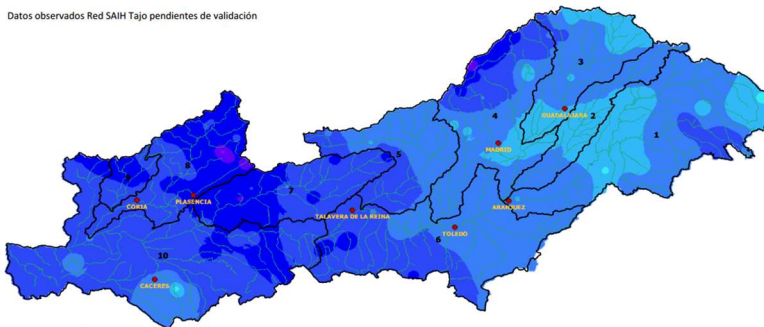


Legenda	P(mm)
0 - 0.1	
0.1 - 1	
1 - 5	
5 - 10	
10 - 20	
20 - 40	
40 - 60	
60 - 80	
80 - 100	
>100	

CUENCA HIDROGRÁFICA DEL TAJO					
CÓDIGO	SISTEMAS DE EXPLOTACIÓN	Pmedia (mm)	CÓDIGO	SISTEMAS DE EXPLOTACIÓN	Pmedia (mm)
01	CABECERA	8,3	06	TAJO IZQUIERDA	5,2
02	TAJUNA	8,3	07	TIETAR	8,7
03	HENARES	9,0	08	ALAGÓN	5,9
04	MADRID	10,7	09	ARRAGO	4,4
05	ALBERCHE	6,1	10	BAJO TAJO	3,7

**PRECIPITACIÓN ACUMULADA EN 24H EL DÍA 10-02-2026
POR SISTEMAS DE EXPLOTACIÓN**

Datos observados Red SAIH Tajo pendientes de validación

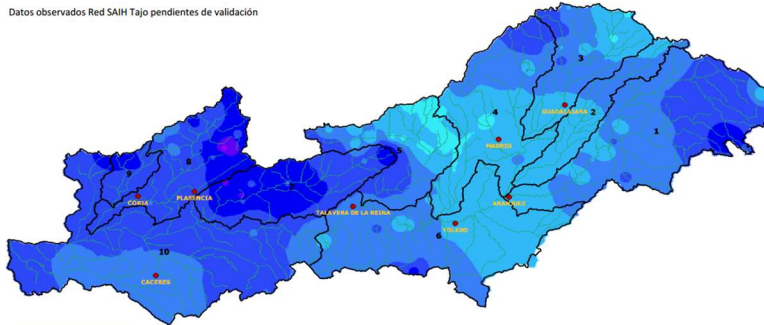


Legenda	P(mm)
0 - 0.1	
0.1 - 1	
1 - 5	
5 - 10	
10 - 20	
20 - 40	
40 - 60	
60 - 80	
80 - 100	
>100	

CUENCA HIDROGRÁFICA DEL TAJO					
CÓDIGO	SISTEMAS DE EXPLOTACIÓN	Pmedia (mm)	CÓDIGO	SISTEMAS DE EXPLOTACIÓN	Pmedia (mm)
01	CABECERA	5,9	06	TAJO IZQUIERDA	10,7
02	TAJUNA	5,4	07	TIETAR	20,4
03	HENARES	5,9	08	ALAGÓN	23,6
04	MADRID	9,9	09	ARRAGO	19,4
05	ALBERCHE	9,2	10	BAJO TAJO	14,7

**PRECIPITACIÓN ACUMULADA EN 24H EL DÍA 11-02-2026
POR SISTEMAS DE EXPLOTACIÓN**

Datos observados Red SAIH Tajo pendientes de validación

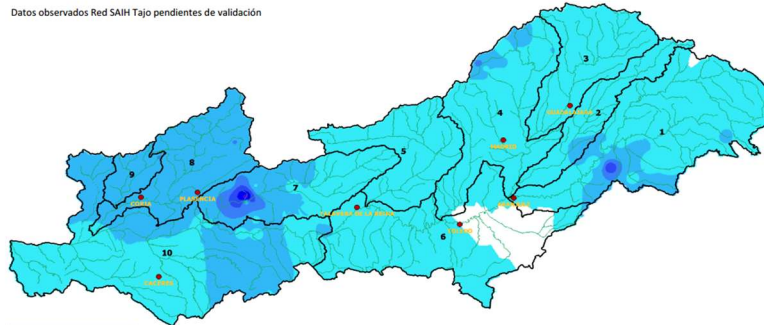


Legenda	P(mm)
0 - 0.1	
0.1 - 1	
1 - 5	
5 - 10	
10 - 20	
20 - 40	
40 - 60	
60 - 80	
80 - 100	
>100	

CUENCA HIDROGRÁFICA DEL TAJO					
CÓDIGO	SISTEMAS DE EXPLOTACIÓN	Pmedia (mm)	CÓDIGO	SISTEMAS DE EXPLOTACIÓN	Pmedia (mm)
01	CABECERA	9,7	06	TAJO IZQUIERDA	5,6
02	TAJUEÑA	4,8	07	TIETAR	21,5
03	HENARES	5,2	08	ALAGÓN	18,5
04	MADRID	4,8	09	ARRAGO	17,6
05	ALBERCHE	6,0	10	BAJO TAJO	11,4

**PRECIPITACIÓN ACUMULADA EN 24H EL DÍA 12-02-2026
POR SISTEMAS DE EXPLOTACIÓN**

Datos observados Red SAIH Tajo pendientes de validación

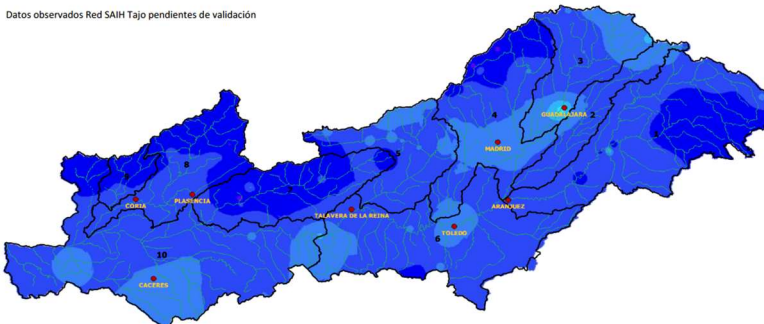


Legenda	P(mm)
0 - 0.1	
0.1 - 1	
1 - 5	
5 - 10	
10 - 20	
20 - 40	
40 - 60	
60 - 80	
80 - 100	
>100	

CUENCA HIDROGRÁFICA DEL TAJO					
CÓDIGO	SISTEMAS DE EXPLOTACIÓN	Pmedia (mm)	CÓDIGO	SISTEMAS DE EXPLOTACIÓN	Pmedia (mm)
01	CABECERA	0,6	06	TAJO IZQUIERDA	0,1
02	TAJUEÑA	0,3	07	TIETAR	2,6
03	HENARES	0,2	08	ALAGÓN	2,5
04	MADRID	0,5	09	ARRAGO	2,7
05	ALBERCHE	0,3	10	BAJO TAJO	1,1

**PRECIPITACIÓN ACUMULADA EN 24H EL DÍA 13-02-2026
POR SISTEMAS DE EXPLOTACIÓN**

Datos observados Red SAIH Tajo pendientes de validación

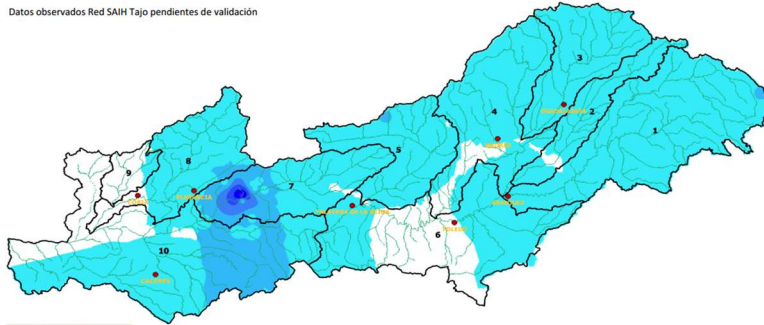


Legenda	P(mm)
0 - 0.1	
0.1 - 1	
1 - 5	
5 - 10	
10 - 20	
20 - 40	
40 - 60	
60 - 80	
80 - 100	
>100	

CUENCA HIDROGRÁFICA DEL TAJO					
CÓDIGO	SISTEMAS DE EXPLOTACIÓN	Pmedia (mm)	CÓDIGO	SISTEMAS DE EXPLOTACIÓN	Pmedia (mm)
01	CABECERA	19,2	06	TAJO IZQUIERDA	12,3
02	TAJUEÑA	11,8	07	TIETAR	22,3
03	HENARES	10,4	08	ALAGÓN	21,1
04	MADRID	14,7	09	ARRAGO	24,4
05	ALBERCHE	13,2	10	BAJO TAJO	12,1

**PRECIPITACIÓN ACUMULADA EN 24H EL DÍA 14-02-2026
POR SISTEMAS DE EXPLOTACIÓN**

Datos observados Red SAIH Tajo pendientes de validación

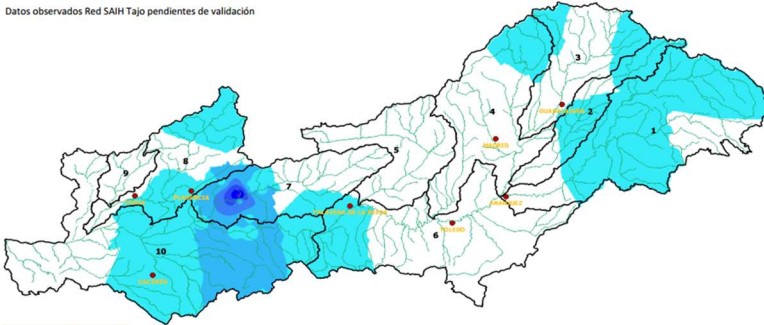


Leyenda	P(mm)
0 - 0.1	
0.1 - 1	
1 - 5	
5 - 10	
10 - 20	
20 - 40	
40 - 60	
60 - 80	
80 - 100	
>100	

CUENCA HIDROGRÁFICA DEL TAJO					
CÓDIGO	SISTEMAS DE EXPLOTACIÓN	Pmedia (mm)	CÓDIGO	SISTEMAS DE EXPLOTACIÓN	Pmedia (mm)
01	CABECERA	0,1	06	TAJO IZQUIERDA	0,0
02	TAUÑA	0,1	07	TIETAR	1,8
03	HENARES	0,1	08	ALAGÓN	0,1
04	MADRID	0,1	09	ARRAGO	0,0
05	ALBERCHE	0,1	10	BAJO TAJO	0,5

**PRECIPITACIÓN ACUMULADA EN 24H EL DÍA 15-02-2026
POR SISTEMAS DE EXPLOTACIÓN**

Datos observados Red SAIH Tajo pendientes de validación

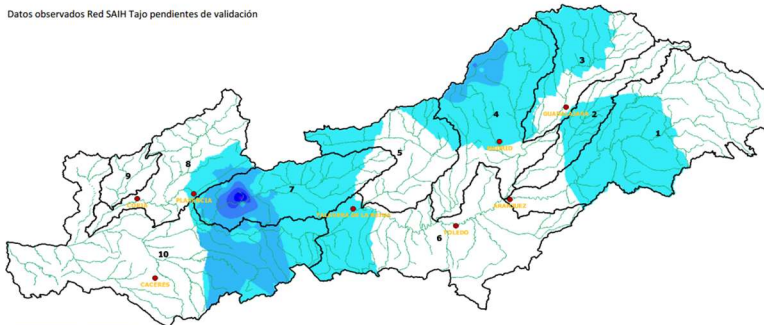


Leyenda	P(mm)
0 - 0.1	
0.1 - 1	
1 - 5	
5 - 10	
10 - 20	
20 - 40	
40 - 60	
60 - 80	
80 - 100	
>100	

CUENCA HIDROGRÁFICA DEL TAJO					
CÓDIGO	SISTEMAS DE EXPLOTACIÓN	Pmedia (mm)	CÓDIGO	SISTEMAS DE EXPLOTACIÓN	Pmedia (mm)
01	CABECERA	0,0	06	TAJO IZQUIERDA	0,0
02	TAUÑA	0,0	07	TIETAR	1,8
03	HENARES	0,0	08	ALAGÓN	0,1
04	MADRID	0,0	09	ARRAGO	0,0
05	ALBERCHE	0,0	10	BAJO TAJO	0,5

**PRECIPITACIÓN ACUMULADA EN 24H EL DÍA 16-02-2026
POR SISTEMAS DE EXPLOTACIÓN**

Datos observados Red SAIH Tajo pendientes de validación



Leyenda	P(mm)
0 - 0.1	
0.1 - 1	
1 - 5	
5 - 10	
10 - 20	
20 - 40	
40 - 60	
60 - 80	
80 - 100	
>100	

CUENCA HIDROGRÁFICA DEL TAJO					
CÓDIGO	SISTEMAS DE EXPLOTACIÓN	Pmedia (mm)	CÓDIGO	SISTEMAS DE EXPLOTACIÓN	Pmedia (mm)
01	CABECERA	0,0	06	TAJO IZQUIERDA	0,0
02	TAUÑA	0,0	07	TIETAR	1,8
03	HENARES	0,0	08	ALAGÓN	0,1
04	MADRID	0,3	09	ARRAGO	0,0
05	ALBERCHE	0,0	10	BAJO TAJO	0,4

5.4. MÁXIMOS REGISTROS PLUVIOMÉTRICOS

Una vez finalizado el evento, se comprueba que los puntos con mayor precipitación acumulada (>200 mm) durante el episodio completo, fueron los siguientes:

Subcuenca	Punto de control	Pluviometría acumulada (mm). Episodios 23/01/2026 - 16/02/2026
Alagón	E_35	653.8
Tiétar	P_46	613.0
Alagón	P_52	573.0
Tiétar	P_47	555.2
Alagón	P_55	545.0
Tiétar	AR31	511.6
Tiétar	P_48	509.9
Alagón	P_50	507.4
Alagón	PN51	497.6
Tiétar	AR30	482.2
Tiétar	P_42	481.4
Jarama	PN23	470.2
Árrago	P_61	460.6
Tiétar	AC16	456.9
Tiétar	P_43	453.8
Tiétar	P_45	450.4
Árrago	P_60	449.4
Tiétar	AR32	438.0
Alberche	PN34	418.6
Alagón	AR39	407.6
Tiétar	E_33	404.4
Alagón	AR38	400.0
Tiétar	AR29	396.1
Tiétar	E_50	389.2
Alberche	E_53	388.6
Tajo Izquierda	P_32	381.8
Tiétar	AR34	379.2
Tiétar	MC05	377.4
Árrago	P_59	373.0
Árrago	P_58	369.0
Tiétar	P_40	366.2
Alagón	AR37	365.2
Alagón	AR42	359.4
Alagón	AR36	356.8
Tiétar	E_32	353.6
Alagón	P_57	352.8
Alagón	E_38	347.9
Alagón	AR35	346.6
Jarama	P_25	335.4
Tiétar	AR33	329.0
Alagón	P_54	320.8
Jarama	P_26	310.4
Tiétar	P_41	309.5
Árrago	E_43	304.4
Cabecera	E_02	302.4
Jarama	P_21	301.0

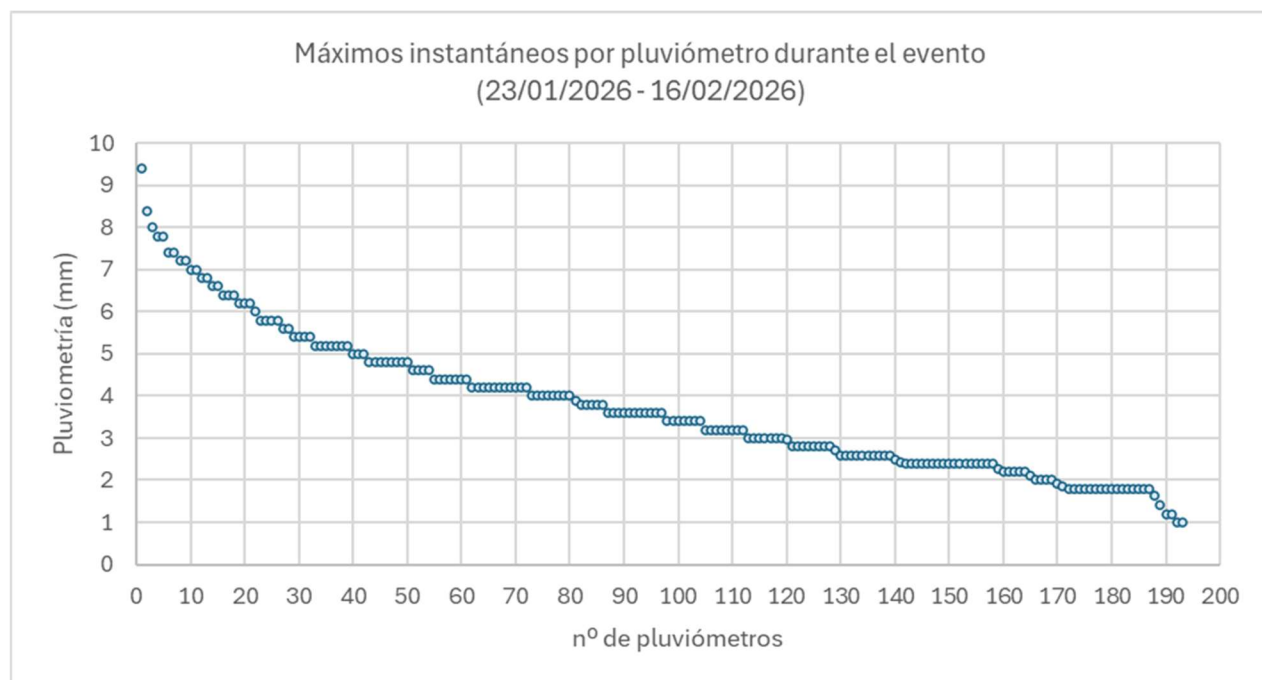
Subcuenca	Punto de control	Pluviometría acumulada (mm). Episodios 23/01/2026 - 16/02/2026
Árrago	E_42	298.2
Alagón	AR47	297.1
Alagón	P_56	296.1
Alagón	E_39	290.4
Árrago	AC21	288.8
Jarama	E_13	287.8
Alagón	AC18	285.4
Jarama	PN20	283.6
Alagón	E_55	282.8
Jarama	PN22	280.8
Alagón	AR40	280.2
Alagón	AC19	279.2
Árrago	AR41	275.2
Árrago	AC22	274.2
Árrago	AR45	273.9
Cabecera	PN05	267.6
Bajo Tajo	E_47	264.0
Alagón	E_40	263.6
Jarama	PN28	263.4
Tiétar	AR28	263.0
Árrago	AR44	261.4
Alagón	AC17	259.0
Árrago	AR46	253.8
Tiétar	MC06	253.0
Jarama	P_19	252.4
Jarama	AC10	252.2
Alagón	E_36	249.4
Tiétar	E_31	248.0
Tiétar	AC15	241.2
Bajo Tajo	I_11	238.1
Alagón	P_53	237.4
Guadarrama	P_30	236.6
Bajo Tajo	AR50	235.3
Jarama	P_27	230.2
Henares	P_18	220.4
Bajo Tajo	E_44	219.6
Alagón	I_12	214.6
Bajo Tajo	E_34	212.8
Guadarrama	P_31	212.2
Cabecera	PN01	209.2
Bajo Tajo	E_30	207.8
Tajo Izquierda	MC04	206.0
Alagón	MC07	204.1
Tiétar	AC14	201.8
Alberche	P_35	201.0

Por otro lado, los máximos instantáneos en cada subcuenca se resumen en la siguiente tabla:

<i>Subcuenca</i>	<i>Punto de control</i>	<i>Pluviometría máx instantánea (mm) Episodios (23/01/2026 - 16/02/2026)</i>
Cabecera	P_07	7.4
Tajuña	AR14	4.0
Henares	AR12	5.2
Jarama	E_22	4.2
Guadarrama	P_31	3.2
Alberche	P_35	4.4
Tajo Izquierda	P_32	6.6
Tiétar	P_48	9.4
Jerte	AR42	7.0
Alagón	E_55	8.0
Árrago	E_43	7.8
Bajo Tajo	E_47	7.2

Analizando los máximos instantáneos registrados, se aprecia que las precipitaciones registradas no se han caracterizado por presentar grandes intensidades de precipitación.

Si se realiza la clasificación de los valores de todos los pluviómetros de la cuenca, se puede observar que la precipitación máxima quinceminutal registrada ha sido menor a 10 mm.

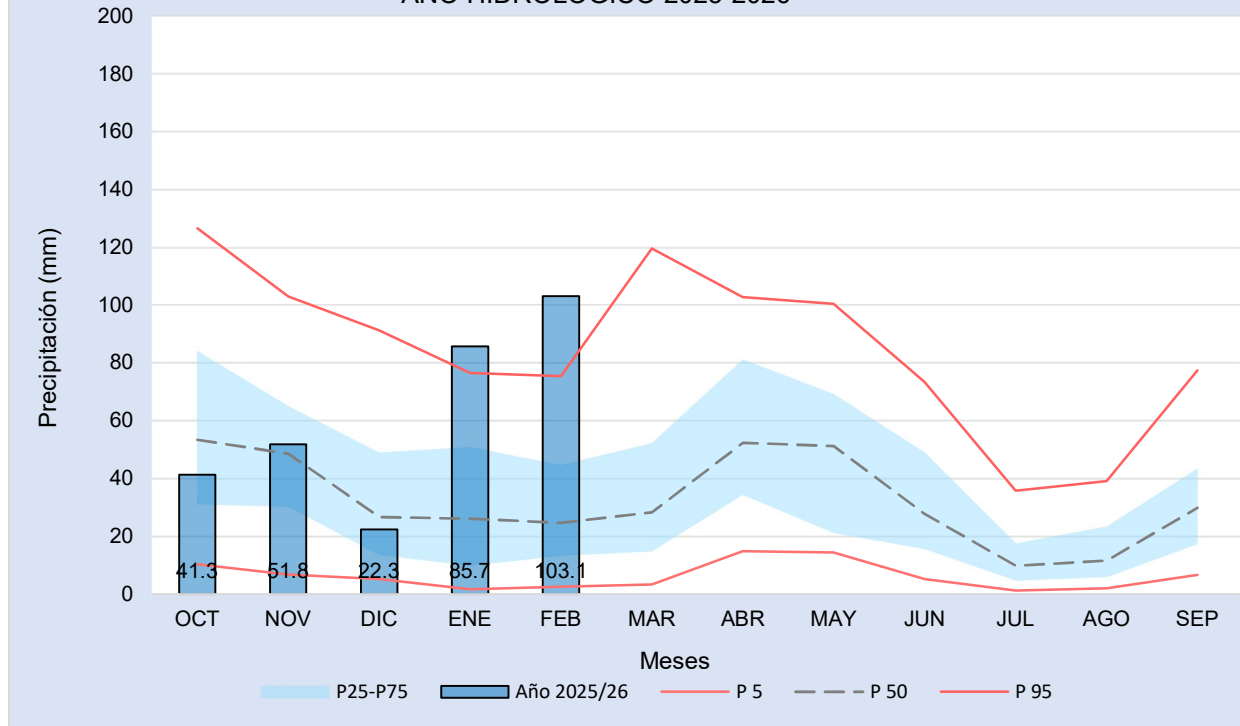


5.5. PERCENTILES DE PRECIPITACIÓN POR SISTEMAS

A continuación, se muestra la precipitación mensual acumulada desde el inicio del año hidrológico hasta el mes de febrero, donde queda encuadrado el evento. Asimismo, se muestra el percentil correspondiente a la precipitación acumulada desde el inicio del año hidrológico 2025-2026.

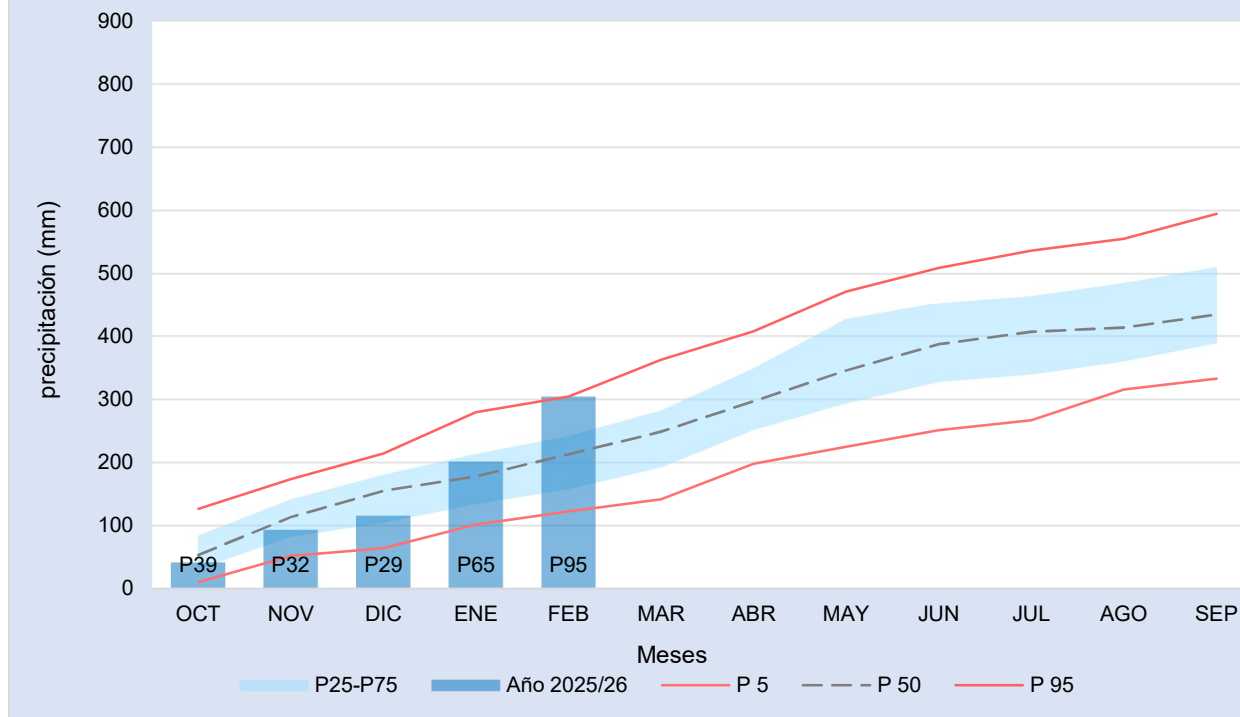
PERCENTILES DE LA SERIE HISTORICA
CUENCA DE CABECERA - MENSUAL
AÑO HIDROLÓGICO 2025-2026

SAIH_{TAJO}



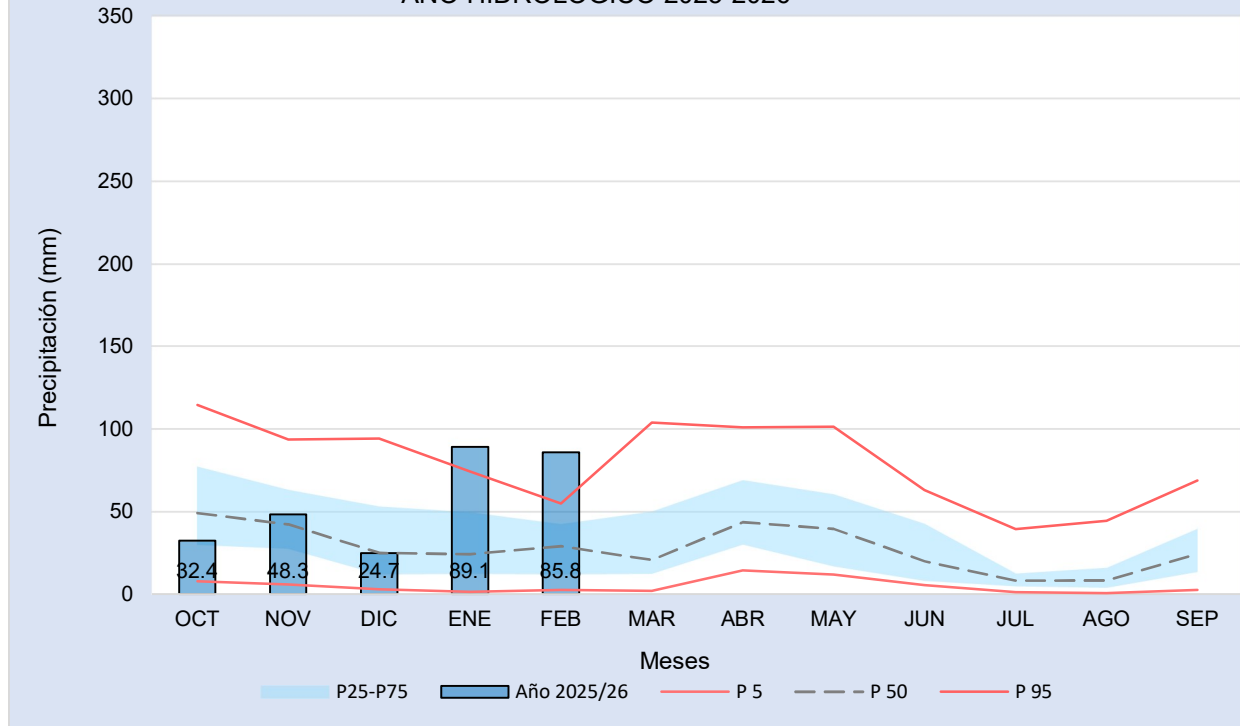
PERCENTILES DE LA SERIE HISTORICA
CUENCA DE CABECERA - ACUMULADA
AÑO HIDROLÓGICO 2025-2026

SAIH_{TAJO}



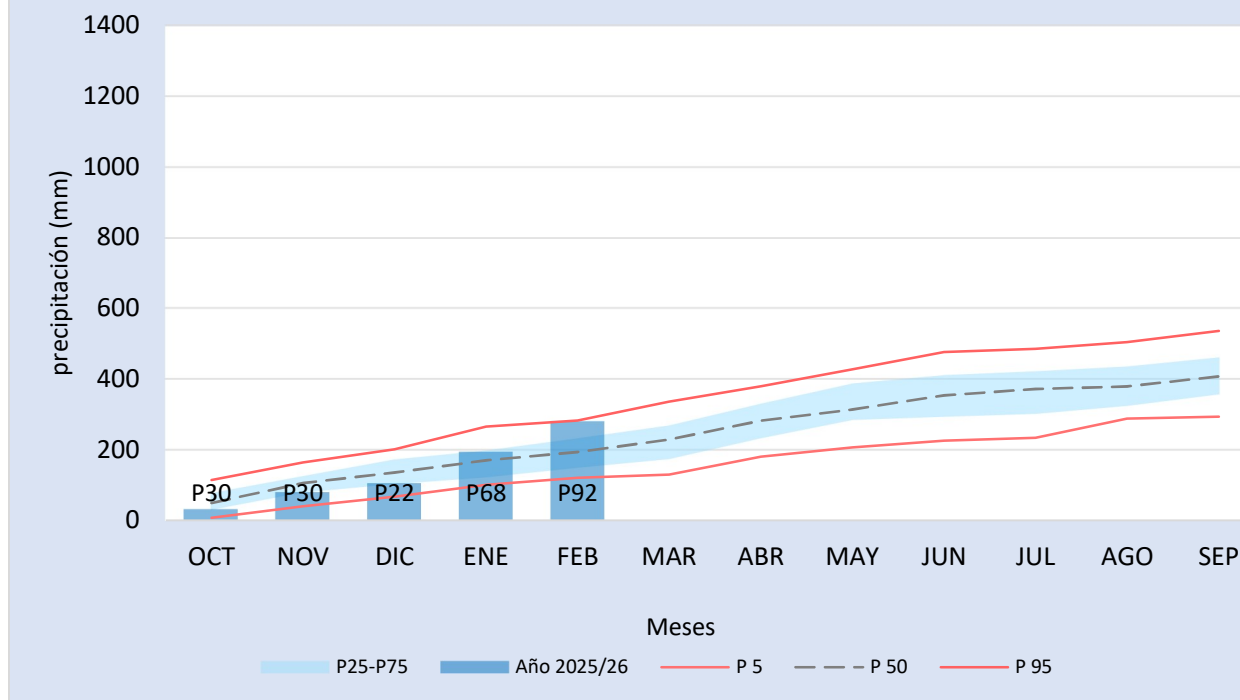
PERCENTILES DE LA SERIE HISTORICA
CUENCA DE **TAJUÑA** - MENSUAL
AÑO HIDROLÓGICO 2025-2026

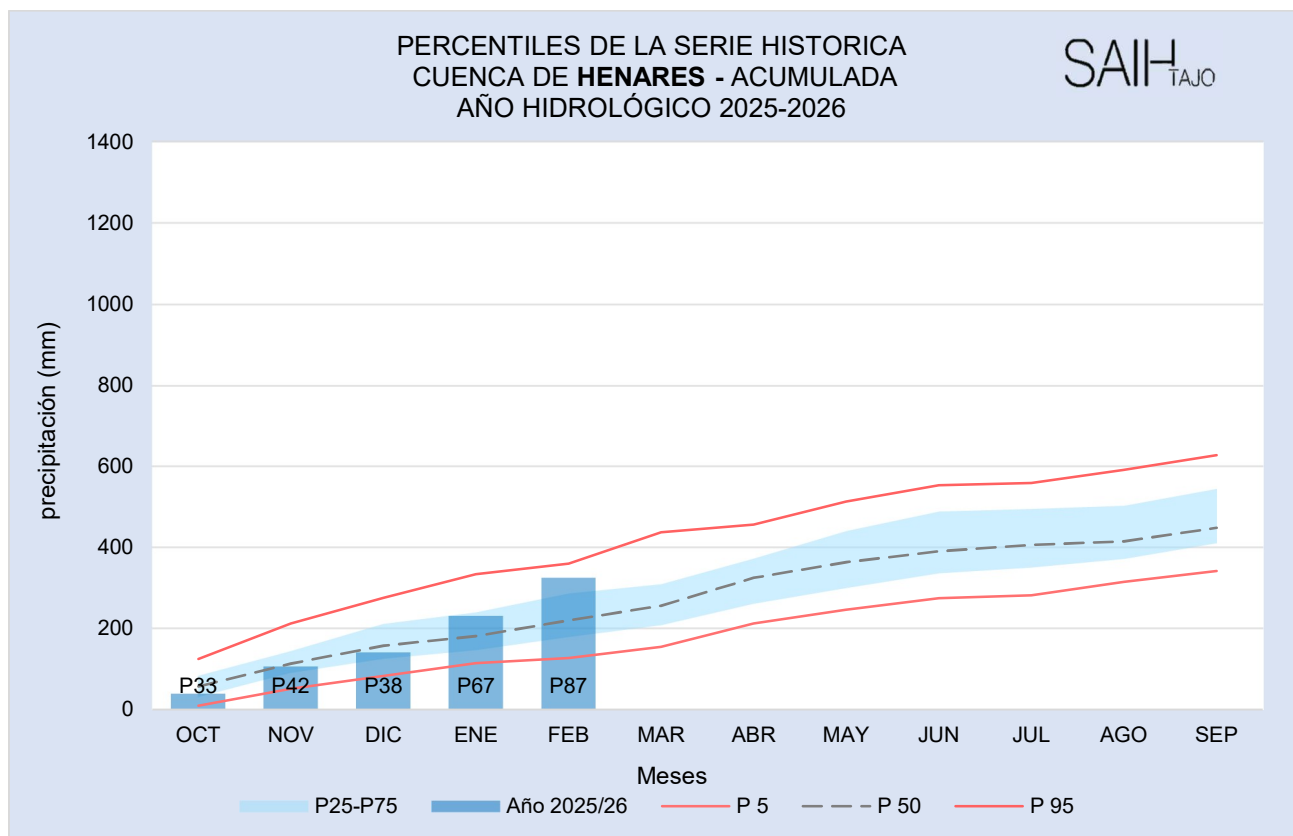
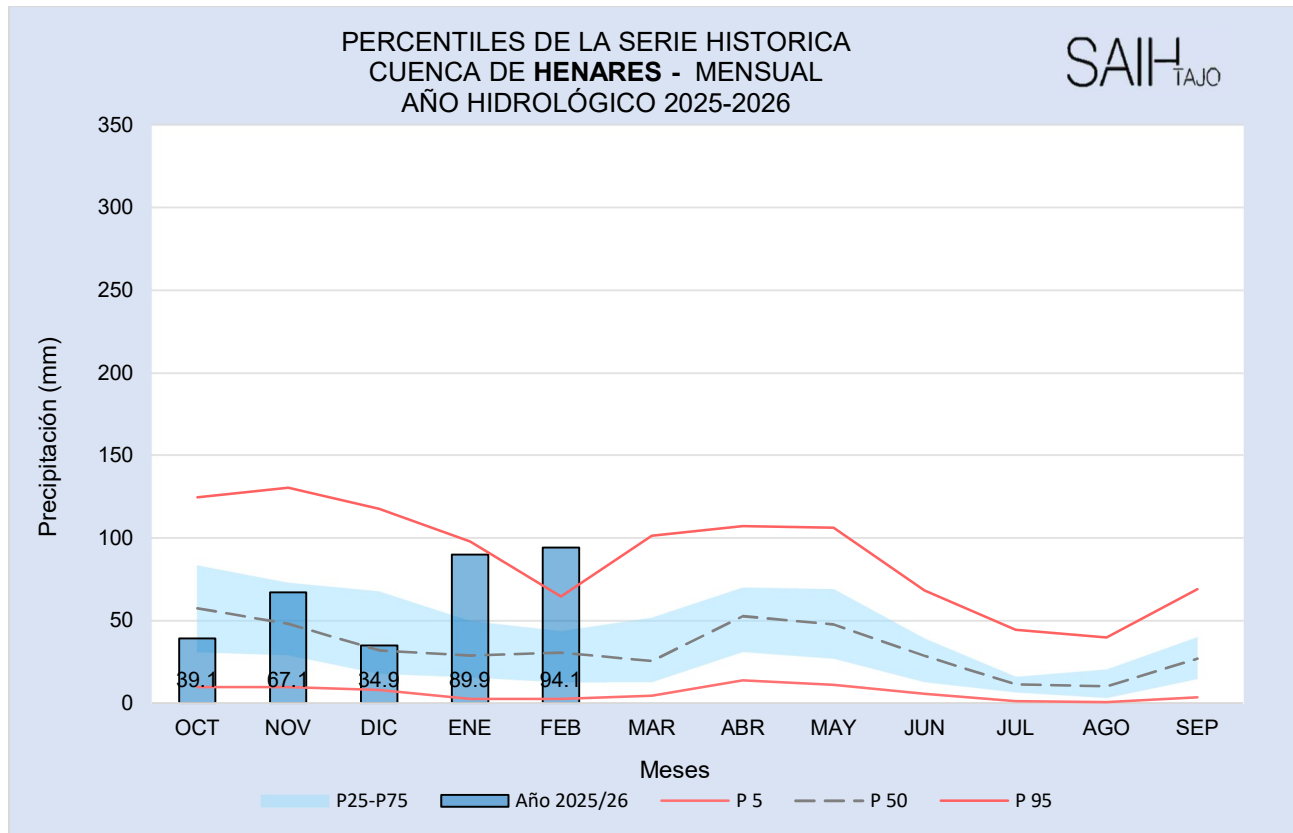
SAIH_TAJO



PERCENTILES DE LA SERIE HISTORICA
CUENCA DE **TAJUÑA** ACUMULADA
AÑO HIDROLÓGICO 2025-2026

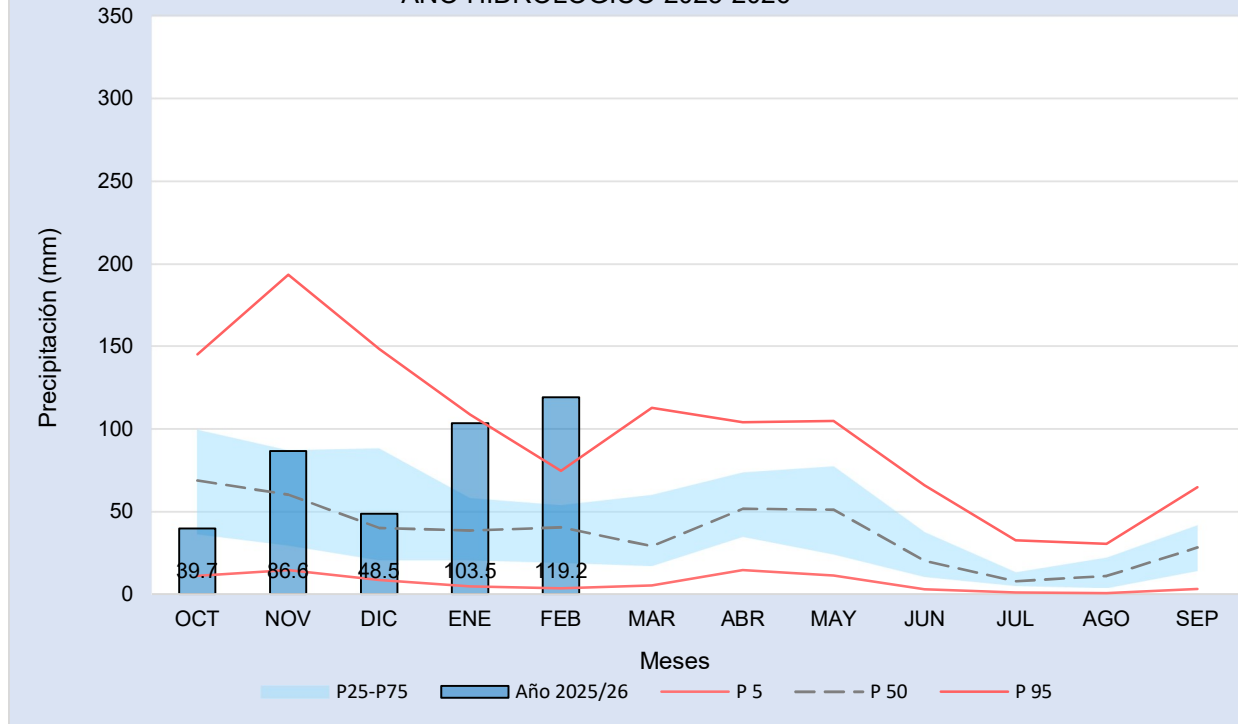
SAIH_TAJO





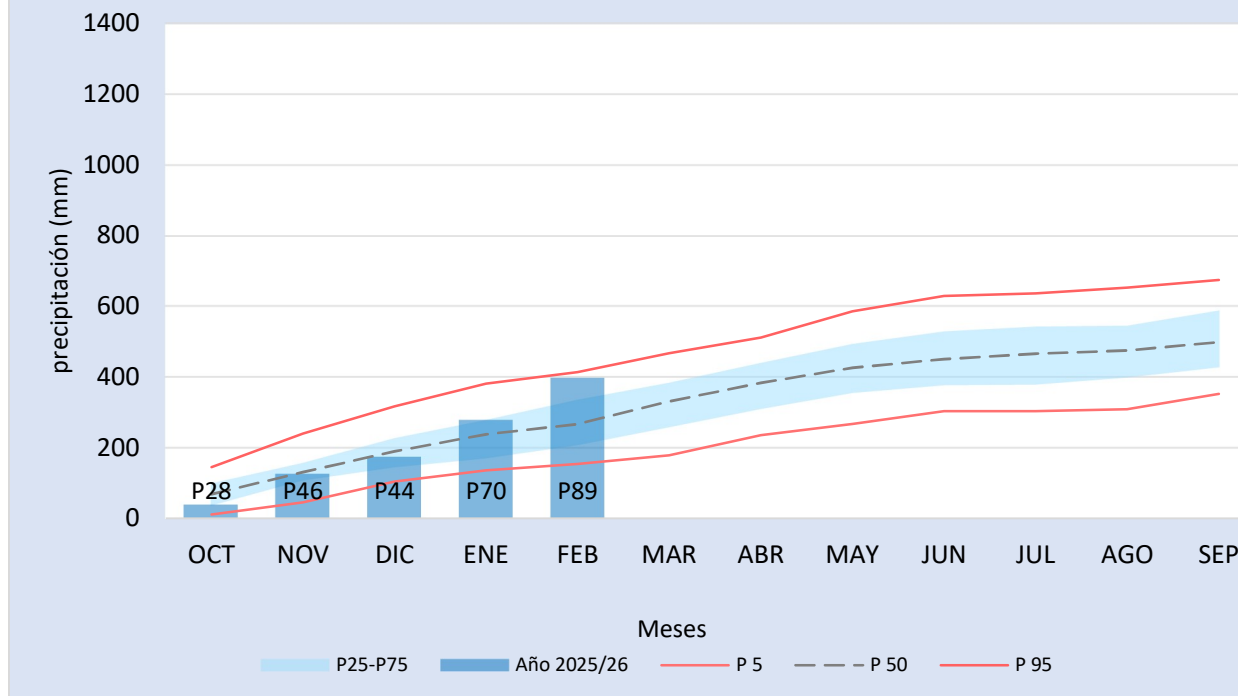
PERCENTILES DE LA SERIE HISTORICA
CUENCA DE **MADRID** - MENSUAL
AÑO HIDROLÓGICO 2025-2026

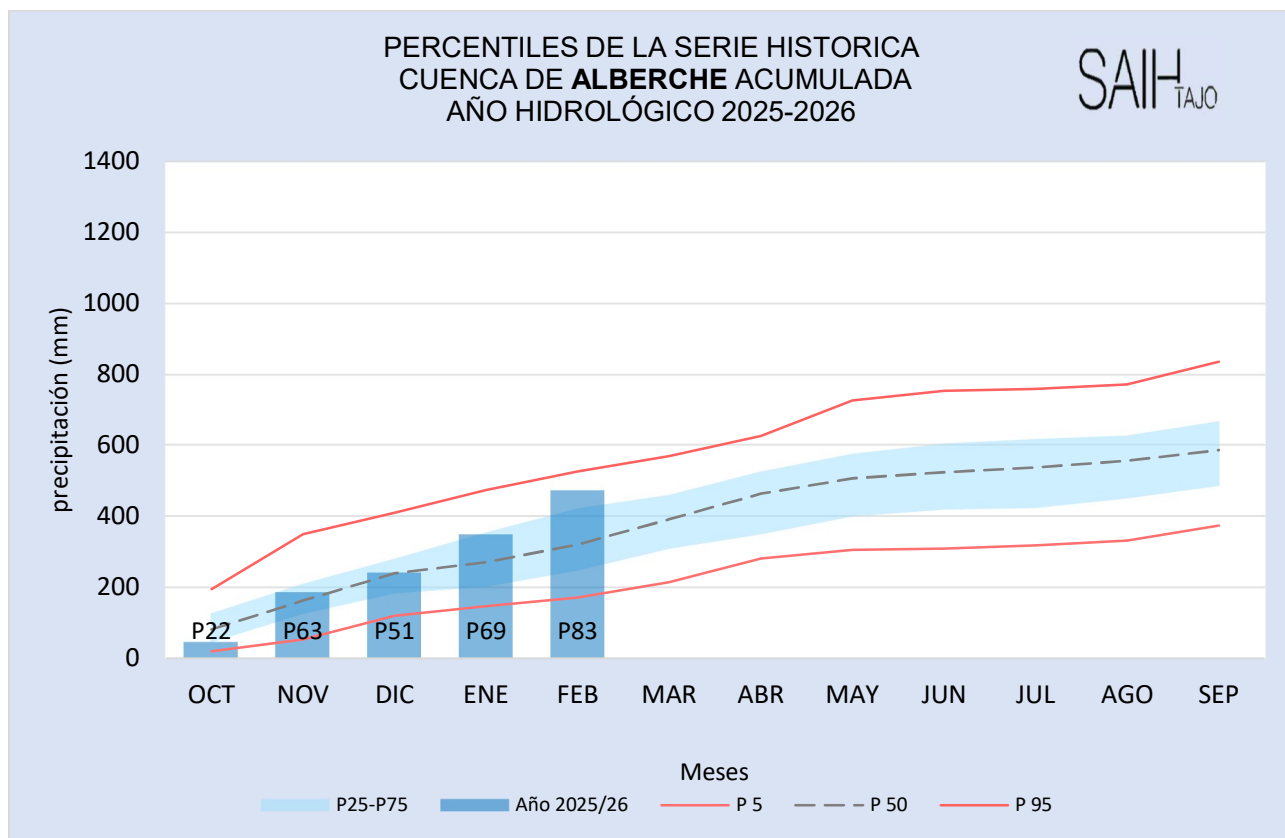
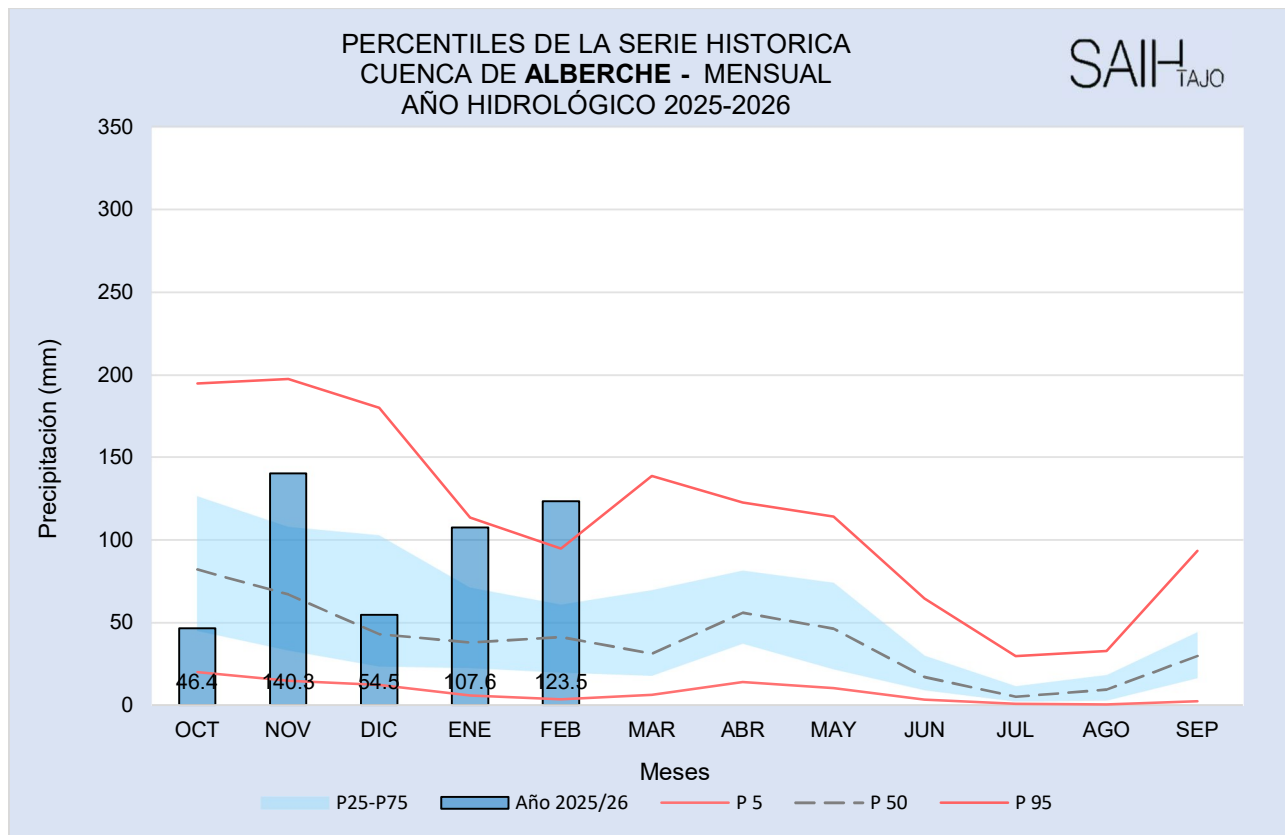
SAIH
TAJO

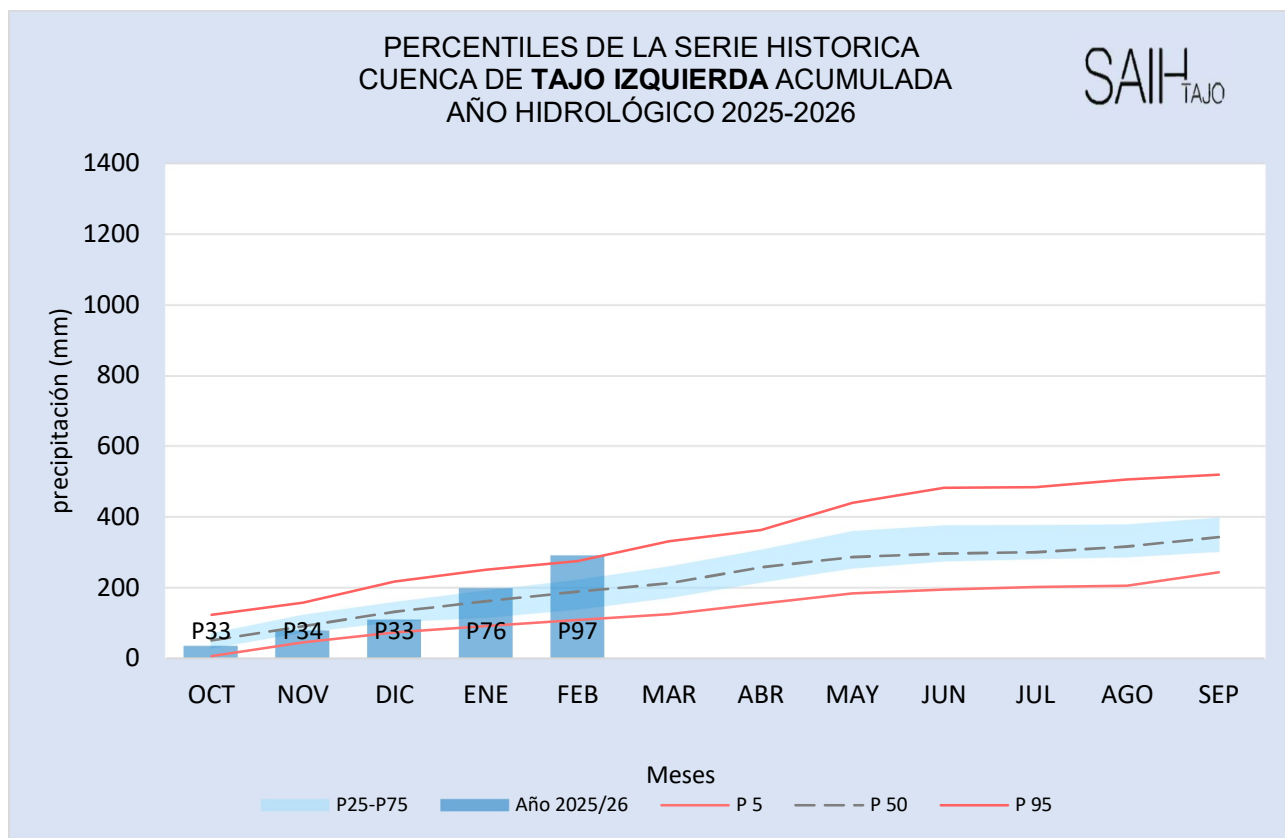
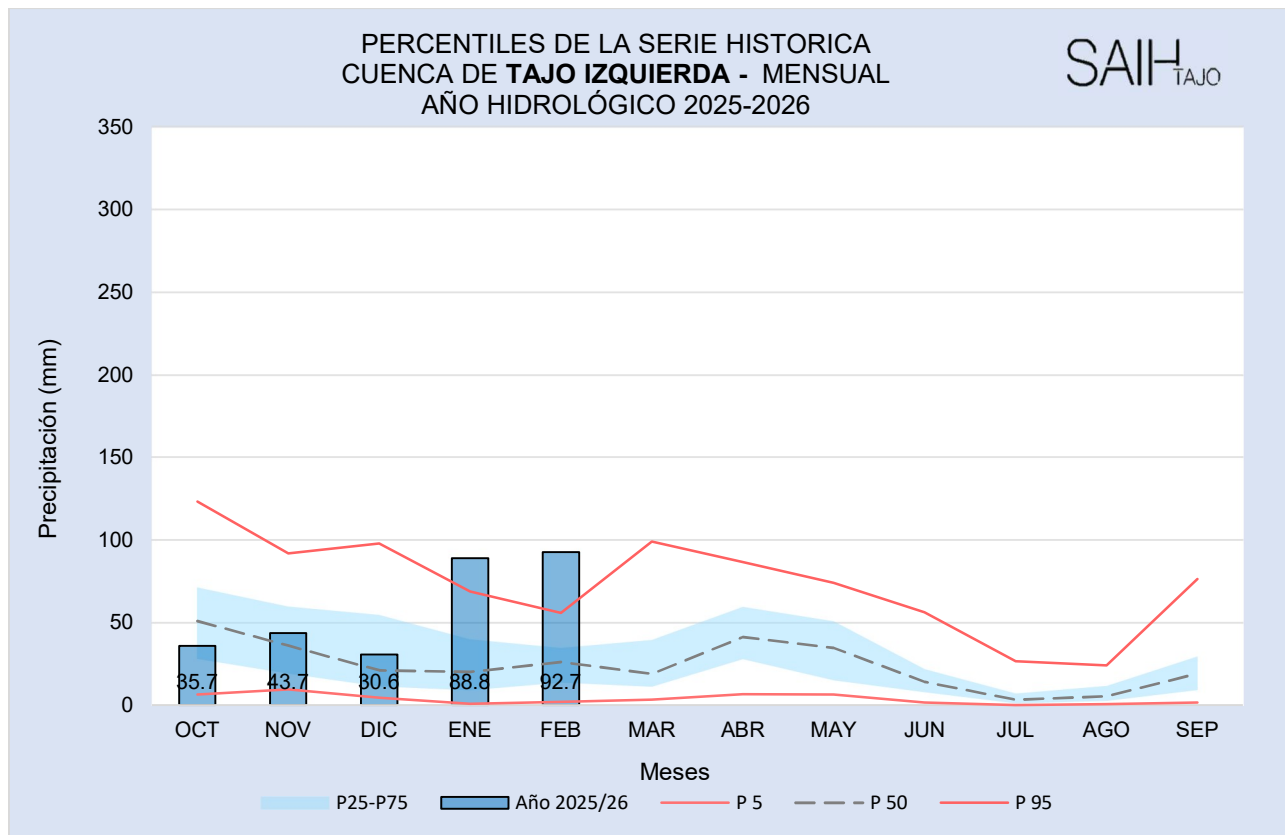


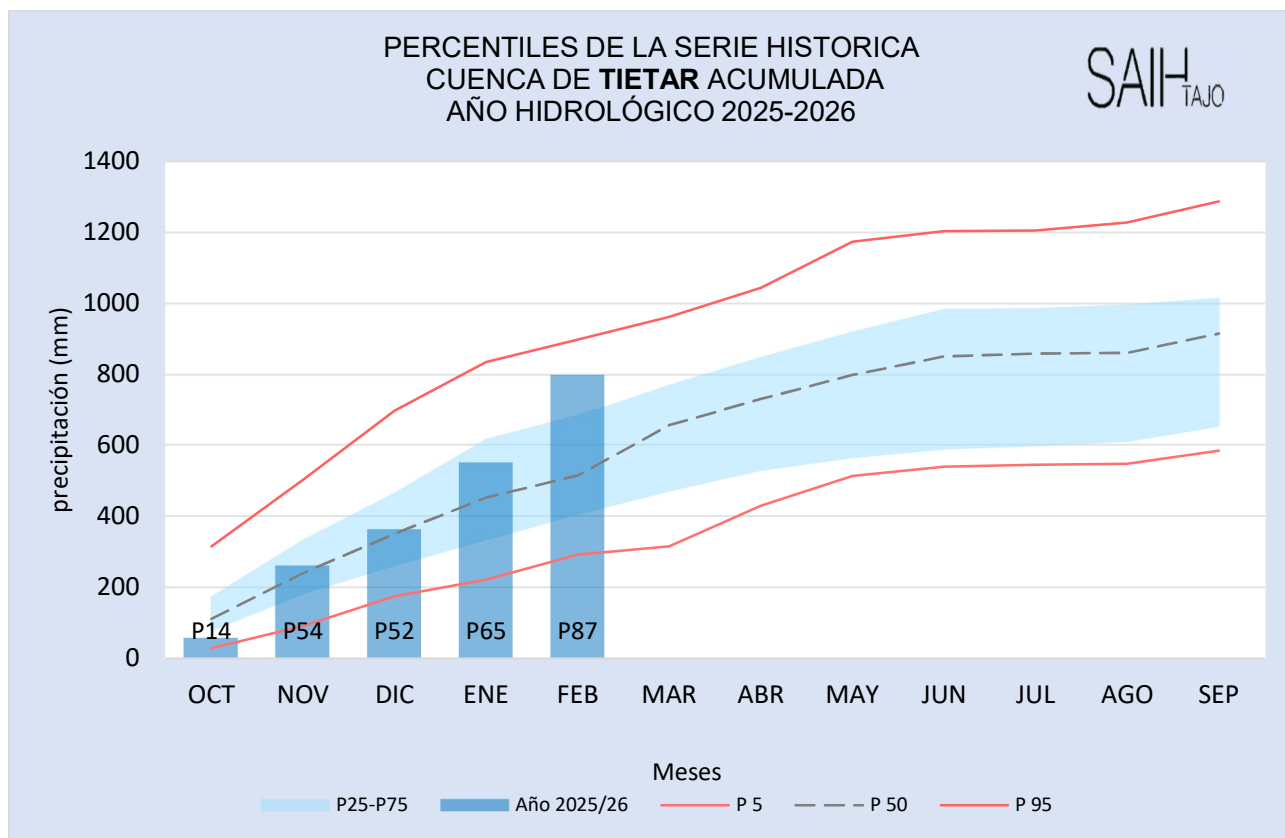
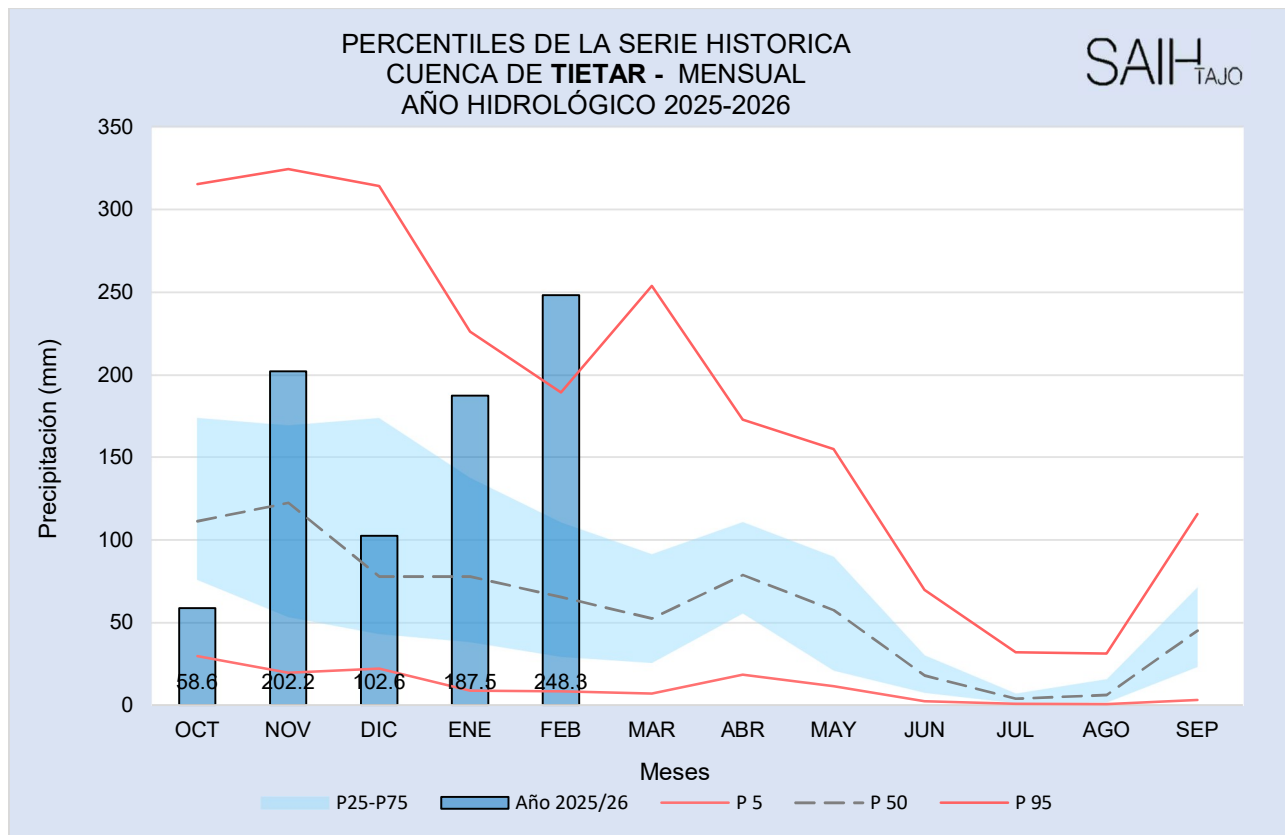
PERCENTILES DE LA SERIE HISTORICA
CUENCA DE **MADRID** ACUMULADA
AÑO HIDROLÓGICO 2025-2026

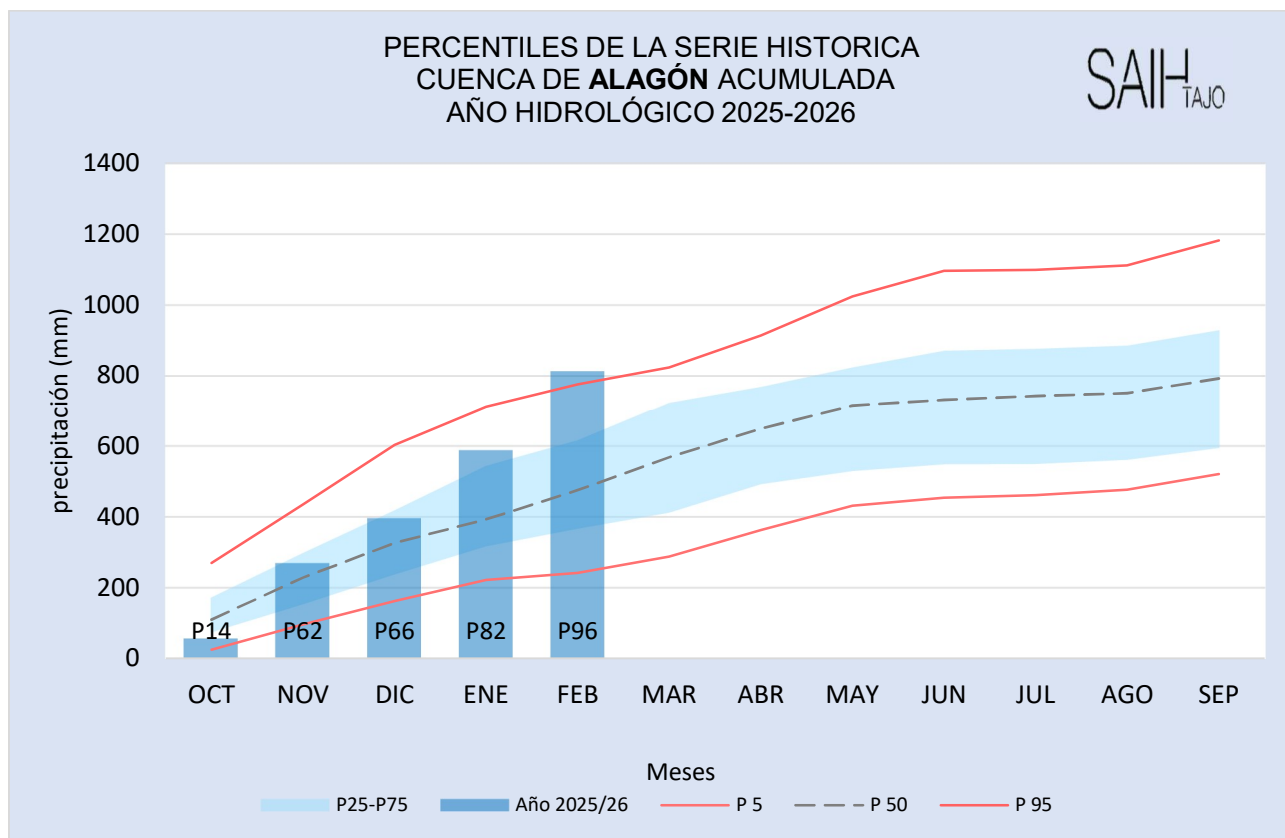
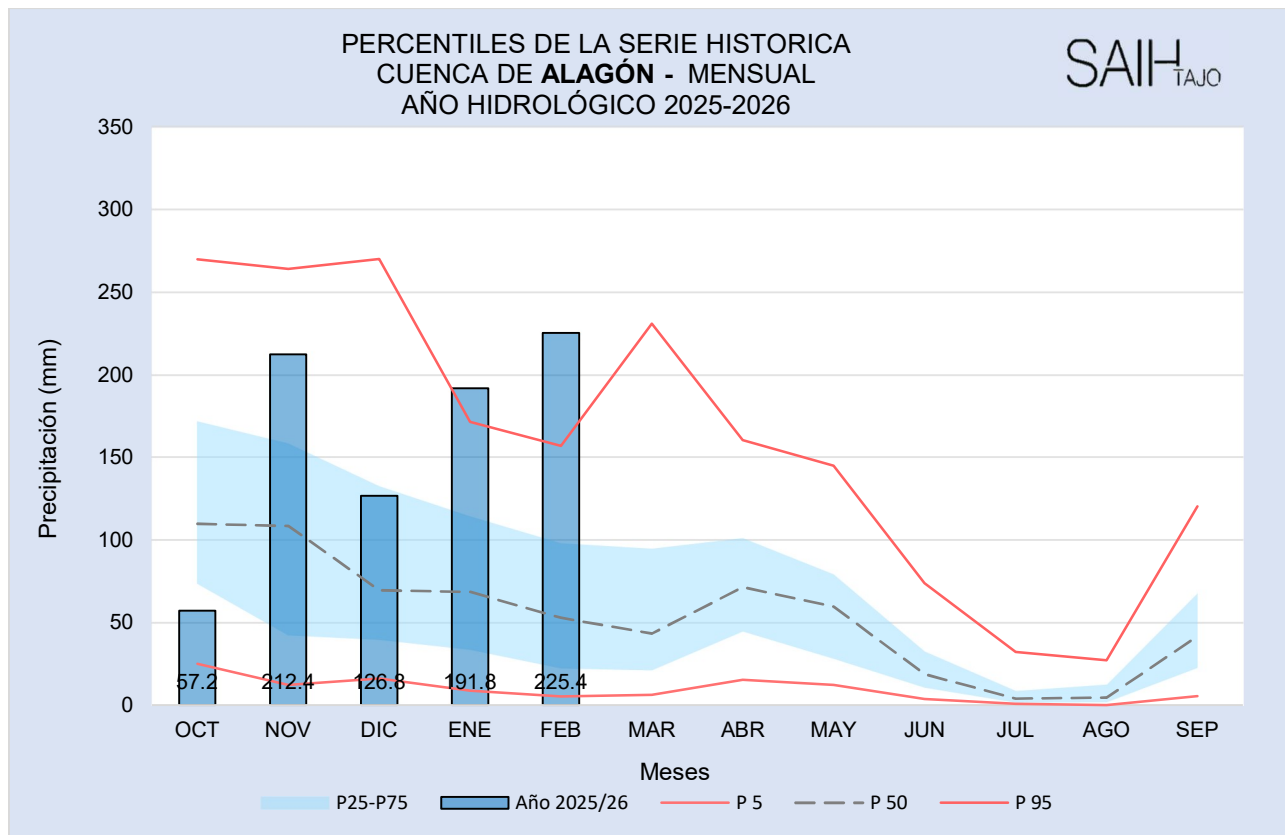
SAIH
TAJO

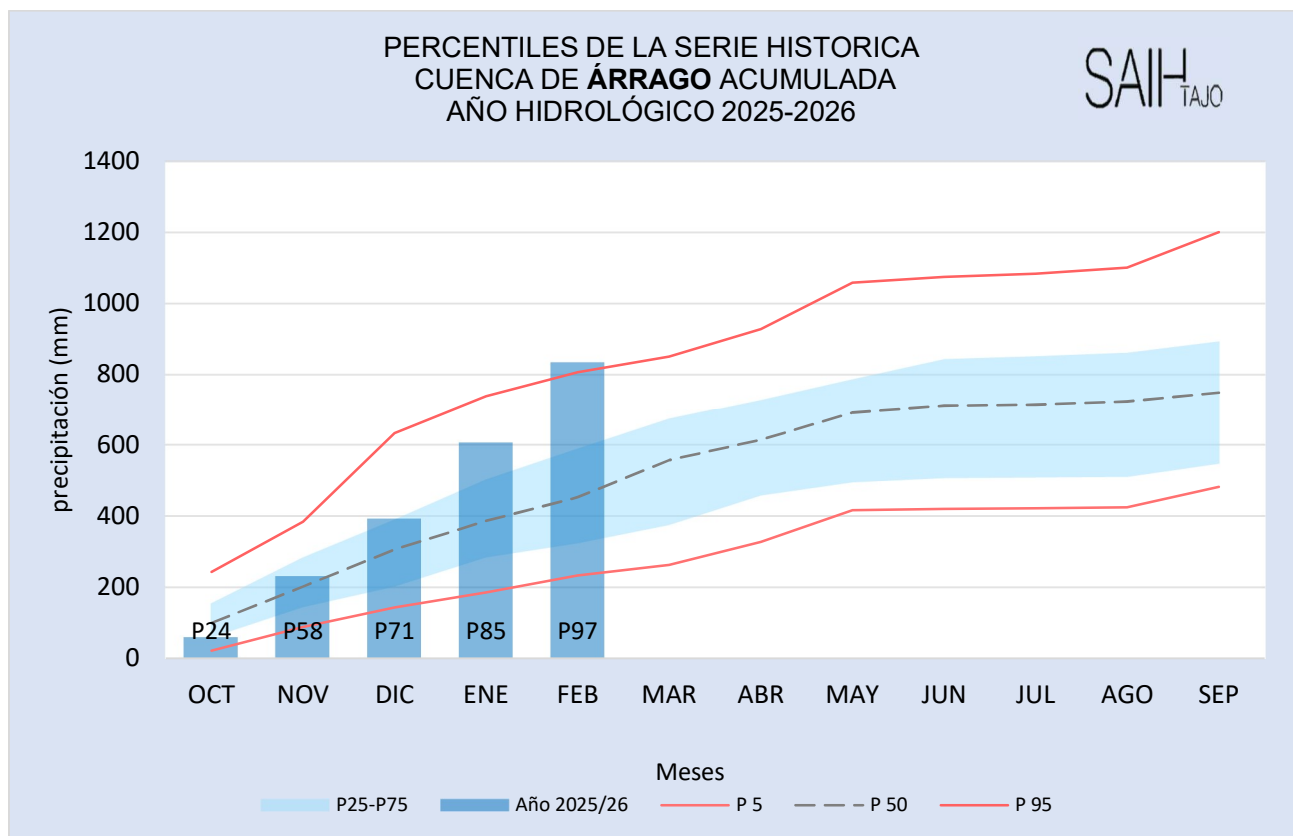
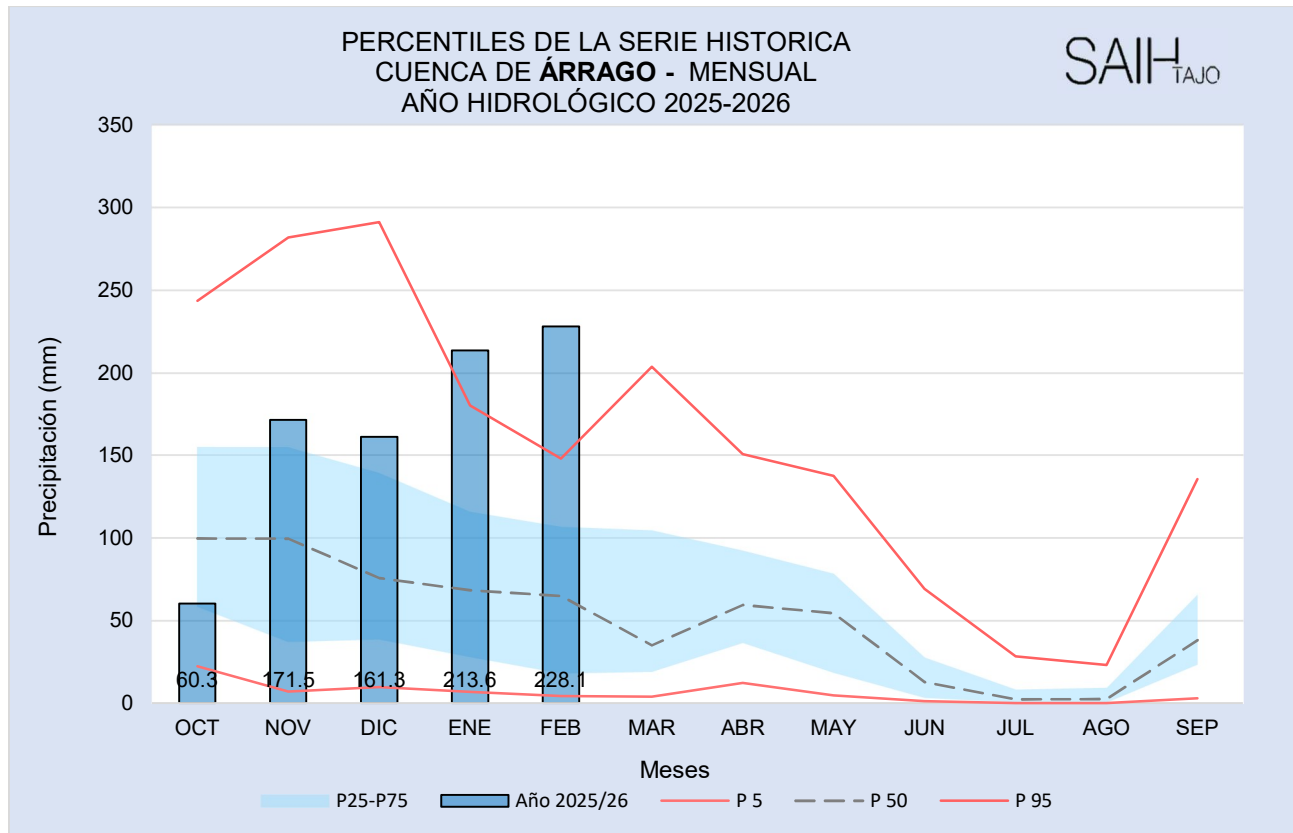






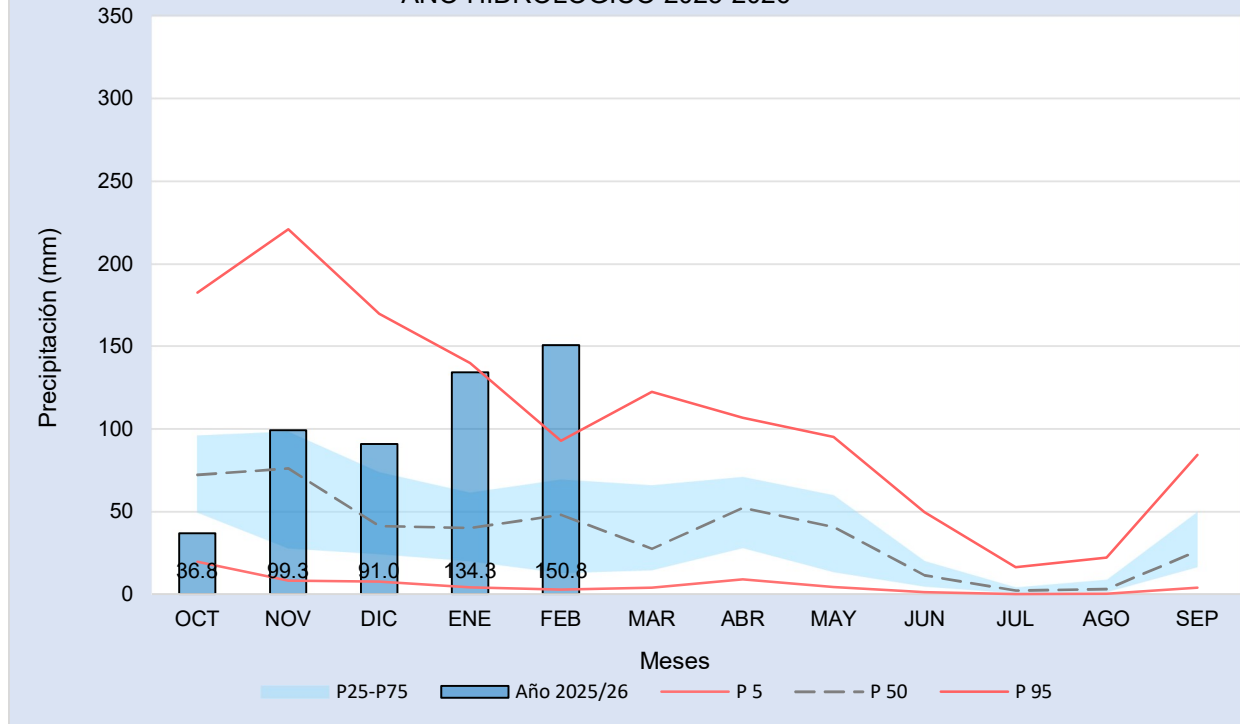






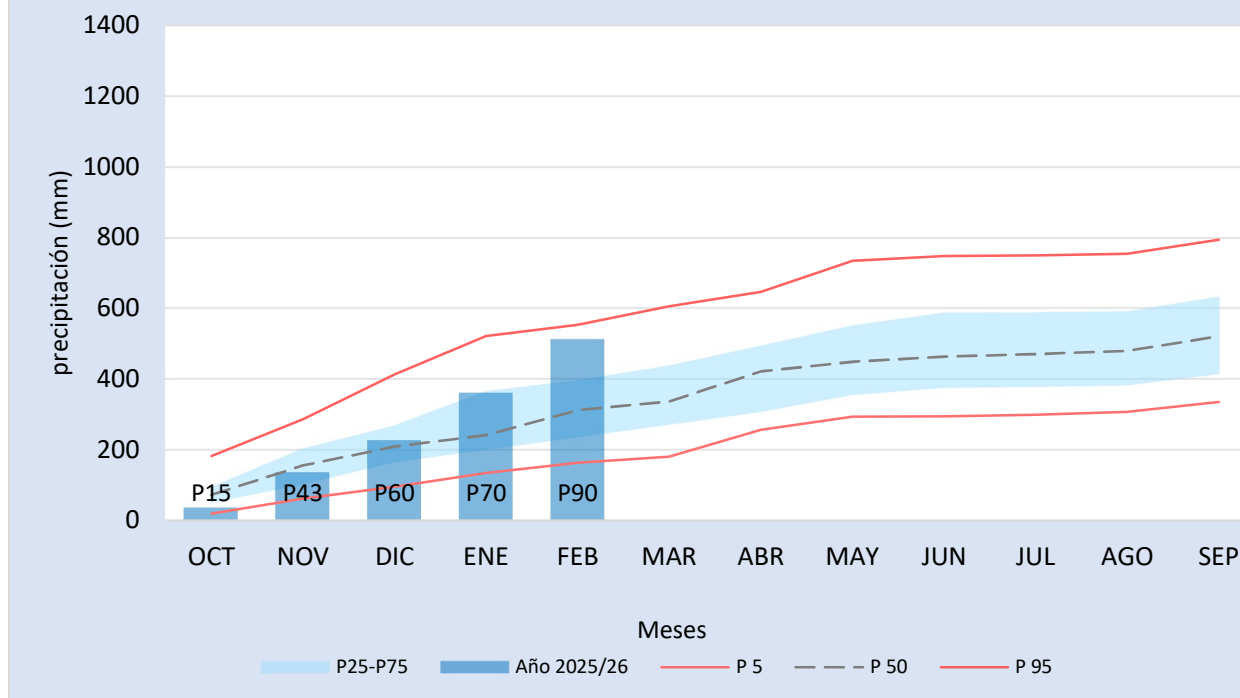
PERCENTILES DE LA SERIE HISTORICA
CUENCA DE **BAJO TAJO** - MENSUAL
AÑO HIDROLÓGICO 2025-2026

SAIH TAJO



PERCENTILES DE LA SERIE HISTORICA
CUENCA DE **BAJO TAJO** ACUMULADA
AÑO HIDROLÓGICO 2025-2026

SAIH TAJO

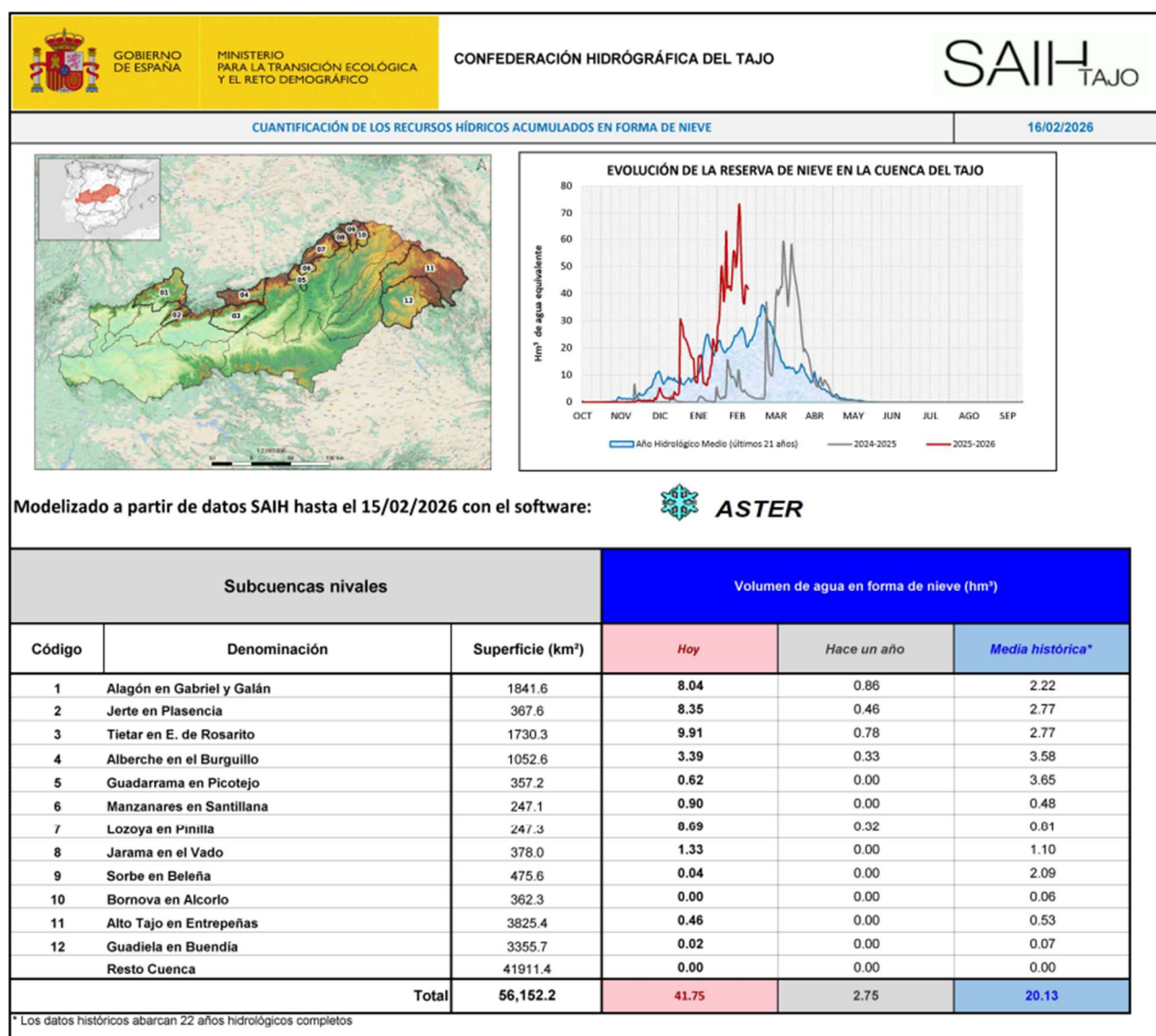


6. NIEVE

Además de la precipitación, la concatenación de borrascas a provocado importantes acumulaciones de nieve a lo largo del sistema central (subcuencas Árrago, Alagón, Jerte, Tiétar, Alberche, Guadarrama, Manzanares, Lozoya, Jarama, Sorbe, Bornova, Alto Tajo del Tajo y Guadiela).

6.1. SUBCUENCAS NIVALES

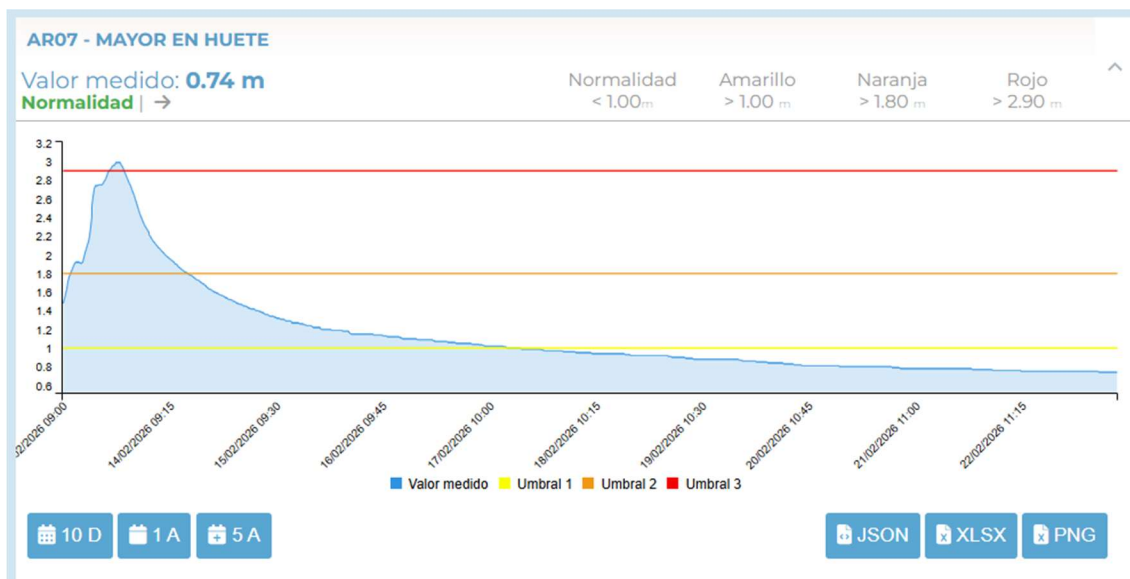
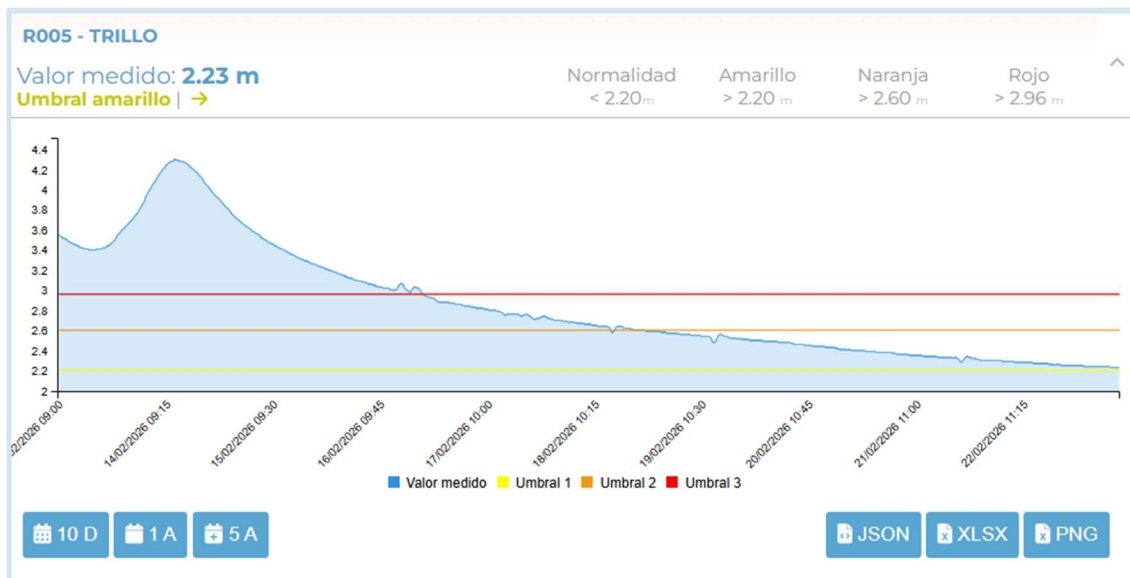
Se incluye, a continuación, el "informe de cuantificación de recursos hídricos acumulados en forma de nieve", generado con datos observados de la red SAIH hasta el día 15/02/2026 incluido.



Al inicio del evento la acumulación de nieve en las subcuencas nivales era de 38,78 hm³. Se concluye el episodio con una reserva de nieve en la cuenca del Tajo de 41,75 hm³, llegándose a registrar un máximo de 74,67 hm³ el 08/02/2026.

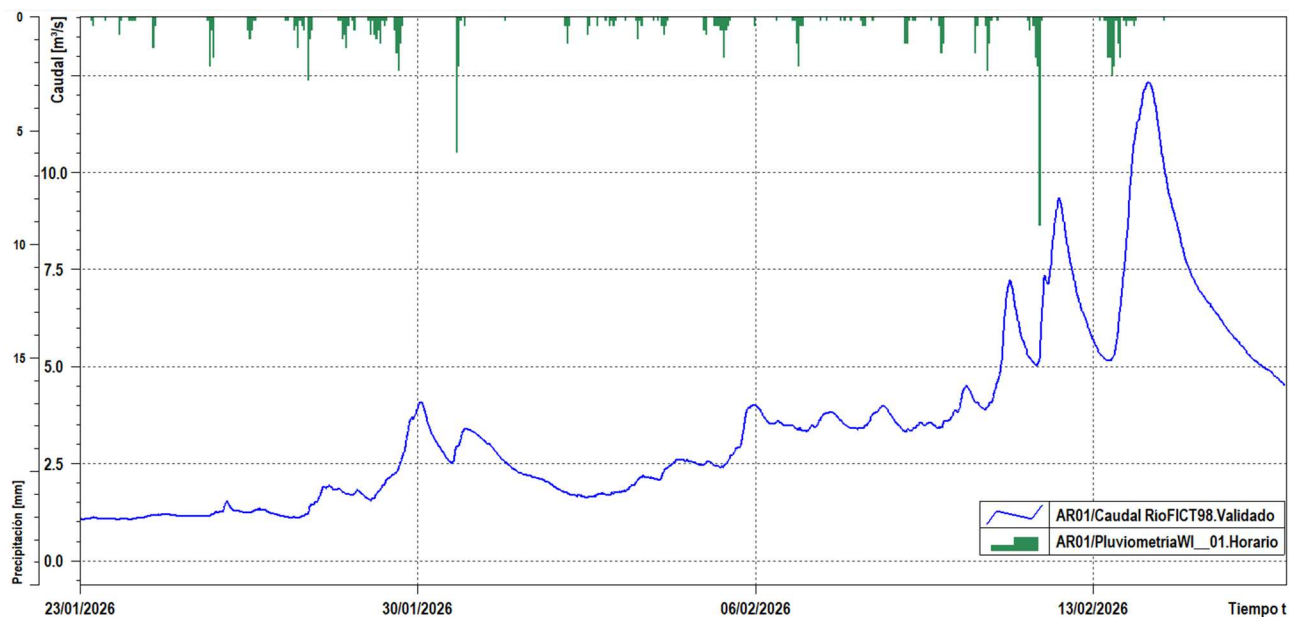
En el sistema Cabecera se analizan los niveles de las estaciones **AR01** – Gallo en Peñamediodía, **AR03** – Tajo en azud de C.N. Trillo, **R005** – Trillo, **R045** – Priego Escabas, **AR06** – Guadamejud en la Peraleja y **AR07** – Mayor en Huete.

A continuación, se presentan las gráficas de algunas de las estaciones del sistema que superaron los umbrales a lo largo del evento. Por ejemplo:

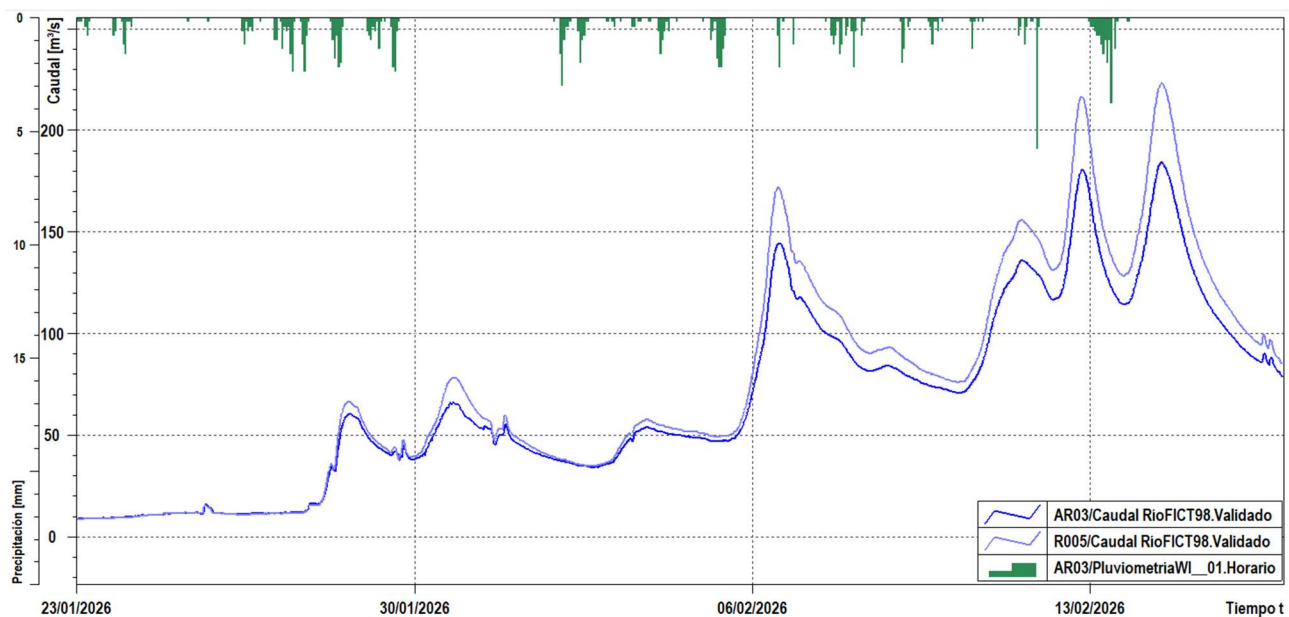


El siguiente paso será analizar el comportamiento de los cauces.

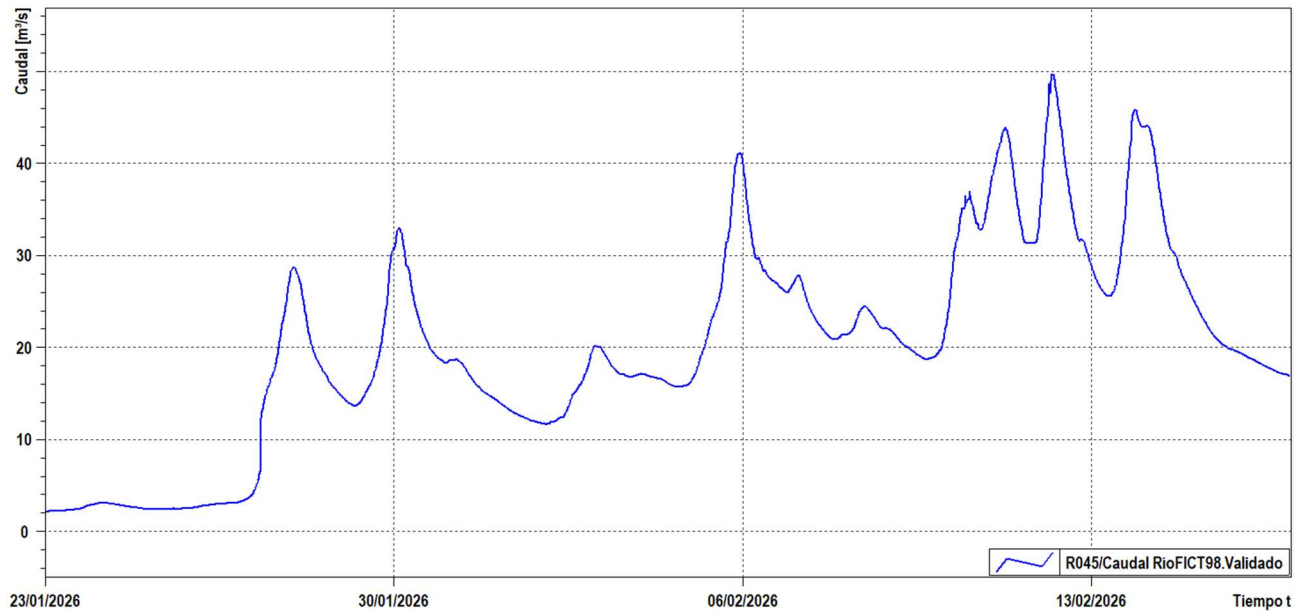
La estación **AR01** llegó a niveles superiores de aportación de 12 m³/s. Se aprecia una clara correlación entre las lluvias y los picos del caudal.



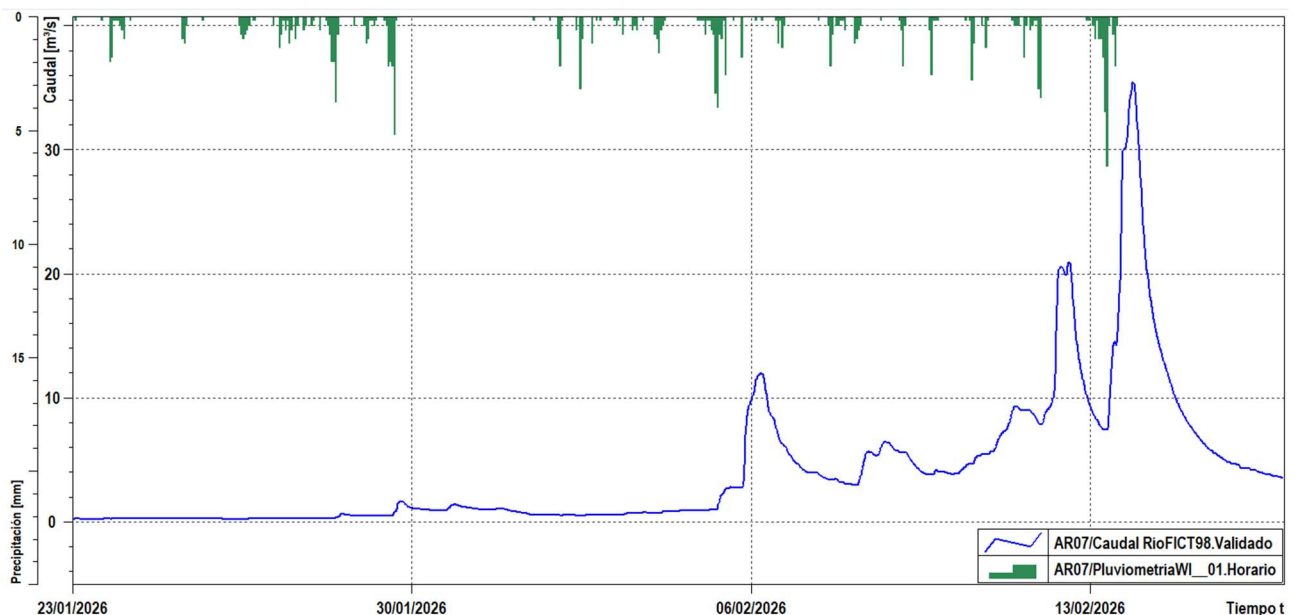
La estación **R005** y la **AR03** llegaron a niveles entorno a 200 m³/s, coherente con las entradas medidas en el embalse E_01 Entrepeñas. Se aprecia la correlación entre las lluvias y los picos del caudal.



En la estación de aforos **R045**, en el río Escabas afluente del río Guadiela, se ha llegado a valores cercanos a los 50 m³/s. Que supone el quinto valor más elevado desde el año 2000.



Para finalizar el sistema de Cabecera, se analizarán las aportaciones al embalse E_03 Buendía, del río Mayor, a partir del punto **AR07**. Se puede apreciar un pico de entorno a 35 m³/s, relacionado con las lluvias registradas. Se puede apreciar también el efecto de la saturación del suelo. Para precipitaciones similares, la primera semana del evento se genera poca escorrentía. Sin embargo, en las semanas siguientes, se ve que la respuesta del cauce es mayor, debido a las lluvias previas y a toda el agua ya infiltrada en el terreno.

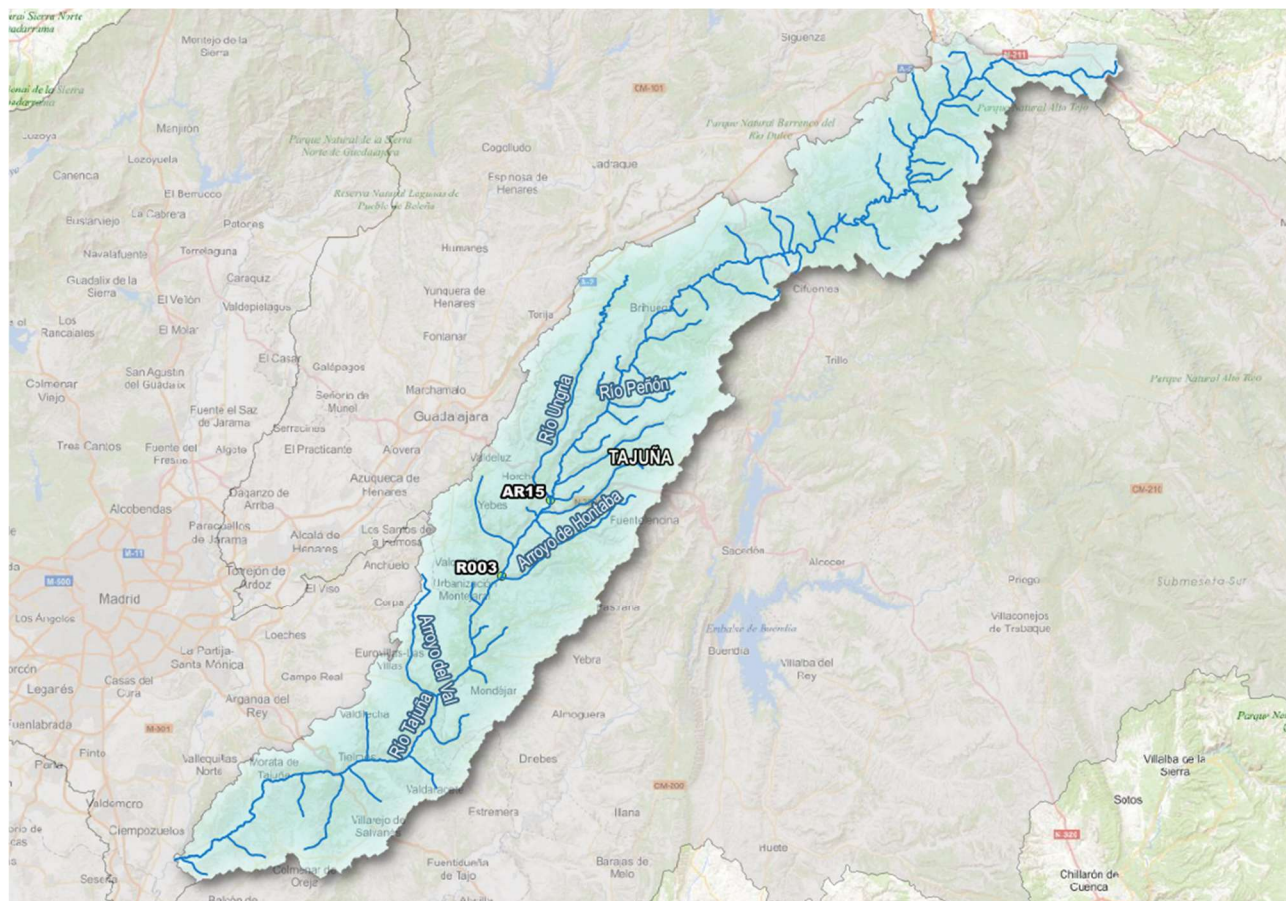


Finalmente, se presenta para las estaciones de aforo analizadas los caudales asociados a niveles de retorno de acuerdo con el CAUMAX, para entender la magnitud de los caudales circulados por los cauces:

ESTACIÓN	Q_{PICO EVENTO} [m³/s]	Q_{T=2} [m³/s]	Q_{T=5} [m³/s]	Q_{T=25} [m³/s]	Q_{T=100} [m³/s]
AR01	12	72			
AR03	180	164	270		
R005	200	163	269		
R045	50	47	76		
AR07	35	11	17	33	55

Se puede apreciar que el evento para el sistema ha estado en valores cercanos al periodo de retorno de 2 años. A la altura de Trillo, se ha estado en valores cercanos a 5 años. Así mismo, en la parte del sistema que está situada en Cuenca se ha llegado a valores de casi un periodo de retorno de 25 años.

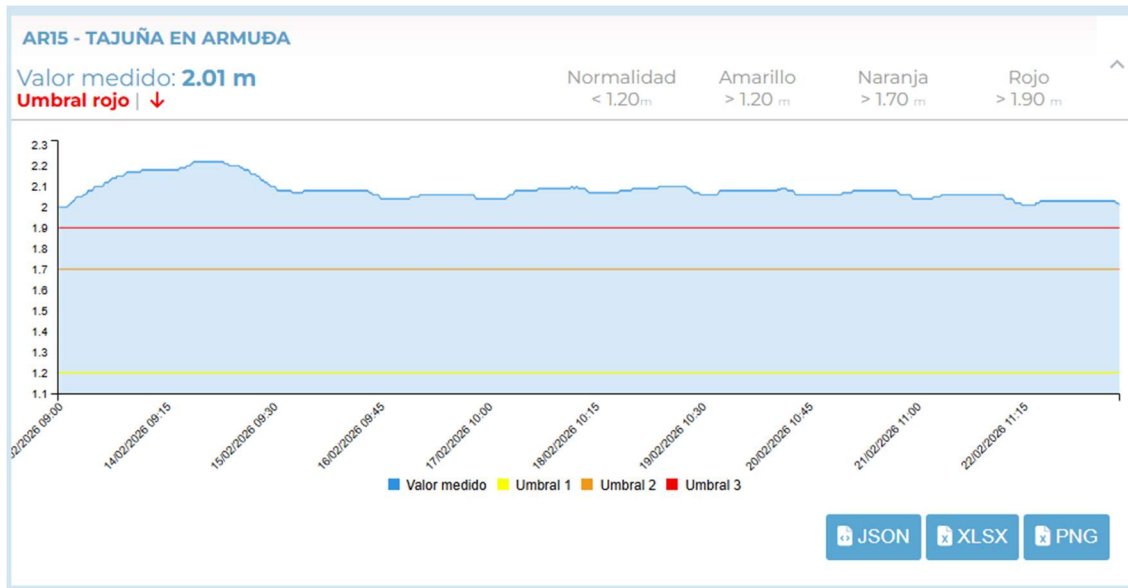
7.2. HIDROGRAMAS SISTEMA TAJUÑA



Situación de las estaciones SAIH en la cuenca del Tajuña.

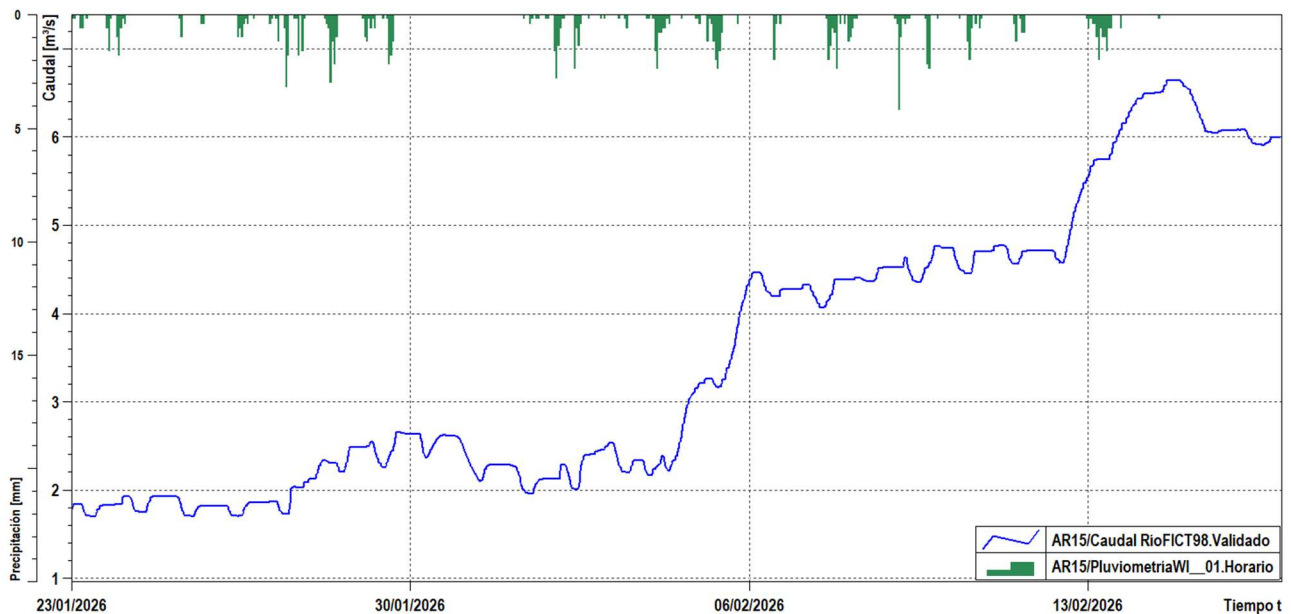
En el sistema Tajuña se analizan caudales de las estaciones **AR15** – Tajuña en Armuña – **R003** – Loranca.

A continuación, se muestra la gráfica de la estación AR15, que ha superado el umbral rojo a lo largo del evento:

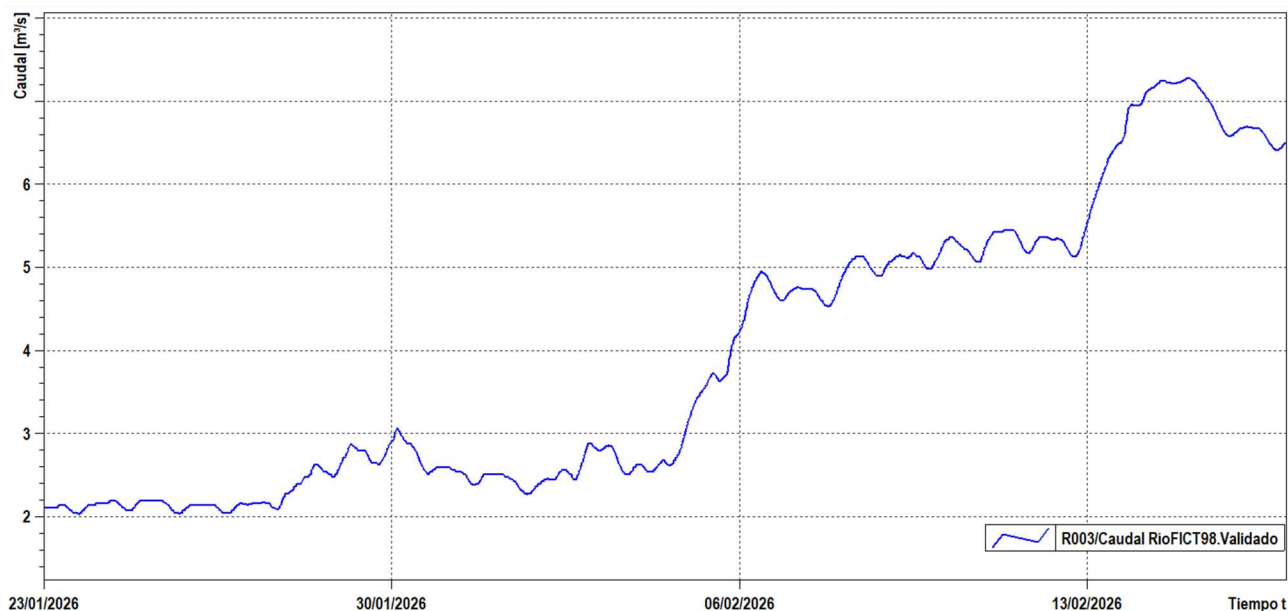


El siguiente paso será analizar el comportamiento de los cauces.

La estación **AR15** llegó a caudales superiores a 6,5 m³/s. Se aprecia una correlación entre las lluvias y los picos del caudal y el incremento de escorrentía debido a la saturación del terreno.



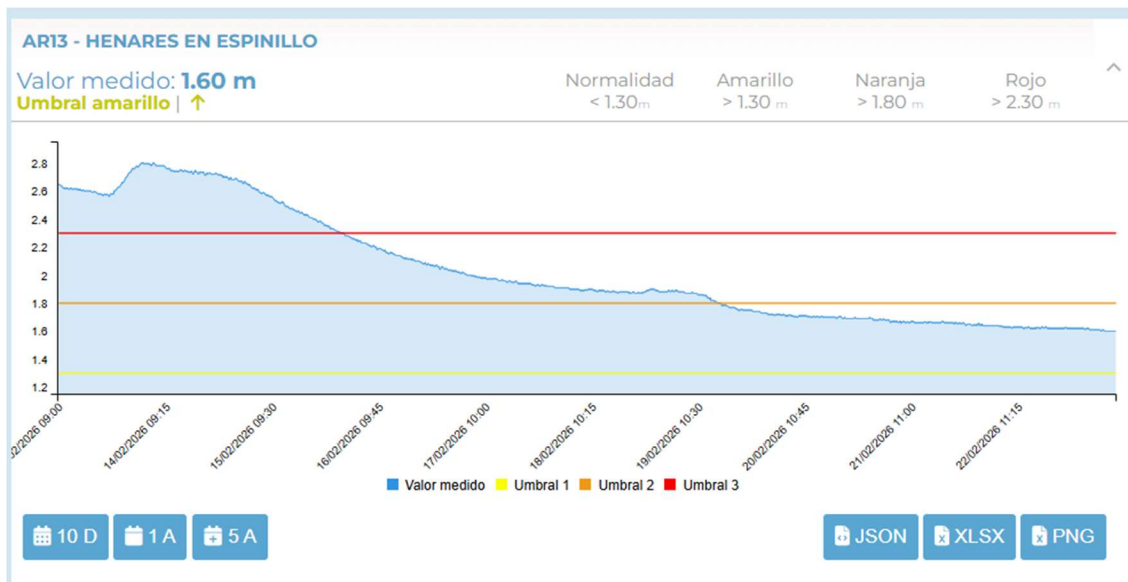
La siguiente estación a analizar es la R003. El comportamiento de esta estación es muy similar a la AR15, que se encuentra aguas arriba, con valores ligeramente superiores, debido a las aportaciones naturales de la superficie entre estaciones.



Finalmente, se indica, para las estaciones de aforo analizadas, los caudales asociados a niveles de retorno de acuerdo con el CAUMAX, para entender la magnitud de los caudales circulados por los cauces:

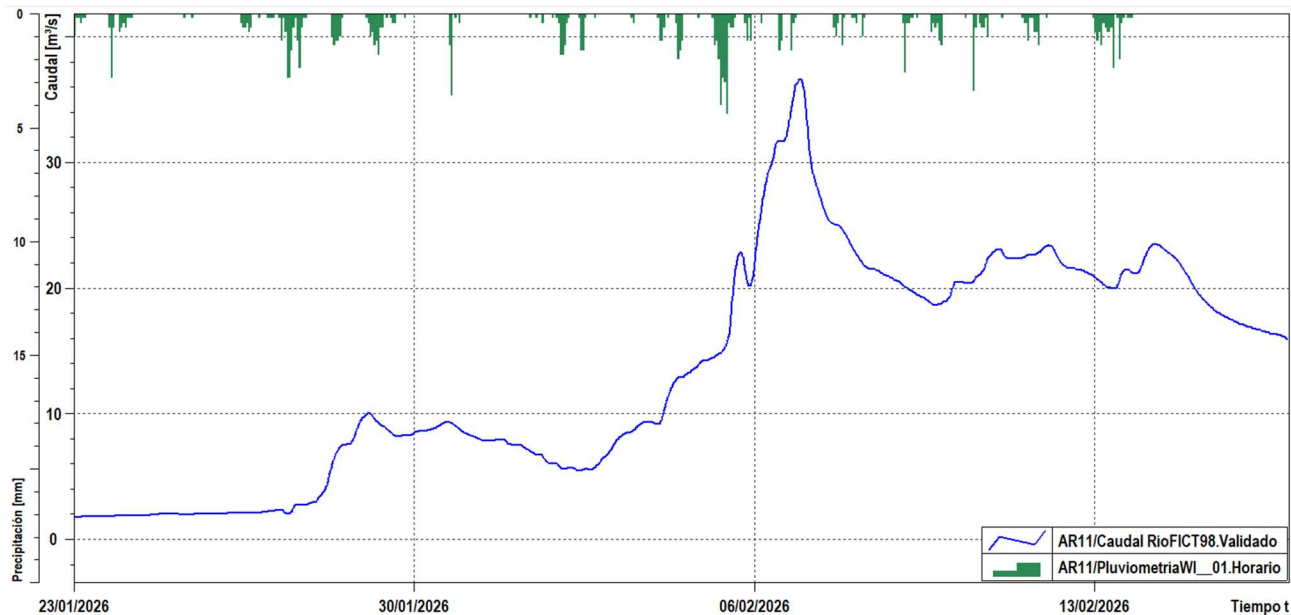
ESTACIÓN	Q _{PICO EVENTO} [m ³ /s]	Q _{T=2} [m ³ /s]	Q _{T=5} [m ³ /s]	Q _{T=25} [m ³ /s]
AR15	6,5	25		
R003	7,5	30		

En este sistema no ha habido precipitaciones ni caudales fuera de lo habitual.

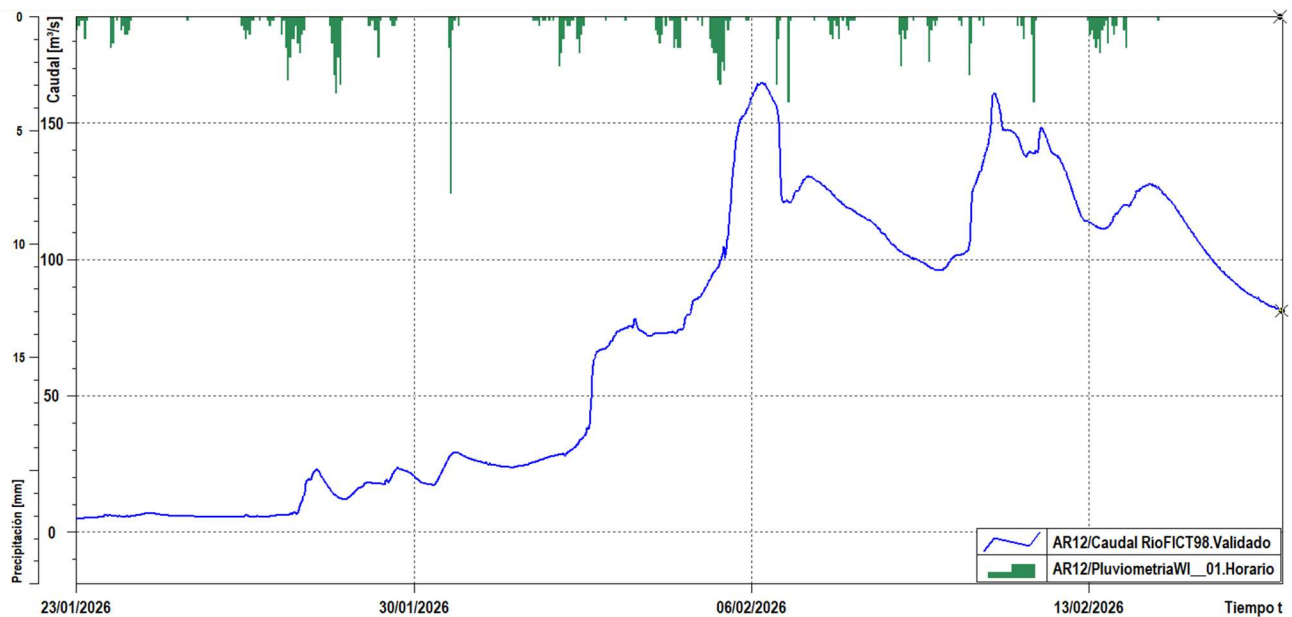


El siguiente paso será analizar el comportamiento de los cauces.

La estación **AR11** llegó a caudales superiores a 35 m³/s. Esta estación recoge las aguas de cabecera del río Henares en régimen natural, las del río Dulce también en régimen natural y las del río Salado, reguladas por la presa El Atance (**E_48**), la cual se mantuvo con salidas constantes no superiores a 5 m³/s, siendo éstas ya en la última semana del evento.



La estación **AR12** recibe los caudales de salida de Alcorlo (**E_09**) y Beleña (**E_11**), conjuntamente con los provenientes de la **AR11**.



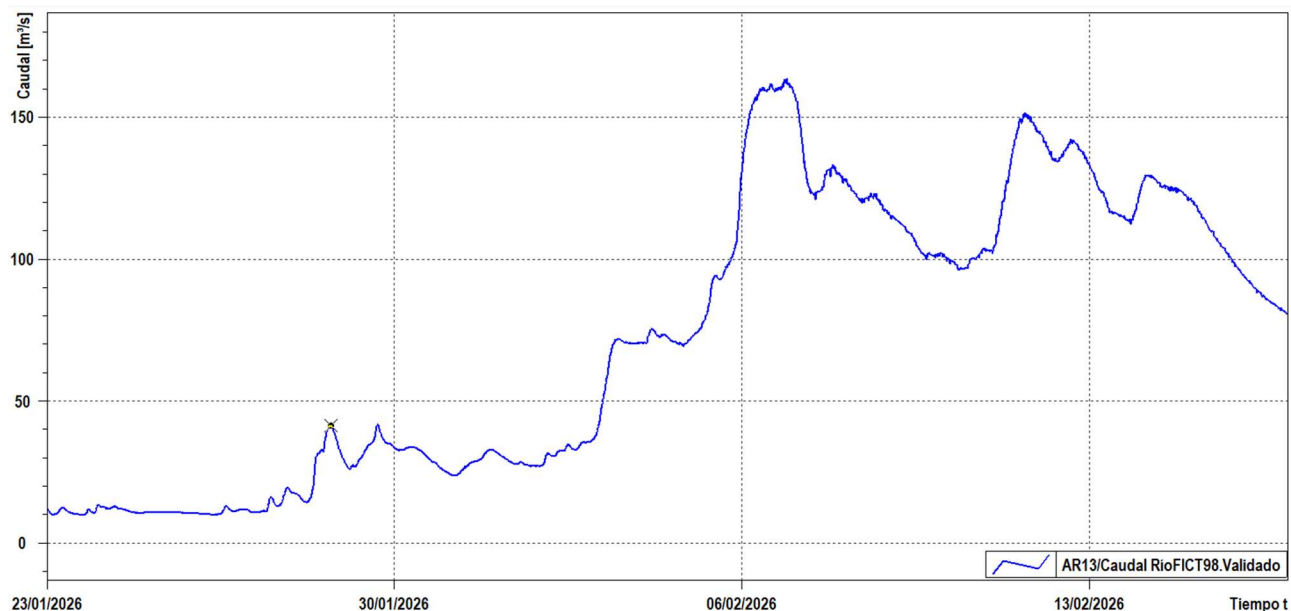
Los picos alcanzados durante el evento se tienen el día 6 y 11 de febrero con valores entorno a 165 y 160 m³/s respectivamente.

Durante el día 6, el embalse de Beleña desembalsó valores cercanos a los 70 m³/s y el embalse de Alcorlo valores cercanos a 18,5 m³/s, que junto al caudal que aportaba el río Henares, y a las lluvias continuadas, explica estos valores en el río.

Durante el día 11, desde Beleña se desembalsaba a un ritmo de aproximadamente 90 m³/s y desde Alcorlo con valores de unos 17 m³/s. Durante este día las lluvias no fueron persistentes, la explicación de niveles altos en el río son debidos a la combinación de la lluvia ya al deshielo en las cabeceras de los ríos Bornova y sobretodo el Sorbe.

La última estación a analizar en este sistema es la **AR13**

Se pueden apreciar que los picos obtenidos en las estaciones anteriores son coherentes con el escurrimiento de la cuenca, llegando a valores máximos en la incorporación del Henares al Jarama superiores a los 160 m³/s.



Finalmente, se indica para las estaciones de aforo analizadas los caudales asociados a niveles de retorno de acuerdo con el CAUMAX, para entender la magnitud de los caudales circulados por los cauces:

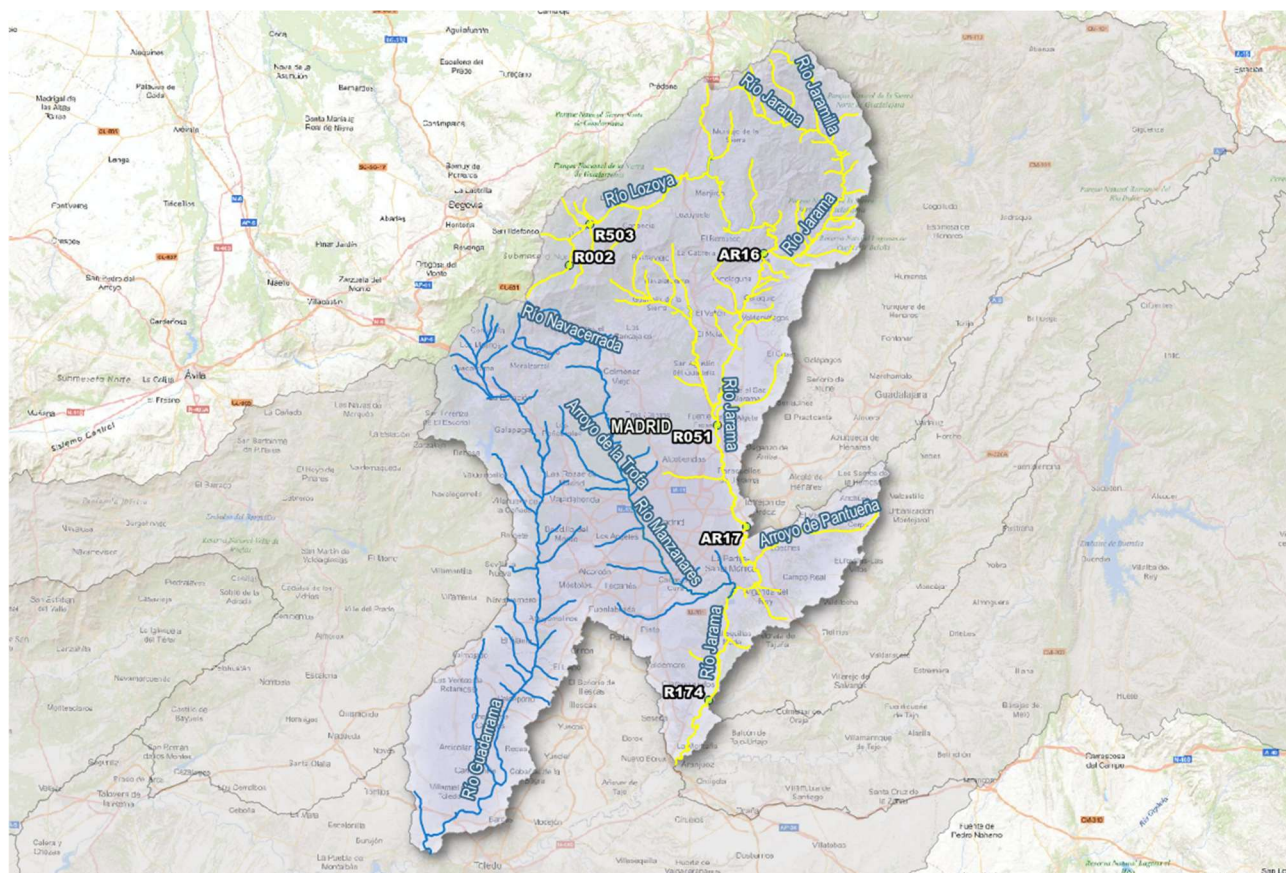
ESTACIÓN	Q _{PICO EVENTO} [m ³ /s]	Q _{T=2} [m ³ /s]	Q _{T=5} [m ³ /s]	Q _{T=25} [m ³ /s]
AR11	35	30	59	
AR12	165	149	259	
AR13	160	167		

En este sistema se han observado unos caudales que superaban el periodo de retorno de 2 años, en los puntos analizados.

7.4. HIDROGRAMAS SISTEMA MADRID –JARAMA, MANZANARES Y GUADARRAMA

7.4.1. HIDROGRAMAS JARAMA

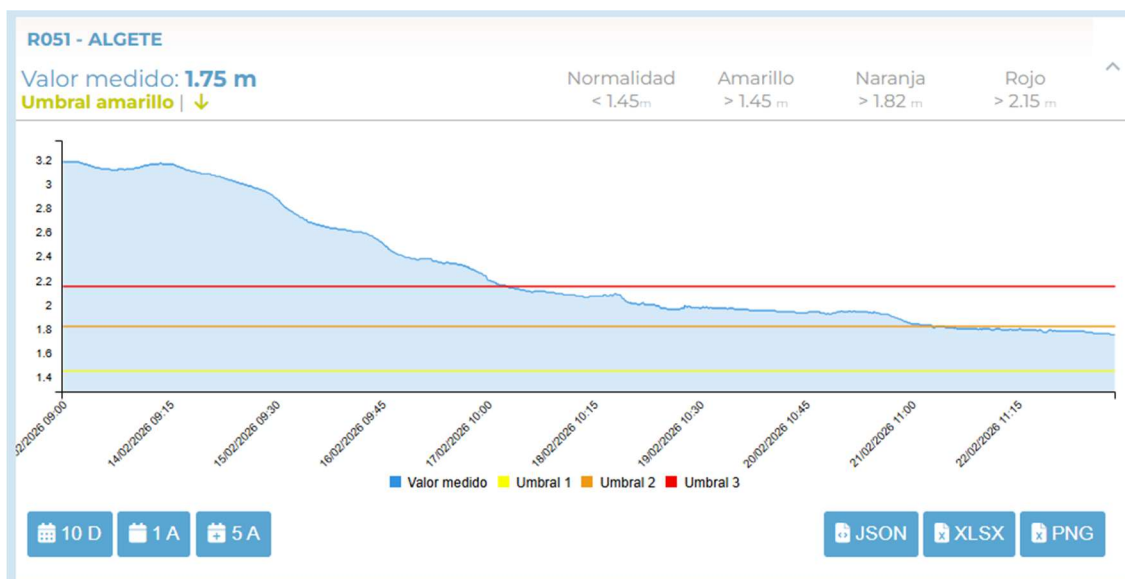
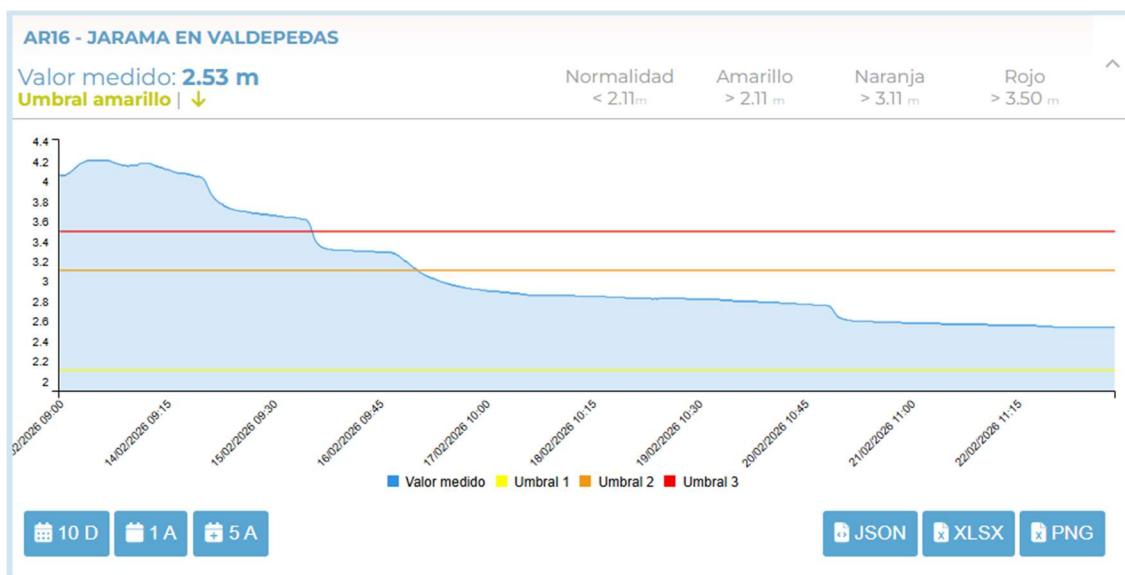
El subsistema Jarama, está forma por la zona de cabecera del río Jarama, la subcuenca del río Lozoya y la subcuenca del río Guadalix.

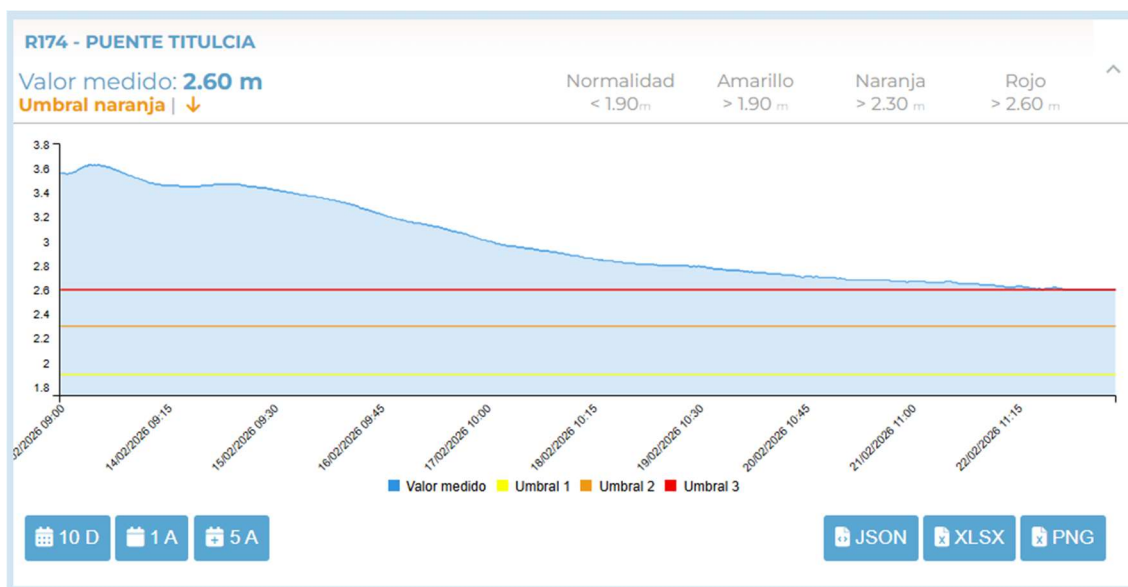
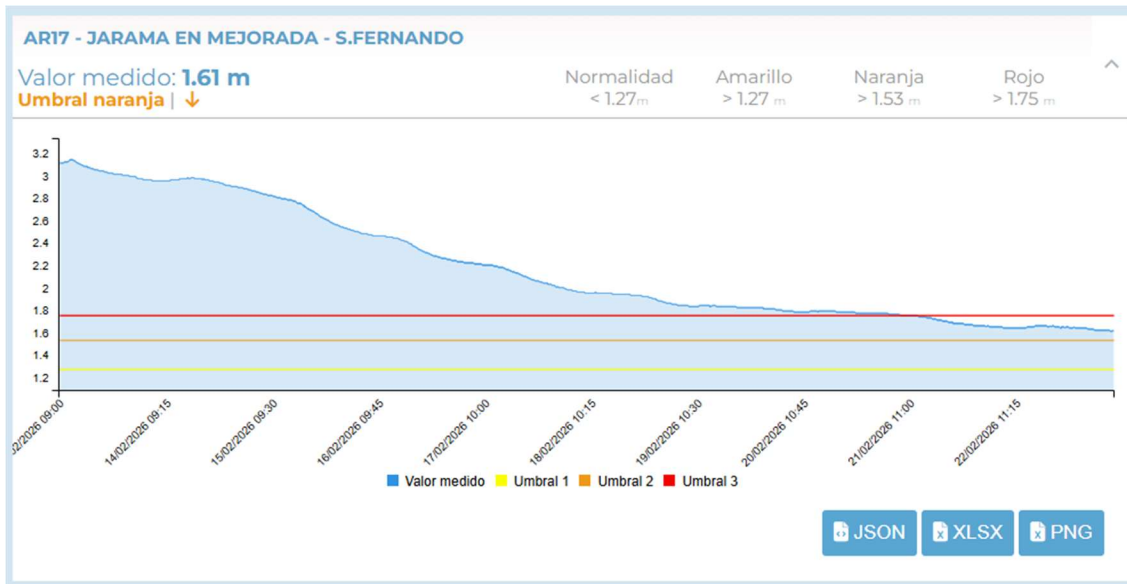


Situación de las estaciones SAIH en la cuenca del Jarama.

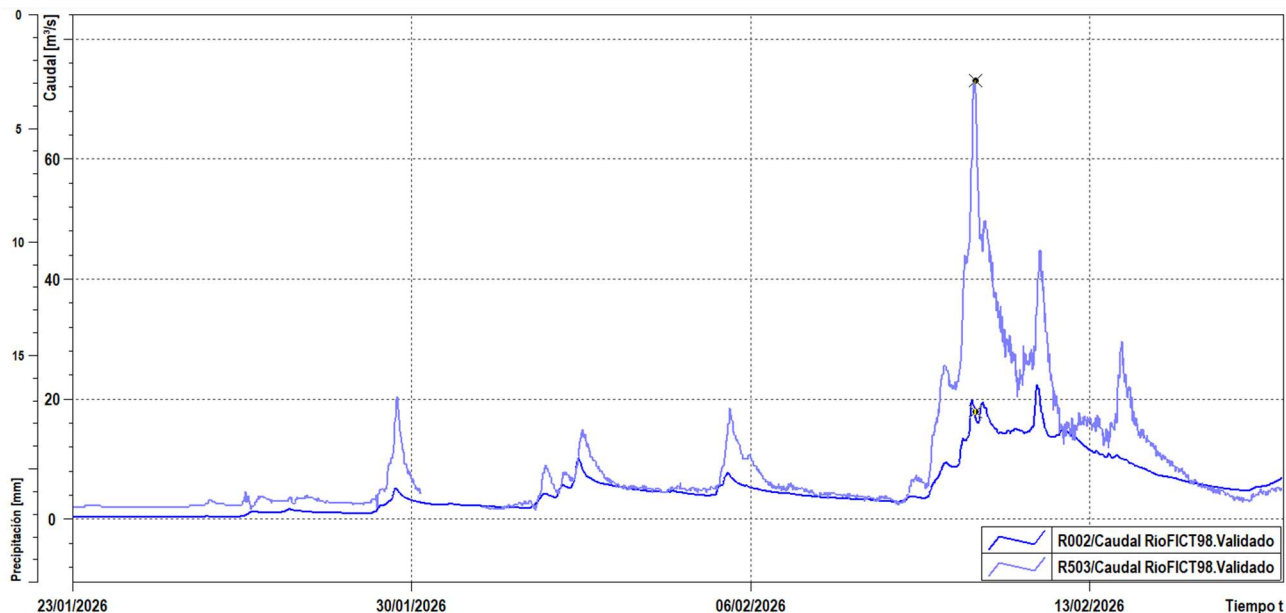
En el subsistema Jarama se analizan los niveles de las estaciones **R002** – Paular, **R503** – Alameda del Valle, **AR16** – Jarama en Valdepeñas, **R051** – Algete, **AR17** – Jarama en Mejorada- San Fernando y **R174** – Puento Titulcia.

A continuación, se presentan las gráficas de algunas de las estaciones del sistema que superaron los umbrales a lo largo del evento. Por ejemplo:

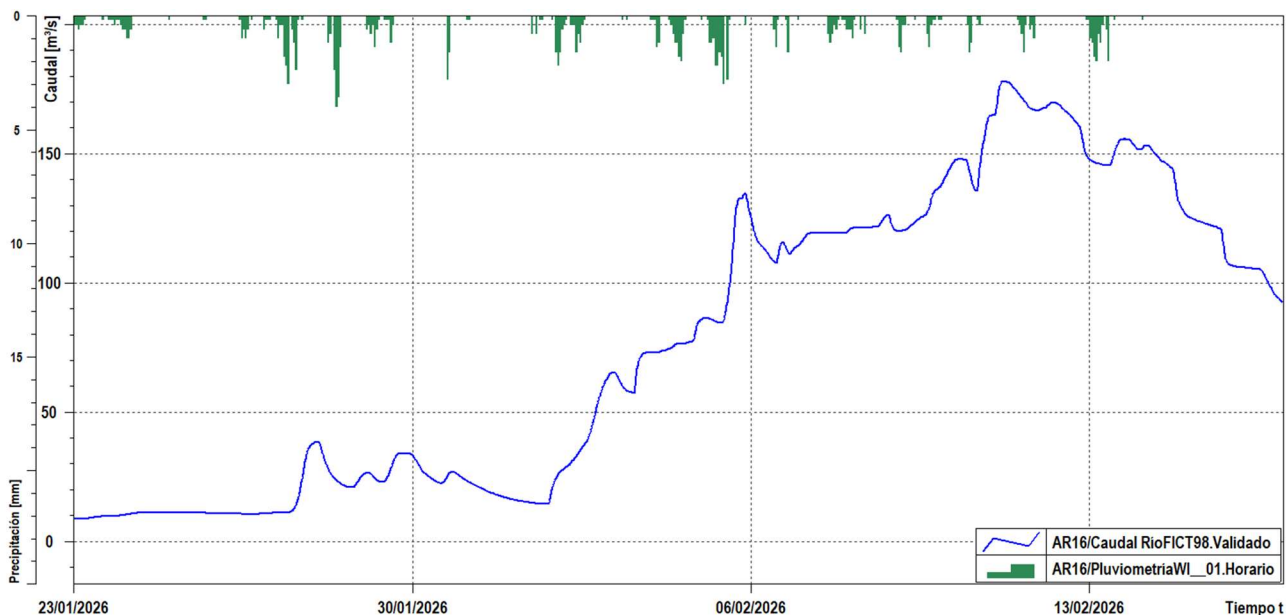




En primer lugar, se analizarán las 2 estaciones en cabecera del Lozoya, R002 y la R503, que pueden dar una idea de las aportaciones que se recibieron en este sistema, lo que provocó que la presa del Atazar (**E_14**) tuviese que verter caudales superiores a los 100 m³/s. Se puede apreciar, que para el día 10 de febrero, se midieron picos de entrada en la presa de Pinilla (ES_01) superiores a los 70 m³/s.



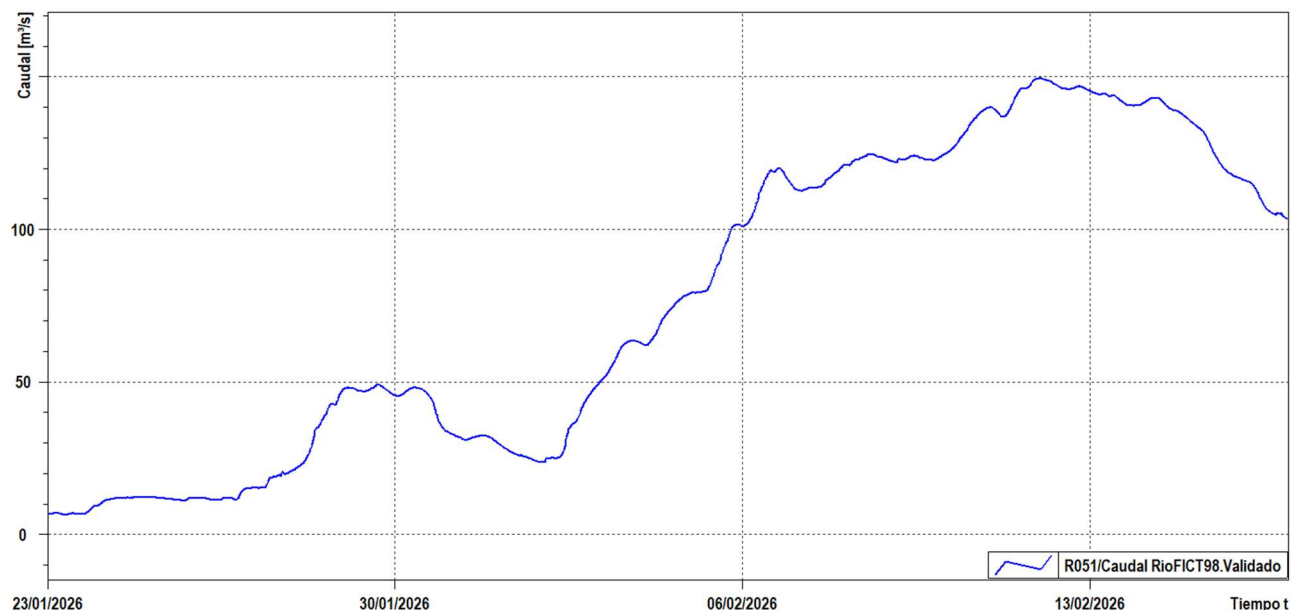
La siguiente estación de aforos es la **AR16**. Ésta se encuentra aguas abajo de la incorporación del río Lozoya al Jarama. Esta afectada por los desembalses de la presa de El Atazar (E_14), que cierra el sistema Lozoya y la presa de El Vado (E_13).



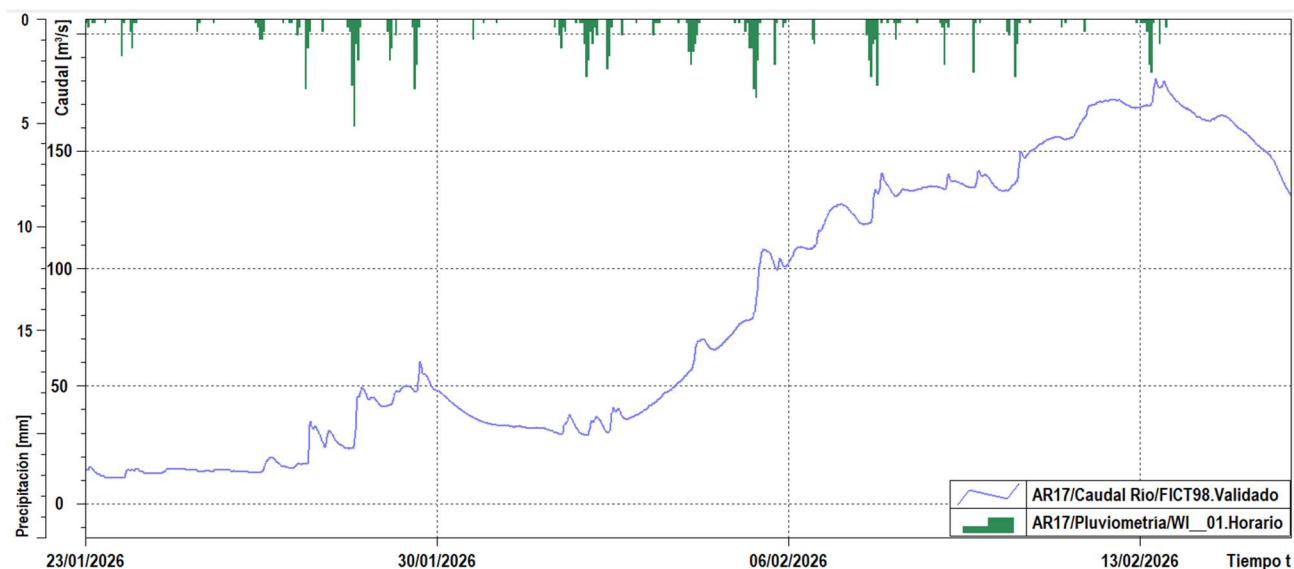
El nivel máximo se alcanzó durante el día 12, con valores superiores a los 175 m³/s

El efecto combinado de los desembalses, fue máximo durante el día 12, por lo que el comportamiento de la AR16 es coherente con los datos obtenidos de los desembalses.

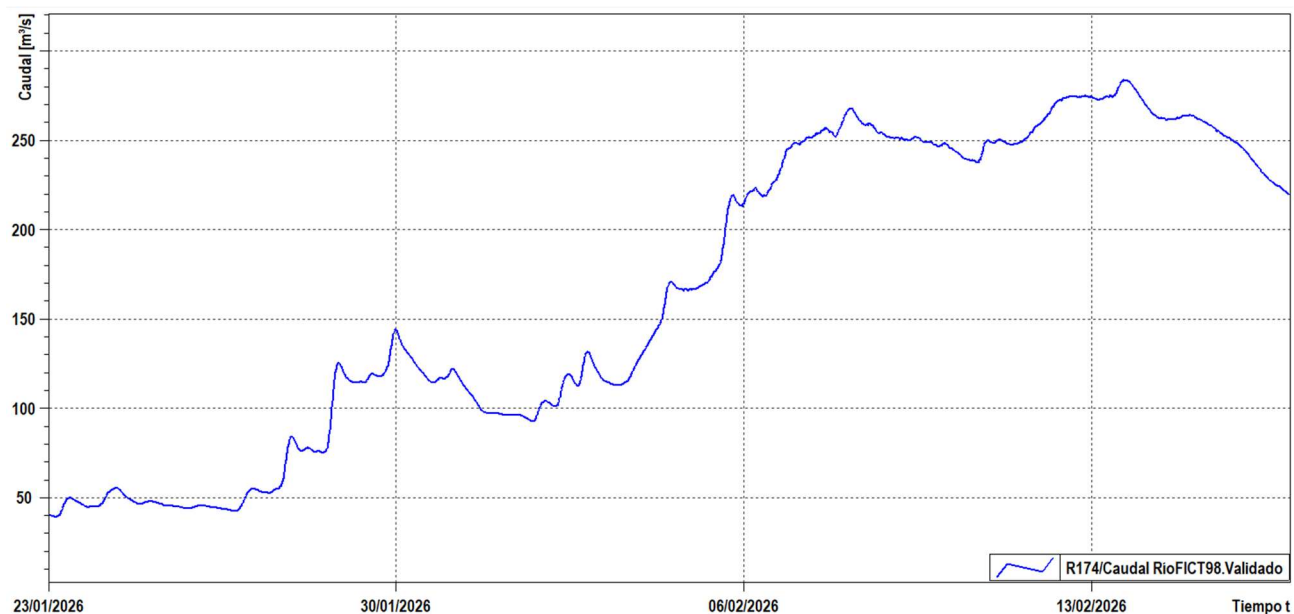
La estación **R051** se encuentra en el río Jarama, tras la incorporación del río Guadalix. Los picos y las magnitudes de caudal son coherentes con la estación AR16.



Antes de la incorporación del río Henares al Jarama, se encuentra la estación AR17. Se observa que el pico de la avenida ha sido de entorno a 180 m³/s y se ha desplazado en el tiempo respecto al que marcaba la AR16.



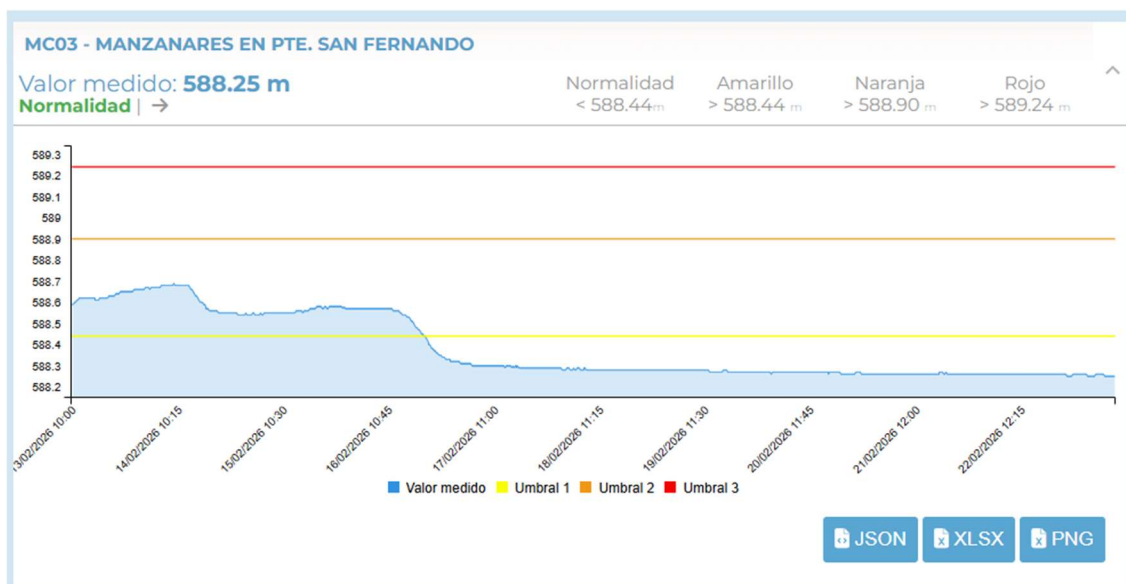
La estación **R174** marca el tramo final del Jarama antes de su incorporación al río Tajo. Los valores máximos, se han alcanzado a lo largo del día 13 de febrero, con caudales superiores a los 280 m³/s.



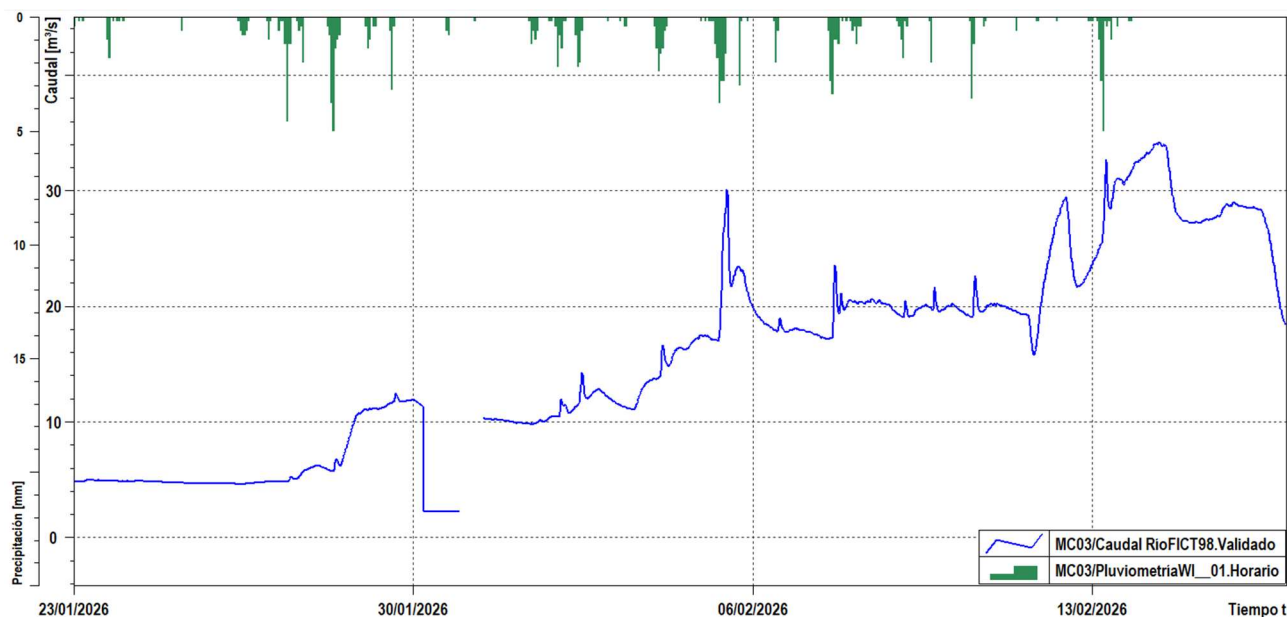
Finalmente, se indican para las estaciones de aforo analizadas los caudales asociados a niveles de retorno de acuerdo con el CAUMAX, para entender la magnitud de los caudales circulados por los cauces:

ESTACIÓN	Q_{PICO EVENTO} [m³/s]	Q_{T=2} [m³/s]	Q_{T=5} [m³/s]	Q_{T=25} [m³/s]
R002	22	16	32	
R503	70	31	59	113
AR16	175	137	234	
R051	150	155		
AR17	180	159	285	
R174	280	291		

Para el subsistema Jarama, se pueden observar valores cercanos al periodo de retorno de 2 años, en los puntos analizados, salvo para la cabecera del Lozoya, donde se aprecia que se ha estado en valores más cercanos al periodo de retorno de 5 años.

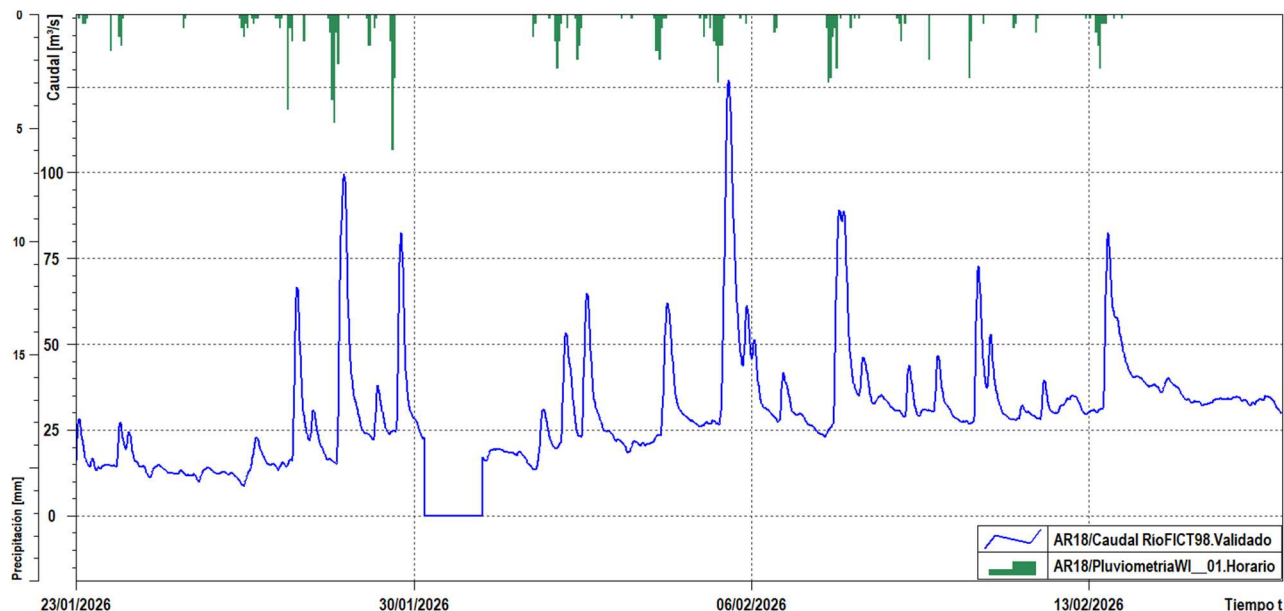


Se analiza en primer lugar la estación **MC03**. Los valores máximos alcanzados durante el evento se sitúan ligeramente por debajo de los 35 m³/s. La evolución del nivel del río medido en esta estación se ve fuertemente influenciado por los desembalses realizados en la presa de El Pardo situada aguas arriba.



Antes de la incorporación del río Manzanares al Jarama, se tiene la estación **AR18**. Esta estación permite apreciar la importante escorrentía superficial que se genera en la ciudad de Madrid y la poca infiltración debida a la importante urbanización de esta zona. Se

puede apreciar perfectamente la correlación entre lluvias de cierta entidad en duración y los picos de caudal que se generan. Durante el evento, los caudales máximos aportados por el Manzanares han sido cercanos a los 130 m³/s.



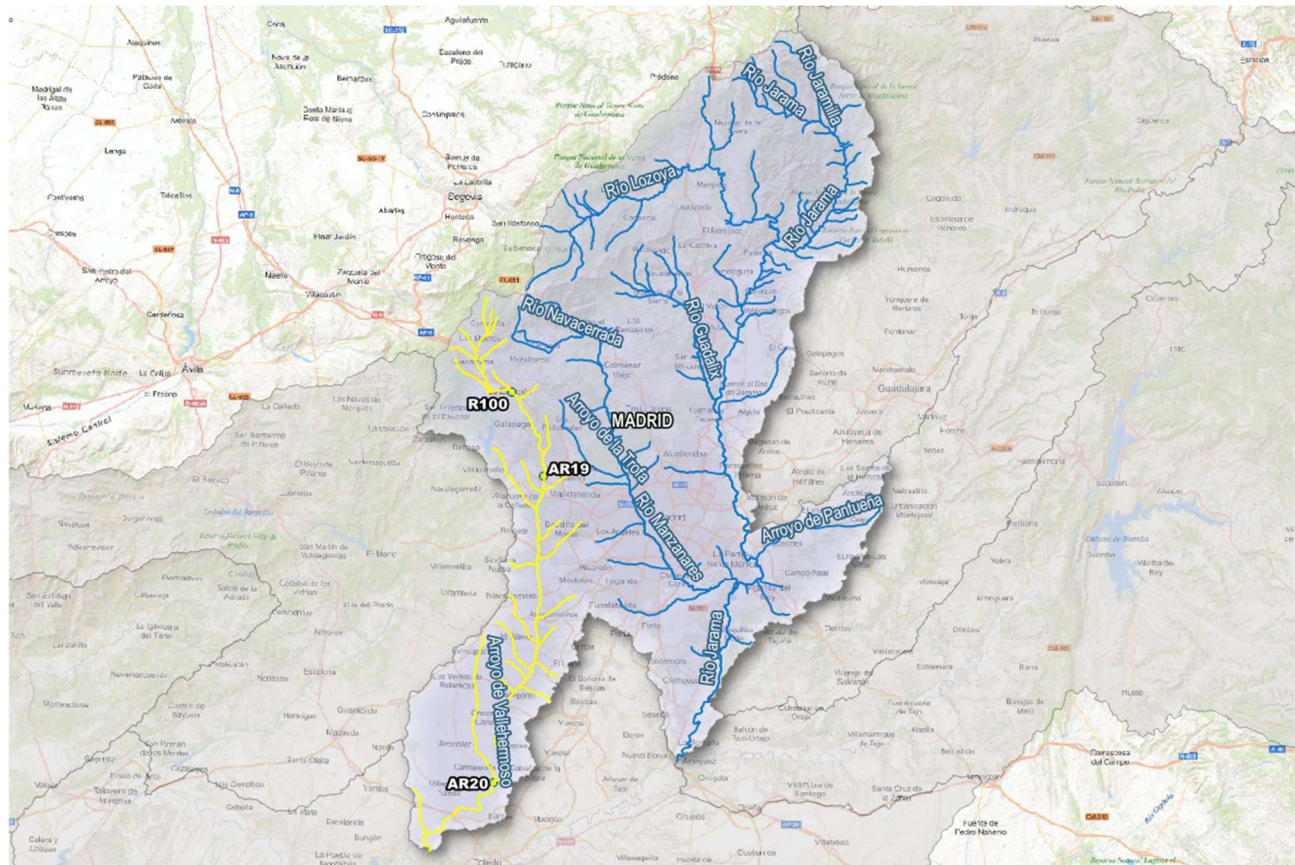
Finalmente, presentamos para las estaciones de aforo analizadas los caudales asociados a niveles de retorno de acuerdo con el CAUMAX, para entender la magnitud de los caudales circulados por los cauces:

ESTACIÓN	Q _{PICO EVENTO} [m ³ /s]	Q _{T=2} [m ³ /s]	Q _{T=5} [m ³ /s]	Q _{T=25} [m ³ /s]
MC03	35	75		
AR18	130	86	171	

En el subsistema del Manzanares, se observan unos valores para el tramo bajo, casi en la incorporación al río Jarama, superiores al periodo de retorno de 2 años. Sin embargo, a lo largo del tramo que discurre por Madrid, regulado el caudal por la presa de El Pardo (E_21), se registran valores inferiores a estos 2 años de periodo de retorno.

7.4.3. HIDROGRAMAS GUADARRAMA

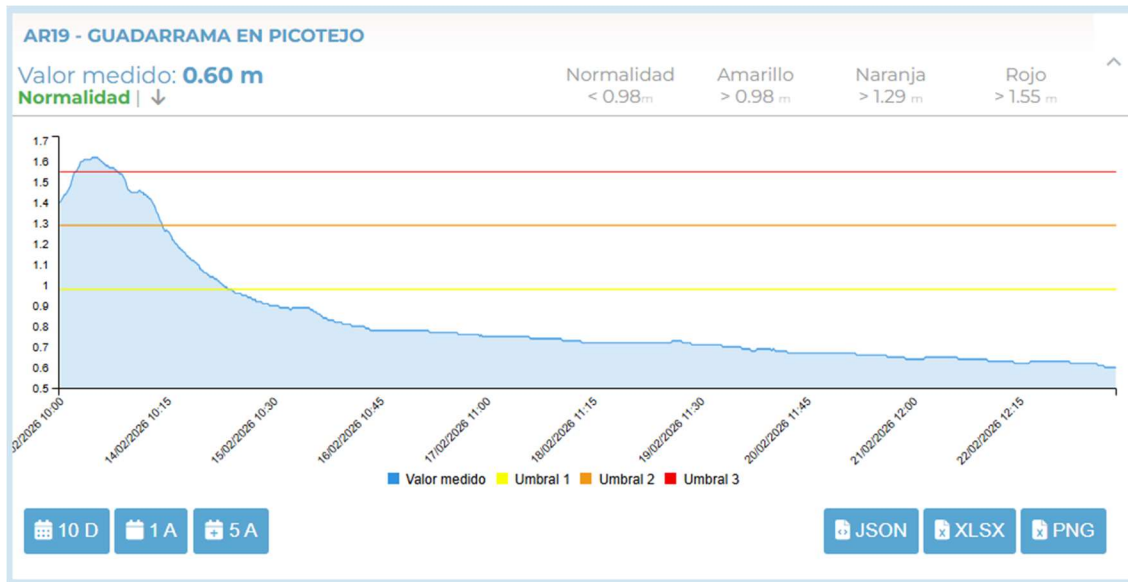
El subsistema Guadarrama se presenta en la siguiente imagen:



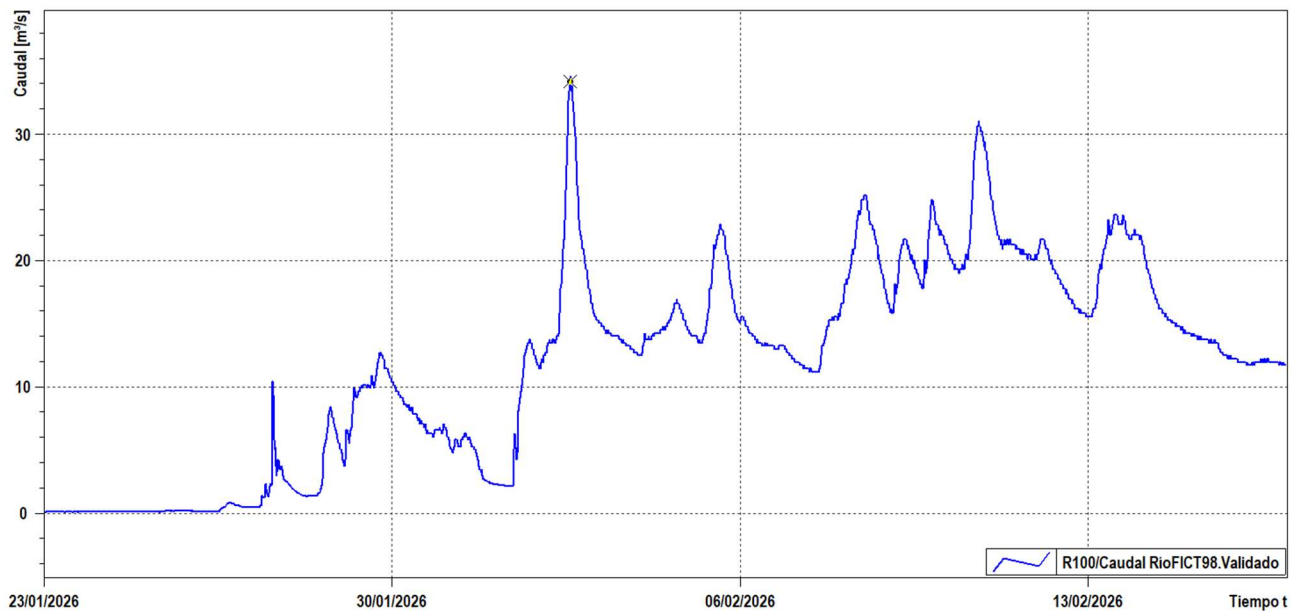
Situación de las estaciones SAIH en la cuenca del Guadarrama.

En el subsistema Guadarrama se analizan los caudales de las estaciones **R100** – Villalba, **AR19** – Guadarrama en Picotejo y **AR20** – Guadarrama en Barruelos - Bargas.

A continuación, se presenta la gráfica de la estación AR19 que ha superado el umbral rojo a lo largo del evento:

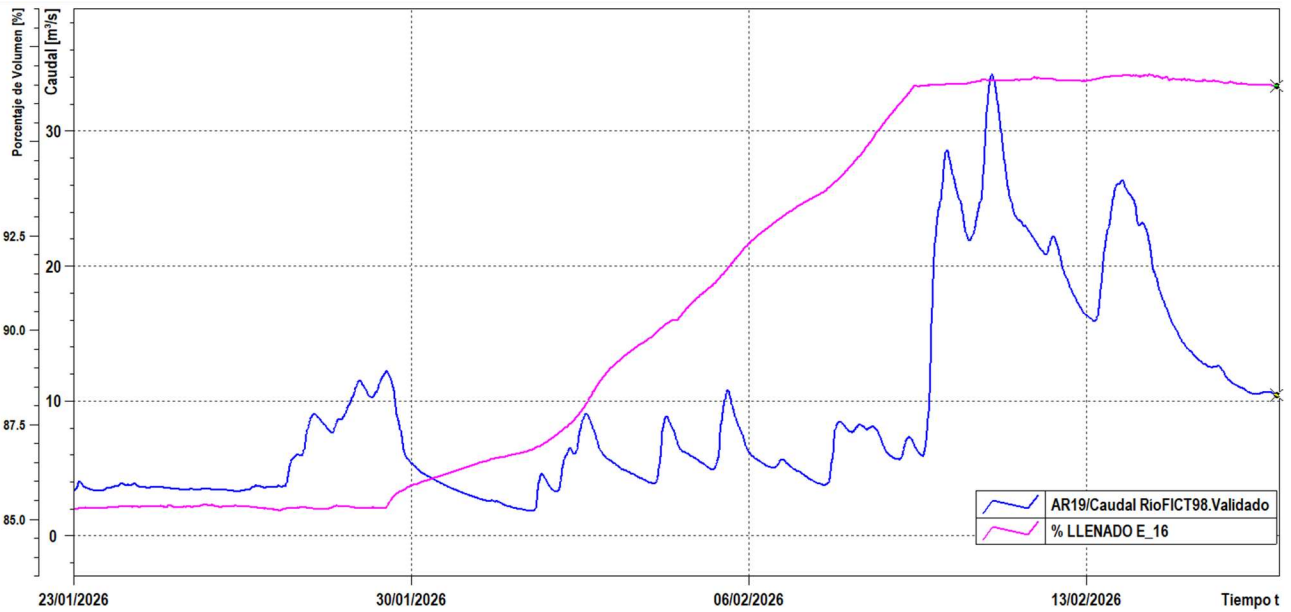


La estación **R100** tuvo picos a lo largo de la avenida que superaron los 25m³/s. El valor máximo registrado ha sido ligeramente inferior a 35 m³/s.

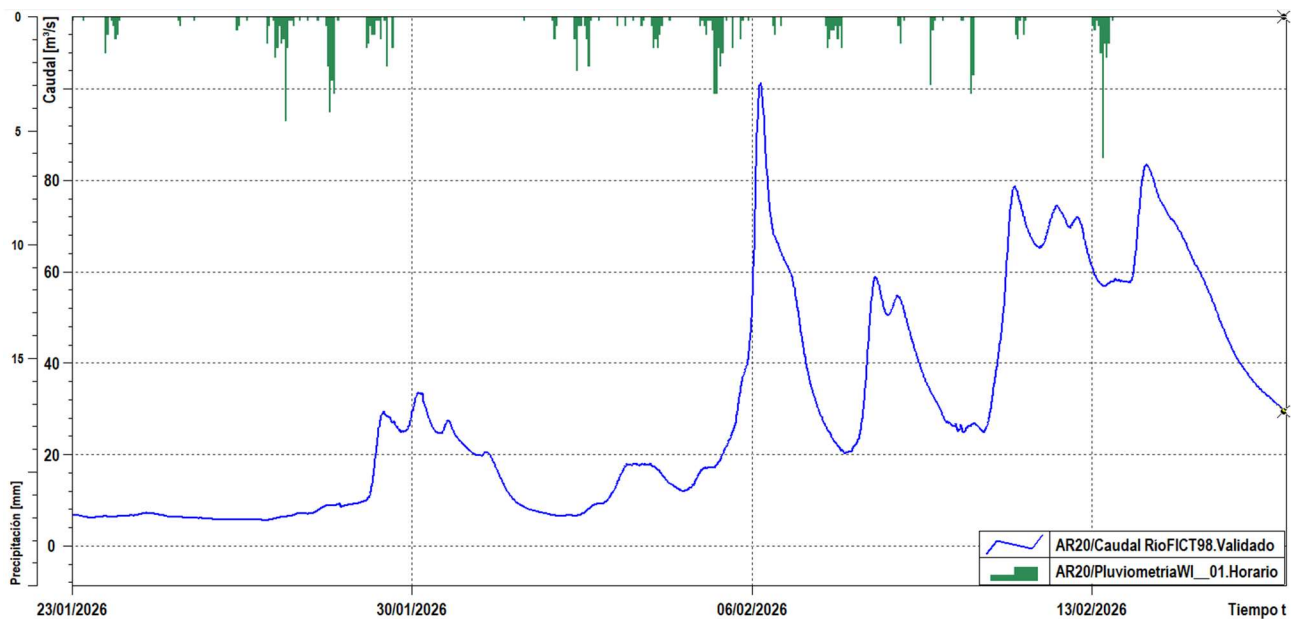


Al analizar la estación AR19, se puede apreciar el efecto que tiene la derivación del embalse de las nieves. Esta infraestructura, situada aguas arriba de la AR19, deriva caudal al embalse de Valmayor (E_16). A lo largo del episodio, se llegó al umbral de cierre del trasvase, por llegar el E_16 a un porcentaje de llenado superior al 96%, a partir de ese momento, se

cerró el trasvase, pasando a ser los caudales del río Guadarrama mayores, llegando a superar los 35 m³/s en la estación de aforos.



Ya en el tramo final del río Guadarrama, antes de su incorporación al río Tajo, se ubica la **AR20**. Los caudales máximos alcanzados durante el evento superaron los 100 m³/s.

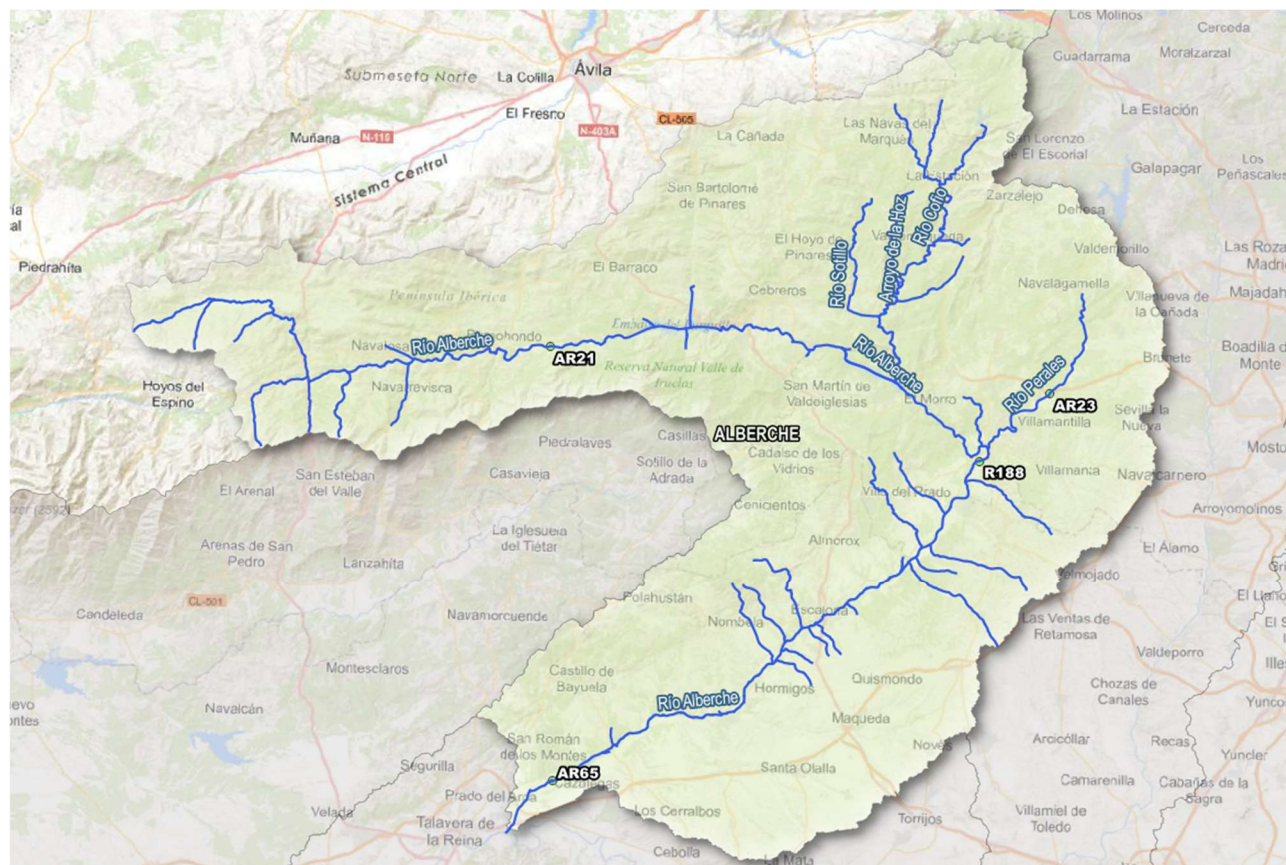


Finalmente, se indica para las estaciones de aforo analizadas los caudales asociados a niveles de retorno de acuerdo con el CAUMAX, para entender la magnitud de los caudales circulados por los cauces:

ESTACIÓN	Q _{PICO EVENTO} [m ³ /s]	Q _{T=2} [m ³ /s]	Q _{T=5} [m ³ /s]	Q _{T=25} [m ³ /s]
R100	35	39		
AR19	35	50		
AR20	100	71	145	

En el sistema se ha estado con valores en cabecera cercanos al periodo de retorno de los 2 años. En el tramo medio, regulado por los caudales derivados a la presa de Valmayor (**E_16**) en valores por debajo de los 2 años. Ya en el tramo final, se ha superado estos valores, pero por debajo de un periodo de retorno de 5 años.

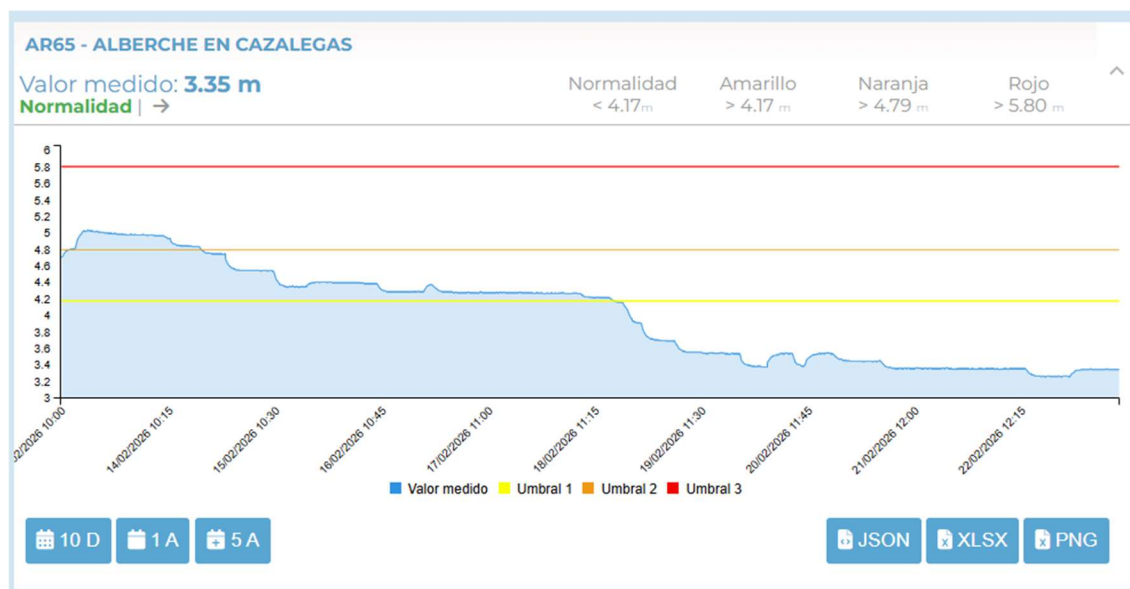
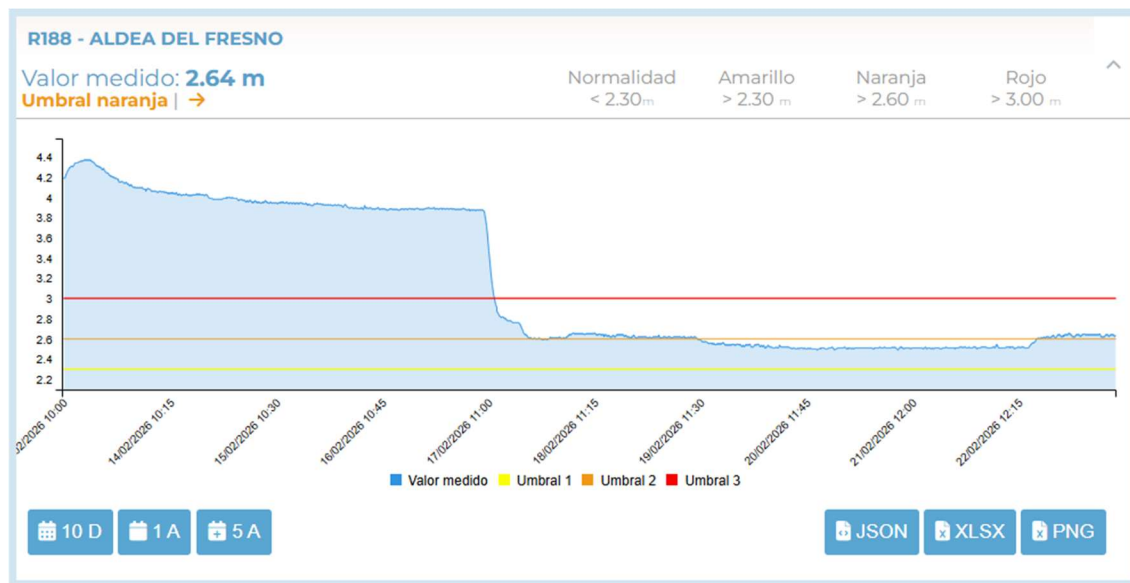
7.5. HIDROGRAMAS ALBERCHE



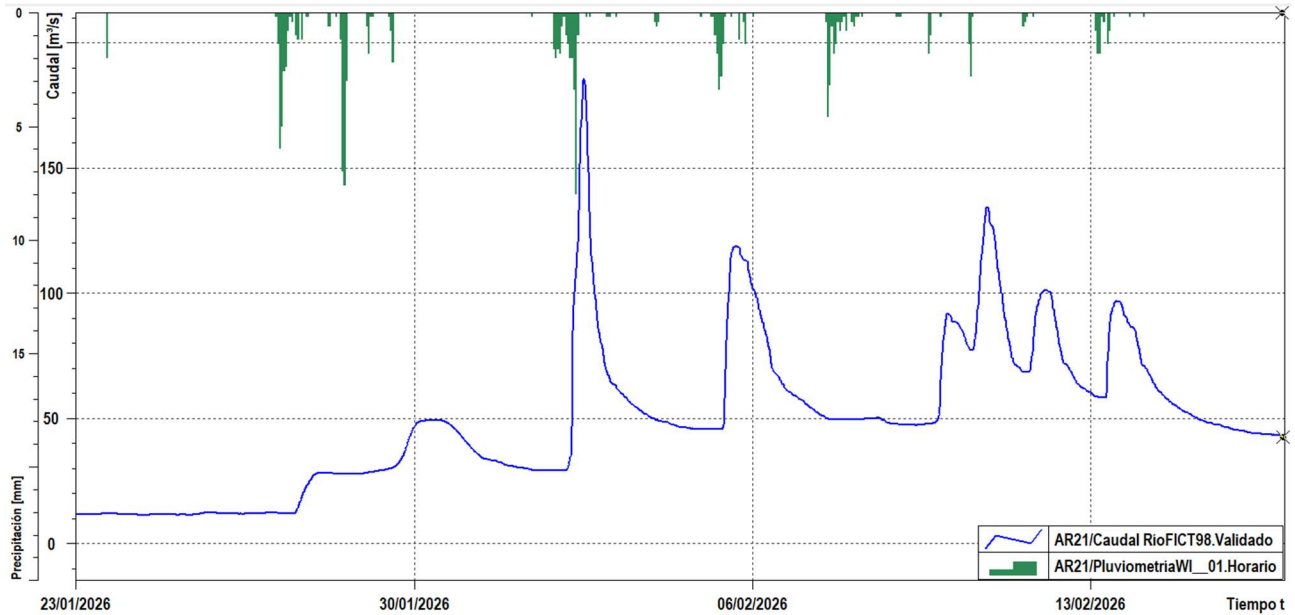
Situación de las estaciones SAIH en la cuenca del Alberche.

En el sistema Alberche se analizan caudales de las estaciones **AR21** – Alberche en Navaluenga, **AR23** – Perales en Villamantilla, **R188** – Aldea del Fresno y **AR65** – Alberche en Cazalegas

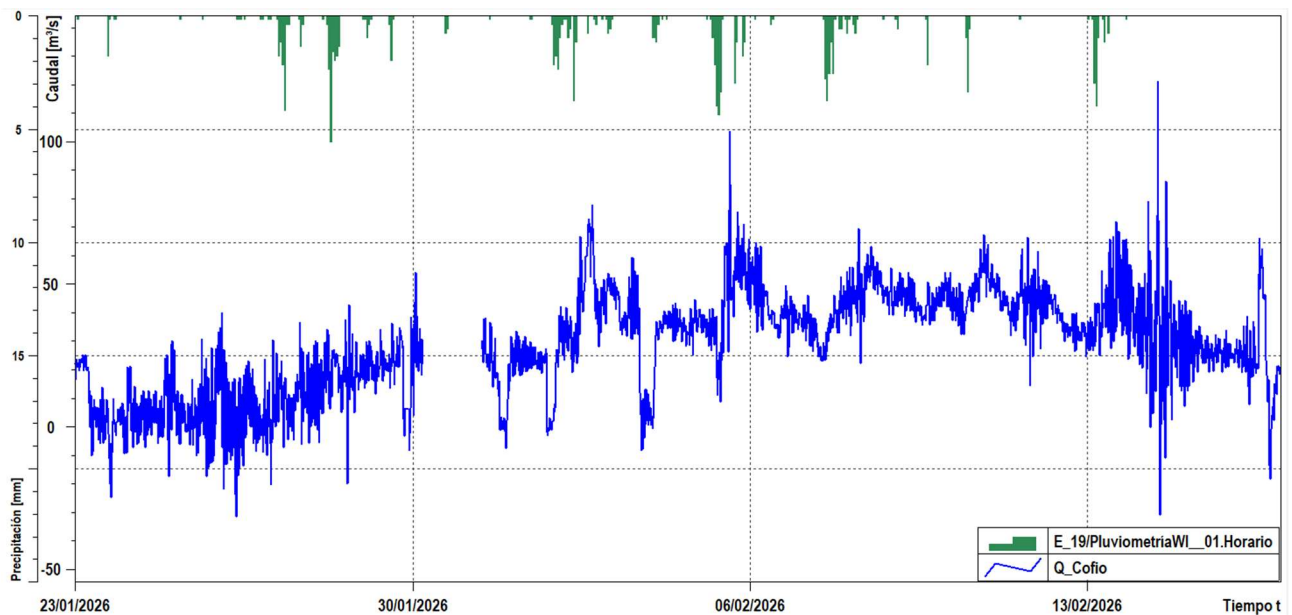
A continuación, se presentan las gráficas de algunas de las estaciones del sistema que superaron los umbrales a lo largo del evento. Por ejemplo:



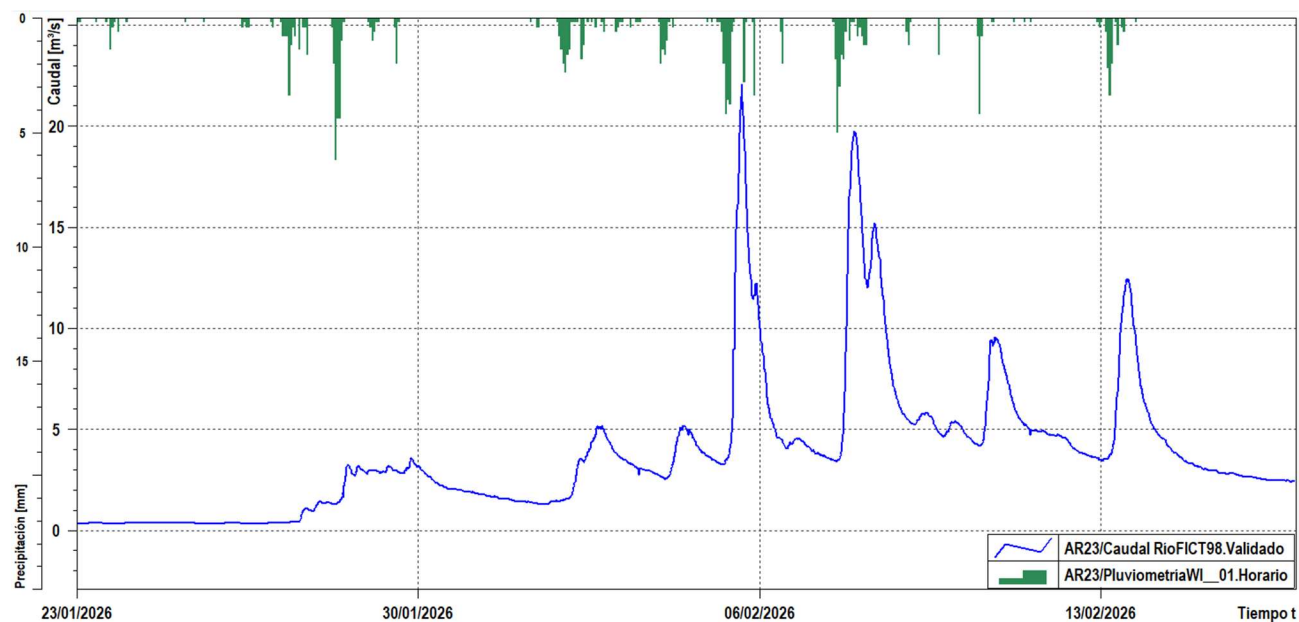
Respecto al comportamiento de los cauces, se analiza en primer lugar la estación **AR21**. Se observa en la siguiente gráfica que se ha alcanzado un valor máximo de 185 m³/s a lo largo del tren de borrascas.



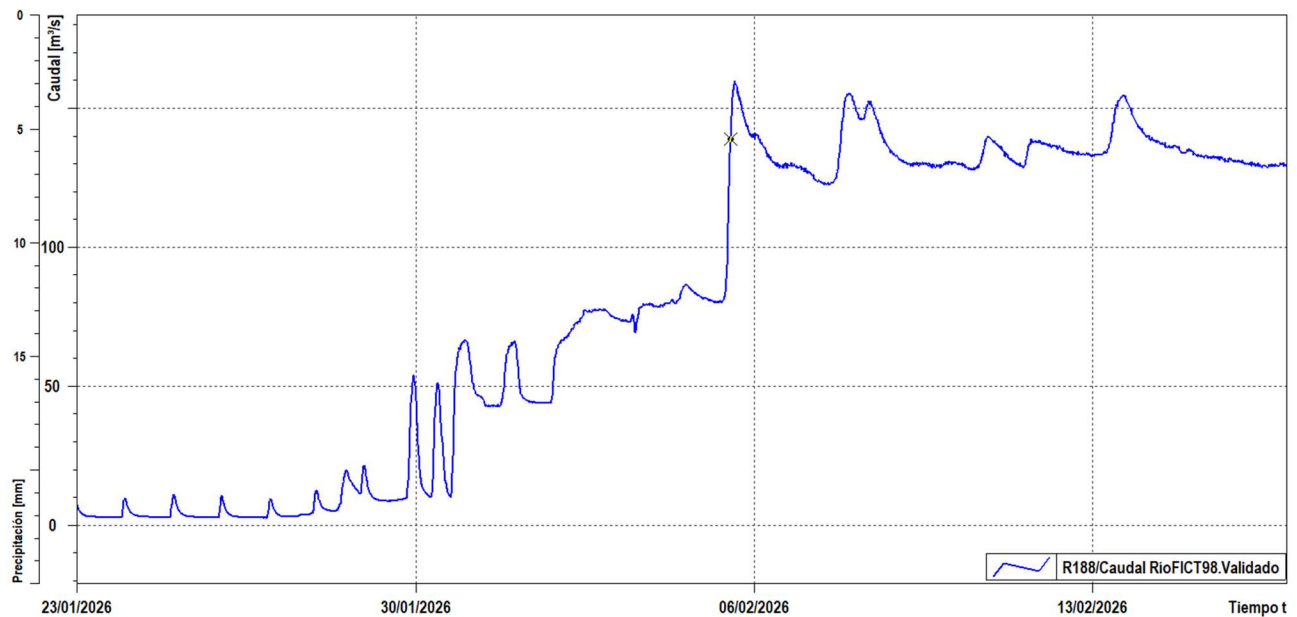
El caudal aportado por el río Cofio, se puede estimar de forma indirecta, teniendo en cuenta los desembalses desde Burguillo (**E_17**) y las entradas en el embalse de San Juan (**E_19**), llegando a valores que han superado los 50 m³/s.



El siguiente punto a analizar es el **AR23**. Una vez saturado el terreno, la respuesta frente a las lluvias genera unos picos pronunciados de caudal. A lo largo del evento se ha tenido una aportación máxima del río Perales entorno a los 22 m³/s.

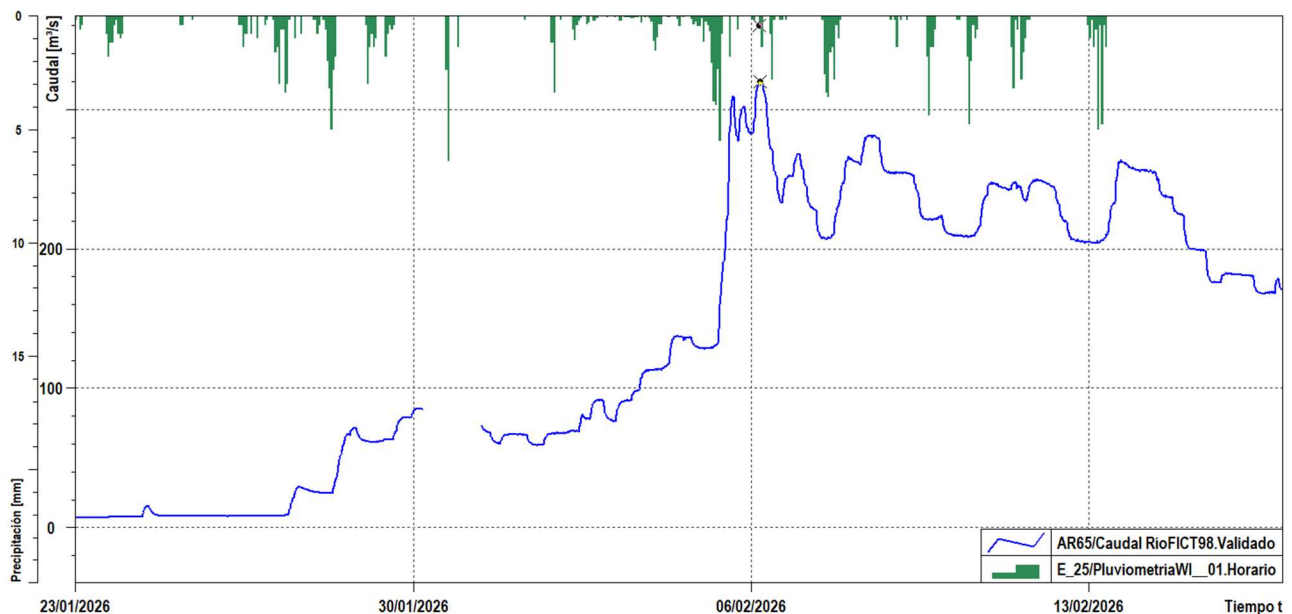


A continuación, se analizan los caudales resultantes en la estación **R188** influenciado por una parte por los desembalses en Picadas (**E_20**) y por otra las aportaciones del río Perales, anteriormente comentado y del Arroyo Grande, del que no se tiene punto de medida. Se puede observar que los caudales han superado a lo largo del evento en algunas ocasiones los 150 m³/s, siendo el caudal máximo medido entorno a los 160 m³/s.



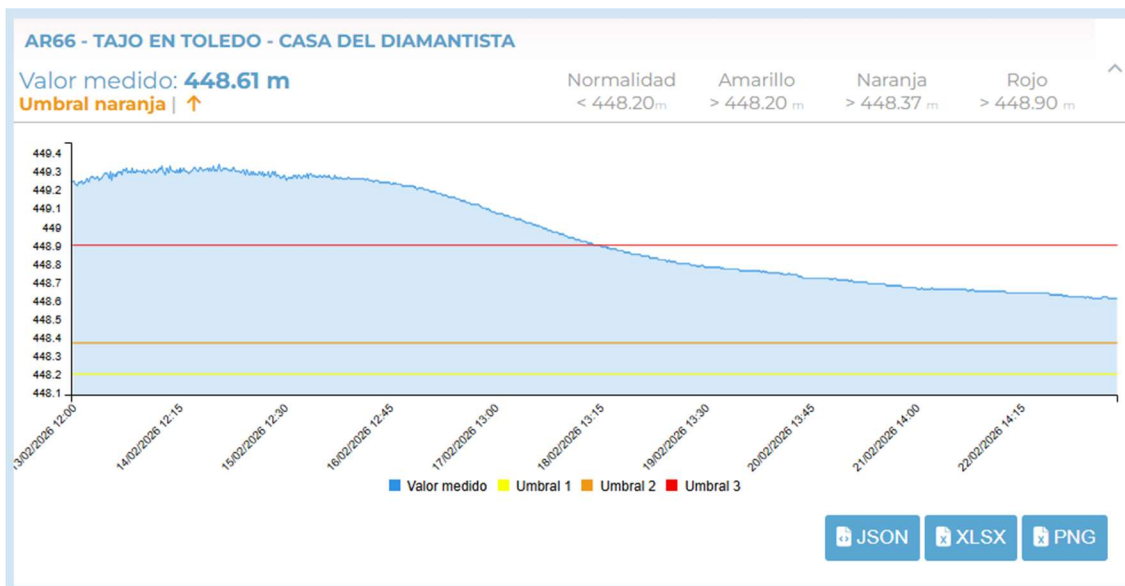
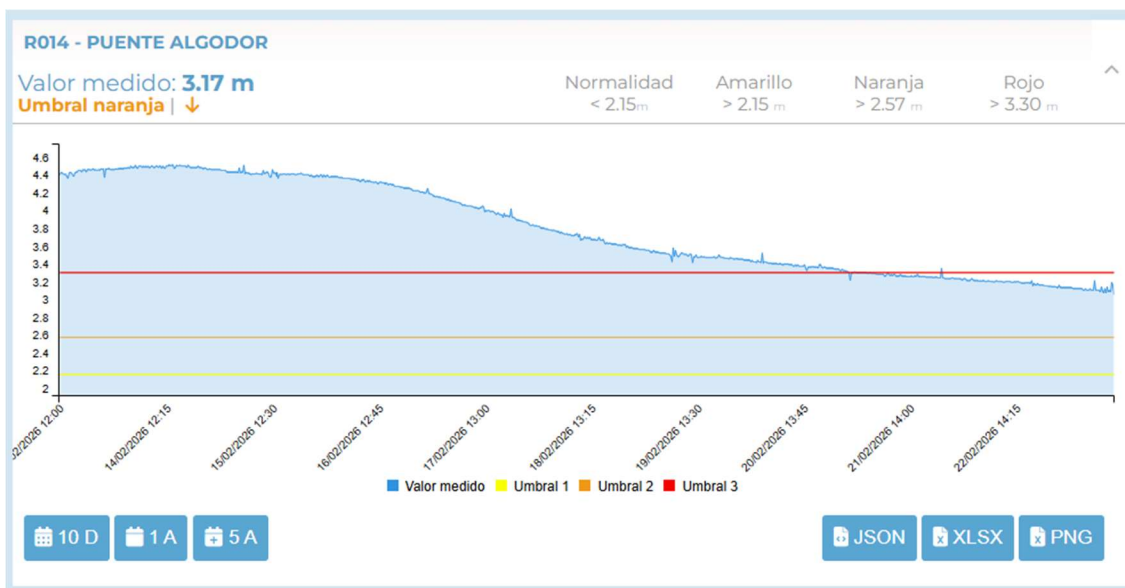
Teniendo en cuenta, los datos disponibles se estima que el caudal máximo aportado por el Arroyo Grande se ha situado en un valor de aproximado de 35 m³/s.

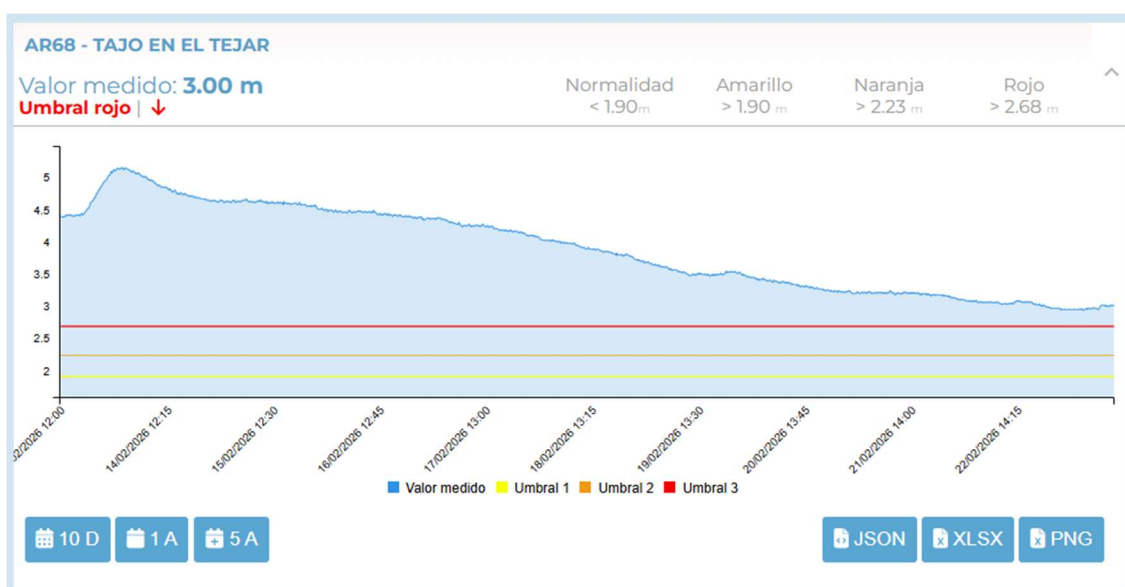
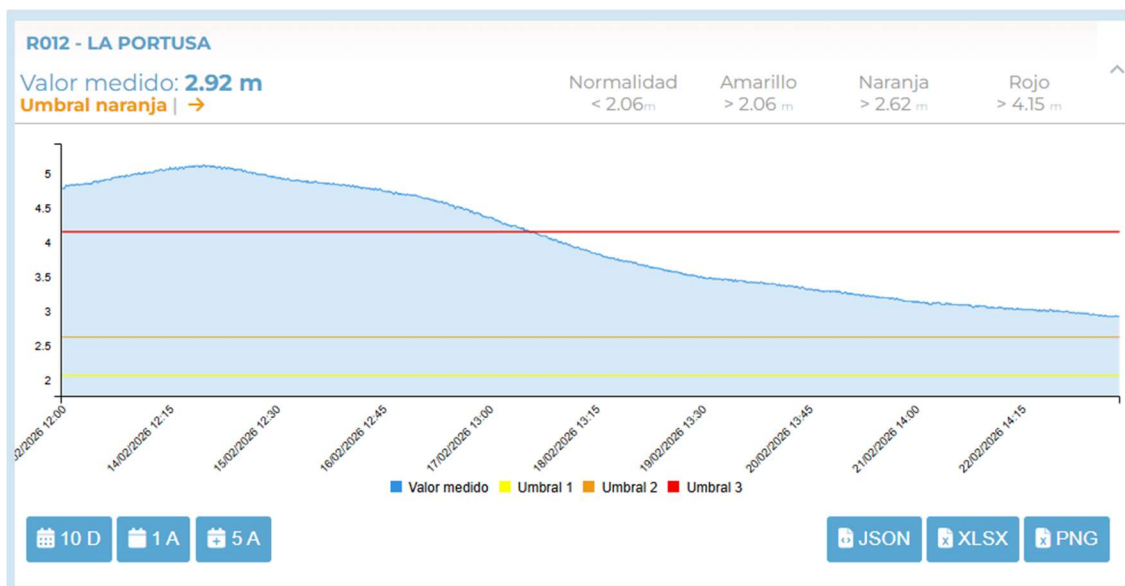
La última estación del sistema y que registra los caudales incorporados al río Tajo en Talavera de la Reina, es la **AR65**. El caudal máximo incorporado al eje del río Tajo han sido valores aproximadamente de 320 m³/s.



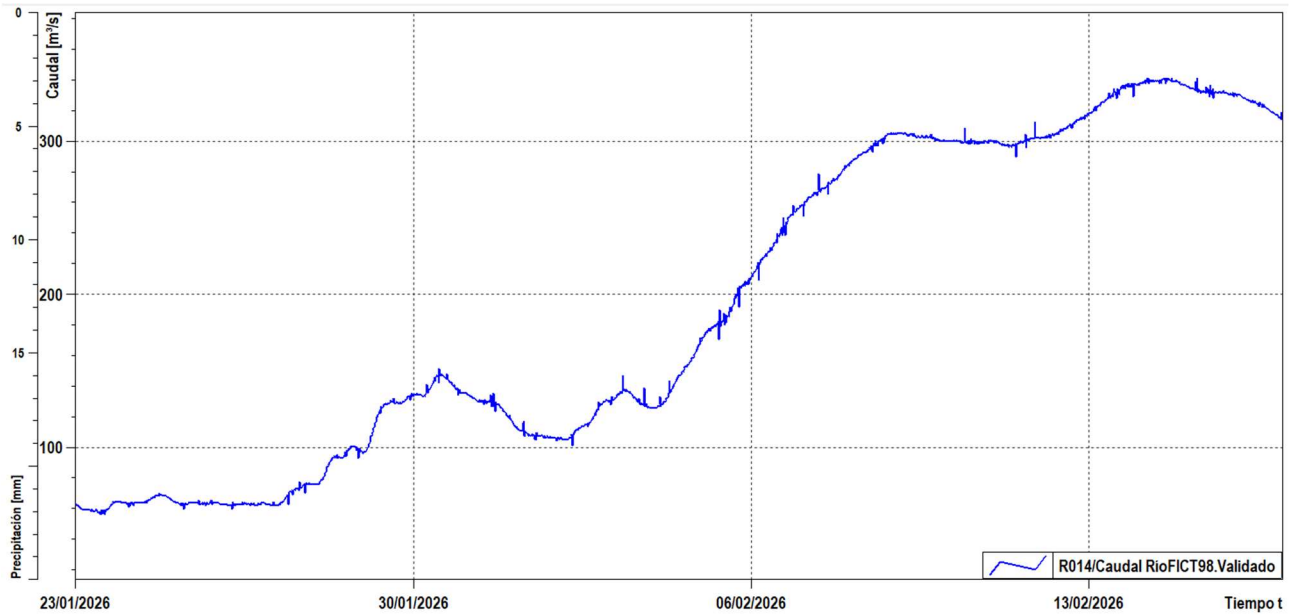
En el sistema Tajo Izquierda se analizan caudales de las estaciones **R014** – Puente Algodor, **AR66** – Tajo en Toledo – Casa del Diamantista, **R012** – La Portusa, **AR25** – Pusa en la Medica, **AR68** – Tajo en elTejar, **AR26** – Gévalo en Alcaudete y **AR27** – Uso en Aldeanueva.

A continuación, se presentan las gráficas de algunas de las estaciones del sistema que superaron los umbrales a lo largo del evento. Por ejemplo:

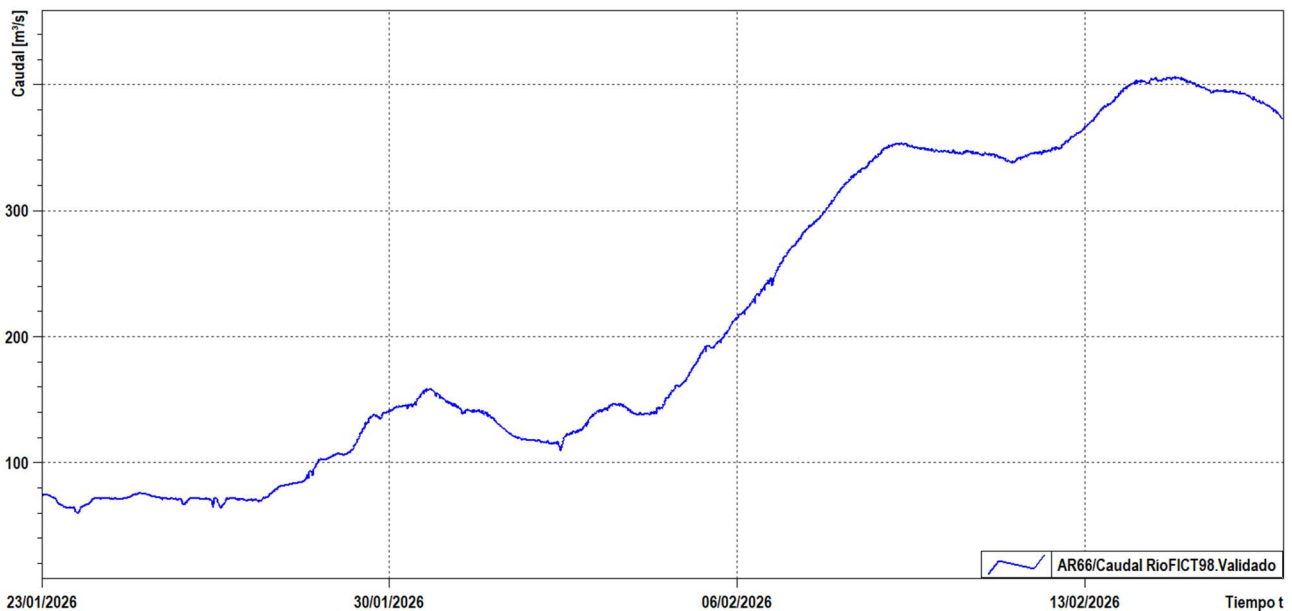




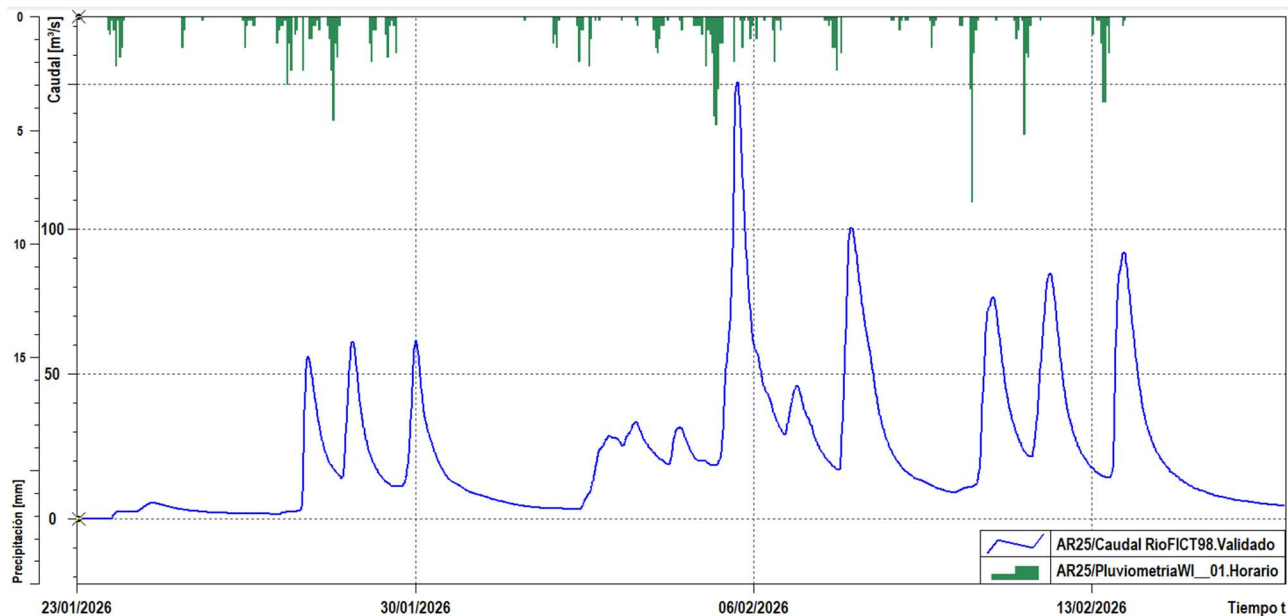
La primera estación de aforos a analizar es la **R014**. Su comportamiento es similar a la **R174**, dado que la mayor parte de dicho caudal es el incorporado al río Tajo a través del Jarama. La punta, de unos 340 m³/s se alcanzó el día 14, siendo coherente con lo observado con la **R174** y el tiempo necesario para que la onda avance a través del cauce.



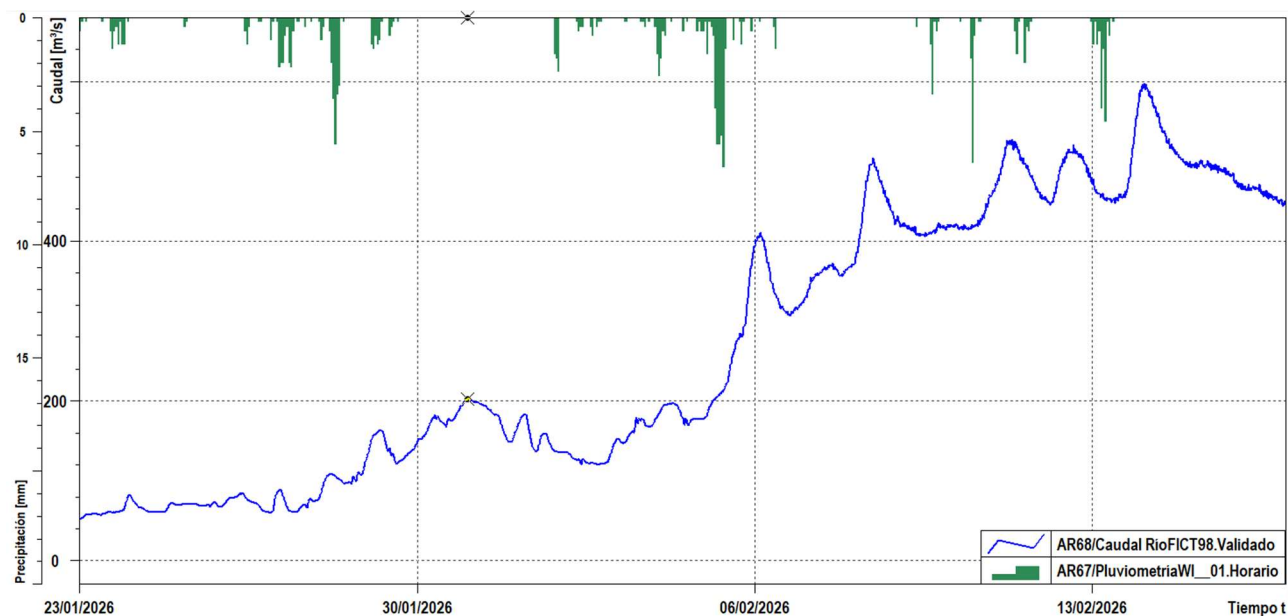
La siguiente estación será la **AR66**. Se trata de la estación de medida del Tajo en Toledo. El valor máximo medido del río Tajo a su paso por Toledo ha superado los 350 m³/s. La diferencia entre el valor obtenido por la **R014** y esta estación de aforos se explica en la incorporación de varios afluentes del Tajo situados entre ambas estaciones de aforo.



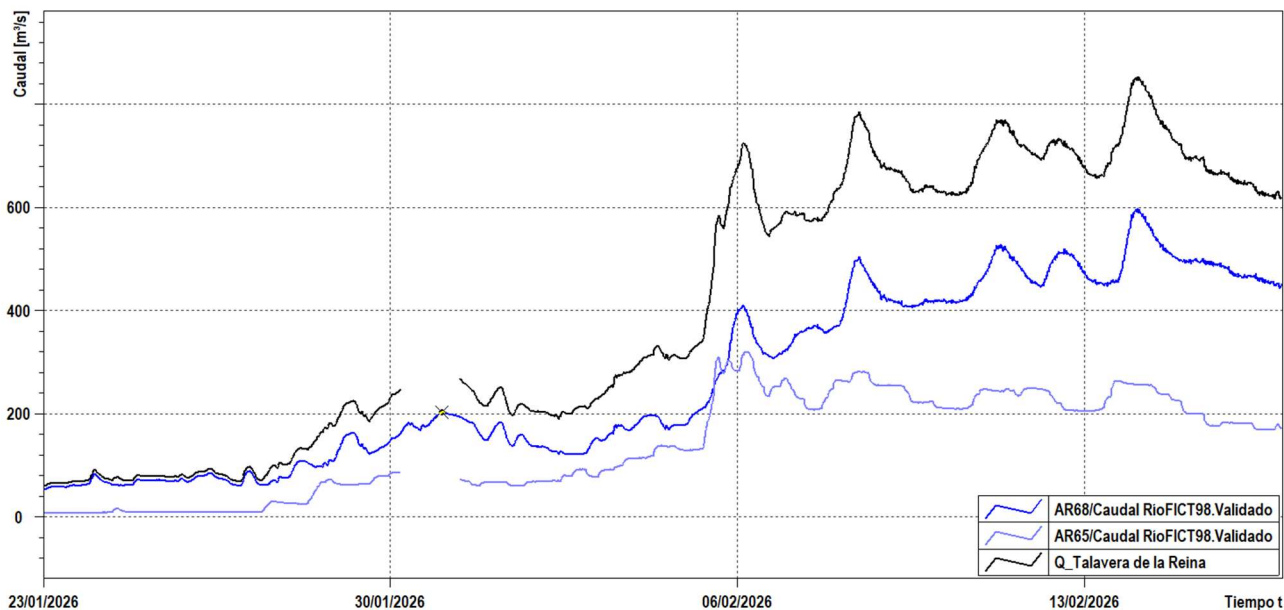
Uno de los afluentes al Tajo, monitorizado en este sistema, es el río Pusa. La **AR25** es la estación de aforos que controla el nivel del río en su tramo medio. Se alcanzaron niveles de 150 m³/s durante el evento.



Con la estación **AR68** es posible cuantificar los caudales que llegan a Talavera de la Reina provenientes del río Tajo. Durante el tren de borrascas, el máximo caudal aportado por el Tajo estuvo ligeramente por debajo de los 500 m³/s ya en la última semana del evento.

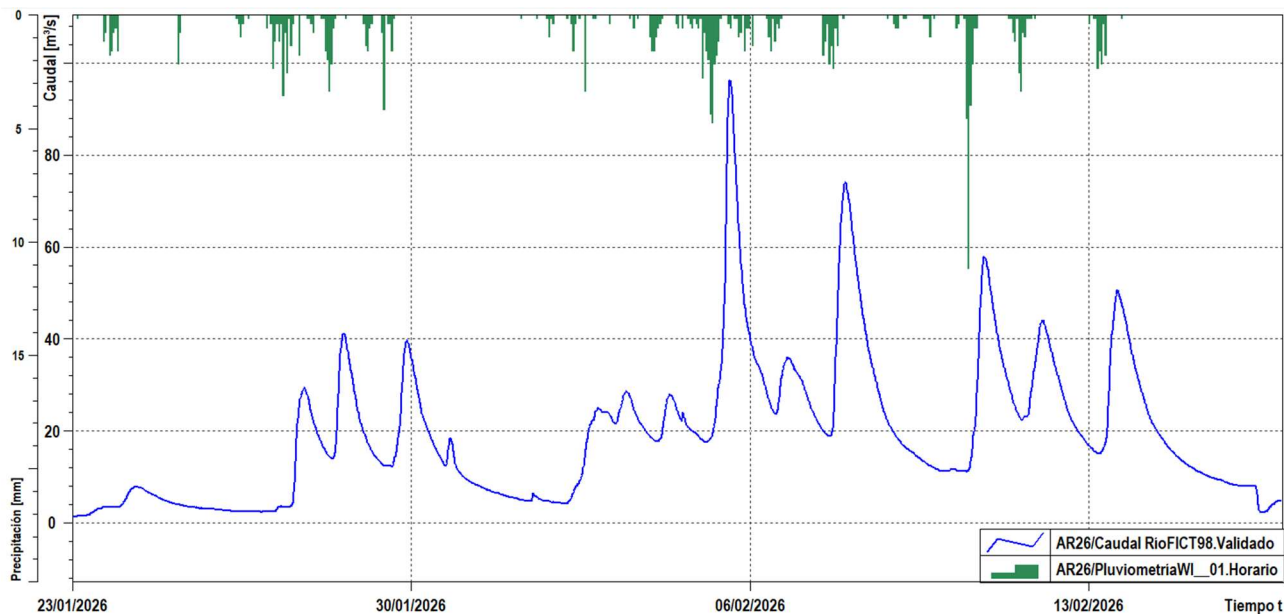


Teniendo en cuenta las aportaciones de la **AR65** y **AR68** por la ciudad de Talavera de la Reina se estima que pasaron caudales pico cercanos a los 850 m³/s.

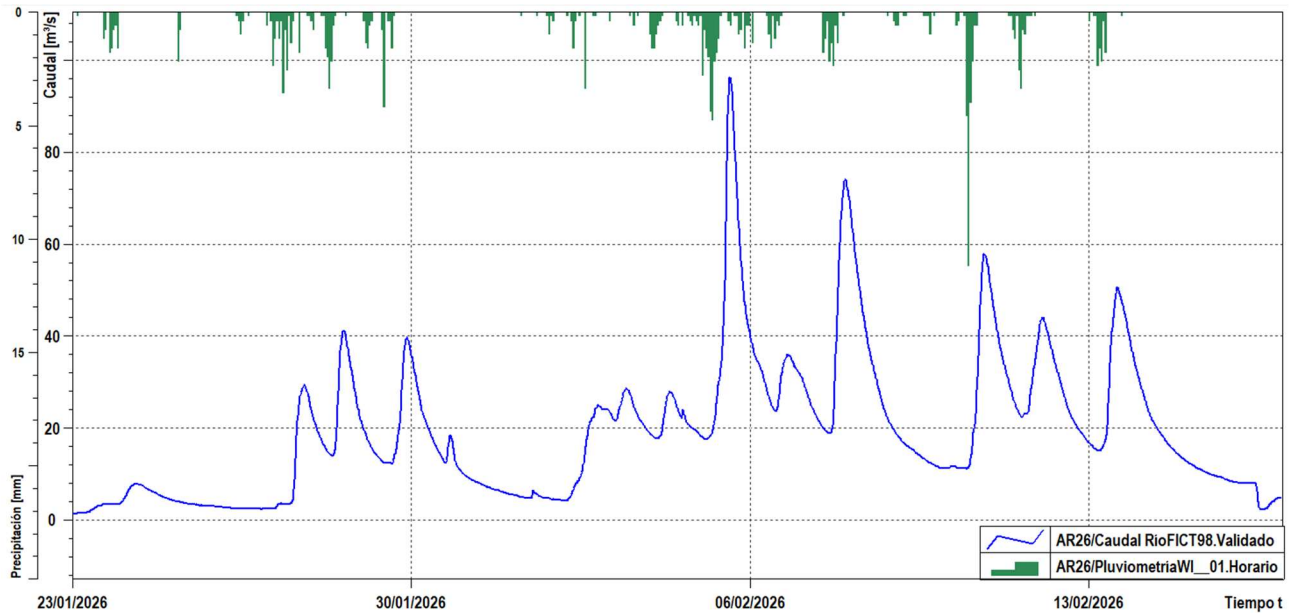


Las 2 últimas estaciones del sistema a analizar son afluentes al río Tajo, pasado Talavera de la Reina.

La **AR26**, en el río Gévalo, llegó a valores pico cercanos a los 100 m³/s.



La **AR27**, en el río Uso, llegó a valores superiores a los 175 m³/s.



Finalmente, se indica para las estaciones de aforo analizadas los caudales asociados a niveles de retorno de acuerdo con el CAUMAX, para entender la magnitud de los caudales circulados por los cauces:

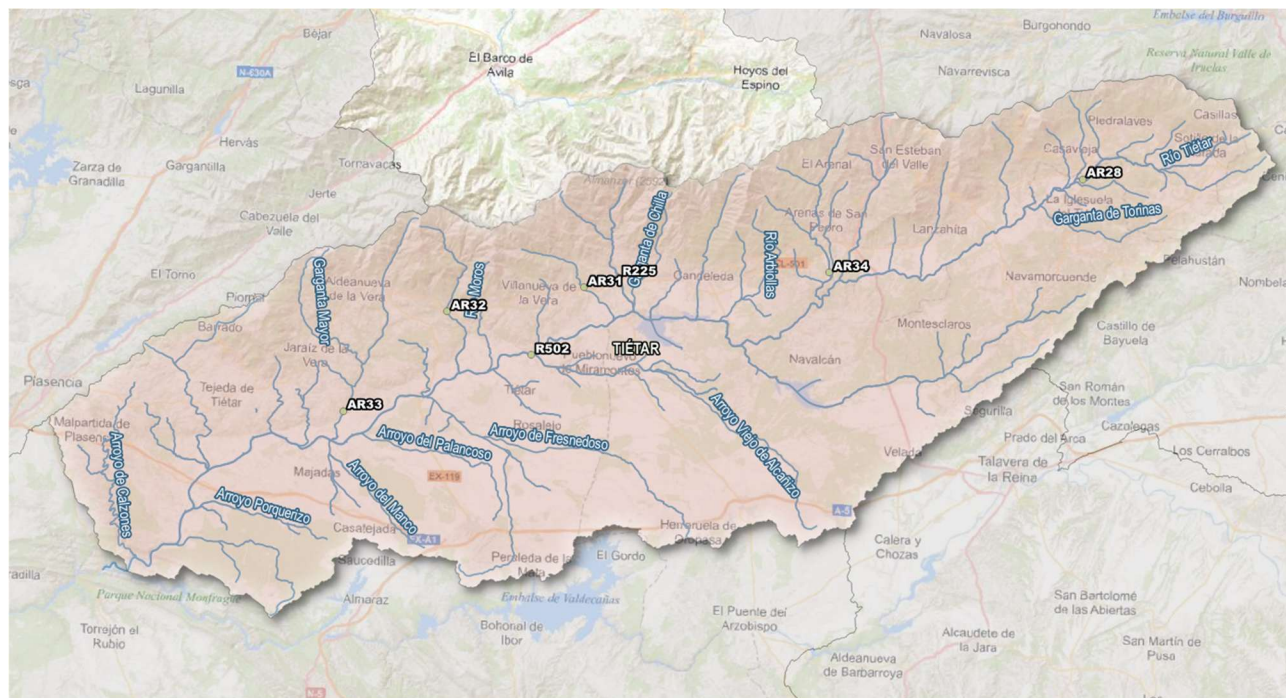
ESTACIÓN	Q _{P. EVENTO} [m ³ /s]	Q _{T=2} [m ³ /s]	Q _{T=5} [m ³ /s]	Q _{T=25} [m ³ /s]	Q _{T=100} [m ³ /s]
R014	340	462			
AR66	350	491			
AR25	150	44	77	136	197
AR68	500	549			
AR26	100	31	56	98	142
AR27	175	55	95	165	235

En el sistema Tajo Izquierda se observa un comportamiento dispar de los cauces regulados y los que no lo están.

En el eje medio del Tajo, se han registrado con valores por debajo del periodo de retorno de 2 años.

Sin embargo, los afluentes del río Tajo monitorizados, han superado el periodo de retorno de 25 años.

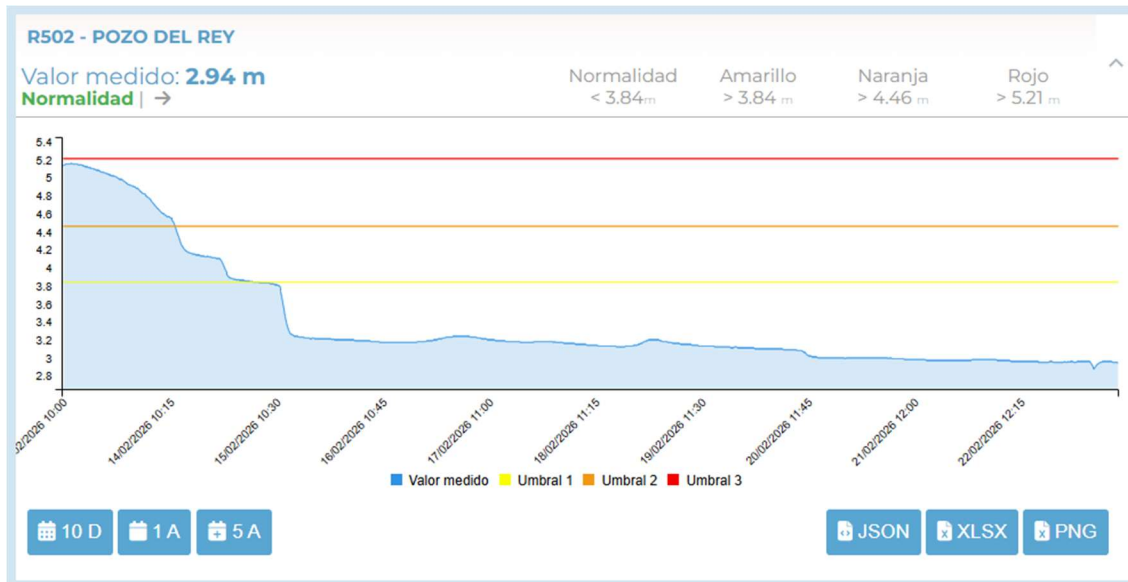
7.7. HIDROGRAMAS SISTEMA TIÉTAR.



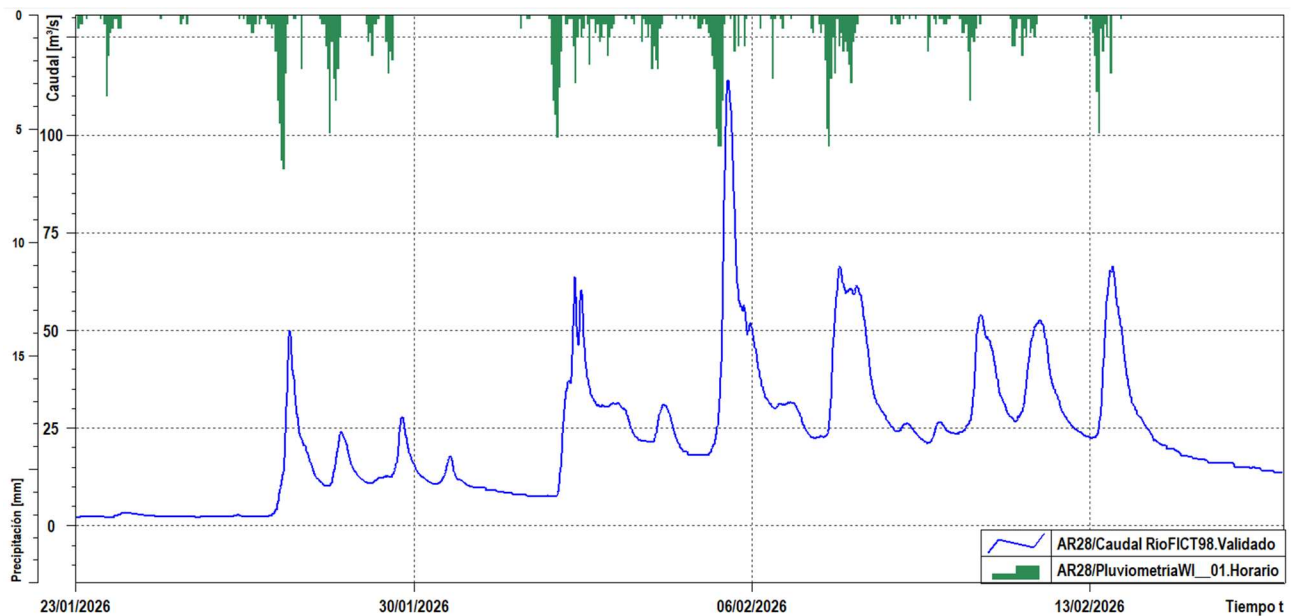
Situación de las estaciones SAIH en la cuenca del Tiétar.

En el sistema Tiétar se analizan caudales de las estaciones **AR28** – Tiétar en la Iglesuela, **AR34** – Arenal en arenas de San Pedro, **R225** – Madrigal de la Vera, **AR31** – Garganta Michones en Villanueva de la Vera, **R502** – Pozo del Rey, **AR32** – Garganta de Cuartos en Losar de la Vera y **AR33** – Garganta Jaranda en Jaráiz de la Vera.

A continuación, se presenta la gráfica de la estación R502 dónde se superaron los umbrales a lo largo del evento:

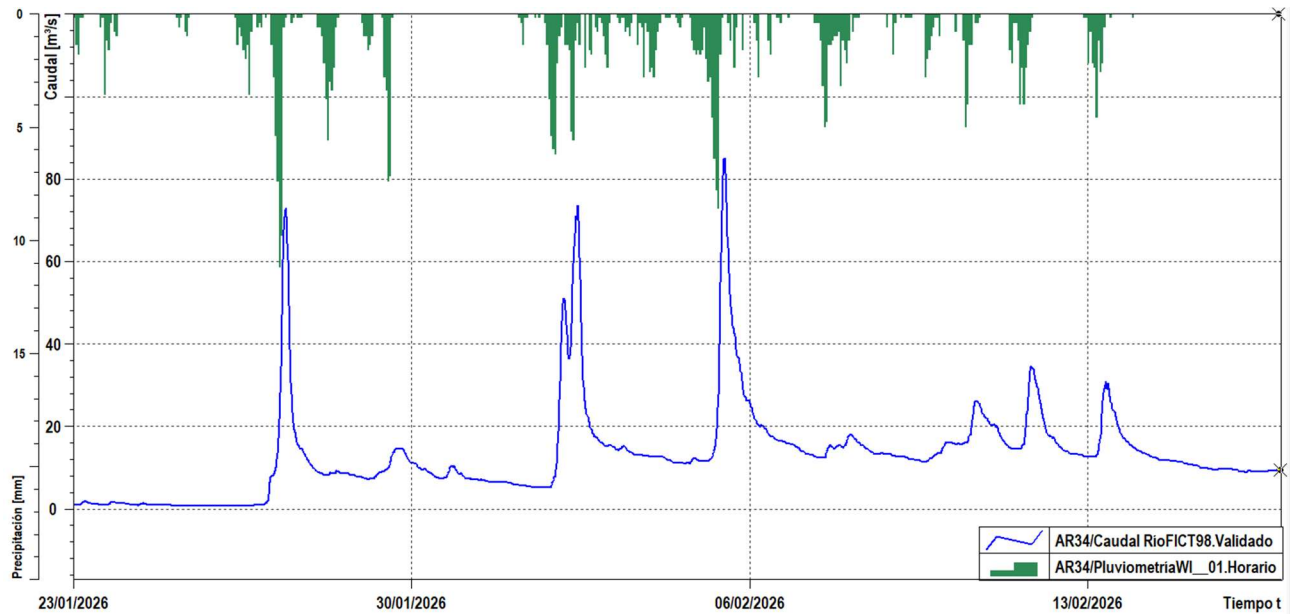


El primer punto a analizar es la **AR28**, situada en la zona alta del sistema Tiétar, en río Tiétar. El caudal máximo registrado ha sido de entorno a 115 m³/s.

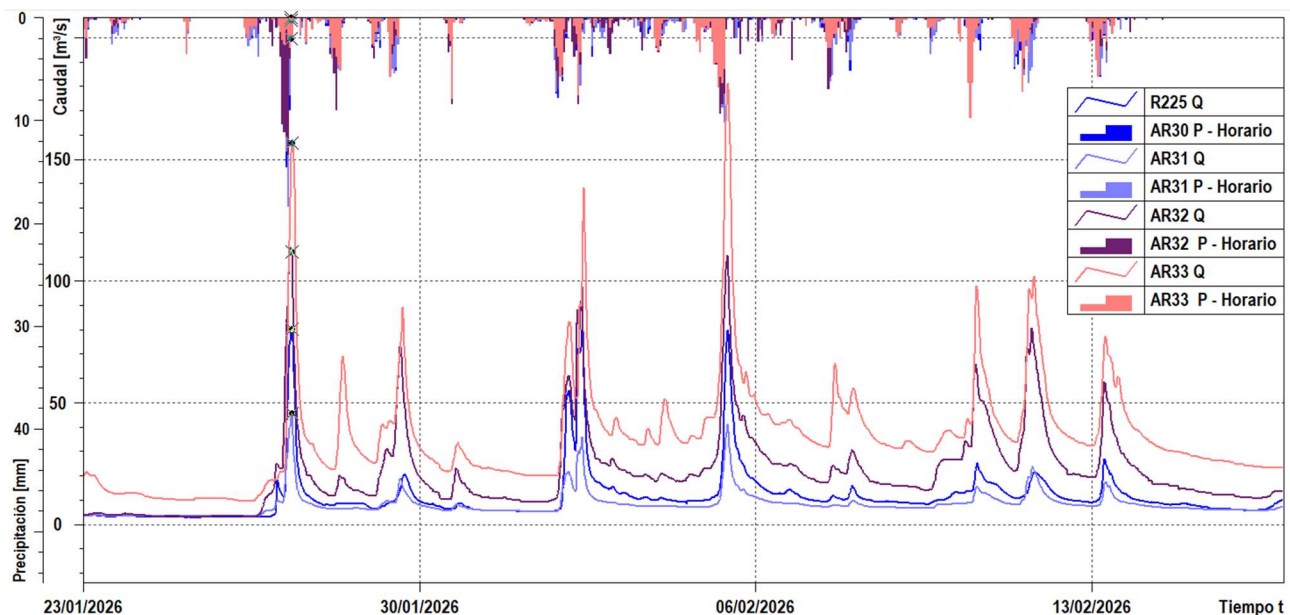


El **AR34**, en el río Arenal, es uno de los afluentes al Tiétar situado aguas arriba del embalse de Rosarito (**E_33**). El comportamiento del río Arenal, al igual que pasará con las estaciones situadas en zona de Gargantas, presenta un comportamiento muy rápido. Donde debido a las grandes pendientes de la cuenca, el agua responde de una forma rápida. Se tiene picos

elevados, pero rápidamente vuelve a bajar el cauda. Durante el tren de borrascas, se alcanzado un valor máximo de 85 m3/s.



Respecto a las gargantas de la zona del Tiétar, se analizará conjuntamente su funcionamiento, con fuerte subida del caudal y rápida vuelta a la normalidad.



El **R225**, en la Garganta de Araldos, es una de las principales gargantas que se incorporan al río Tiétar aguas abajo del embalse de Rosarito (**E_33**) Durante el tren de borrascas, se

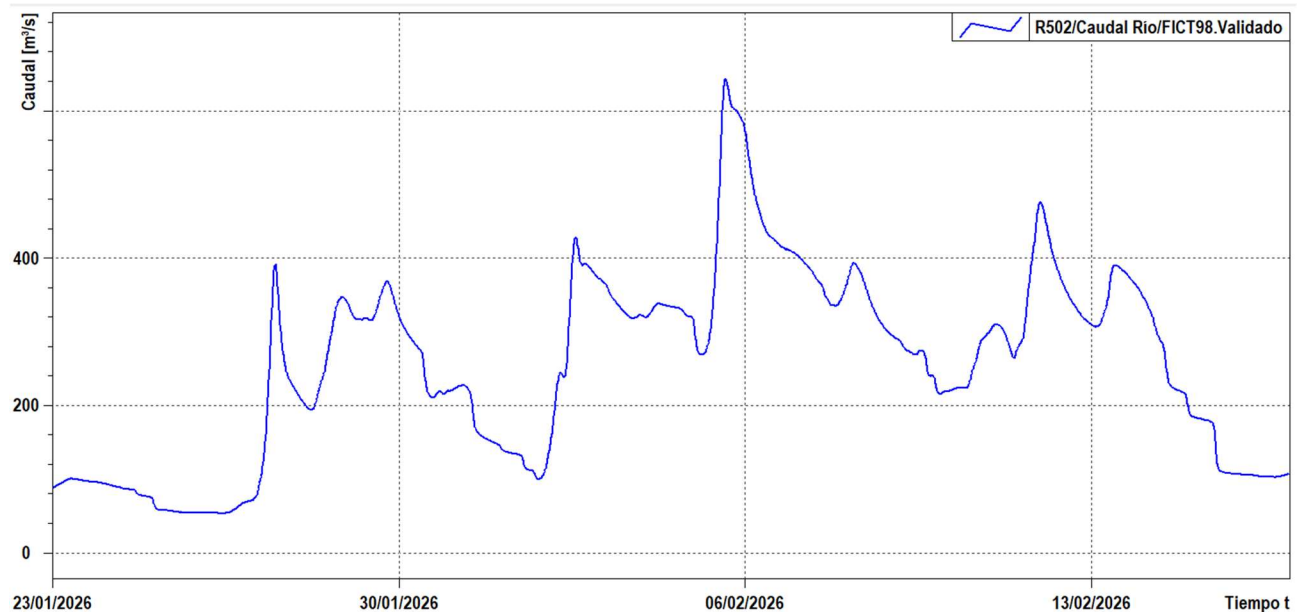
a alcanzado un valor máximo de 82,5 m³/s. Se puede apreciar en la gráfica además que las precipitaciones en la zona del Tiétar fueron importantes en cuantía y duración.

La **AR31**, en la garganta de Michones, tuvo un comportamiento muy similar, llegando a picos máximos superiores a los 45 m³/s.

La garganta Cuartos está monitorizada a través de la estación **AR32**. Durante el evento se llegó a caudales superiores a 100 m³/s.

La última garganta, integrada en el sistema SAIH, es la garganta de Jaranda a través de la estación AR33. En esta garganta a lo largo del día 5 de febrero se alcanzaron valores superiores a los 180 m³/s.

La estación **R502**, presenta un comportamiento que se asemeja a las salidas de la presa de Rosarito (**E_33**), con los picos generados por las dos gargantas importantes monitorizadas aguas arriba (**R225** y **AR31**) y la lluvia producida a lo largo del tren de borrascas.

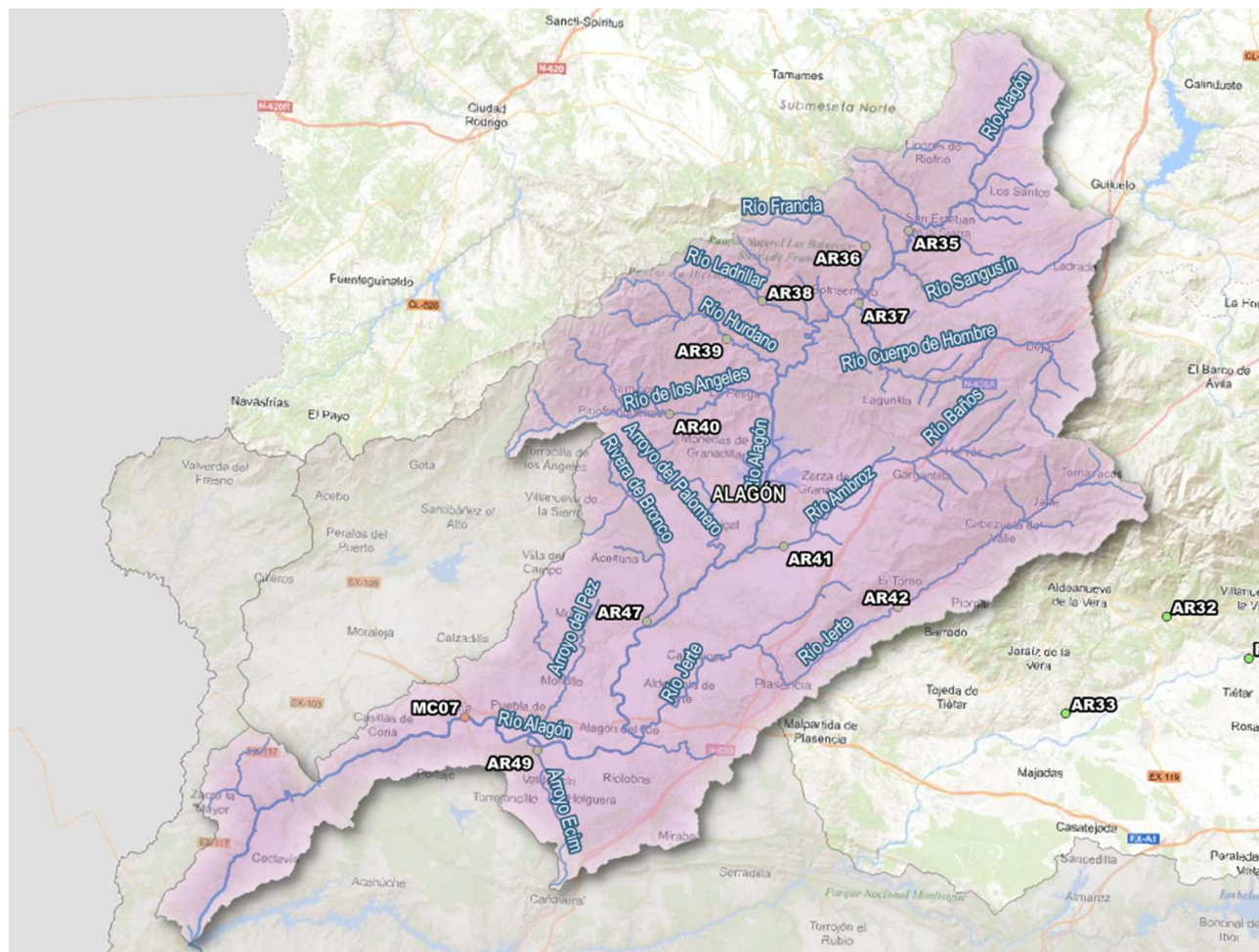


Finalmente, se indica para las estaciones de aforo analizadas los caudales asociados a niveles de retorno de acuerdo con el CAUMAX, para entender la magnitud de los caudales circulados por los cauces:

ESTACIÓN	Q _{P_EVENTO} [m ³ /s]	Q _{T=2} [m ³ /s]	Q _{T=5} [m ³ /s]	Q _{T=25} [m ³ /s]	Q _{T=100} [m ³ /s]
AR28	115	86	154		
AR34	85	180			
R225	82,5	117			
AR31	45	70			
R502	620	650			
AR32	100	65	104		
AR33	180	187			

En el sistema Tiétar, los caudales han estado cercanos a los 2 años de periodo de retorno. Superando en algunas gargantas este valor, y generando una escorrentía en la zona baja del sistema cerca a los valores del periodo de retorno de 5 años.

7.8. HIDROGRAMAS SISTEMA ALAGÓN

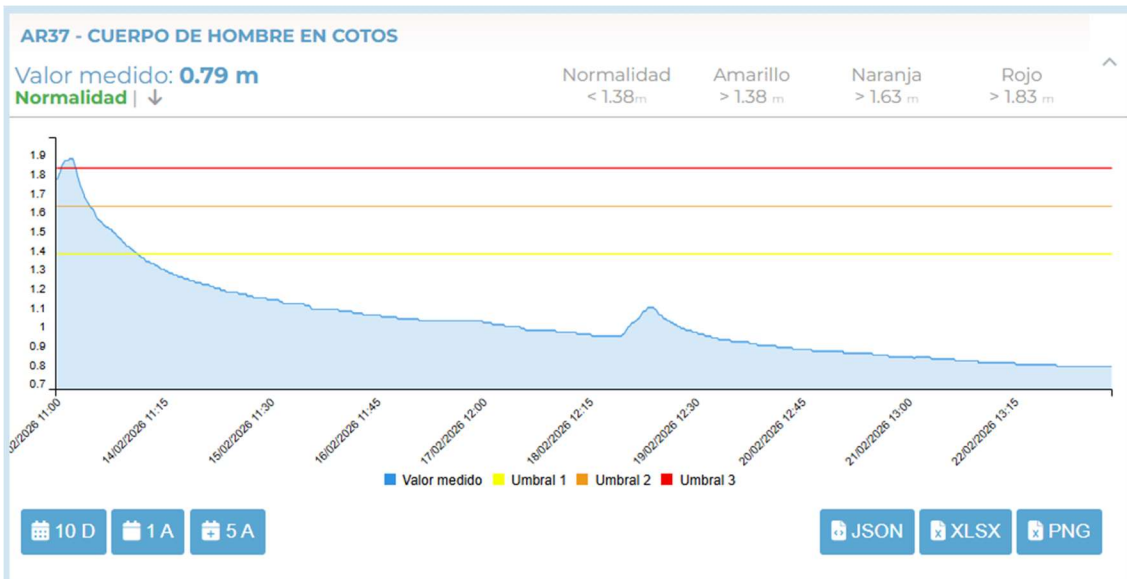
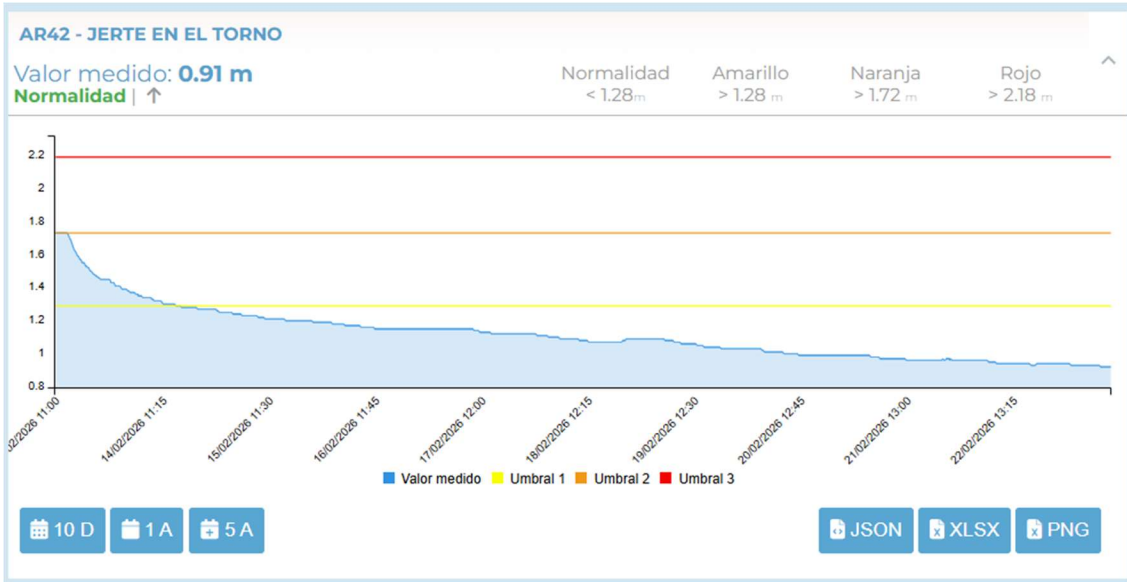


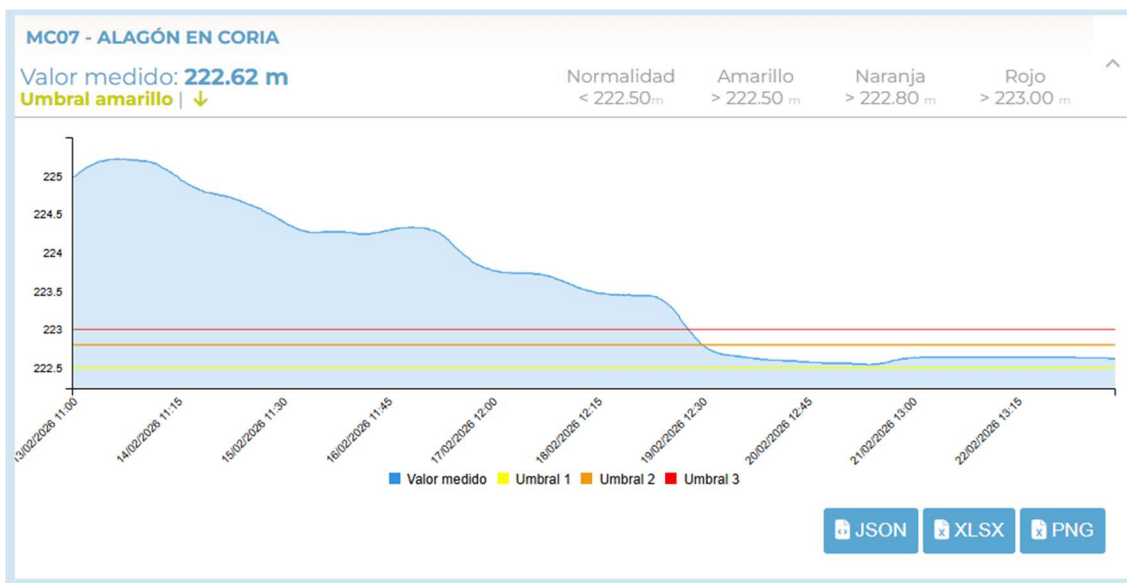
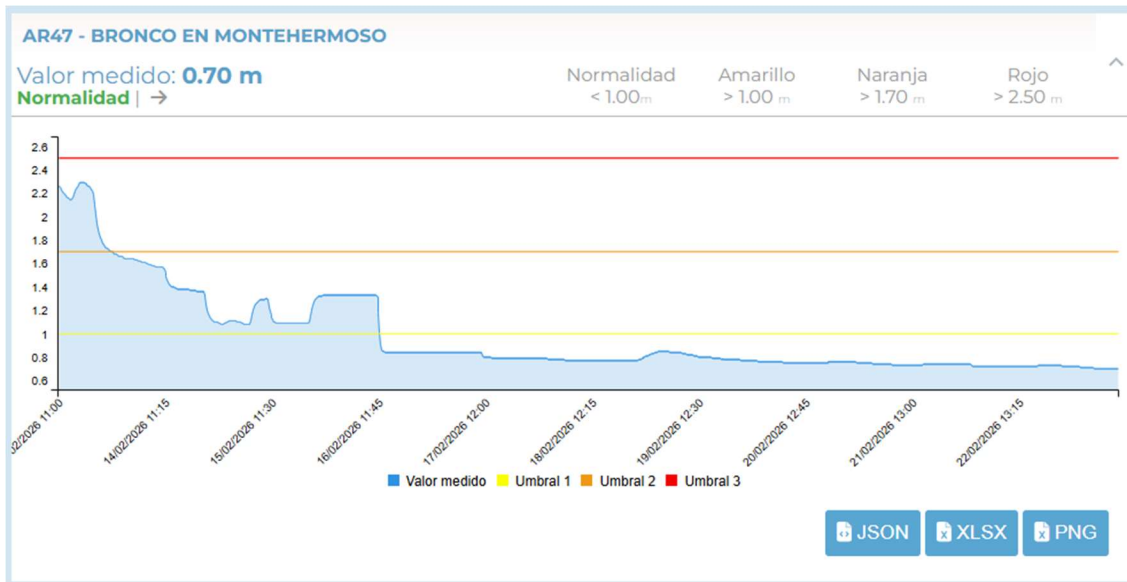
Situación de las estaciones SAIH en la cuenca del Alagón.

En el sistema Alagón se analizan caudales de las estaciones **AR42** – Jerte en el Torno, **AR48** – Arroyo de las Monjas el Batán, **AR35** – Alagón en Garcibuey, **AR36** – Francia en Miranda del Castañar, **AR37** – Cuerpo de Hombre en Cotos, **AR38** – Batuecas en el Ladrillar, **AR39** – Hurdano en Muñomoral, **AR40** – Los Ángeles en Casar del Palomero, **AR41** – Ambroz en el Villar, **AR47** – Bronco en Montehermoso y **AR49** – El Encín en el azud del Encín.

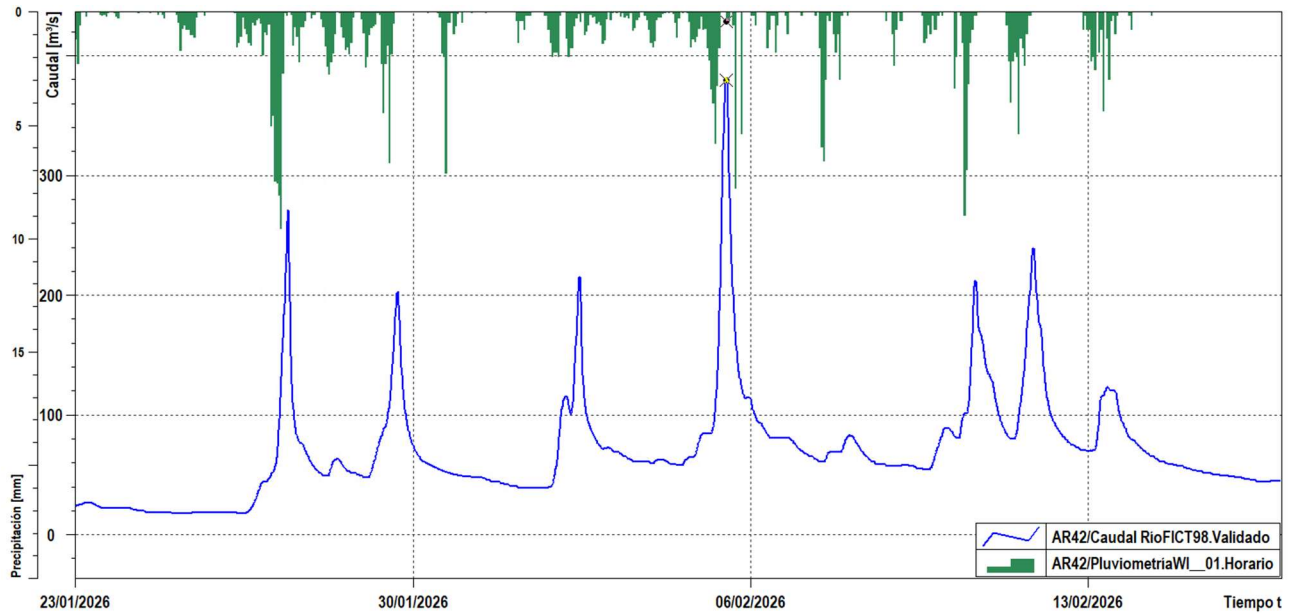
Asimismo, se analizarán los niveles alcanzados en el **MC07** - Alagón en Coria.

A continuación, se presentan las gráficas de algunas de las estaciones del sistema que superaron los umbrales a lo largo del evento. Por ejemplo:



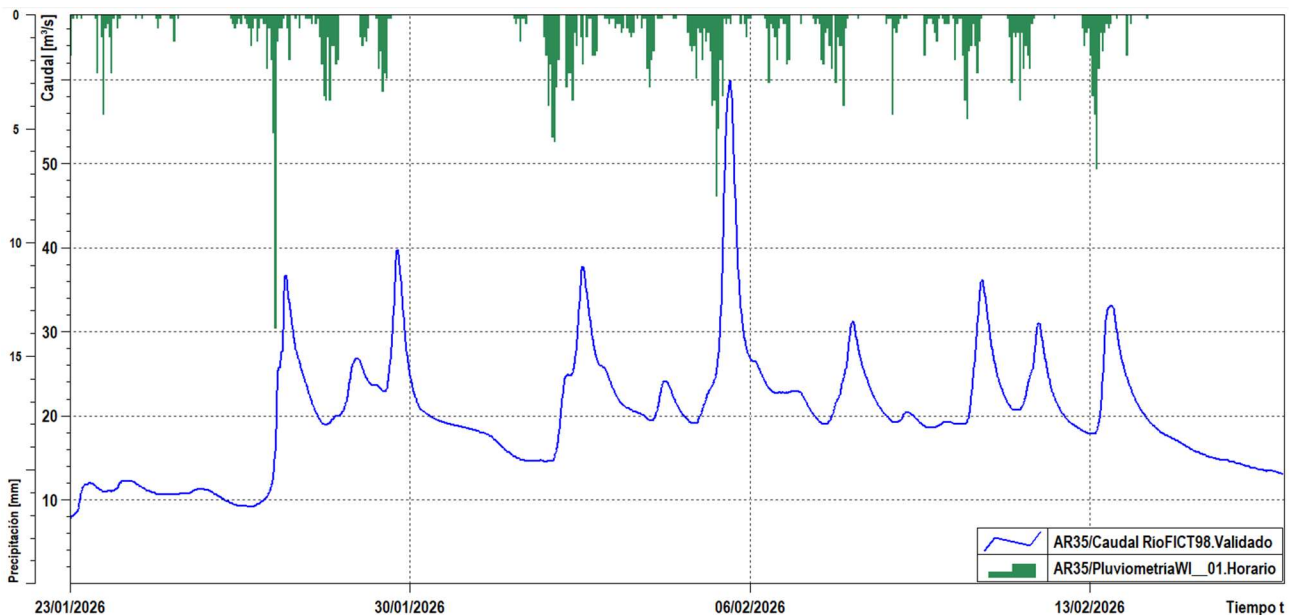


El primer lugar se analiza la estación situada en el río Jerte. La **AR42**, estación situada en la cola del embalse del Jerte (**E_40**) ha tenido varias puntas durante el evento, siendo el mayor caudal medido de un valor entorno a los 380 m³/s.

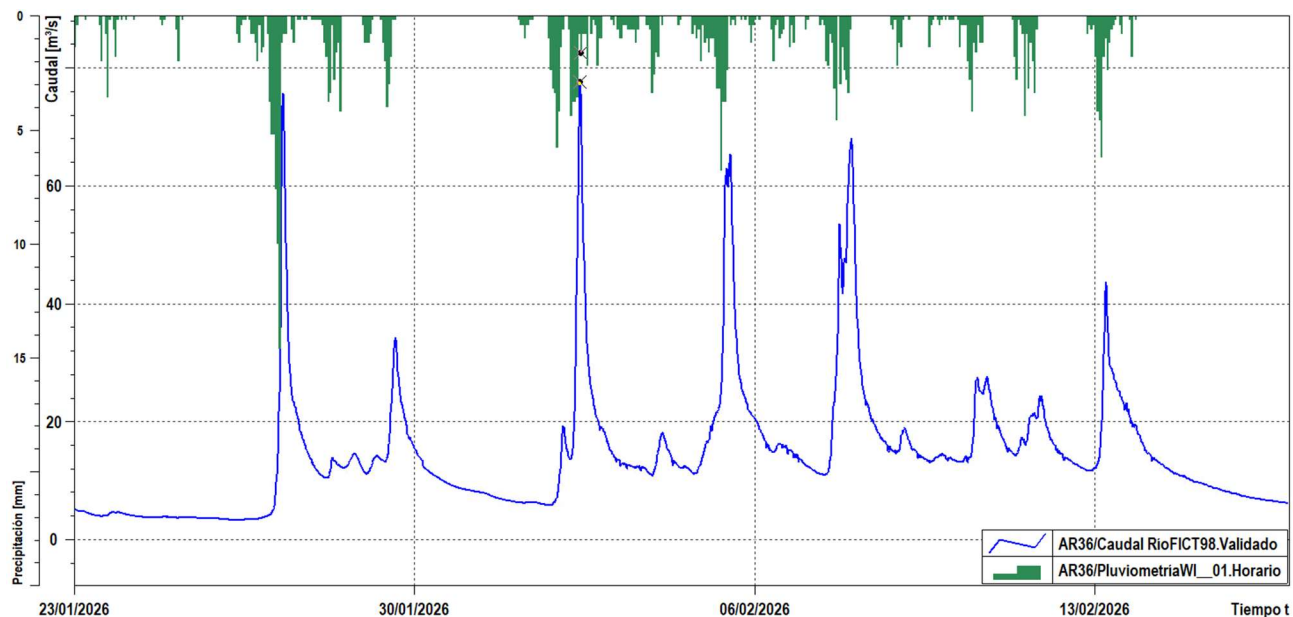


A continuación se analiza la zona de cabecera del río Alagón.

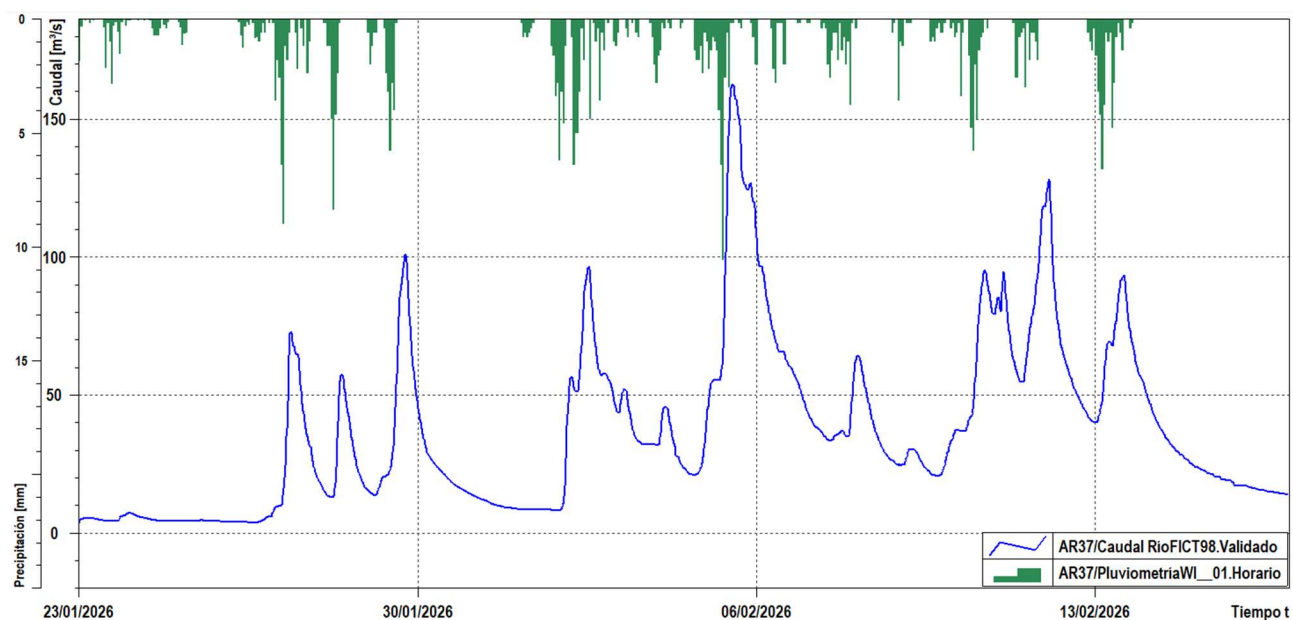
En primer lugar se comenta la estación **AR35**. En esta zona se han tenido picos de 60 m³/s.



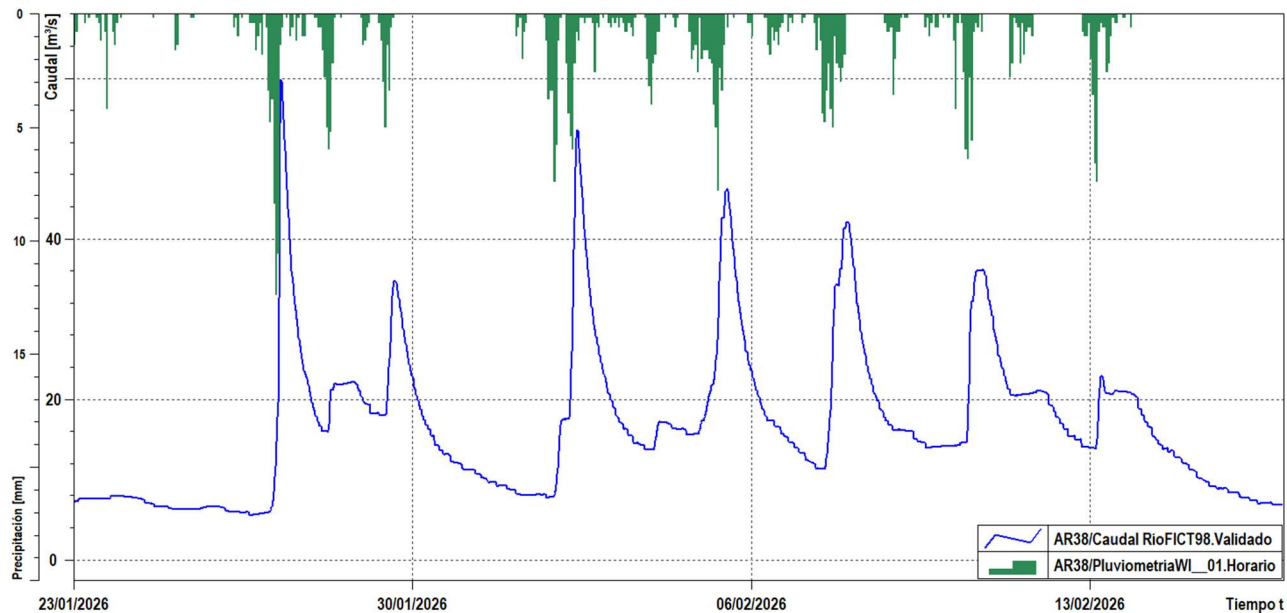
La siguiente estación será la **AR36**, situada en el río Francia, afluente del Alagón. Se han medido picos un poco inferiores a los 80 m³/s.



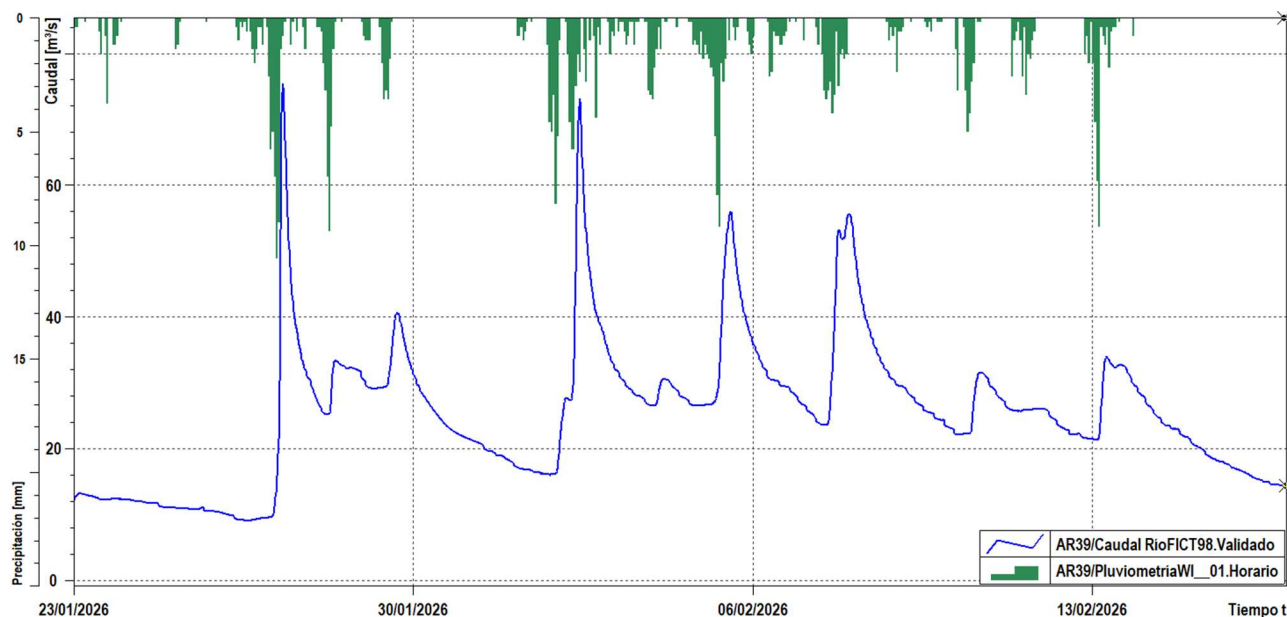
La **AR37**, situada en el río Cuerpo de Hombre, llegó a valores superiores a los 160 m³/s.



En el río Ladrillar, la **AR38** alcanzó valores cercanos a los 60 m³/s durante la primera semana del evento.

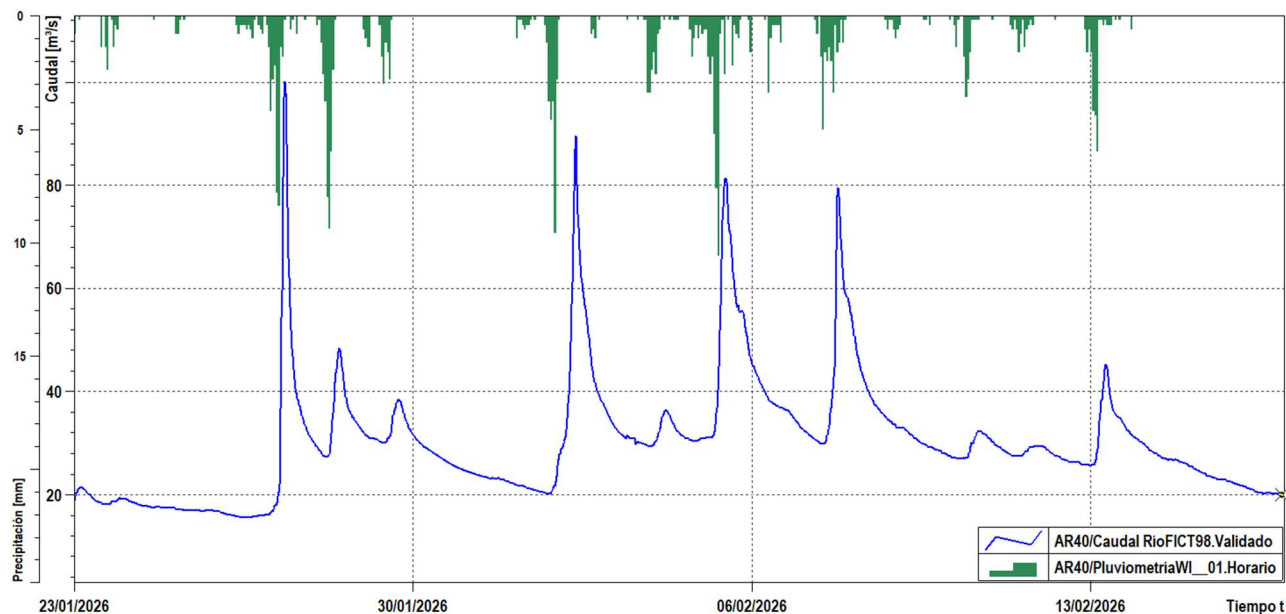


El siguiente afluente al río Alagón es el río Hurdano, donde está la estación **AR39**. A lo largo de la primera semana del evento se alcanzó el pico en la estación, llegando a valores de 75 m³/s.



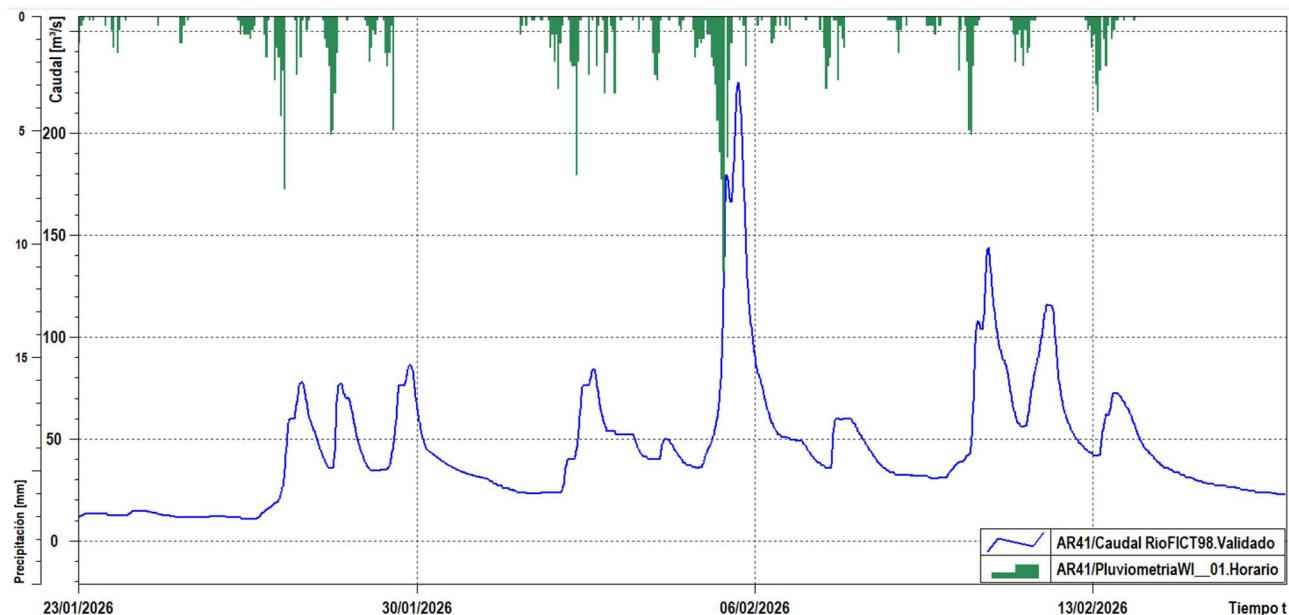
En el río Los Ángeles, último de los afluentes monitorizados en la zona de cabecera del río Alagón, la **AR40**, se aprecia el mismo patrón que en el resto de afluentes. Durante la

primera semana, en esta estación se ha llegado a los 100 m³/s, y el resto del evento importantes crecidas adicionales debidas al tren de borrascas.

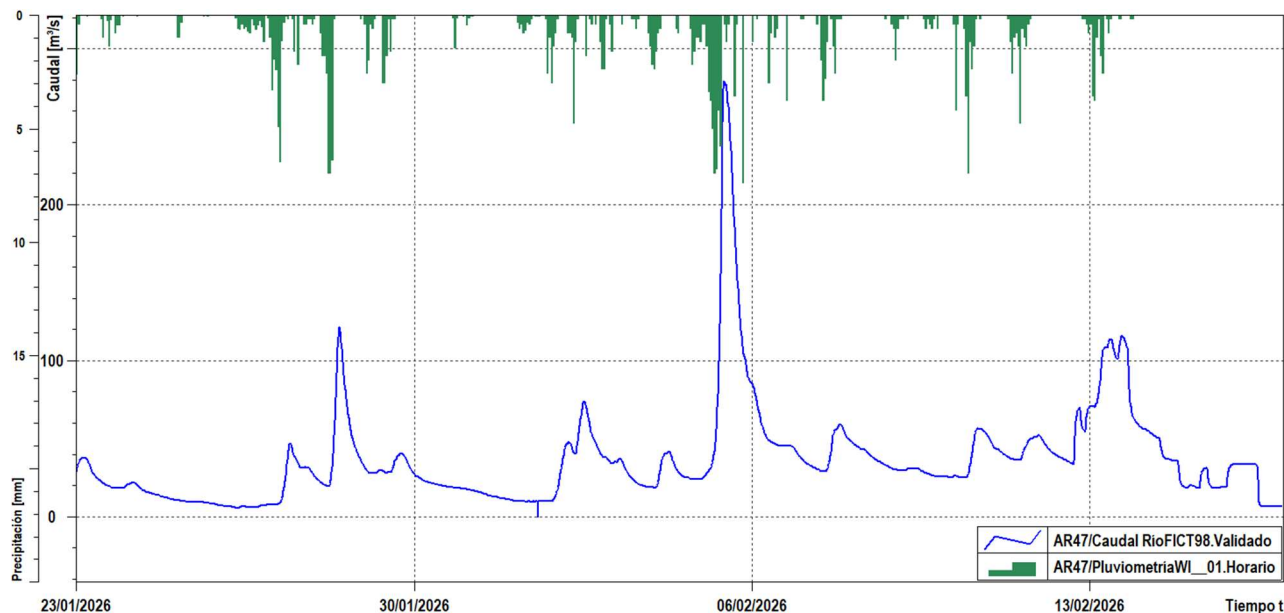


Las siguientes estaciones ya se sitúan en tramos más centrales del río Alagón.

La **AR41**, se encuentra en el río Ambroz y este afluente aporta caudales al Alagón entre el embalse de Gabriel y Galán (**E_36**) y el de Valdeobispo (**E_39**). En esta zona del sistema Alagón, las principales lluvias se produjeron durante la segunda semana del evento, llegando a caudales cercanos a los 225 m³/s.

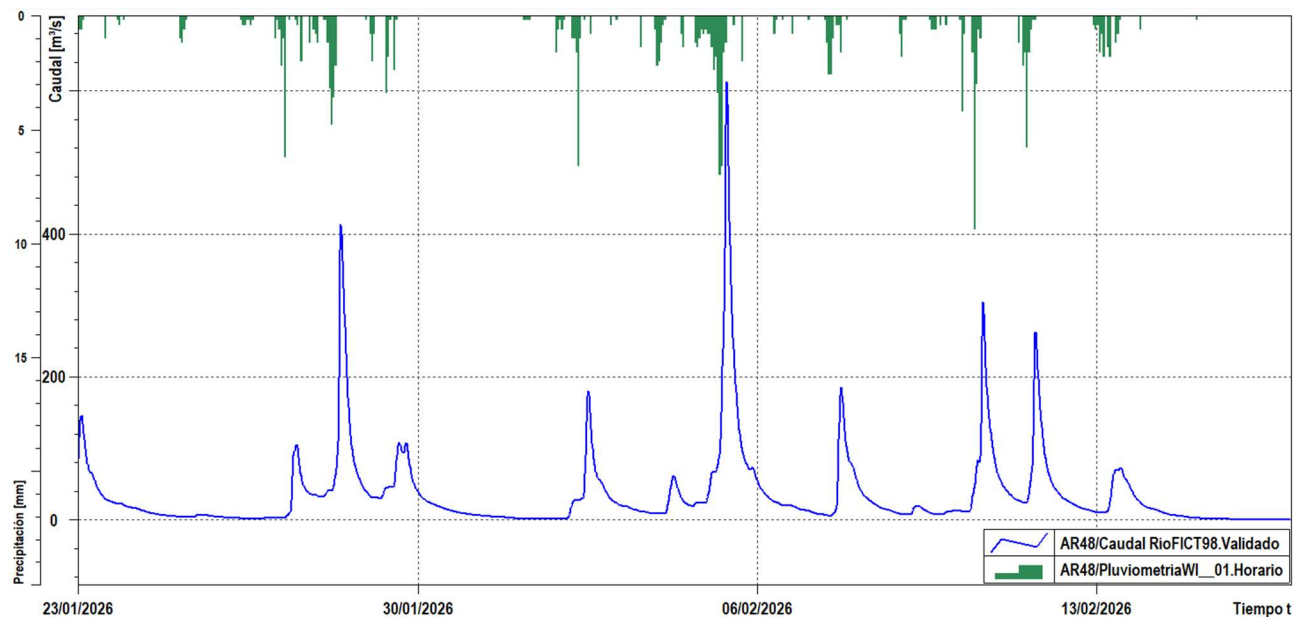


La **AR47**, en el río Bronco, se incorpora al río Alagón aguas abajo del embalse de Valdeobispo (E_39). En esta estación se aprecia un comportamiento similar a la del río Ambroz, teniendo un caudal máximo durante el tren de borrascas en la segunda semana, con un valor practicamente de 280 m³/s.

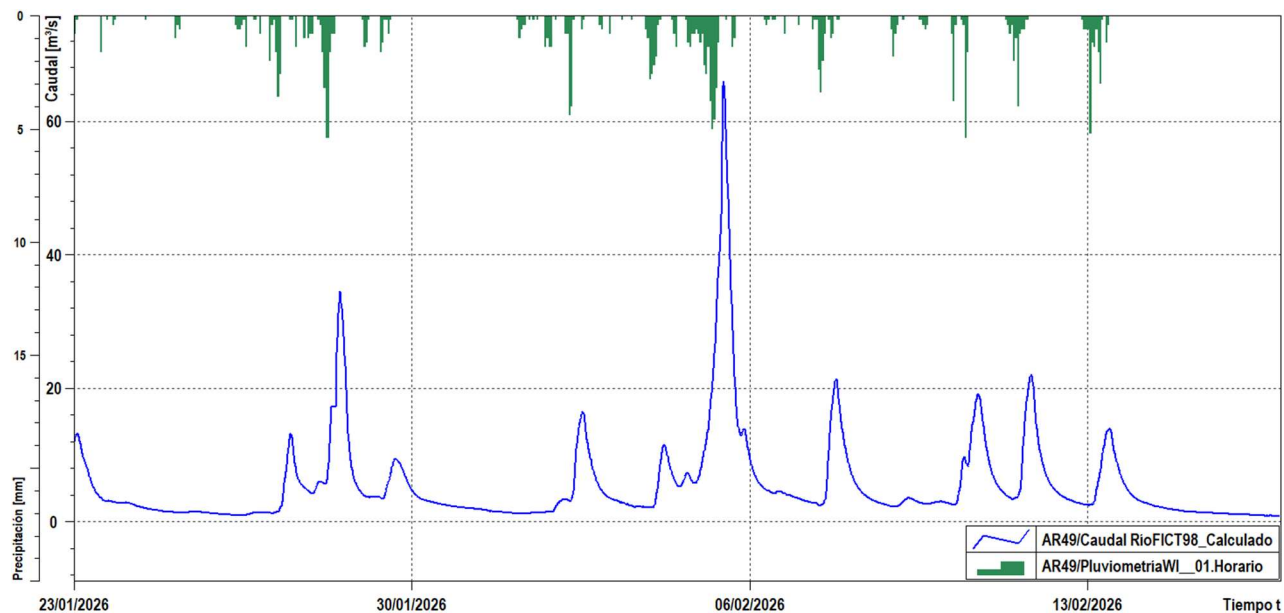


La estación de aforo en el **AR48** para niveles altos del embalse de ALCANTARA, produce niveles altos en la estación no debidos a la lluvia sino a la cola del embalse, esto desvirtua los caudales.

Pasa lo mismo en la **AR43** y habría que ver que pasa para la **R940** una vez se vuelva a activar.

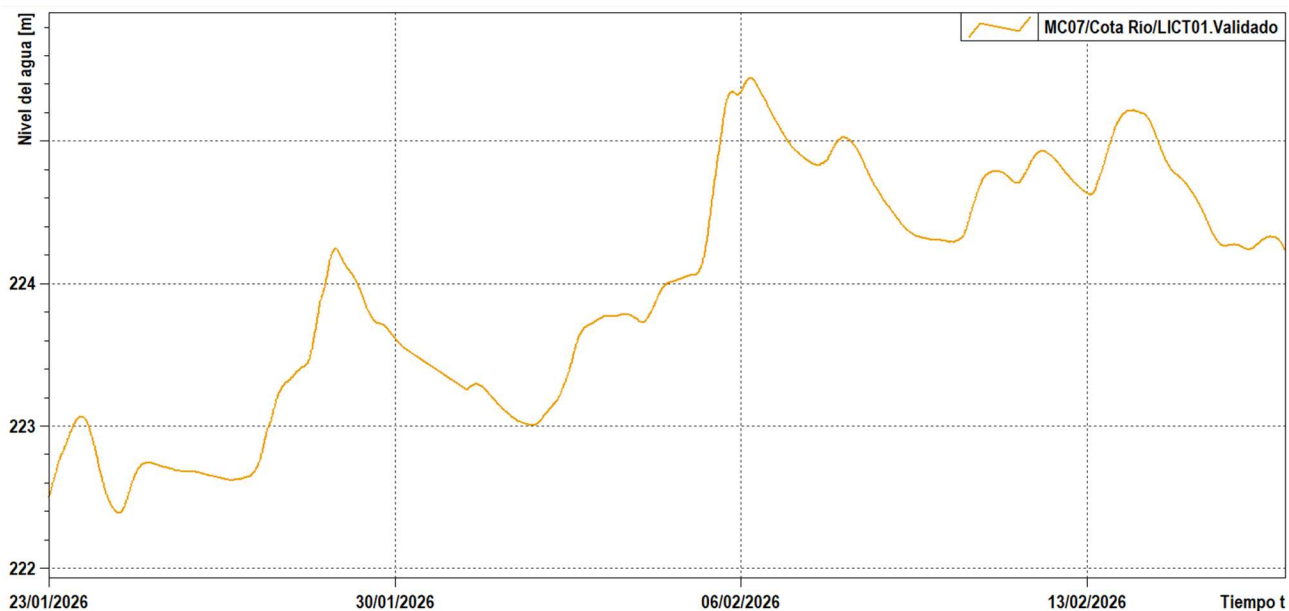


El último afluente a analizar en este sistema es el procedente el arroyo El Encin, la **AR49**. Durante el evento se ha presentado la punta durante la segunda semana del evento, alcanzando un valor superior a los 65 m³/s.



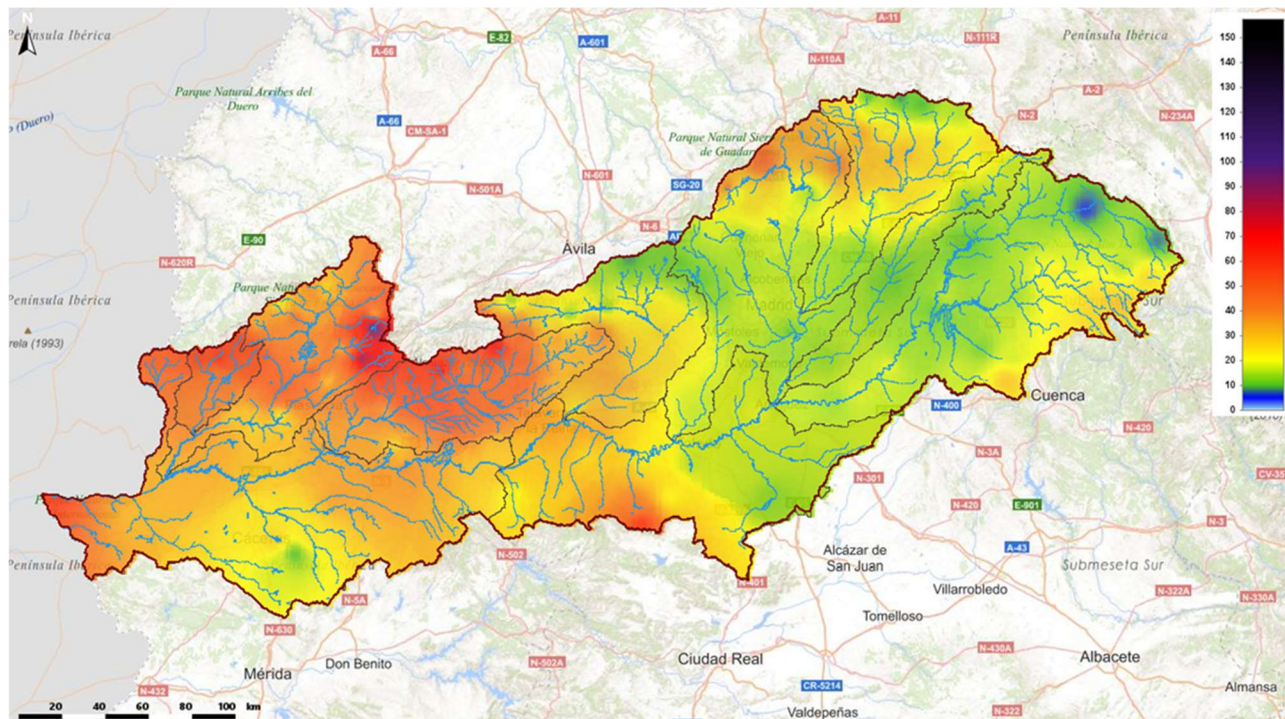
La ciudad de Coria a lo largo del evento ha sido uno de los lugares más afectados por el alto nivel del río Alagón. Posteriormente, en el punto 11 del informe se realiza un análisis de las zonas inundadas vistas a través de imágenes satélite. En este punto, se analizan los niveles alcanzados en la estación **MC07** - Alagón en Coria.

Los mayores niveles se registraron durante el día 06/02 llegando a un valor de 225,44 m. Para tener un orden de magnitud del nivel extraordinario alcanzado a lo largo del tren de borrascas, se puede ver que el día 26/02 el nivel del agua era 222,66 m, diferencia de casi 3 m.

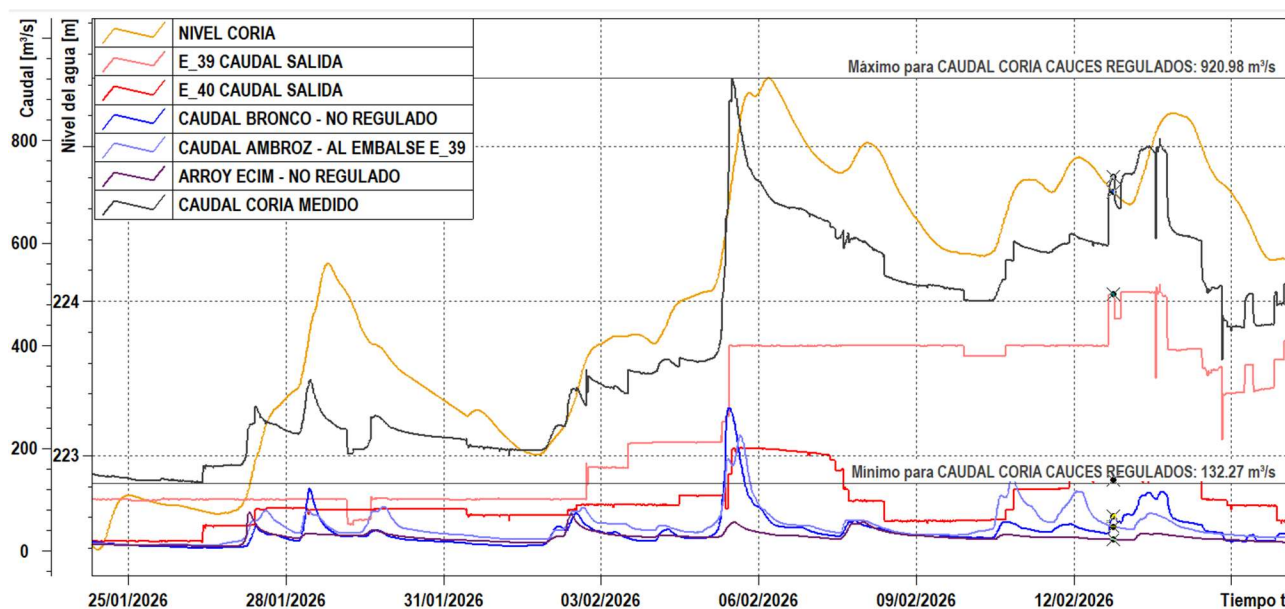


Este nivel máximo alcanzado es explicado por las aportaciones de los afluentes al río Alagón no regulados y los desembalse en Valdeobispo (E_39) y Jerte (E_40) como consecuencia de los importantes caudales de entrada que se estaban produciendo en ambos embalses, ligadas a la gran cantidad de escorrentía superficial producida por las continuadas lluvias del día 05/02.

En primer lugar se presenta una imagen de la precipitación acumulada a lo largo del día 05/02.

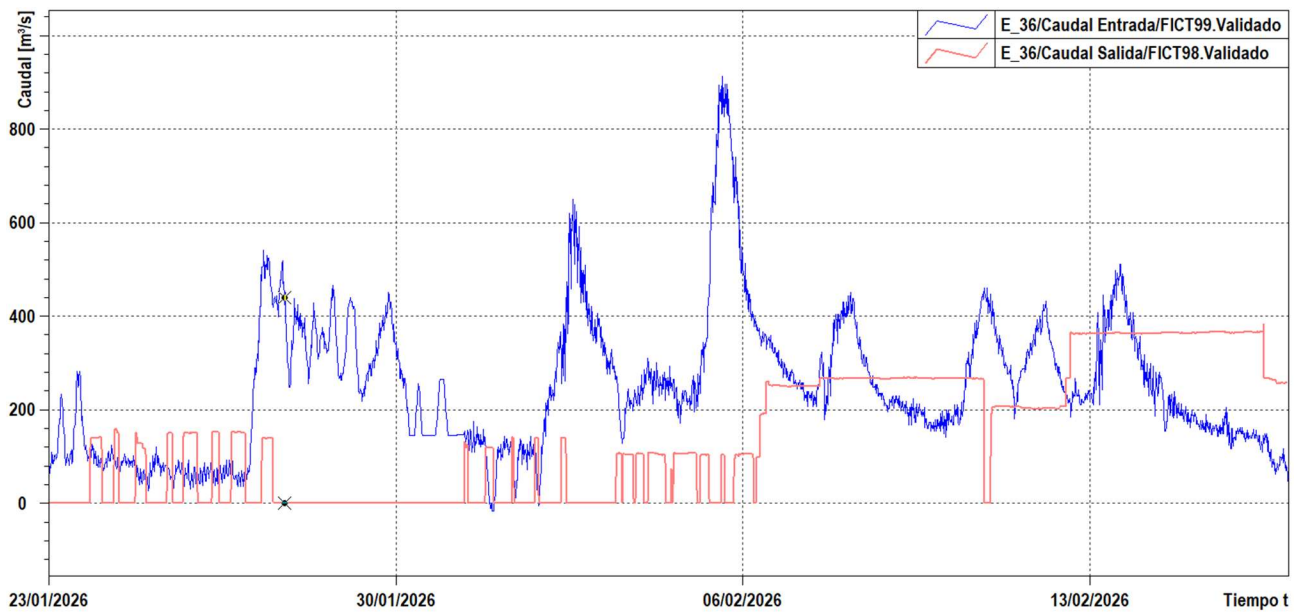


A continuación, se presenta una gráfica con los hidrogramas de las estaciones de aforo y embalses que su funcionamiento afecta a Coria. Se añade una señal que es la suma de los caudales estimando así el caudal pico de Coria. Este valor es menor al real pues hay cauces no regulados que afectan a la ciudad. El caudal calculado estimado es mayor a 900 m³/s.



Finalmente hay de destacar que las entradas al embalse de Valdeobispo, eran considerablemente menores debido a la importante laminación realizada por la presa Gabriel y Galán (E_36). Se tenía entradas de más de 850 m³/s y las salidas no llegaron a los 240 m³/s.

Los caudales a Coria, **sin el efecto laminador de Gabriel y Galán** se ubiesen **incrementado en más de 600 m³/s**.



Finalmente, se indica para las estaciones de aforo analizadas los caudales asociados a niveles de retorno de acuerdo con el CAUMAX, para entender la magnitud de los caudales circulados por los cauces:

ESTACIÓN	Q _{P_EVENTO} [m ³ /s]	Q _{T=2} [m ³ /s]	Q _{T=5} [m ³ /s]	Q _{T=25} [m ³ /s]	Q _{T=100} [m ³ /s]	Q _{T=500} [m ³ /s]
AR35	60	108				
AR36	80	55	97			
AR37	160	243				
AR38	60	45	82			
AR39	75	57	101			
AR40	100	80	143			

AR41	225	90	168	310		
AR42	380	260	436			
AR47	280	55	102	189	283	
AR49	65	7	16	34	52	81

En la zona alta de la cuenca vertiente al embalses de Gabriel y Galán (**E_36**) se observa que los caudales de los ríos presentaban valores cercanos al periodo de retorno de 2 años, superandolo en algunos casos.

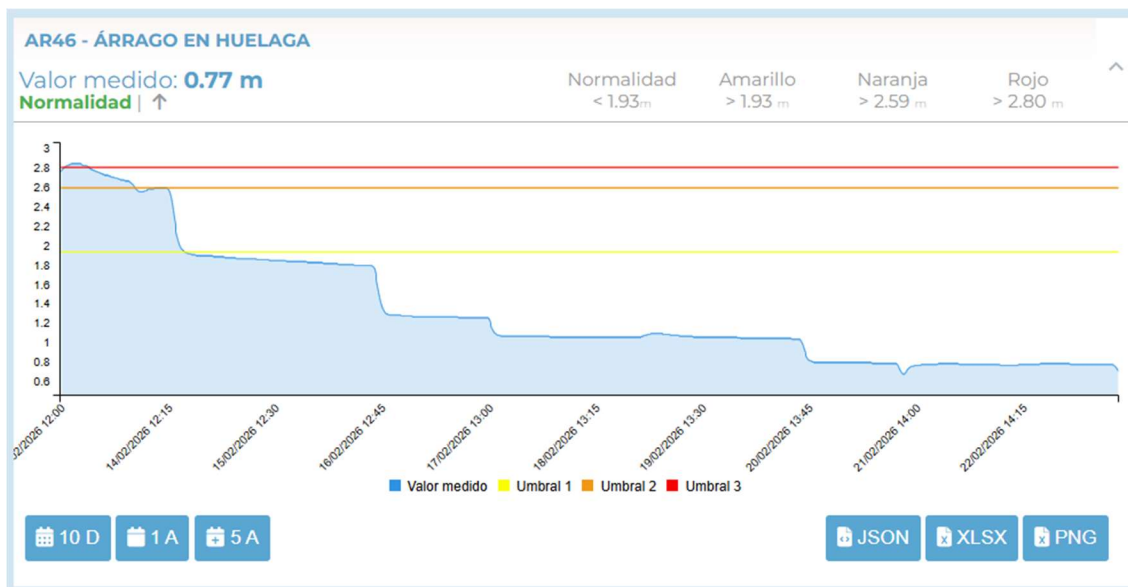
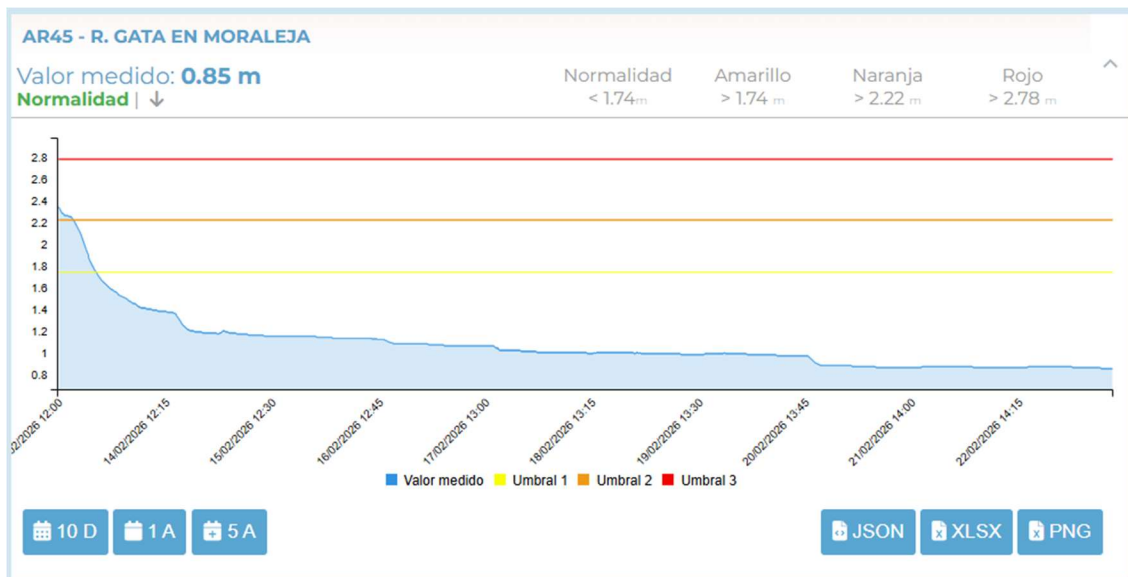
El río Ambroz (**AR41**) superó valores del periodo de retorno de 5 años, incorporando estos caudales al embalse de Valdeobispo (**E_39**)

Aguas abajo de la presa **E_39** el río Bronco (**AR47**) alcanzó prácticamente valores de caudal de 100 años de periodo de retorno, que se incorporaban al río Alagón ya sin ninguna infraestructura hidráulica de laminación hasta la presa de Alcántara (**E_45**).

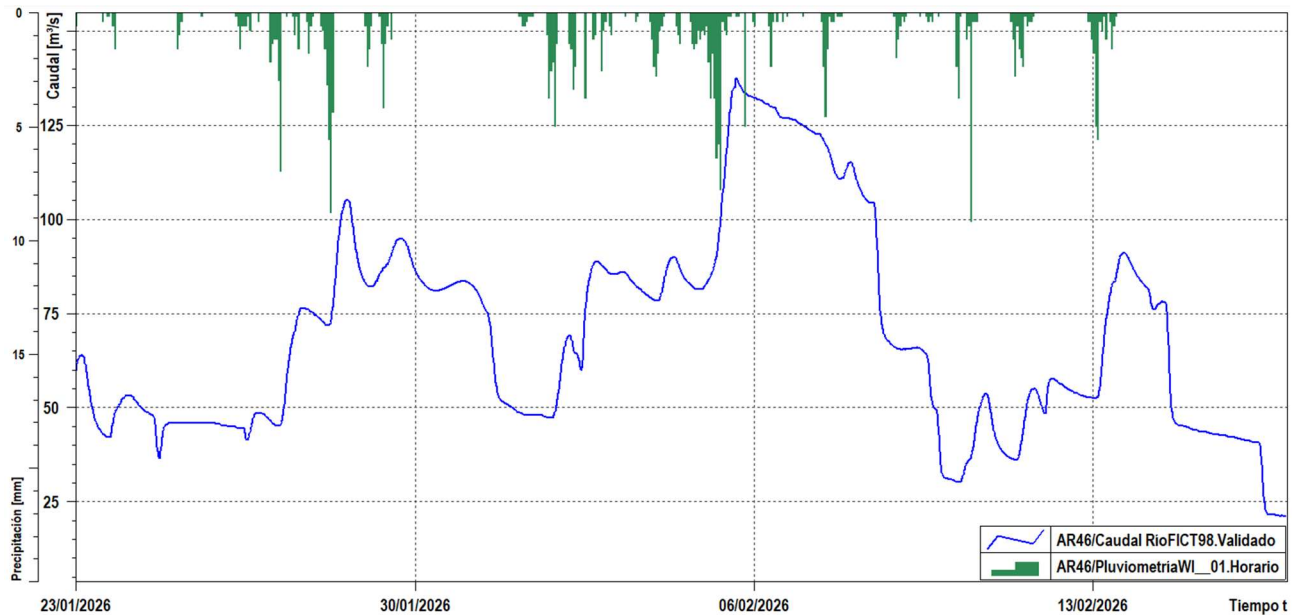
Los caudales aportados por el río Jerte, regulado por la presa del Jerte (**E_40**), han superado los dos años de periodod de retorno.

Finalmente, en el Arroyo El Encin, se supera también los 100 años de periodo de retorno, incorporandose sus caudales al río Alagón.

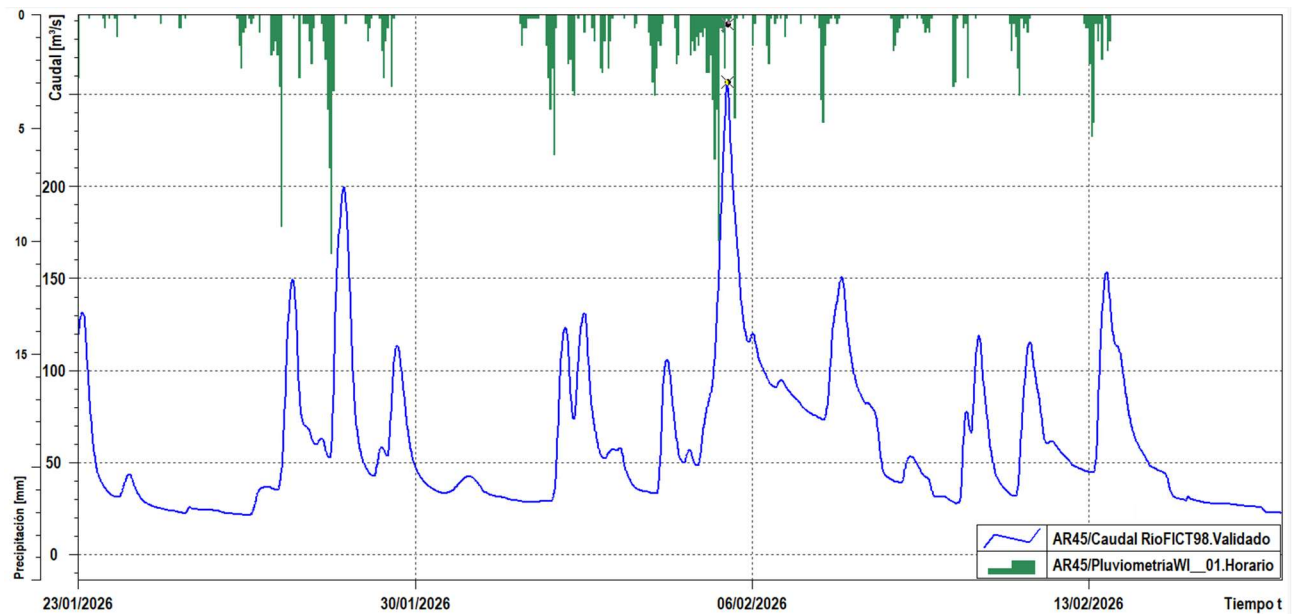
A la altura de Coria (**MC07**) se estima que el río Alagón ha superado los caudales asociados al periodo de retorno de 2 años.



La primera estación a analizar es la **AR46** en el río Árrago, aguas abajo de la presa Borbollón (E_41). Se han alcanzado valores superiores a 135 m³/s a lo largo de la segunda semana del tren de borrascas.

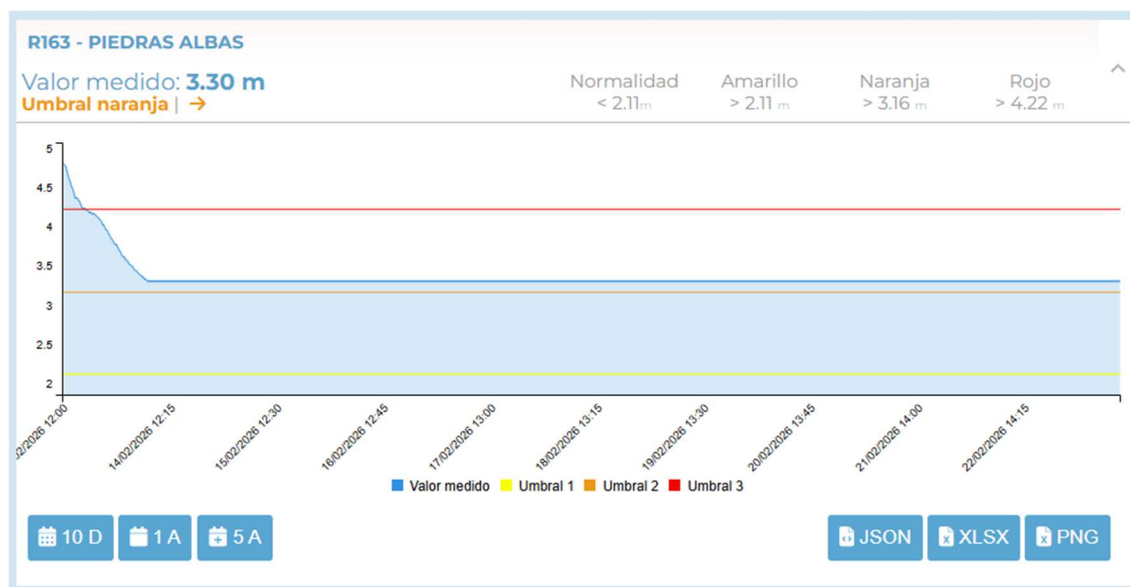
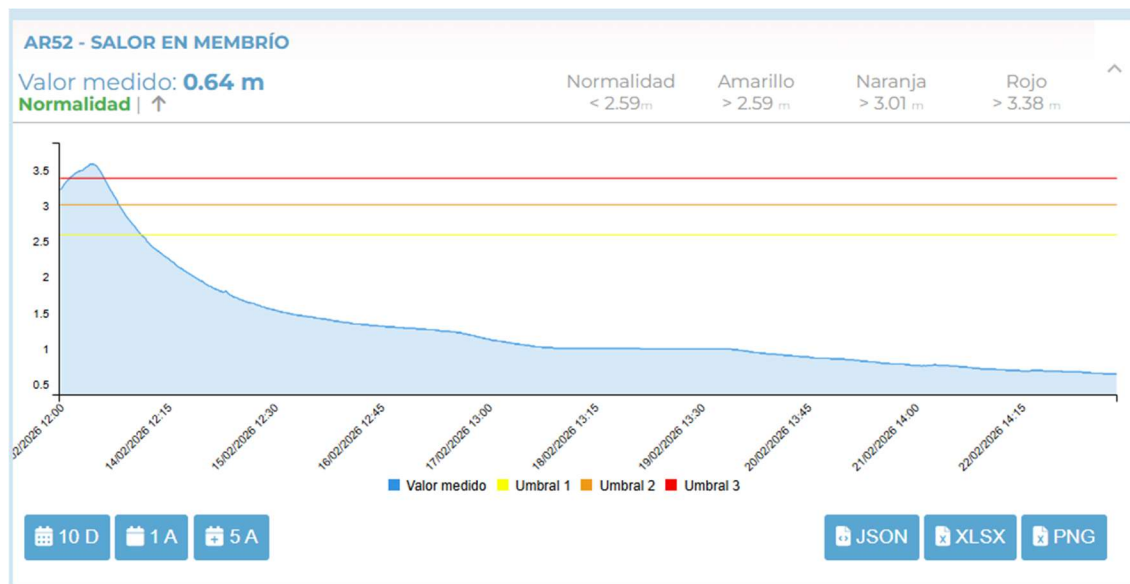


En el río Rivera de Gata, se encuentra ubicada la estación **AR45**. En este punto los valores máximos alcanzados han sido de 250 m³/s.

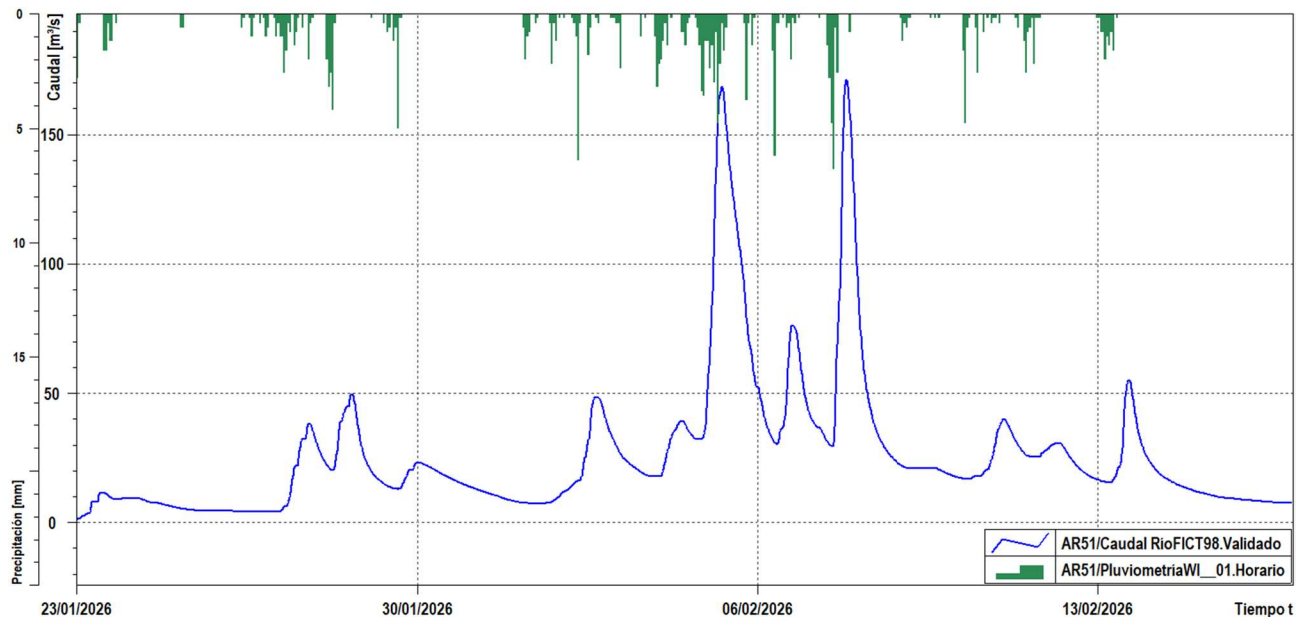


Finalmente, se indica, para las estaciones de aforo analizadas, los caudales asociados a niveles de retorno de acuerdo con el CAUMAX, para entender la magnitud de los caudales circulados por los cauces:

A continuación, se presentan las gráficas de algunas de las estaciones del sistema que superaron los umbrales a lo largo del evento. Por ejemplo:

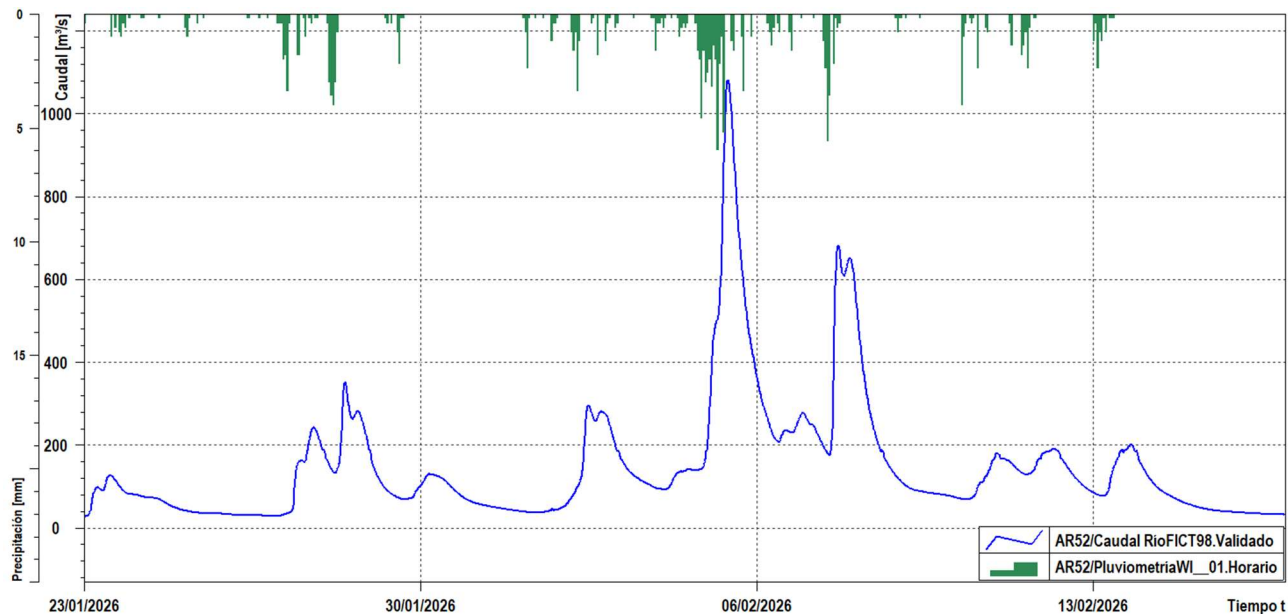


La primera estación a analizar es la **AR51** en el río Tamuja, el cual se incorpora al embalse de Alcántara (**E_45**). Ha tenido 2 importantes picos, que alcanzan los 170 m³/s.

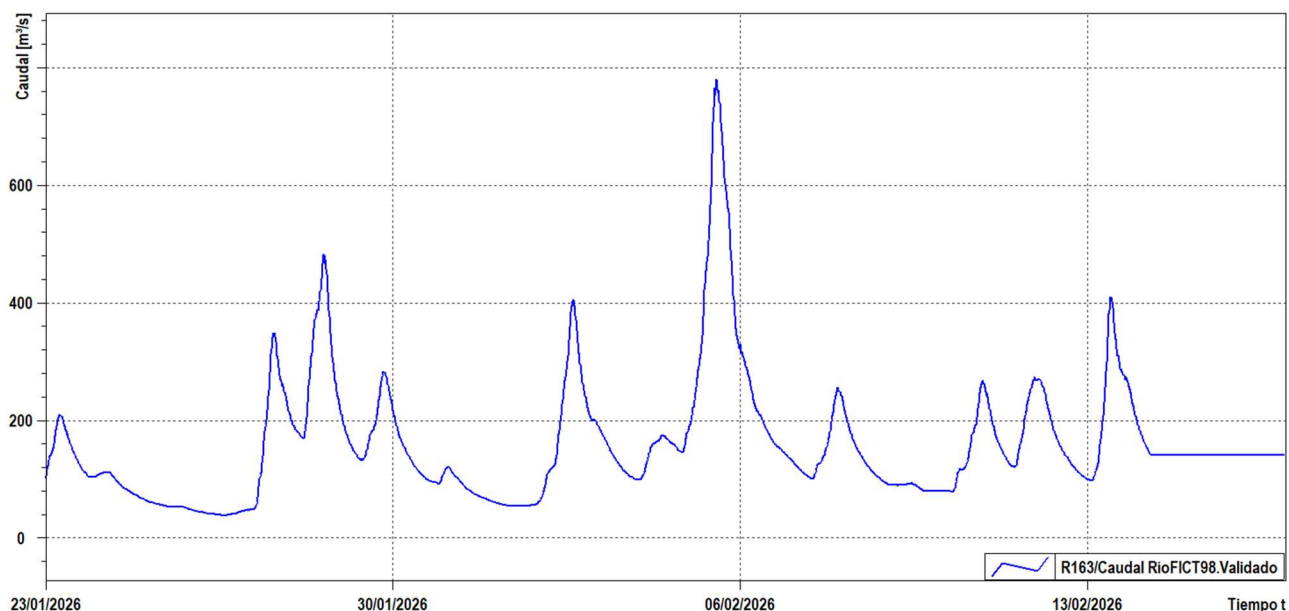


Las dos estacione siguientes se encuentran ya aguas abajo de la presa de Alcántara (**E_45**) y por lo tanto son caudales de entrada a añadir a las salidas de la **E_45** para la presa de Cedillo (**E_47**).

La primera que se analiza es la **AR52**, en el río Salor. Durante el día 5 de febrero se tuvo caudales cercanos a los 1.100 m³/s.



La **R163**, en el río Erjas, presenta el siguiente hidrograma, con valores que alcanzaron los 775 m³/s, también durante el día 5 de febrero.



Finalmente, se indica, para las estaciones de aforo analizadas, los caudales asociados a niveles de retorno de acuerdo con el CAUMAX, para entender la magnitud de los caudales circulados por los cauces:

ESTACIÓN	Q _{P_EVENTO} [m ³ /s]	Q _{T=2} [m ³ /s]	Q _{T=5} [m ³ /s]	Q _{T=25} [m ³ /s]	Q _{T=100} [m ³ /s]	Q _{T=500} [m ³ /s]
AR51	170	199				
AR52	1100	193	383	732	1072	1534
R163	775	171	282	469	666	942

En el sistema Bajo Tajo, se pueden observar los mayores caudales del evento en cauces. En el caso del río Salor (**AR52**), se ha superado los 100 años de periodo de retorno. Misma situación ha sucedido en el río Erjas (**R163**). Estos caudales llegan directamente al embalse de Cedillo (**E_47**).

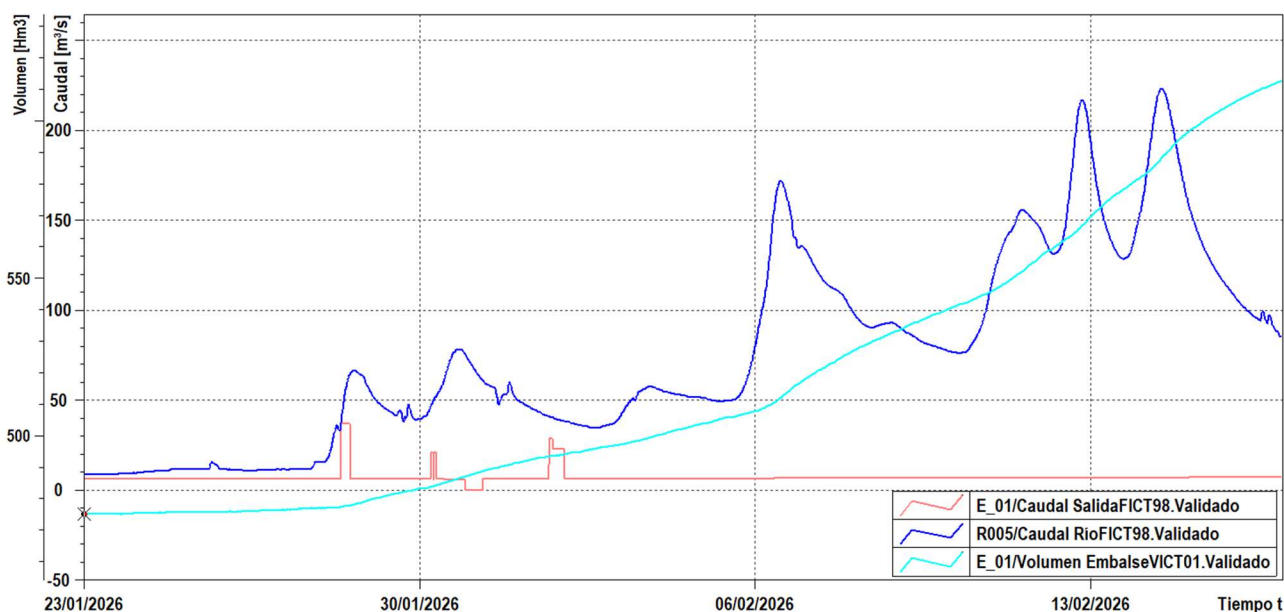
8. GESTIÓN DE EMBALSES

A continuación, se analizan por embalses o sistema de embalses la gestión y/o laminación realizada.

8.1. PRESAS SISTEMA CABECERA

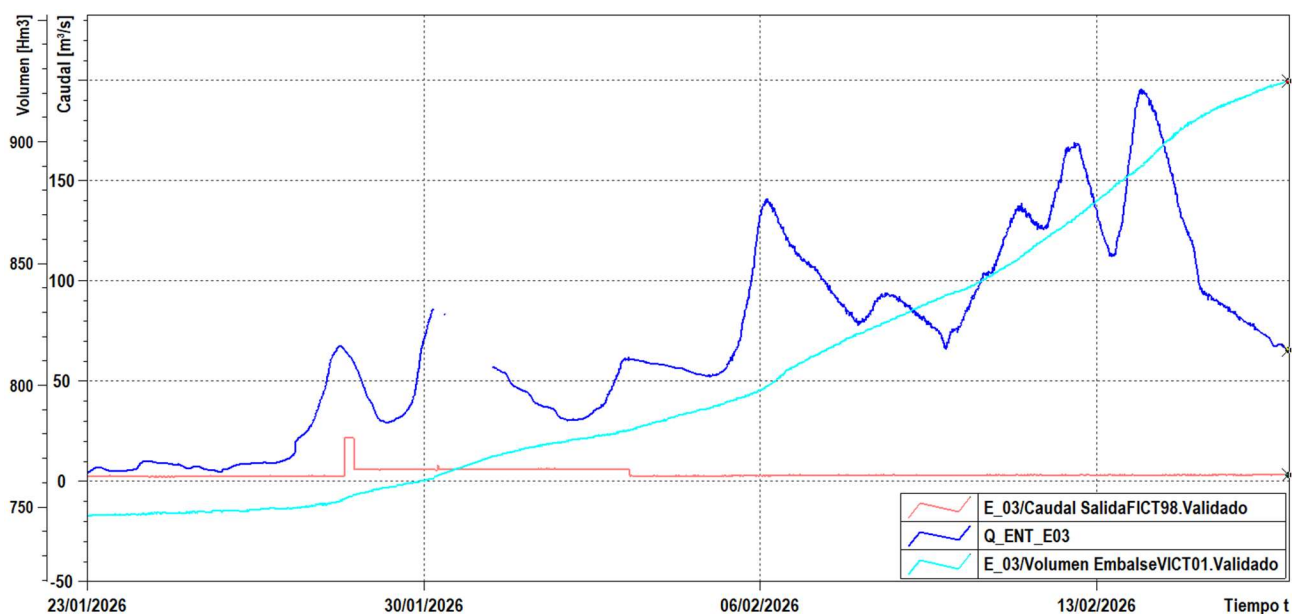
E 01 – ENTREPEÑAS

La presa de Entrepeñas (**E_01**) registró 4 picos superiores a 150 m³/s. Durante todo el episodio se han mantenido salidas muy estables. Durante los días de mayores entradas a la presa, el caudal desembalsado tuvo un valor de 7 m³/s, siendo el máximo caudal de entrada registrado de unos 220 m³/s el día 14/02/2026. Esto supone una **reducción de la avenida del 97%**. El volumen de la presa durante el evento se ha incrementado en 137,81 hm³.



E 03 – BUENDÍA

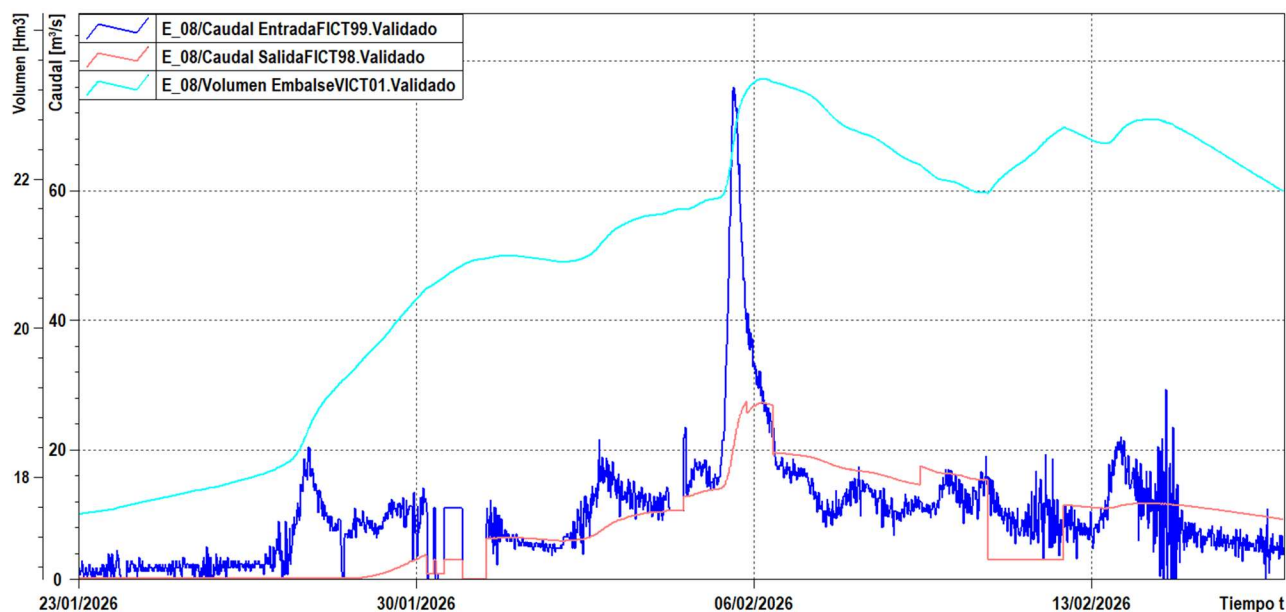
La presa de Buendía (**E_03**) registro 2 picos superiores a 150 m³/s. Durante todo el episodio se han mantenido salidas muy estables. El día de mayores entradas fue también el día 14/02/2026, registrando un valor pico de aproximadamente 195 m³/s. Durante los días de mayores entradas a la presa, el caudal desembalsado tuvo un valor de 3 m³/s. Esto supone una **reducción de la avenida del 98%**. El volumen de la presa durante el evento se ha incrementado en 178,84 hm³.



8.2. PRESAS SISTEMA HENARES

E 08 – PÁLMACES

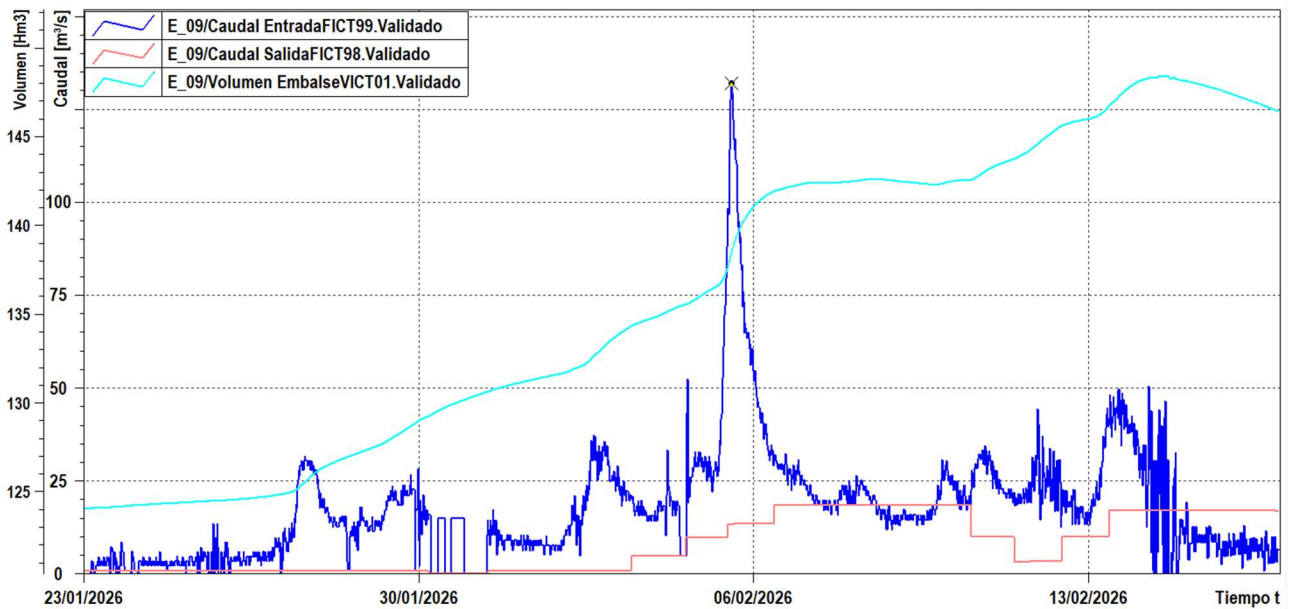
La presa de Pálmaces (**E_08**) registró 1 pico superior a 75 m³/s durante el evento. El máximo valor se registró durante el día 05/02/2026. Los mayores desembalses coinciden con esa fecha y fueron de 27,4 m³/s, lo que supone una **reducción del pico de la avenida del 63%**. El volumen máximo alcanzado durante el episodio fue de 23,3 hm³. Siendo la diferencia de volumen entre el inicio y el final del evento de 4,33 hm³.



E 09 – ALCORLO

El embalse de Alcorlo (**E_09**) registró un pico importante a lo largo del día 05/02/2026 de 132 m³/s. Las salidas del embalse a lo largo de dicho pico fueron de 18,5 m³/s, lo que supuso una **reducción del valor pico del 86%**.

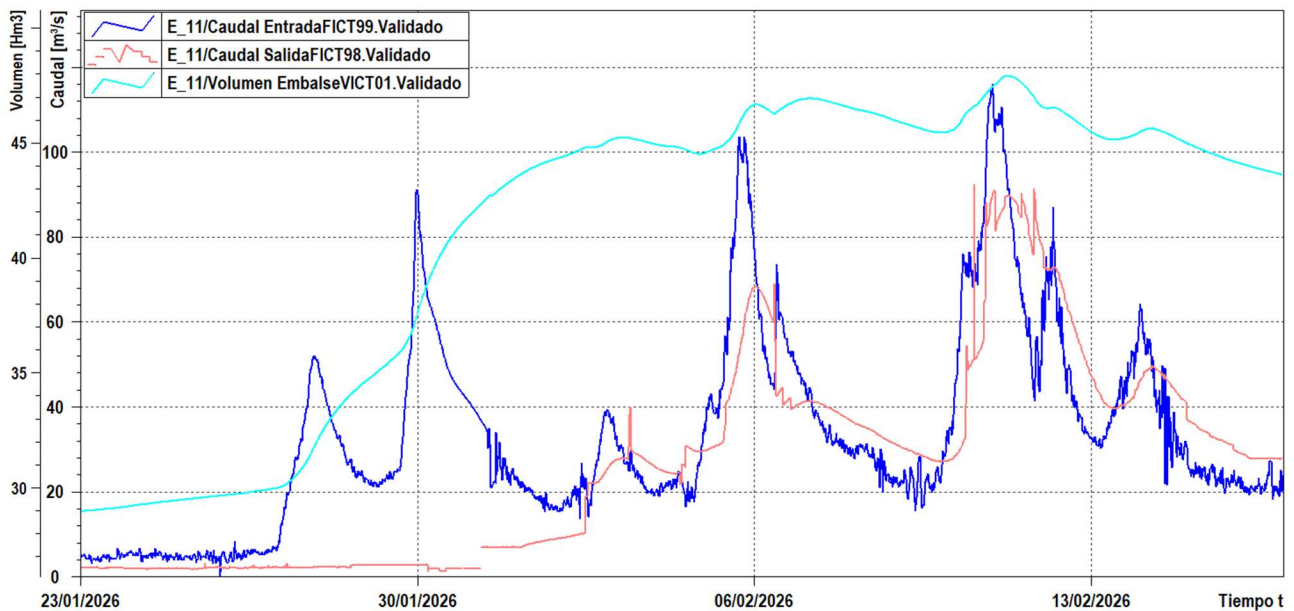
El volumen del embalse llegó a un valor máximo de 148,41 hm³, y la variación de volumen entre el inicio del evento y su final ha sido de 22,37 hm³ positivos.



E 11 – BELEÑA

El embalse de Beleña (**E_11**) presento 2 picos superiores a 100 m³/s. El caudal máximo de entrada a la presa medido fue de aproximadamente 116 m³/s siendo las salidas del embalse de 91 m³/s, consiguiendo una **reducción de la onda de avenida del 22%**, todo ello a lo largo del día 11/02/2026. El volumen máximo alcanzado ha sido de 47,92 hm³, coincidente con el pico de entradas.

El volumen incrementado a lo largo del evento ha sido de 14,64 hm³.



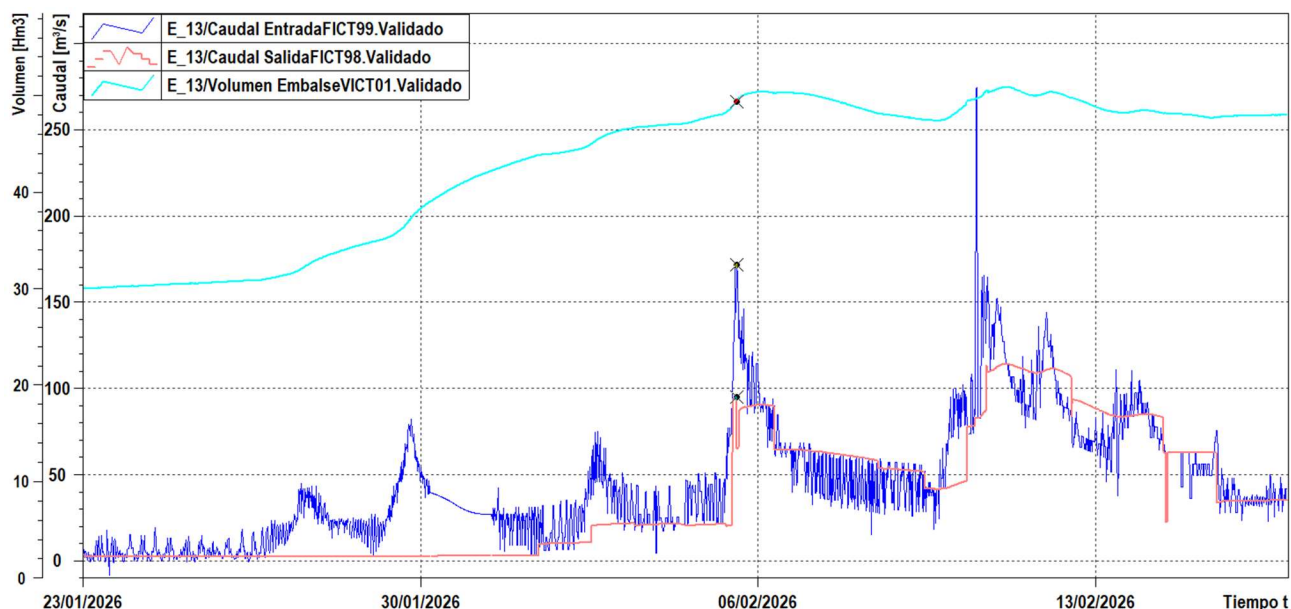
8.3. PRESAS SISTEMA MADRID

E_13 – EL VADO (CYII)

El embalse de El Vado (**E_13**) presentó dos picos de entidad a lo largo del día 05/02 y el día 10/02. El mayor pico registrado ha presentado valores ligeramente superiores a los 165 m³/s. La **laminación realizada ha sido del orden del 30%**, pues las salidas eran cercanas a los 115 m³/s.

Las salidas máximas del evento se produjeron a lo largo del día 11/02, con valores cercanos a los 110 m³/s.

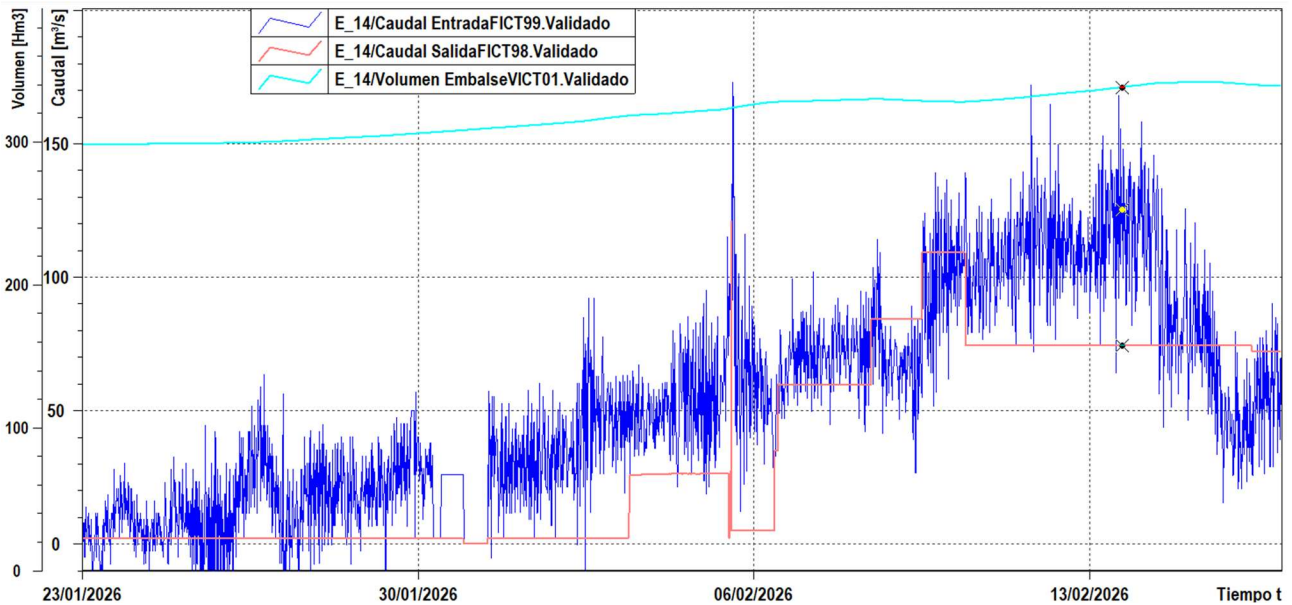
El volumen máximo alcanzado por el E_13 ha sido de 50,86 hm³ y el incremento de volumen producido a lo largo del evento ha alcanzado los 17,98 hm³.



E_14 – EL ATAZAR (CYII)

La presa de El Atazar (**E_14**) presentó un caudal pico de entrada cercano a los 135 m³/s a lo largo del día 13/02. Con esas entradas el caudal de salida del embalse era de 110 m³/s lo que supone una **laminación cercana al 19%**. El vertido máximo de la presa se produjo a lo largo del día 09/02, con unas salidas de aproximadamente 110 m³/s.

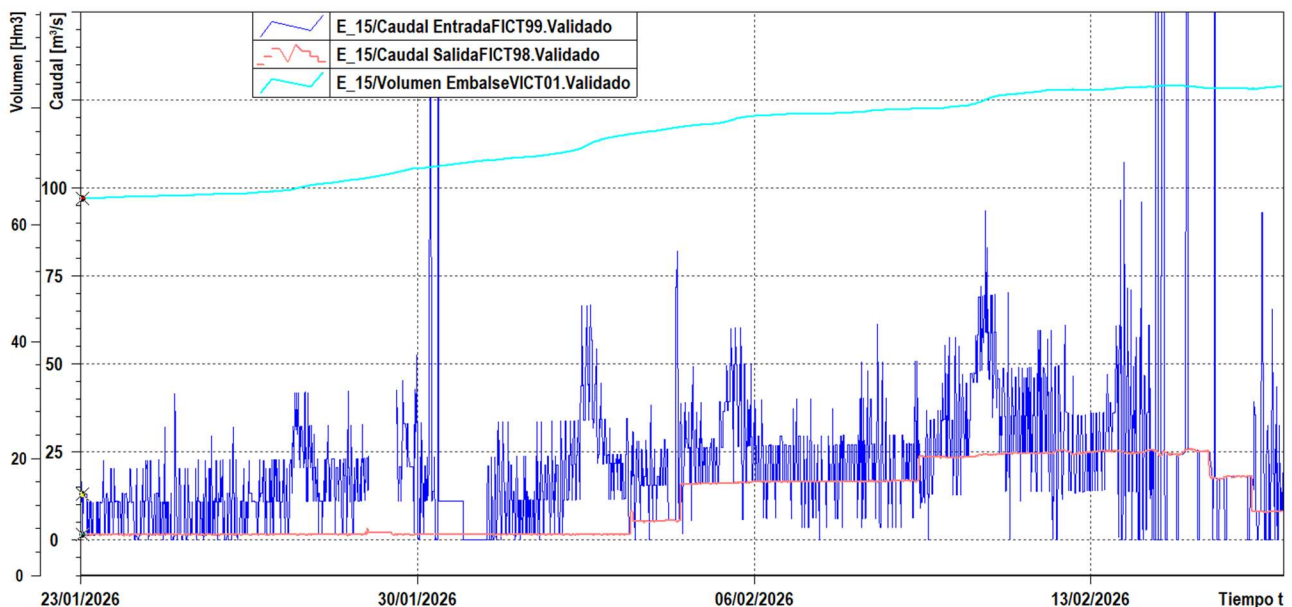
El volumen máximo alcanzado por la presa ha sido de 341,90 hm³. El incremento de volumen que se ha producido a lo largo del evento ha alcanzado los 41,08 hm³.



E 15 – SANTILLANA (CYII)

La presa de Santillana (**E_15**) presentó un caudal pico de entrada cercano a los 70 m³/s a lo largo del día 10/02. Con esas entradas el caudal de salida del embalse era de 25 m³/s, valor del vertido máximo realizado por el embalse. Esta diferencia entre salidas y entradas supuso una **laminación cercana al 64%**.

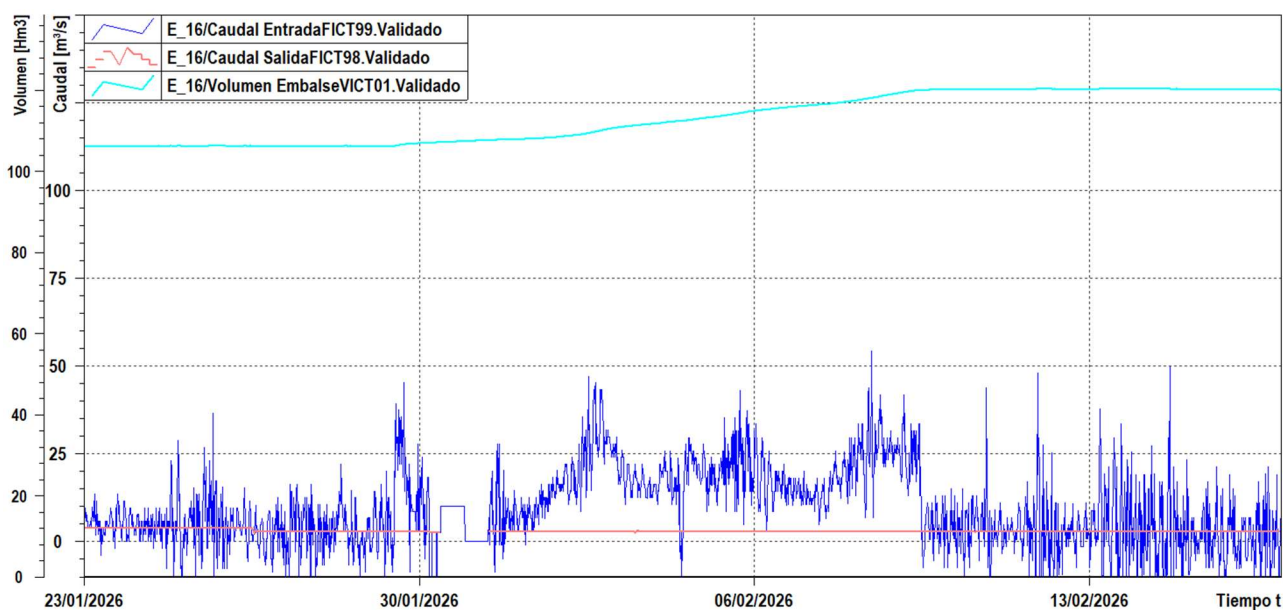
El volumen máximo alcanzado por la presa ha sido de 83,80 hm³. El incremento de volumen que se ha producido a lo largo del evento ha alcanzado los 19,25 hm³.



E 16 – VALMAYOR (CYII)

La presa de Valmayor (**E_16**) presentó un caudal pico de entrada cercano a los 30 m³/s. Con esas entradas el caudal de salida del embalse se ha mantenido constante a lo largo del evento en 3 m³/s. Esta diferencia entre salidas y entradas supuso una **laminación cercana al 90%**.

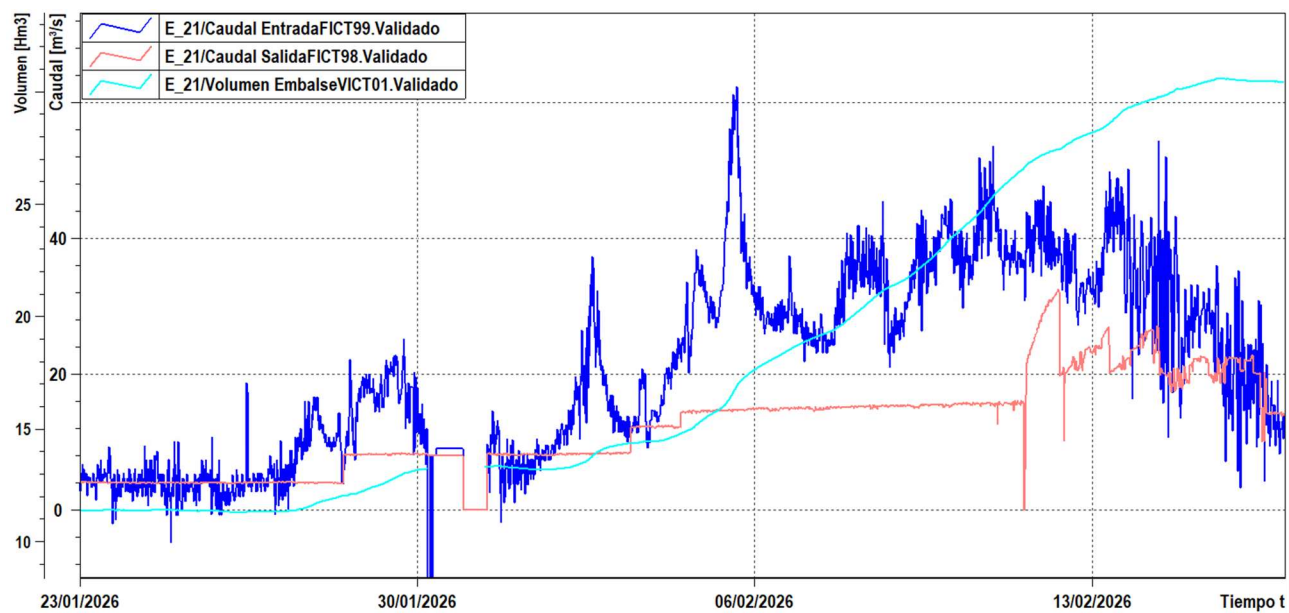
El volumen máximo alcanzado por la presa ha sido de 120,31 hm³. El incremento de volumen que se ha producido a lo largo del evento ha alcanzado los 13,95 hm³.



E 21 – EL PARDO

El embalse de El Pardo (**E_21**) presentó un pico de entrada superior a los 60 m³/s el día 05/02. Las salidas fueron de 32 m³/s, lo que supone una **laminación de la avenida del 48%**.

El volumen máximo alcanzado por el E_21 ha sido de 30,57 hm³ y el incremento de volumen producido a lo largo del evento ha alcanzado los 19,06 hm³.



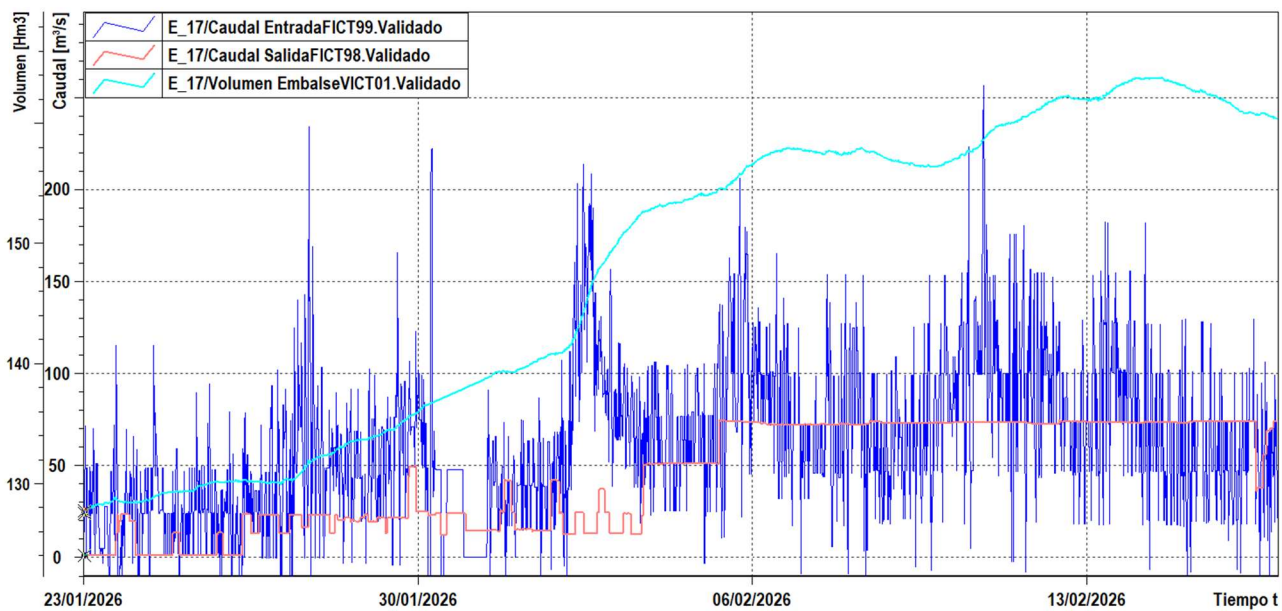
8.4. PRESAS SISTEMA ALBERCHE

E_17 – BURGUILLO

El embalse de Burguillo (**E_17**) presentó un pico de entrada superior a 185 m³/s el día 02/02. Las salidas que se registraron fueron de 75 m³/s, lo que supone una **laminación de la avenida del 59%**.

Las salidas máximas del evento fueron cercanas a los 75 m³/s a partir del día 05/02, cuando el embalse se encontraba con un volumen cercano a los 154 hm³.

El volumen máximo alcanzado por el E_17 ha sido de 163,74 hm³ y el incremento de volumen producido a lo largo del evento ha alcanzado los 32,59 hm³.

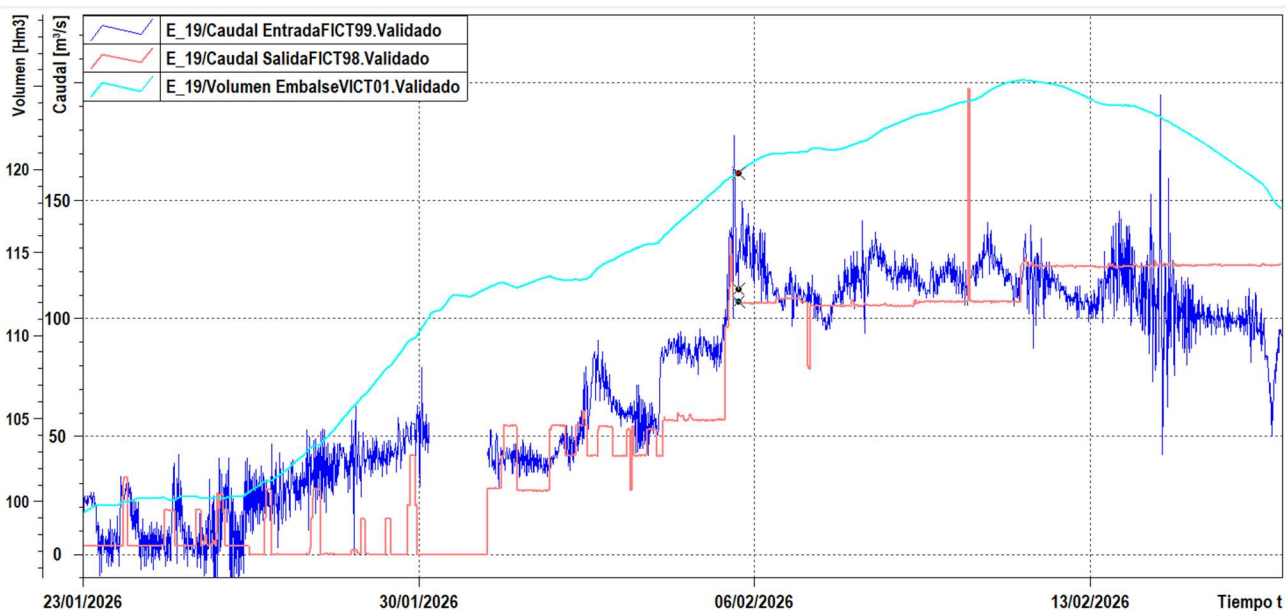


E 19 – SAN JUAN

El embalse de San Juan (**E_19**) presentó un pico de entrada superior a 135 m³/s el día 05/02. Las salidas registradas fueron de entorno a 120 m³/s, lo que supone una **laminación de la avenida del 21%**.

Las salidas máximas del evento fueron cercanas a los 122 m³/s a partir del día 11/02, cuando el embalse alcanzó la máxima cantidad de agua embalsada durante el evento 125,38 hm³.

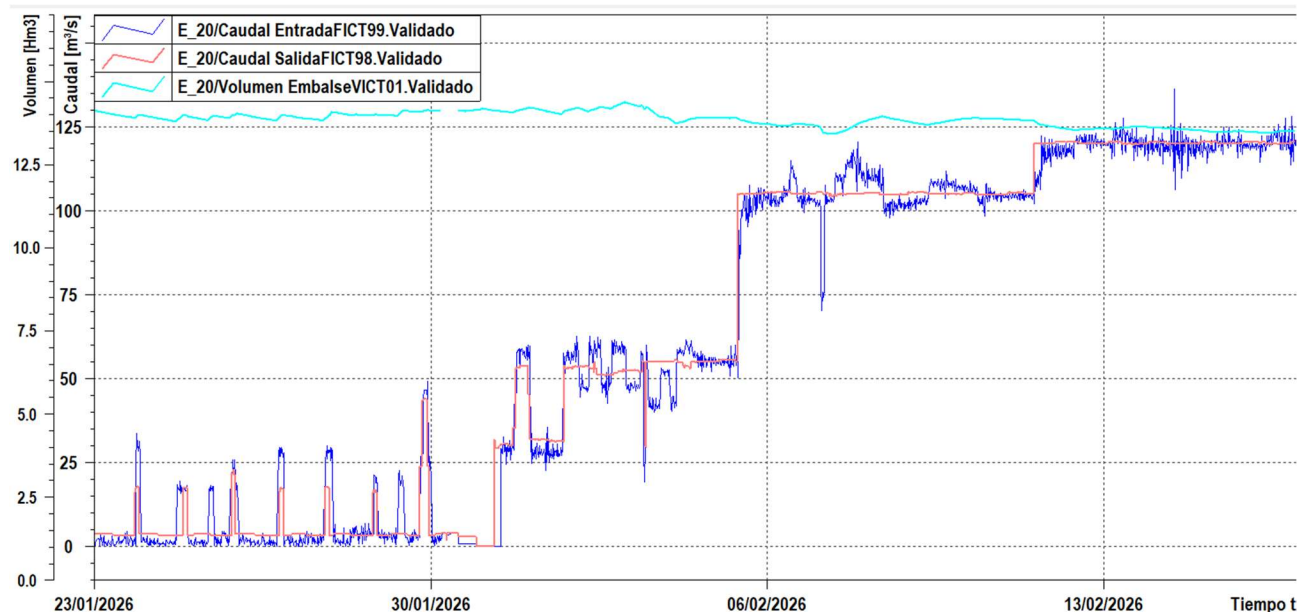
El incremento de volumen producido a lo largo del evento ha alcanzado los 18,32 hm³



E 20 – PICADAS

El embalse de Picadas (**E_20**) con una capacidad máxima muy inferior a la del embalse de San Juan, presenta una limitada capacidad de laminación, por lo que estuvo funcionando durante la sucesión de los eventos como un sistema de entradas por salidas.

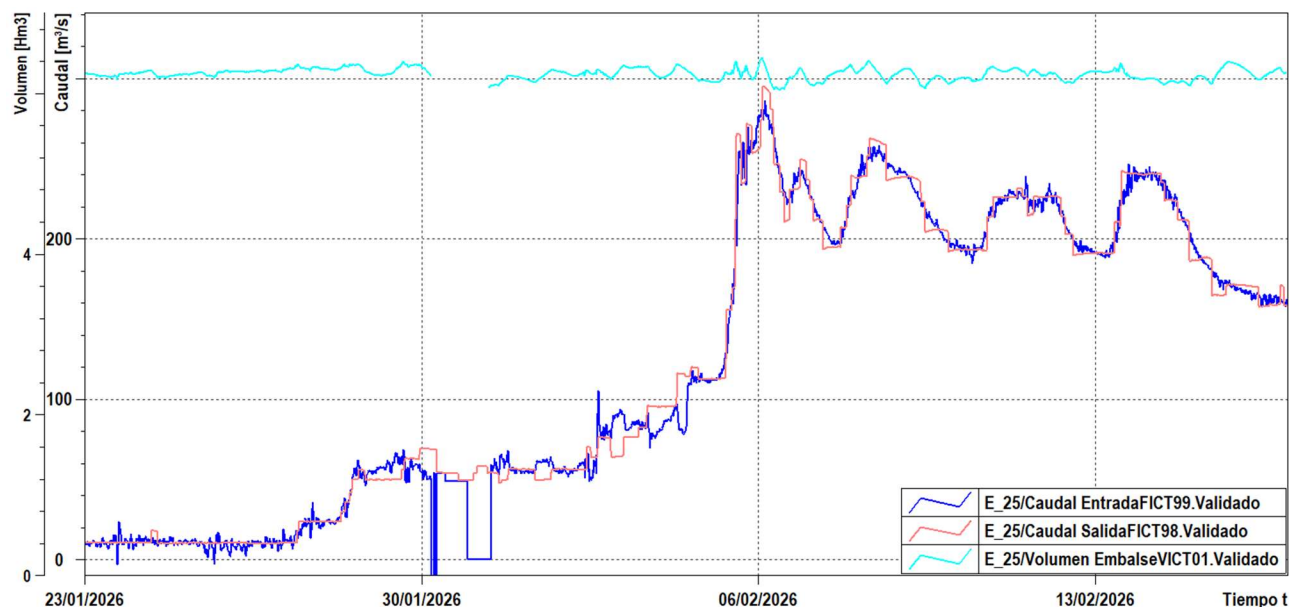
Las salidas máximas al embalse fueron cercanas a los 125 m³/s a partir del día 12/02.



E 25 – CAZALEGAS

Al igual que en el caso de Picadas, Cazalegas (**E_25**) también presenta una capacidad de laminación muy reducida al contar tan solo con una capacidad aproximada de 7 hm³. Estuvo maniobrando los aliviaderos para ir soltando el caudal de entrada que iba recibiendo.

El pico de entradas se registró a lo largo del día 06/02, con un valor superior a los 280 m³/s. Este caudal fue provocado por salidas de Picadas de 105 m³/s y por las lluvias acontecidas a lo largo de la subcuenca vertiente del embalse.

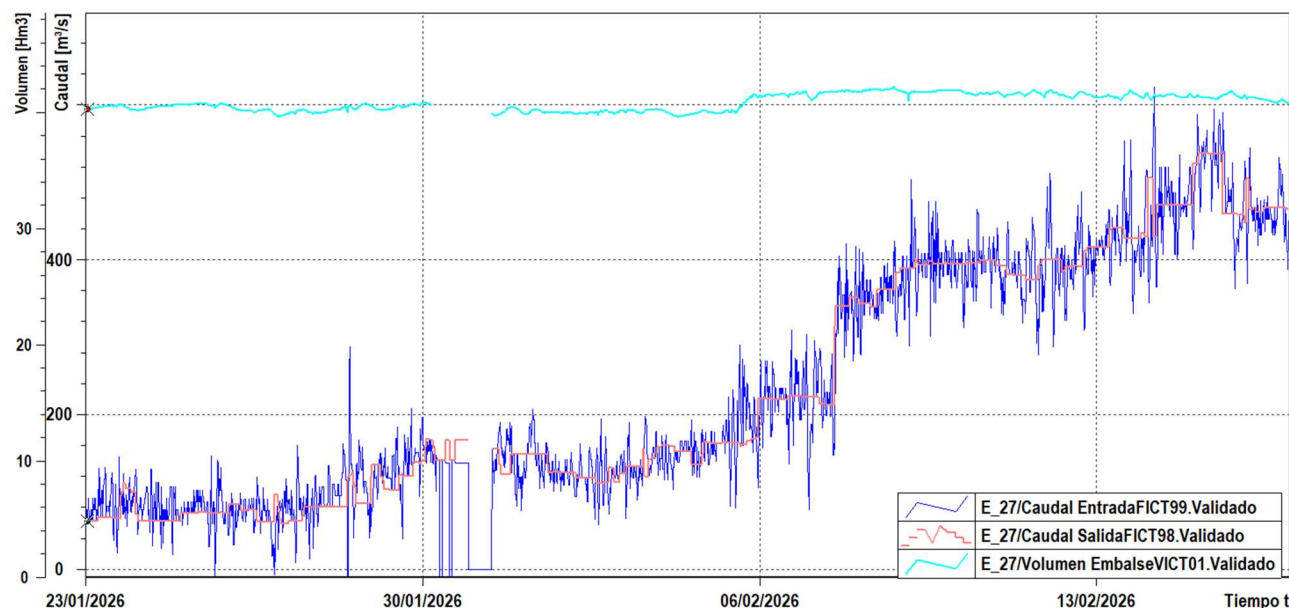


8.5. PRESAS SISTEMA TAJO IZQUIERDA

Los embalses de este sistema suelen funcionar en situación de avenidas con entradas por salidas, ajustándose en todo momento en función de las aportaciones registradas en tiempo real.

E_27 – CASTREJÓN (Naturgy)

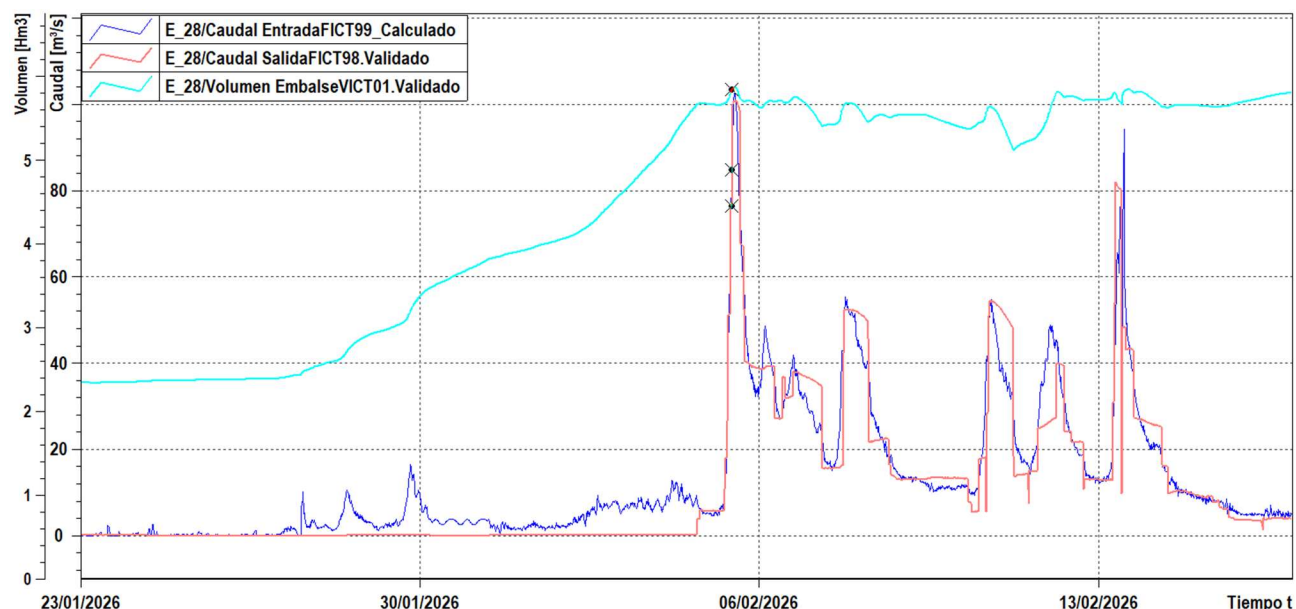
En el embalse de Castrejón (**E_27**), debido a sus características, no tiene capacidad de laminación, por lo que funciona entradas por salidas. Durante el evento, se ha registrado una entrada y salida máxima 540 m³/s aproximadamente, a lo largo del día 15/02.



E 28 – EL TORCÓN (Tagus)

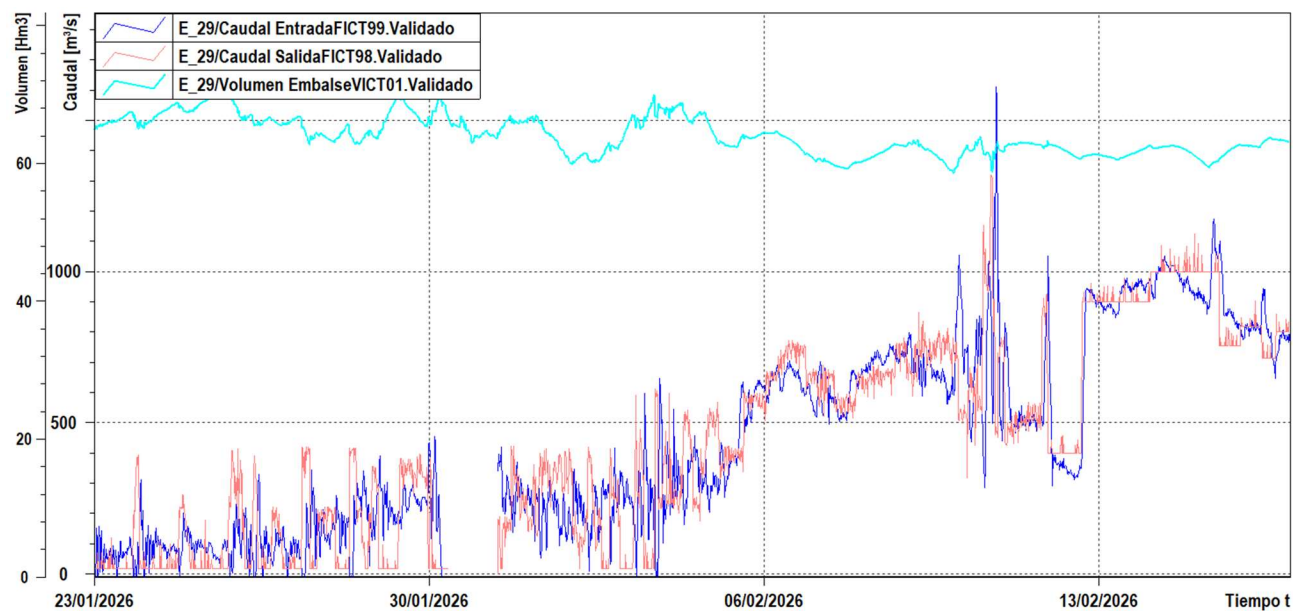
En el embalse de El Torcón (**E_28**), laminó las aportaciones de los primeros días del evento hasta que llegó a un volumen cercano a los 5,6 hm³, momento en el que empezó un funcionamiento de entradas por salidas.

Durante el evento, el día 05/02 se tuvo el pico de entradas y salidas, con valores que superaron los 100 m³/s.



E 29 – AZUTÁN

El embalse de Azután (**E_29**) tiene también una capacidad limitada de laminación. El caudal pico de entrada se ha producido a lo largo del día 10/02, con valores entorno a los 1.350 m³/s



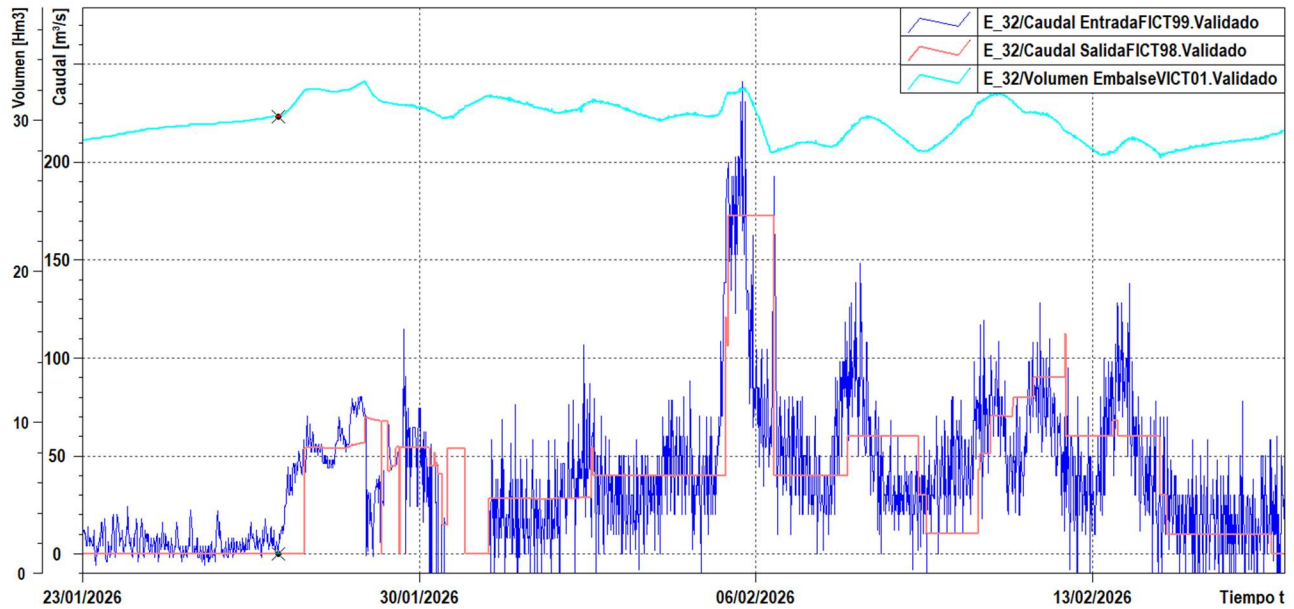
8.6. PRESAS SISTEMA TIETAR

Asimismo, las presas del sistema del Tiétar, debido a su poca capacidad de almacenamiento, también fueron laminando las crecidas en función de las aportaciones registradas.

E 32 – NAVALCAN

Este embalse presenta una capacidad limitada de laminación. El caudal máximo de entrada registrado estuvo entorno a los 200 m³/s, durante el día 05/02. Las salidas del embalse estaban entorno a los 173 m³/s, lo que supone laminación del 14%.

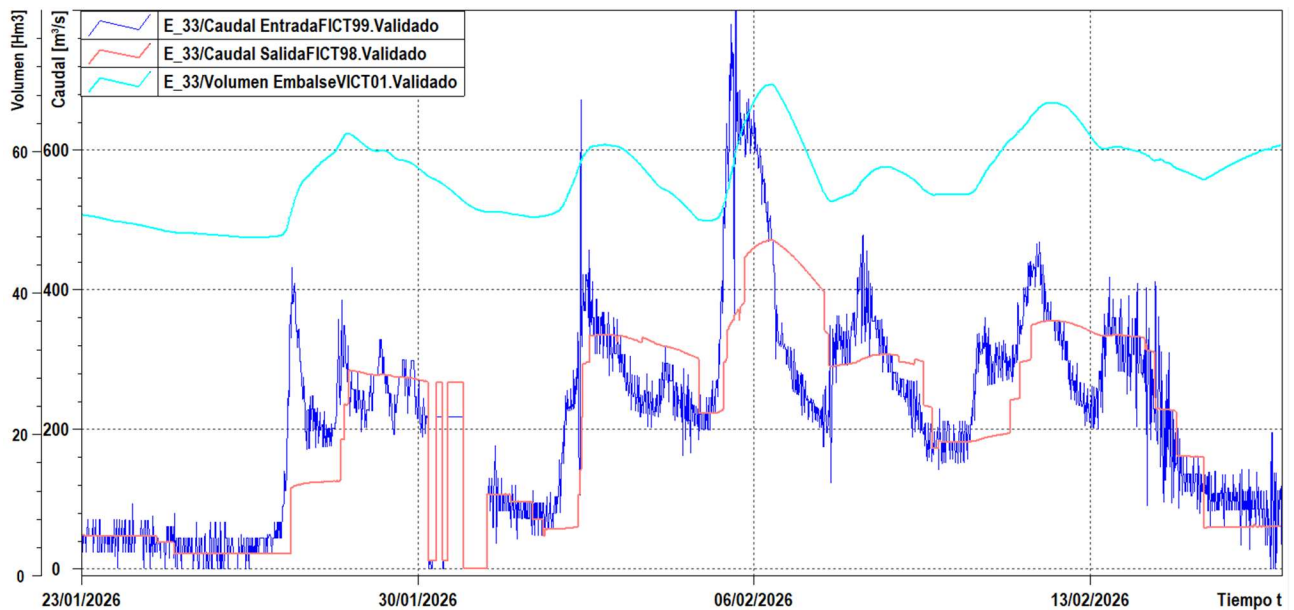
El volumen máximo del embalse a llegado a los 32,56 hm³. El incremento de volumen de agua a lo largo del evento ha sido de 0,62 hm³.



E 33 – ROSARITO

El embalse de Rosarito (**E_33**) alcanzó los 740 m³/s de caudal pico de entrada el día 05/02. El mayor desembalse producido ha sido de 475 m³/s, asociado a ese pico, pero **18 horas y 30 minutos después**. Por lo que la **laminación alcanzó el 36%**.

El volumen máximo alcanzado en el embalse ha sido de 69,53 hm³. Siendo el incremento de volumen a lo largo del evento de 9,86 hm³.



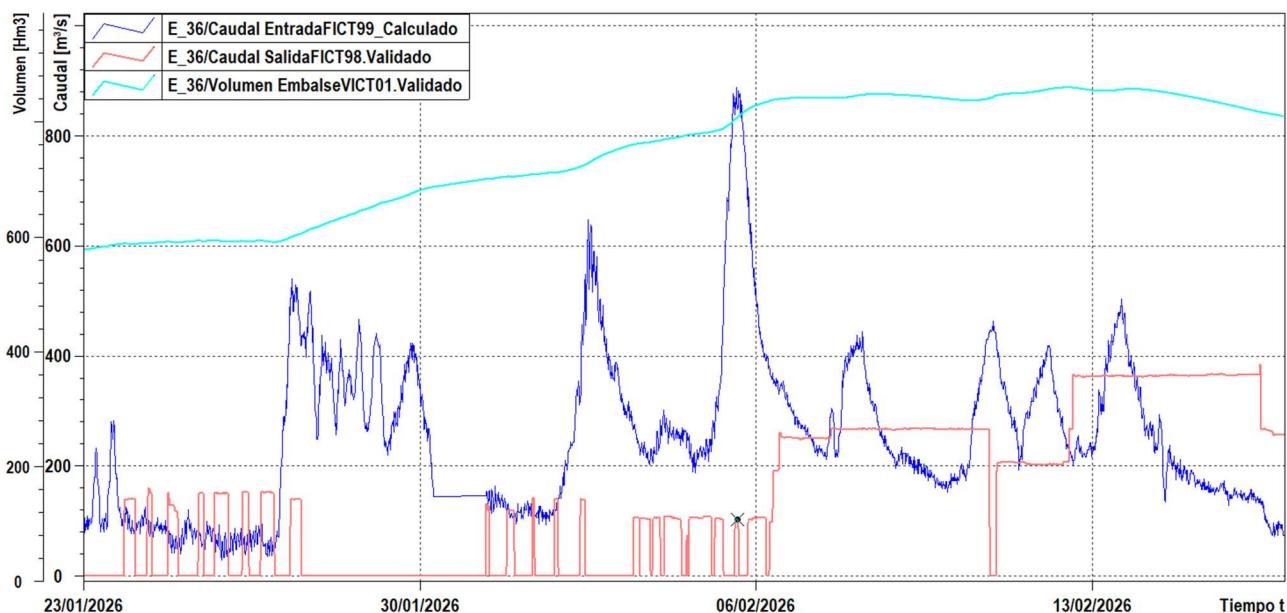
8.7. PRESAS SISTEMA ALAGÓN

E 36 – GABRIEL Y GALÁN

El embalse de Gabriel y Galán (**E_36**) tuvo un importante papel en la laminación de avenidas del río Alagón.

A lo largo del día 05/02 se tuvo una importante punta de **entrada de aproximadamente 875 m³/s**. Las salidas del embalse se limitaron a lo largo de esa punta a 265 m³/s. Esto supone una **laminación de más del 70%**. El pico del desembalse llegó **24 horas más tarde**. Las salidas máximas del embalse fueron de 365 m³/s, a lo largo del día 12/02, con una semana de diferencia respecto al valor punta de la avenida.

El volumen máximo alcanzado por el embalse ha sido de 860,08 hm³, uno de los valores más elevados de la serie histórica. La diferencia de volumen entre el inicio del evento y el final ha sido de 230 hm³.



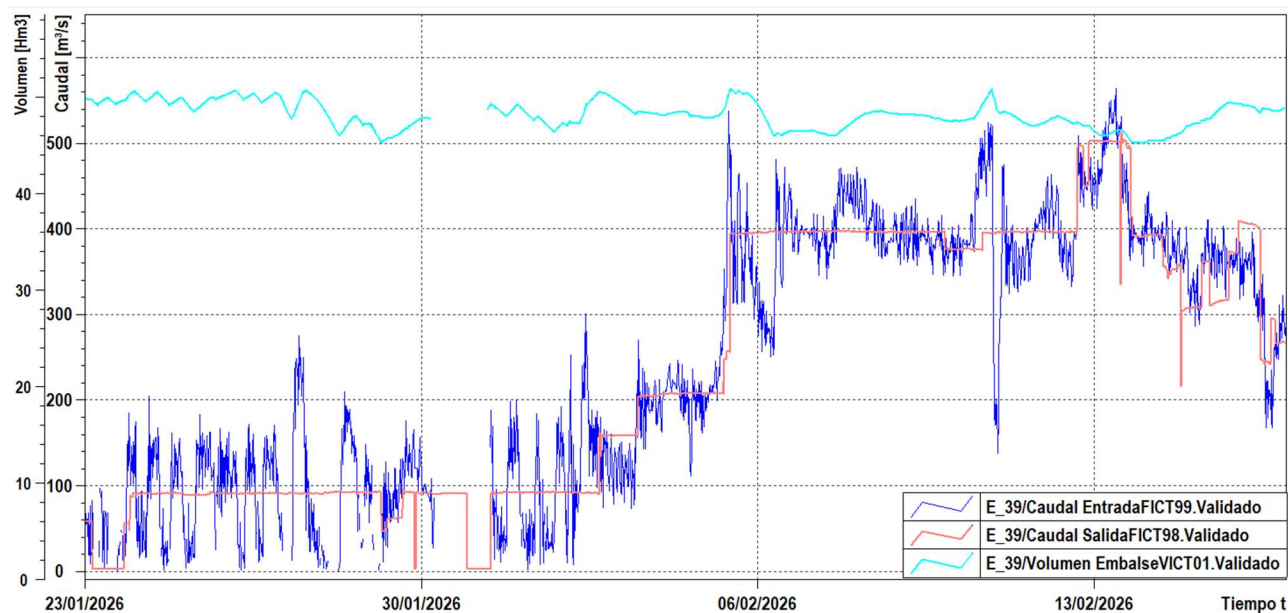
E 39 – VALDEOBISPO

El embalse de Valdeobispo (**E_39**) también tuvo un importante papel en la laminación de avenidas del río Alagón, a pesar de su limitada capacidad comparado con el E_36. Las aportaciones del E_39 no se limitan únicamente a los caudales desembalsados por parte de E_36, sino que además se incorporan caudales del río Ambroz, que como se ha indicado en

el punto 7 del informe, llegaron a valores superiores a 225 m³/s, superando la avenida de T=5 años.

El caudal máximo de entrada alcanzó los 540 m³/s siendo las salidas de 502 m³/s, produciéndose una **laminación del 7%**.

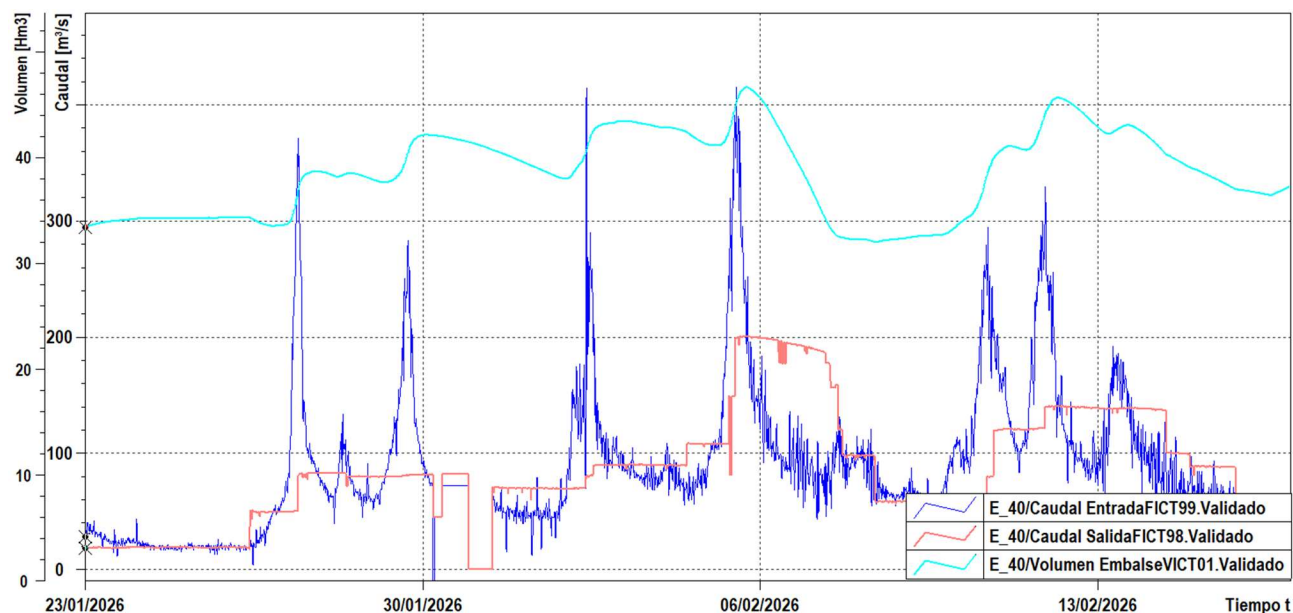
El volumen máximo alcanzado en el embalse ha sido de 50,92 hm³.



E 40 – JERTE EN PLASENCIA

A lo largo del evento, el embalse del Jerte (**E_40**) presentó varias entradas con caudales importantes. El mayor caudal de entrada registrado se produjo a lo largo del día 05/02, con **valores cercanos a los 390 m³/s**.

Las salidas en ese instante se limitaron a 200 m³/s, lo que supone una **laminación de la avenida prácticamente del 50%**.

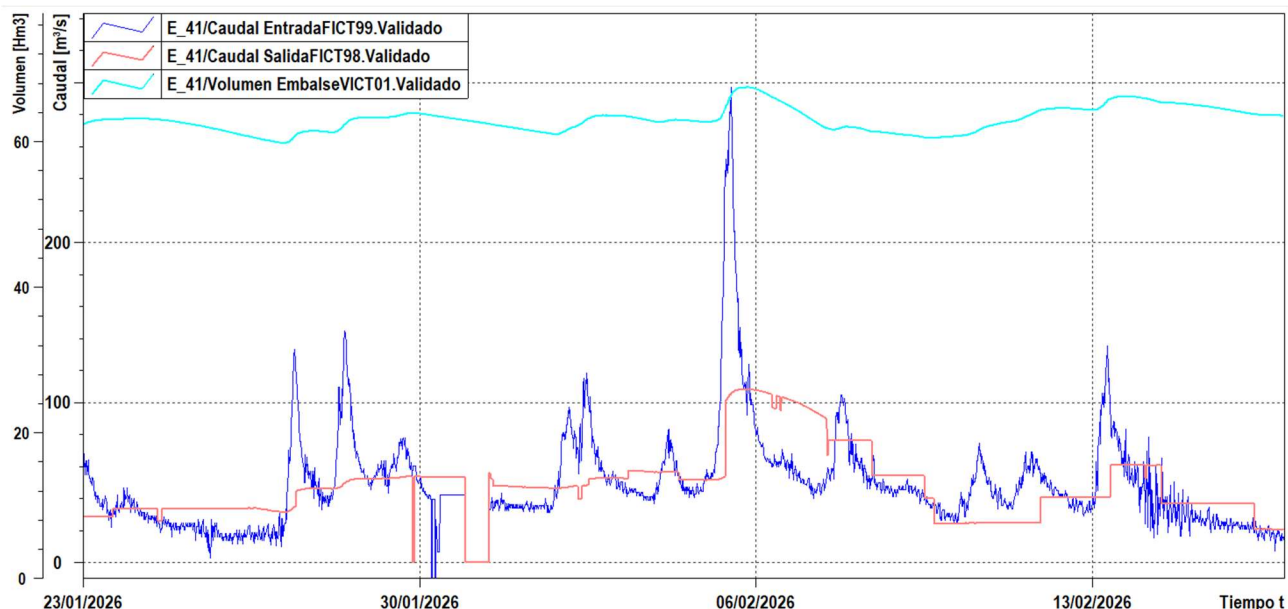


8.8. PRESAS SISTEMA ÁRRAGO

E 41 – BORBOLLÓN

El embalse de Borbollón (**E_41**) presentó las mayores entradas el día 05/02, alcanzando un valor de 295 m³/s. La **laminación producida ha sido del 63%**, alcanzando las salidas el valor máximo de 108 m³/s.

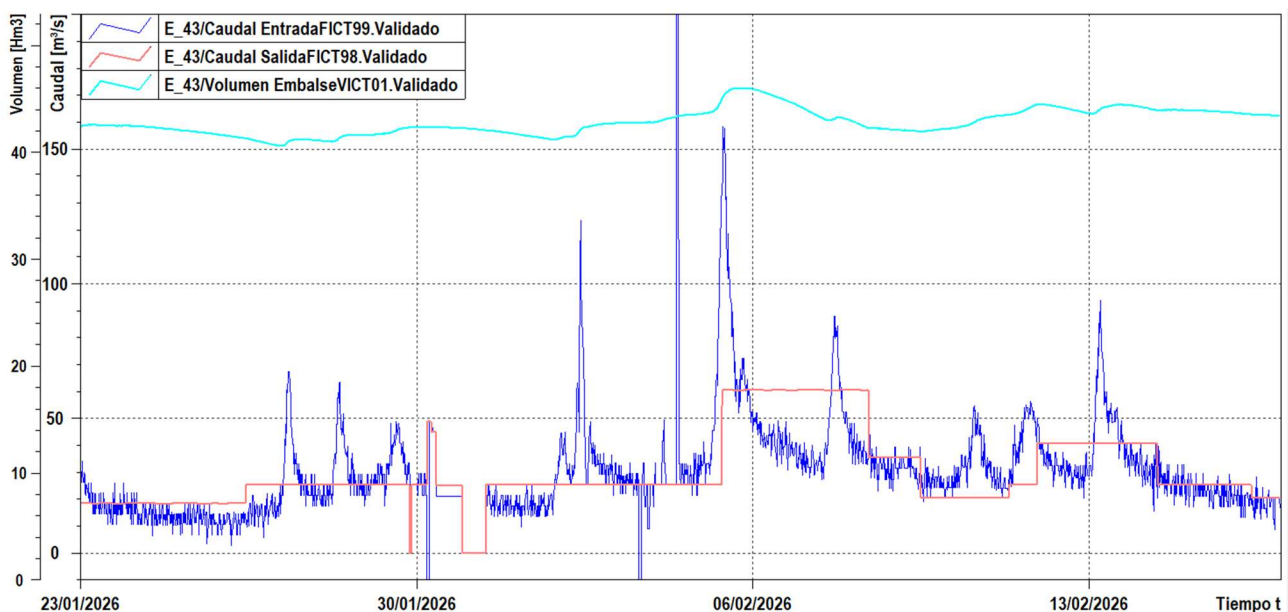
El volumen máximo alcanzado por el embalse ha sido de 67,43 hm³. Siendo la diferencia de volumen entre el inicio y el final del evento de 1,2 hm³.



E 43 – RIVERA DE GATA

Rivera de Gata (**E_43**) también presentó las mayores entradas el día 05/02, alcanzando un valor de 155 m³/s. La **laminación producida ha sido del 61%**, alcanzando las salidas el valor máximo de 60 m³/s.

El volumen máximo alcanzado por el embalse ha sido de 46 hm³. Siendo la diferencia de volumen entre el inicio y el final del evento de 0,97 hm³.



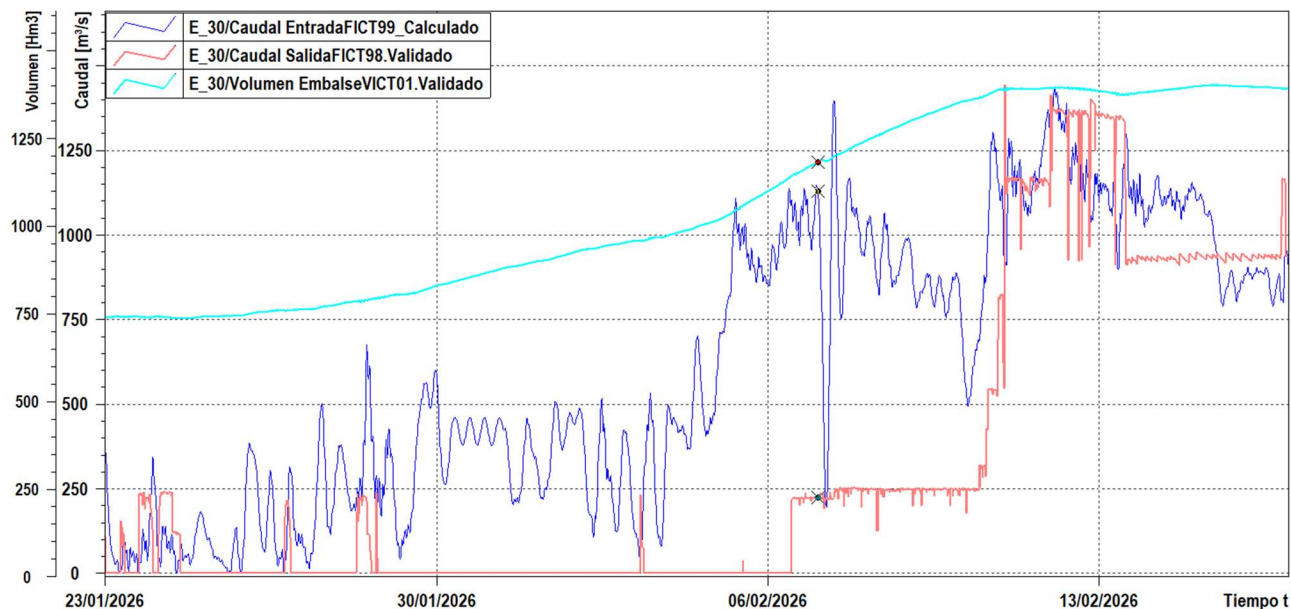
8.9. PRESAS SISTEMA BAJO TAJO.

E 30 – VALDECAÑAS (Iberdrola)

Valdecañas es otro de los embalses con una importante función de laminación. Durante el evento, se ha producido un **incremento de volumen en el embalse de 649,78 hm³**. El volumen máximo alcanzado han sido los 1395,74 hm³.

Las máximas salidas se produjeron a partir del día 12/02, ya con el embalse lleno y con un funcionamiento de prácticamente entradas por salidas, es decir, la laminación producida durante ese periodo estuvo entorno al 5%.

Sin embargo, lo que hay que destacar del embalse es que prácticamente hasta el día 06/02 estuvo cerrado, almacenado toda el agua que llegaba. A partir del día 07/02 se iniciaron desembalses importantes, con un valor de 250 m³/s. Pasando posteriormente a entradas por salidas, como consecuencia del nivel de volumen almacenado en el embalse.

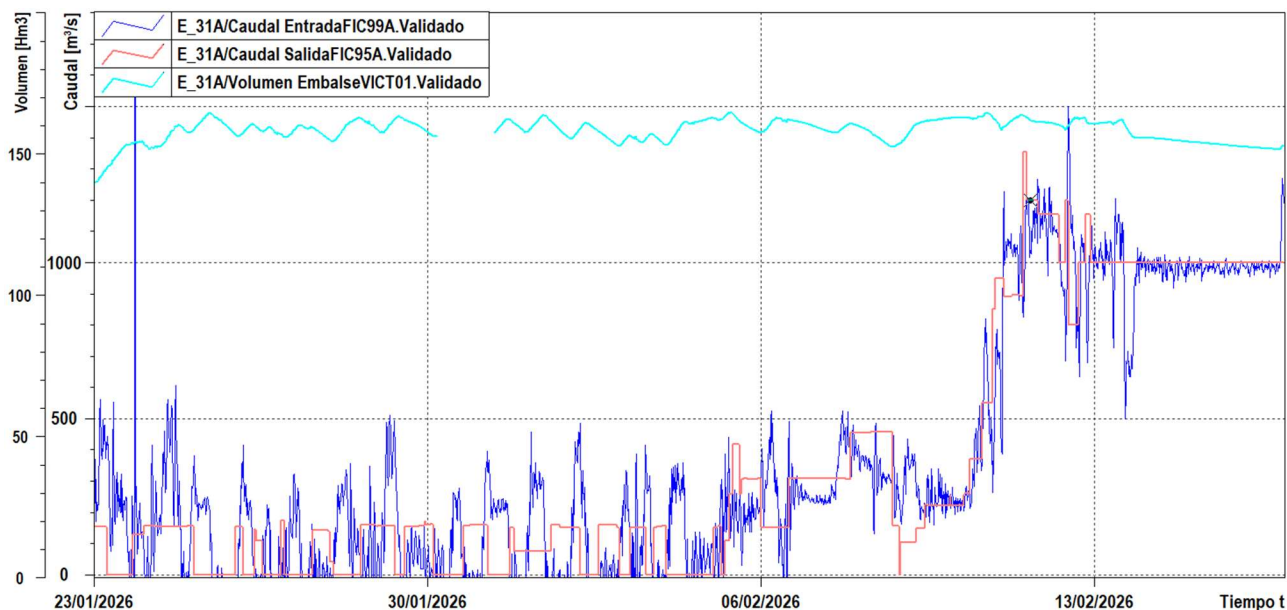


E 31 – TORREJÓN (Iberdrola)

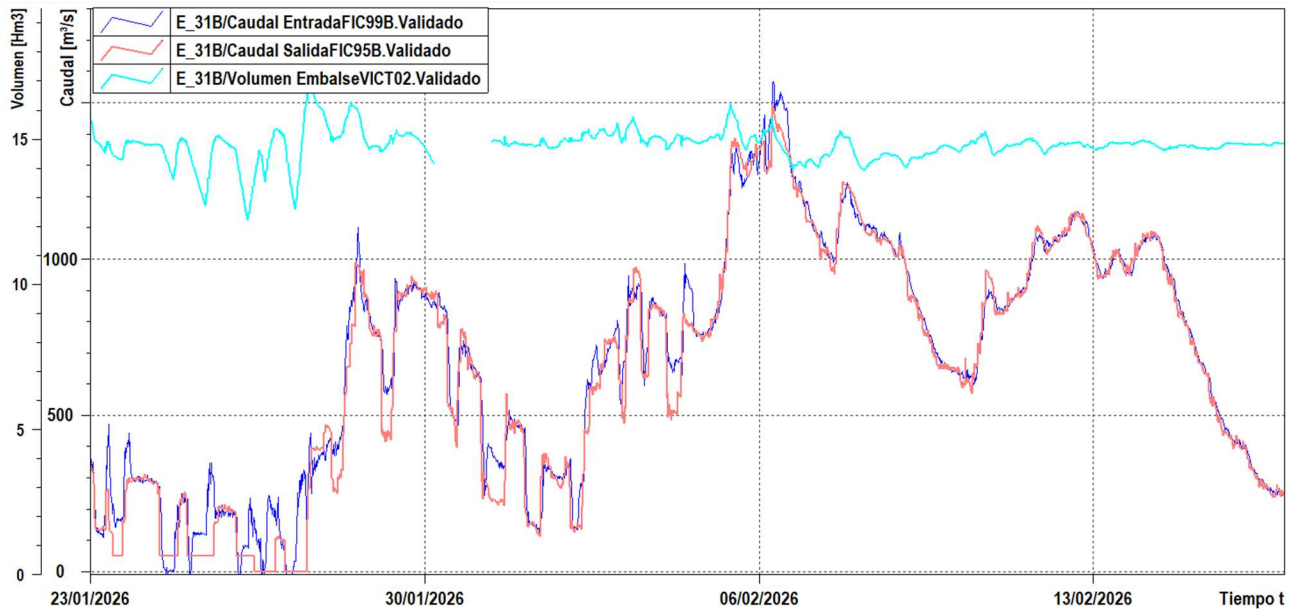
El embalse de Torrejón (**E_31**) da servicio al cauce del Tajo y al del Tiétar, por lo que se genera 2 embalses, uno por cauce.

Respecto a los caudales de entrada a través del río Tajo, Torrejón-Tajo (**E_31A**), indicar que la presa ha realizado a lo largo del evento una importante laminación de los picos como se puede ver en la gráfica siguiente.

Los picos se han dado a partir de las importantes sueltas producidas desde E_30, llegando a valores pico de entrada superiores a los 1350 m³/s.



Torrejón-Tiétar (E_31B) presenta una capacidad de almacenamiento muy inferior al tramo del río Tajo, esto hace que el comportamiento del embalse sea el de entradas por salidas. Se puede ver que durante el evento se alcanzó un caudal de entrada al embalse de 1.600 m³/s el día 06/02.



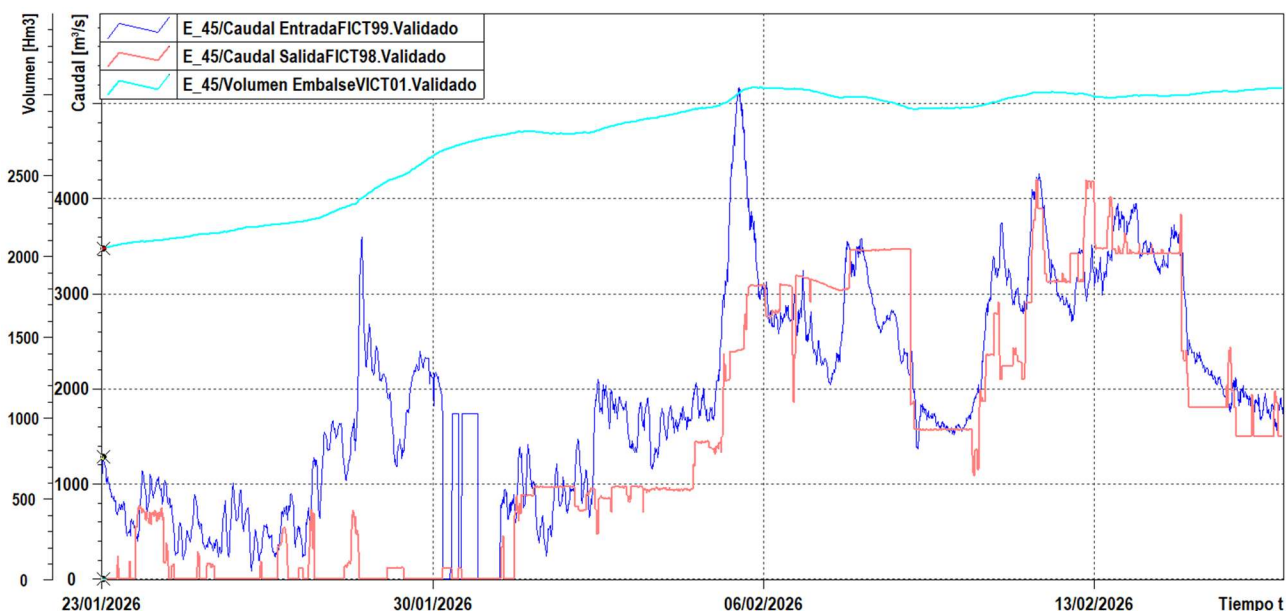
E 45 – ALCÁNTARA (Iberdrola)

El embalse de Alcántara ha sido clave en la gestión de las avenidas. El volumen incrementado durante el evento ha alcanzado la cifra de 995,83 hm³. El volumen máximo alcanzado por el embalse durante la avenida ha sido de 3041,97 hm³.

El mayor caudal de entrada registrado ha sido el día 05/02 con unas entradas de entorno a 5155 m³/s. El caudal pico que se desembalsó asociado a esta entrada ha sido de 3460, lo que supone una **laminación del 33% de la avenida**, más de 1500 m³/s menos que el pico y **trasladado en el tiempo más de 57 horas**.

Hay que destacar también que con entradas de entorno a 3600 m³/s el día 28/01, el embalse se mantenía cerrado **laminando el 100% de la avenida**.

El día 11/02, ya con el embalse al límite de su capacidad, se pasa a una gestión de entradas por salidas y se alcanza los caudales máximos de salida desde el embalse, con un valor de 4200 m³/s.



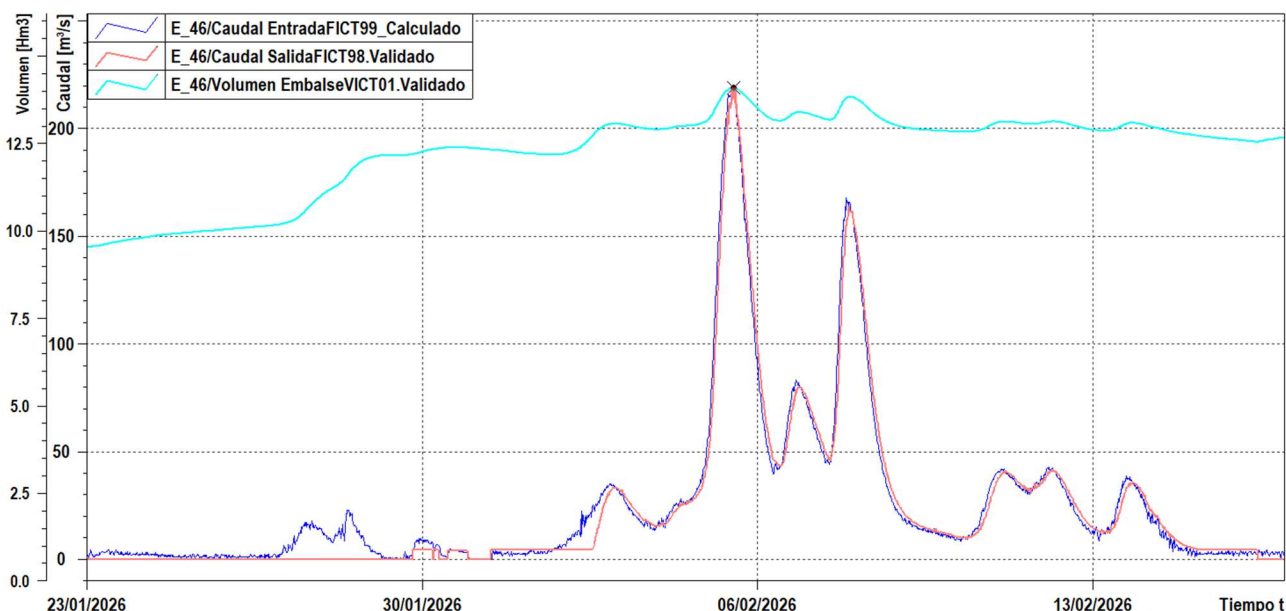
E 46 – SALOR

El embalse de Salor (E_46) no tiene compuerta de regulación en los aliviaderos por lo que, cuando el nivel del embalse llega al labio del aliviadero, se produce un vertido natural.

Esto es lo que se puede ver en la gráfica del embalse. En el momento que el embalse se llena, se pasa a tener entradas por salidas.

El caudal pico registrado ha sido de aproximadamente 220 m³/s.

El volumen del embalse incrementado durante la avenida ha sido de 3,15 hm³. El volumen máximo alcanzado ha sido de 14,09 hm³.



E 47 – CEDILLO (Iberdrola)

En el embalse de Cedillo (**E_47**), situado aguas abajo de Alcántara, es la presa donde se regulan los vertidos que se realizan a Portugal.

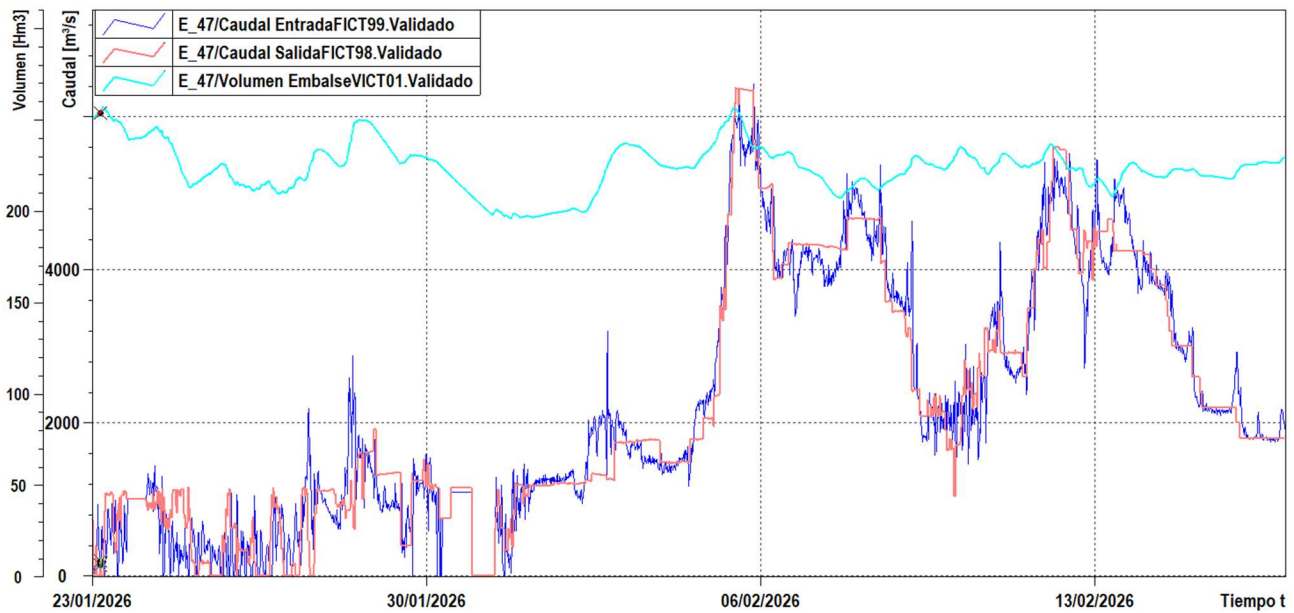
Se trata de un embalse clave para la generación de energía eléctrica a la red española, lo que provoca que su nivel sea siempre elevado.

El volumen máximo del embalse durante el tren de borrascas alcanzó los 256,55 hm³.

Al tratarse de un embalse con un nivel elevado, su capacidad de laminación es reducida, por lo que en la mayor parte del evento su funcionamiento ha sido de entradas por salidas.

Los caudales máximos se registraron el día 05/02, con una entrada y salida equilibradas que alcanzaron los 6365 m³/s, valor más alto desde que se tienen datos SAIH.

Posteriormente, debido a la suelta el día 11/02 en el embalse de Valdecañas (E_30), junto a los elevados niveles de Alcántara y las importantes aportaciones del río Tiétar y río Alagón, el día 12/02 de madrugada se volvieron a tener salidas importantes superándose los 5600 m³/s.



La gestión tanto del embalse de Alcántara como de Cedillo, afectan directamente a la Agencia Portuguesa do Ambiente, por lo que todos los desembalses que se produjeron fueron comunicados con antelación a las autoridades portuguesas, independientemente del intercambio que existe en continuo de datos en tiempo real.

9. ACTIVACIÓN DE ESCENARIOS DE PLANES EMERGENCIA (PEP)

Durante la sucesión borrascas que son objeto del informe, varias presas, tanto de titularidad Estatal, como de concesionario han entrado en situación de escenario.

9.1. PRESAS TITULARIDAD ESTATAL

- E_36 – GABRIEL Y GALÁN. ESCENARIO 0.
 - Fecha declaración escenario: 12/02/2026 15:15
 - Fecha finalización escenario: 16/02/2026 18:00

9.2. PRESAS TITULARIDAD NO ESTATAL

- PRESA ARROYO DE LA VENTA. ESCENARIO 0.
 - Fecha declaración escenario: 28/01/2026 14:00
 - Fecha finalización escenario: 16/02/2026 10:00Titular: Ayuntamiento de Cercedilla

- PRESA DE CEDILLO (E_47). ESCENARIO 0
 - Fecha declaración escenario: 04/02/2026 11:35
 - Fecha finalización escenario: 06/02/2026 10:00Titular: Iberdrola

- PRESA DE ALCÁNTARA (E_45). ESCENARIO 0
 - Fecha declaración escenario: 11/02/2026 23:00
 - Fecha finalización escenario: 15/02/2026 20:54Titular: Iberdrola

- PRESA DE CEDILLO (E_47). ESCENARIO 0
 - Fecha declaración escenario: 11/02/2026 23:10
 - Fecha finalización escenario: 15/02/2026 20:59Titular: Iberdrola

- PRESA DE VALDECAÑAS (E_30). ESCENARIO 0

- Fecha declaración escenario: 11/02/2026 23:30
- Fecha finalización escenario: 19/02/2026 10:49

Titular: Iberdrola

10. EMBALSES: CAUDALES MÁXIMOS - VOLÚMENES ALMACENADOS

Durante los episodios de avenidas, es decir, del 23 de enero al 16 de febrero los caudales máximos de entrada y salida fueron los siguientes:

EMBALSE	CAUDALES MÁXIMOS (m ³ /s)		PERIODO DE RETORNO ENTRADAS
	ENTRADA	SALIDA	
SISTEMA CABECERA			
ENTREPEÑAS	220	7	2 – 5 años
BUENDÍA	195	3	2 – 5 años
SISTEMA HENARES			
PALMACES	75	28	2 – 5 años
ALCORLO	132	18.5	5 – 10 años
BELEÑA	116	90	5 – 10 años
SISTEMA MADRID			
EL ATAZAR	135	110	2 – 5 años
EL VADO	132	115	5 – 10 años
EL PARDO	61	32	< 2 años
SANTILLANA	69	25	2 – 5 años
VALMAYOR	30	4	5 – 10 años
SISTEMA ALBERCHE			
BURGUILLO	185	75	< 2 años
SAN JUAN	135	120	< 2 años
PICADAS	120	120	< 2 años
CAZALEGAS	295	295	< 2 años
SISTEMA TAJO IZQUIERDA			
CASTREJÓN	540	540	2 – 5 años
TORCÓN	100	100	10 – 25 años
AZUTÁN	1300	1300	5 – 10 años

EMBALSE	CAUDALES MÁXIMOS (m ³ /s)		PERIODO DE RETORNO ENTRADAS
	ENTRADA	SALIDA	
SISTEMA TIÉTAR			
NAVALCÁN	200	173	10 – 25 años
ROSARITO	740	470	2 – 5 años
SISTEMA ALAGÓN			
JERTE	390	200	5 – 10 años
GABRIEL Y GALÁN	875	365	2 – 5 años
VALDEOBISPO	540	502	< 2 años
SISTEMA ÁRRAGO			
BORBOLLÓN	295	108	10 – 25 años
RIVERA DE GATA	155	60	5 – 10 años
SISTEMA BAJO TAJO			
VALDECAÑAS	1437	1380	5 – 10 años
TORREJÓN-TAJO	1355	1355	5 – 10 años
TORREJÓN- TIÉTAR	1620	1620	5 – 10 años
ALCÁNTARA	5157	4200	25 – 100 años
SALOR	220	220	100 – 500 años
CEDILLO	6365	6365	25 – 100 años

La laminación producida en los embalses de la cuenca se presenta a continuación:

EMBALSE	LAMINACIÓN		
	Q_MAX_ENT	Q_SAL	%
SISTEMA CABECERA			
ENTREPEÑAS	220,00	7,00	97%
BUENDÍA	195,00	3,00	98%
SISTEMA HENARES			
PALMACES	75,00	27,40	63%
ALCORLO	132,00	18,50	86%
BELEÑA	116,00	90,00	22%
SISTEMA MADRID			
EL ATAZAR	135,00	110,00	19%
EL VADO	132,00	115,00	30%
EL PARDO	61,00	32,00	48%
SANTILLANA	69,00	25,00	64%
VALMAYOR	30,00	3,00	90%
SISTEMA ALBERCHE			
BURGUILLO	185,00	75,00	59%
SAN JUAN	135,00	120,00	11%
PICADAS	120,00	120,00	ENT. X SAL.
CAZALEGAS	295,00	295,00	ENT. X SAL.
SISTEMA TAJO IZQUIERDA			
CASTREJÓN	540,00	540,00	ENT. X SAL.
TORCÓN	100,00	100,00	ENT. X SAL.
AZUTÁN	1300,00	1300,00	ENT. X SAL.
SISTEMA TIÉTAR			
NAVALCÁN	200,00	173,00	14%
ROSARITO	740,00	470,00	36%

EMBALSE	LAMINACIÓN		
	Q_MAX_ENT	Q_SAL	%
SISTEMA ALAGÓN			
JERTE	390,00	200,00	49%
GABRIEL Y GALÁN	875,00	365,00	58%
VALDEOBISPO	540,00	502,00	7%
SISTEMA ÁRRAGO			
BORBOLLÓN	295,00	108,00	63%
RIVERA DE GATA	155,00	60,00	61%
SISTEMA BAJO TAJO			
VALDECAÑAS	1437,00	1370,00	5%
TORREJÓN-TAJO	1355,00	1200,00	6%
TORREJÓN- TIÉTAR	1620,00	1620,00	ENT. X SAL.
ALCÁNTARA	5157,00	4200,00	19%
SALOR	220,00	220,00	ENT. X SAL.
CEDILLO	6365,00	6365,00	ENT. X SAL.

Los volúmenes de los principales embalses al principio del episodio y una vez finalizado, su diferencia y el volumen máximo alcanzado por el embalse son los siguientes:

EMBALSE	CAPACIDAD TOTAL (hm3)	VOLÚMENES (hm3)			
		Volumen inicial 23/01/2026	Volumen final 16/02/2026	Diferencia	Volumen máximo alcanzado
SISTEMA CABECERA					
ENTREPEÑAS	813	475,10	612,91	137,81	612,91
BUENDÍA	1705	746,23	925,07	178,84	925,07
SISTEMA HENARES					
PÁLMACES	31	17,50	21,83	4,33	23,34
ALCORLO	180	124,04	146,41	22,37	148,44
BELEÑA	53	28,97	43,61	14,64	47,92

EMBALSE	CAPACIDAD TOTAL (hm3)	VOLÚMENES (hm3)			
		Volumen inicial 23/01/2026	Volumen final 16/02/2026	Diferencia	Volumen máximo alcanzado
SISTEMA MADRID					
EL ATAZAR	426	297,98	339,06	41,08	341,90
EL VADO	56	30,02	48,00	17,98	50,86
EL PARDO	43	11,37	30,43	19,06	30,59
SANTILLANA	91	64,44	83,69	19,25	83,8
VALMAYOR	124	106,15	120,10	13,95	120,31
SISTEMA ALBERCHE					
BURGUILLO	201	127,73	160,32	32,59	163,83
SAN JUAN	138	99,31	117,63	18,32	125,38
PICADAS	15	14,11	13,51	-0,60	14,37
CAZALEGAS	7	6,25	6,26	0,01	6,45
SISTEMA TAJO IZQUIERDA					
CASTREJÓN	44	40,23	40,77	0,54	42,20
TORCÓN	7	2,34	5,81	3,37	5,87
AZUTÁN	113	64,79	63,07	-1,72	71,14
SISTEMA TIÉTAR					
NAVALCÁN	34	28,66	29,28	0,62	32,56
ROSARITO	82	51,04	60,90	9,86	69,53
SISTEMA ALAGÓN					
JERTE	59	33,43	37,24	3,81	46,61
GABRIEL Y GALÁN	911	577,73	809,73	232	860,08
VALDEOBISPO	53	49,89	48,45	-1,44	50,92
SISTEMA ÁRRAGO					
BORBOLLÓN	88	62,33	63,53	1,20	67,43
RIVERA DE GATA	49	42,44	43,41	0,97	46,00
BAJO TAJO					
VALDECAÑAS	1446	739,73	1389,51	649,78	1395,74
TORREJÓN-TAJO	170	139,91	153,06	13,15	164,72
TORREJÓN-TIÉTAR	18	15,58	14,84	-0,74	16,94
ALCÁNTARA	3160	2043,91	3039,7	995,83	3041,97
SALOR	14	9,5	12,65	3,15	14,09
CEDILLO	260	251,43	229,26	-22,17	256,55

La variación de agua embalsada en la Cuenca del Tajo en el intervalo de tiempo del 23 de enero al 16 de febrero de 2026 ha sido de 2.501,07 hm³, es decir un 22,63% del volumen total de la cuenca.

	AGUA EMBALSADA					DIFERENCIA
	Capacidad total Presas SAIH	23/01/202	30/01/2026	06/02/2026	16/03/2025	
TOTALES (Hm³)	11051,44	6681,23	7560,91	8628,37	9182,30	2501,07
% DEL TOTAL	100	60,46	68,42	78,07	83,09	22,63

11. IMÁGENES SATÉLITE ZONAS MÁS AFECTADAS

La CHTajo, solicitó imágenes satelitales a través de la DGA al punto focal estatal, CENEM, para poder tener una referencia de las zonas más afectadas y comparar las inundaciones localizadas con las cartografías del SNCZI.

Las zonas donde se ha solicitado imágenes satelitales han sido río Alagón en Coria, tramo final río Tiétar y Escalona en el río Alberche.

Finalmente, se obtuvieron imágenes satelitales de la zona de Coria y Tiétar a través a través de la activación de Copernicus EMS Rapid Mapping, pero no se consiguieron de la zona del Alberche a través de esta vía.

Por este motivo, la DGA, a través de Pleiades NEO, ha adquirido imágenes de satélite tanto de la zona del Alberche como del río Alagón en Coria.

Para el caso de las imágenes del Copernicus EMS Rapid Mapping, en el análisis realizado se puede apreciar que la mayor parte de las manchas de inundación se encuentran recogidas dentro de la zona inundable asociada a un periodo de retorno de 10 años. No obstante, se puede ver que hay zonas que han sido afectadas por el agua y que no aparecía en las manchas previstas para el periodo de retorno de 500 años. Esta información será utilizada en el 3 ciclo de la PGRI.

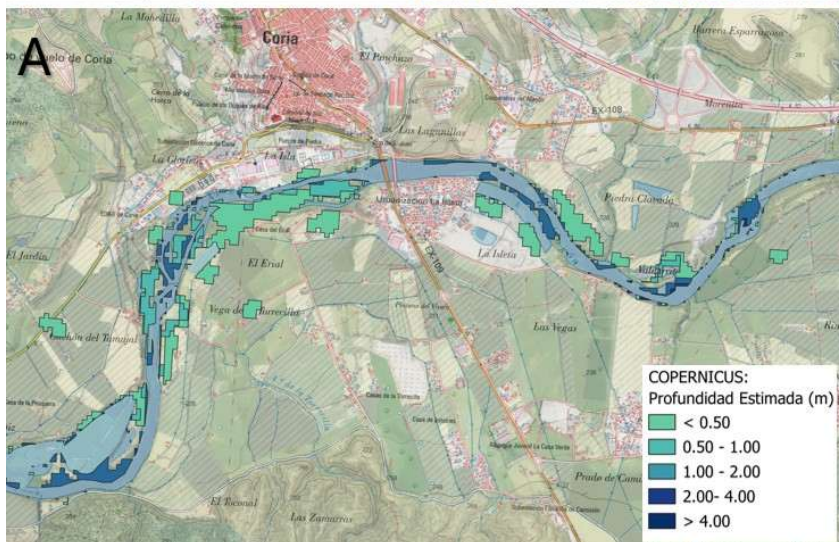
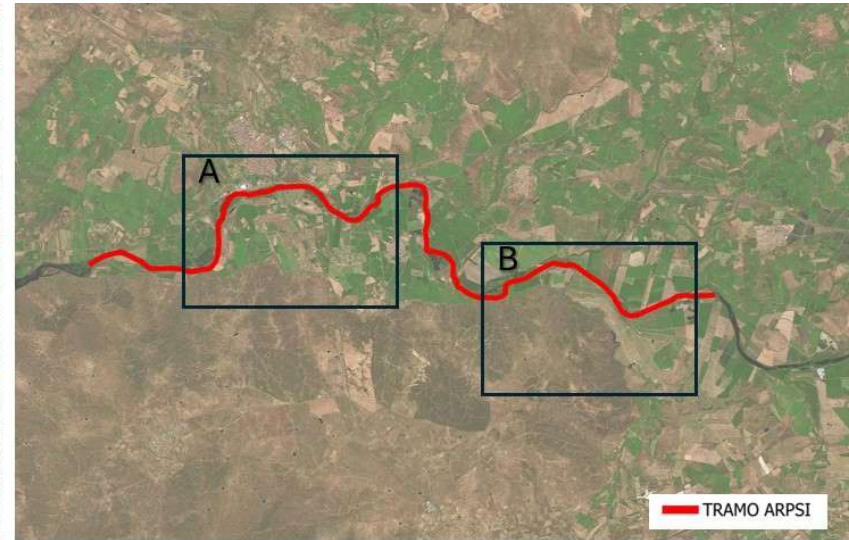
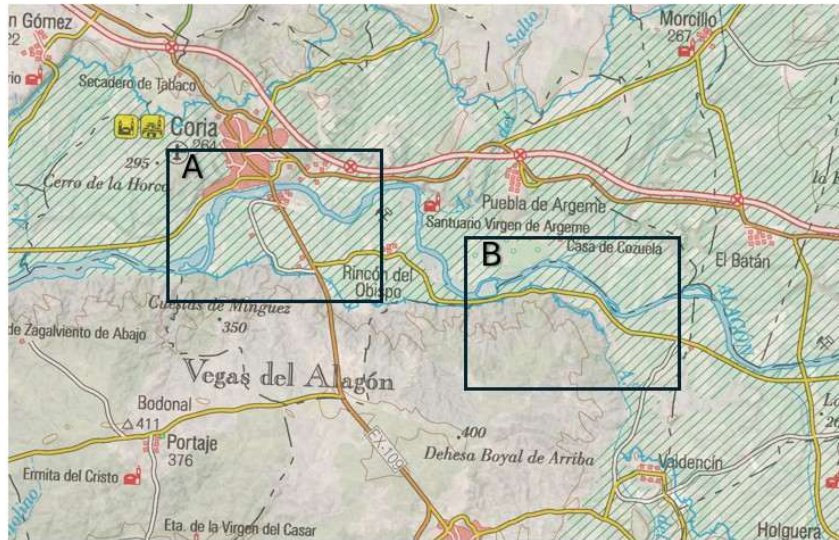
Respecto de las imágenes del Pleiades NEO, se tiene de 2 tipos, la RGB y NIR.

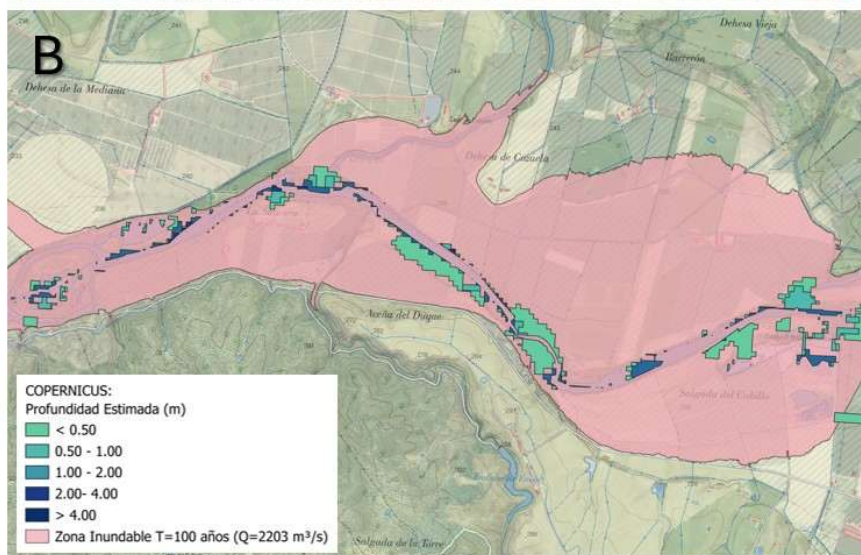
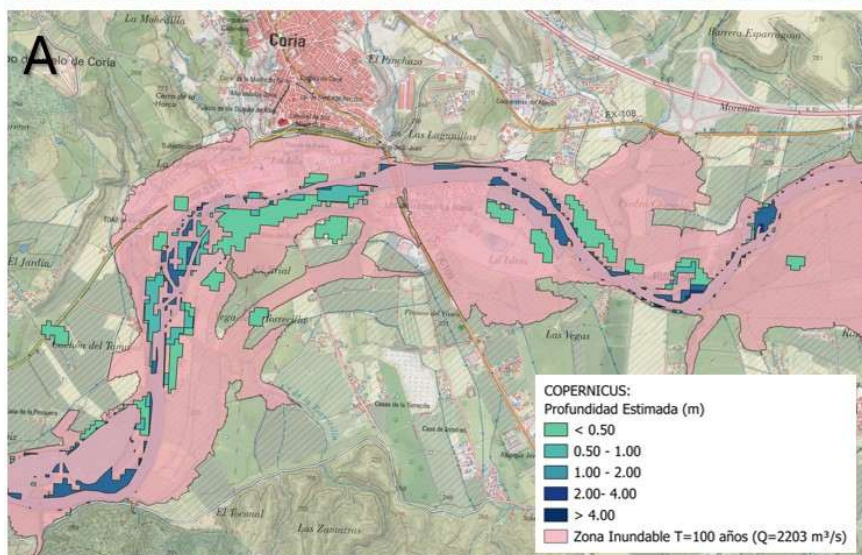
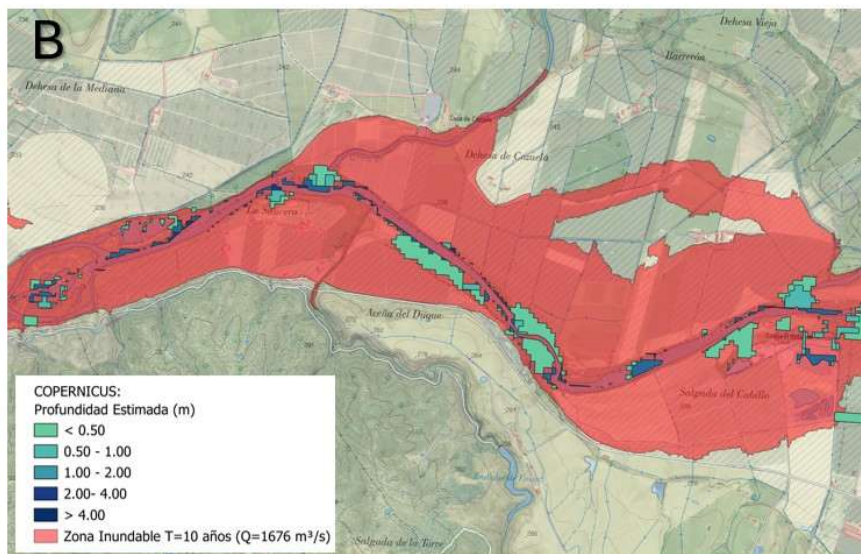
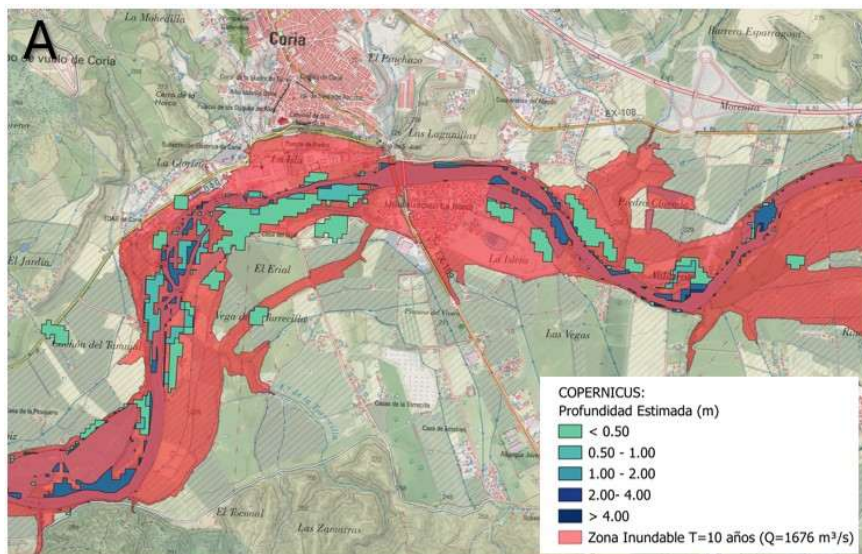
Las imágenes RGB corresponden a la combinación de las bandas visibles (rojo, verde y azul), generando una representación similar a la percepción del ojo humano.

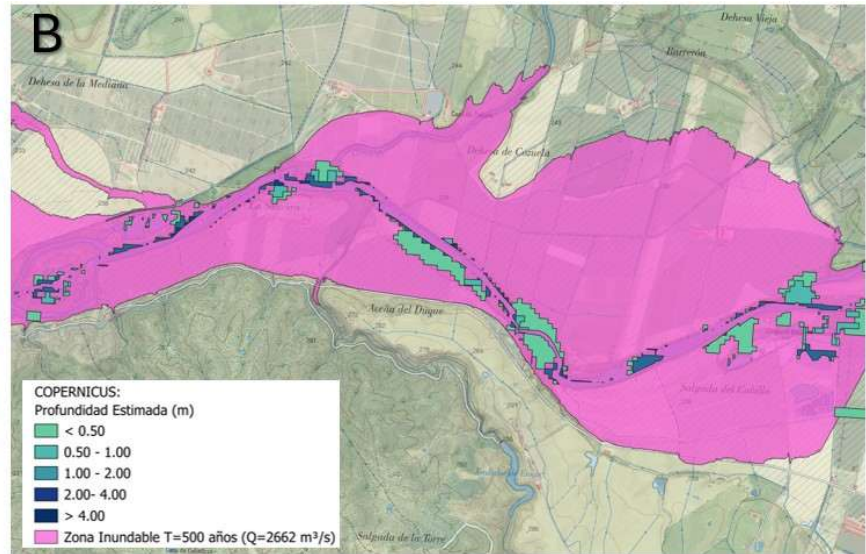
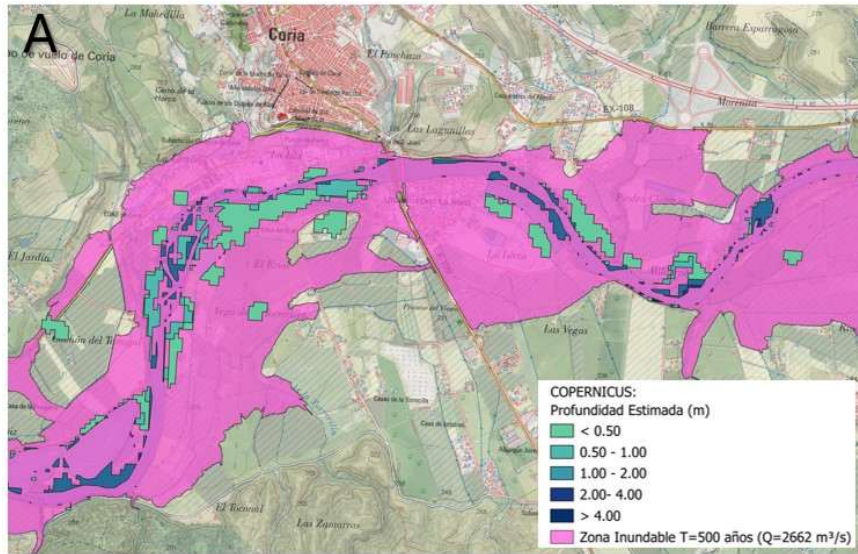
Por otro lado, las imágenes que incorporan la banda NIR (Near Infrared) permiten un análisis más detallado de la cobertura terrestre, especialmente de la vegetación.

En ambas imágenes se puede ver que el cauce del río no ha superado el límite que establece la mancha de inundación del SNCZI para el periodo de retorno de 10 años. Las imágenes fueron tomadas tras los días de mayores lluvias.

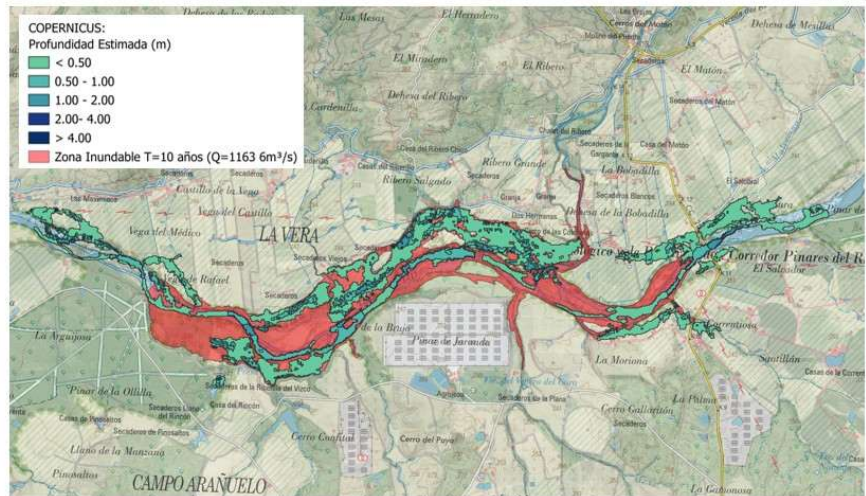
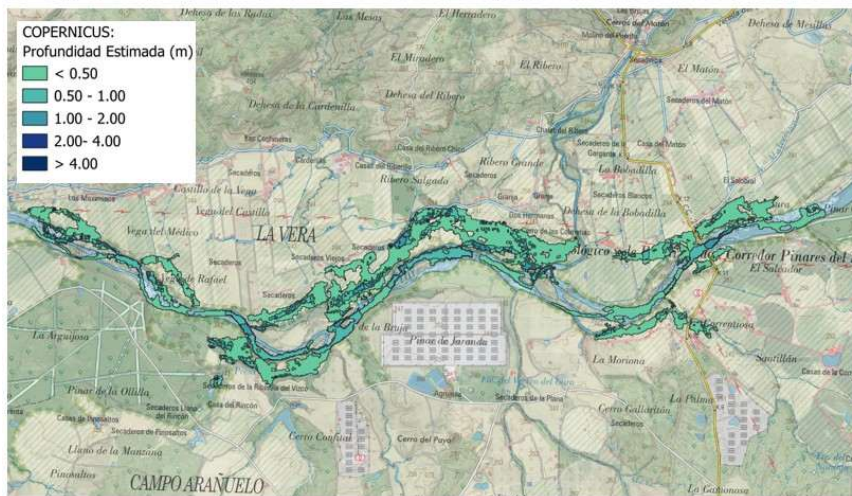
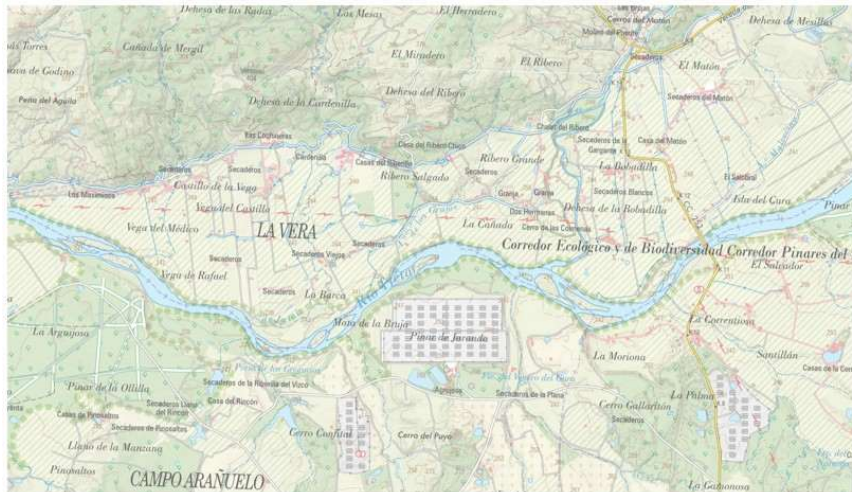
11.1. IMÁGEN SATELITE CORIA

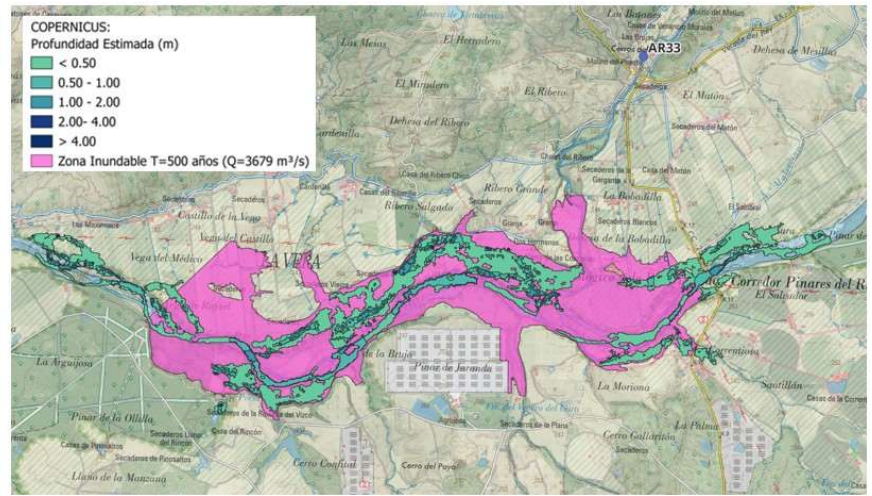
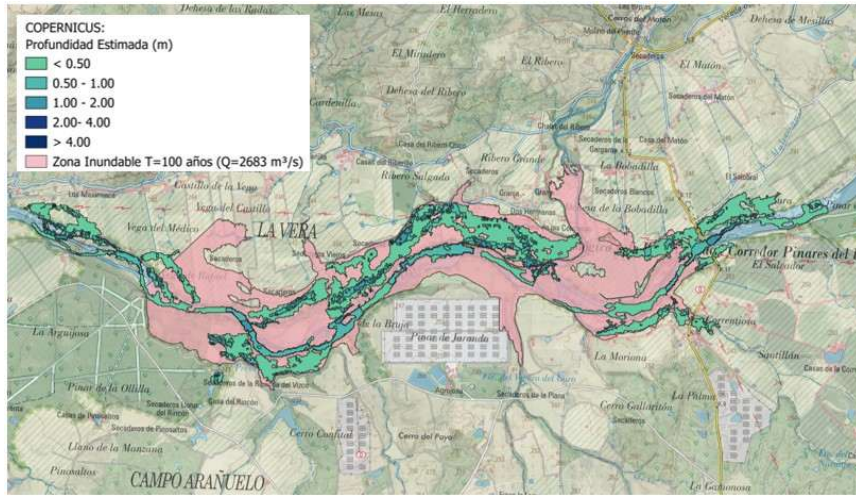




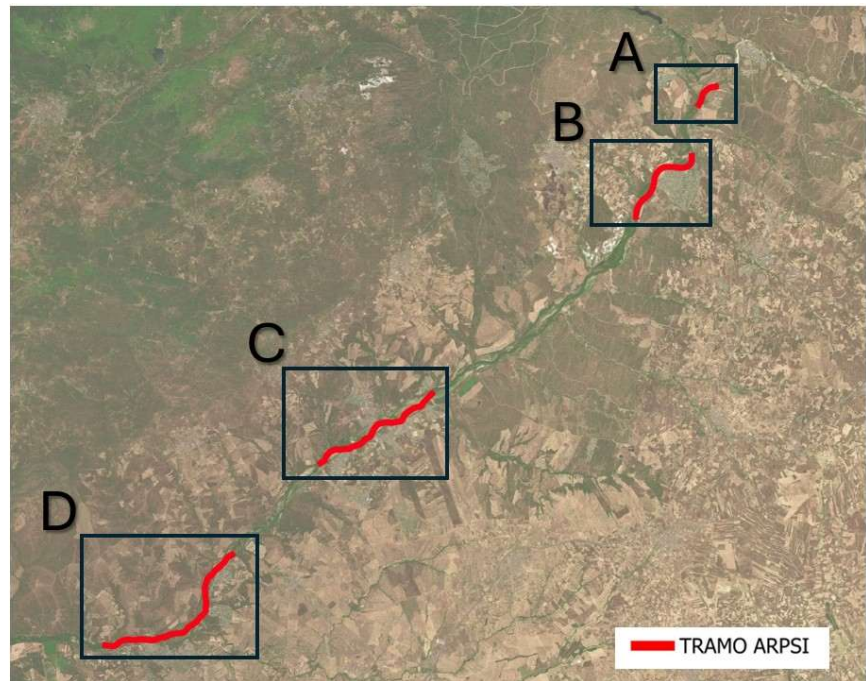
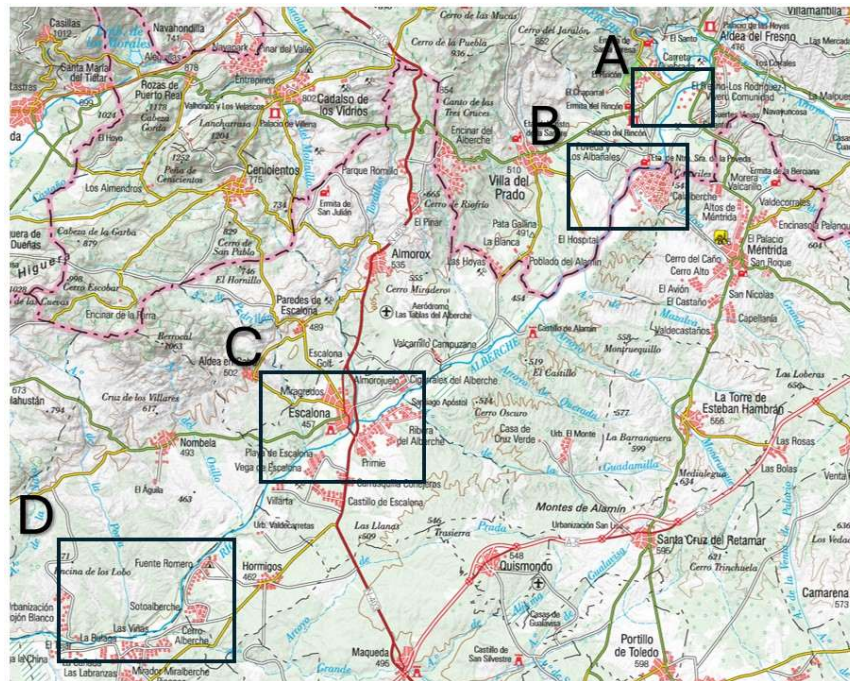


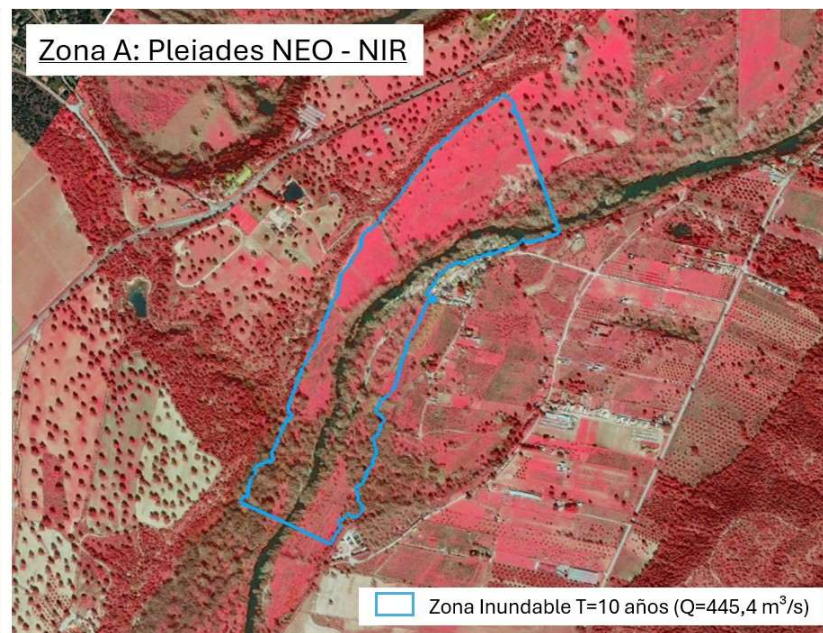
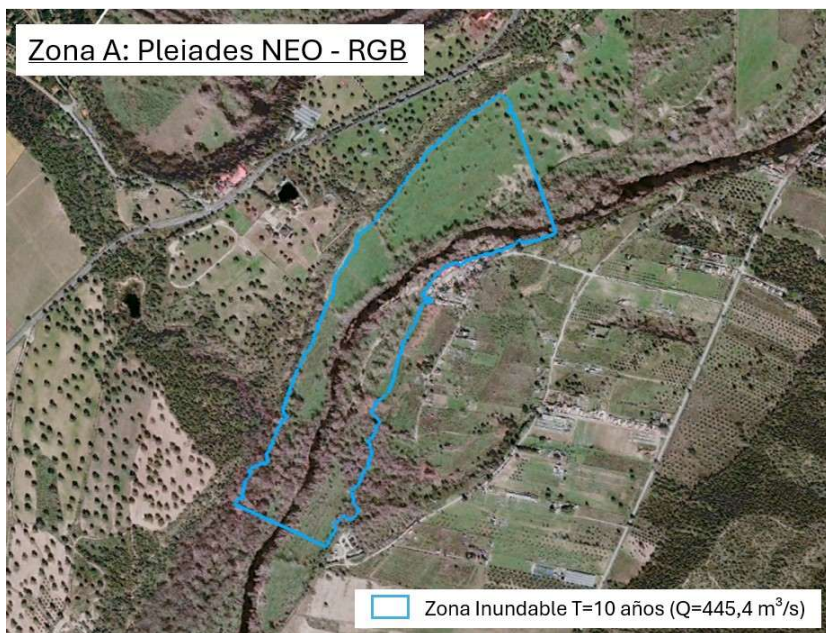
11.2. IMÁGEN SATELITE TIÉTAR

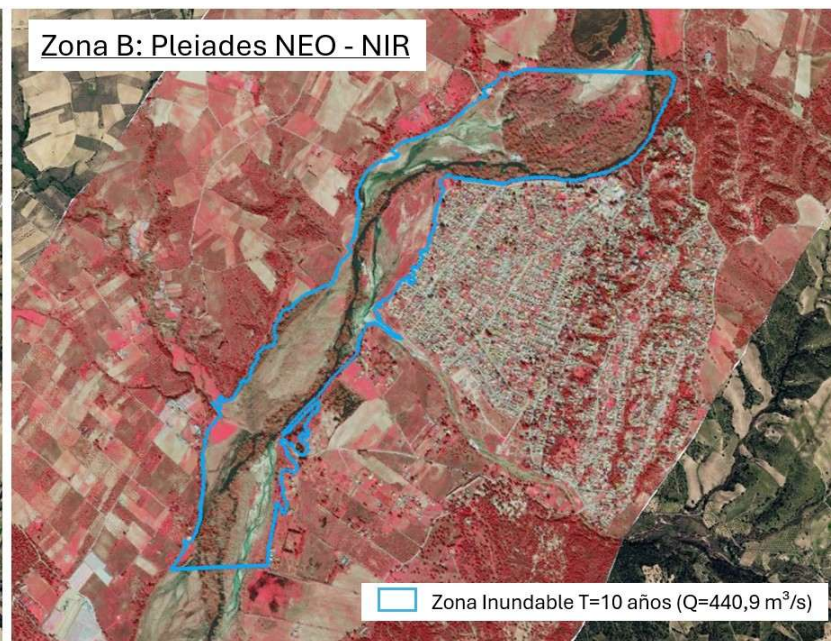
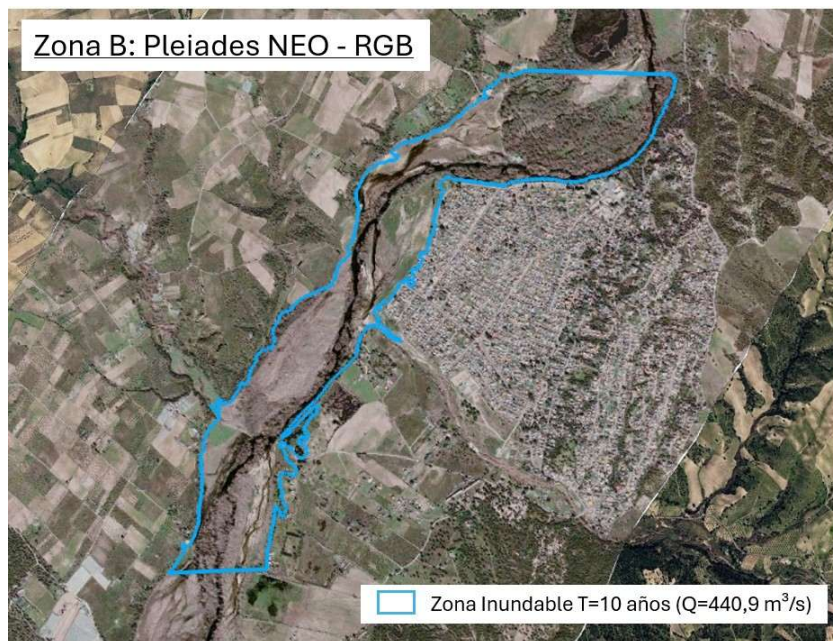


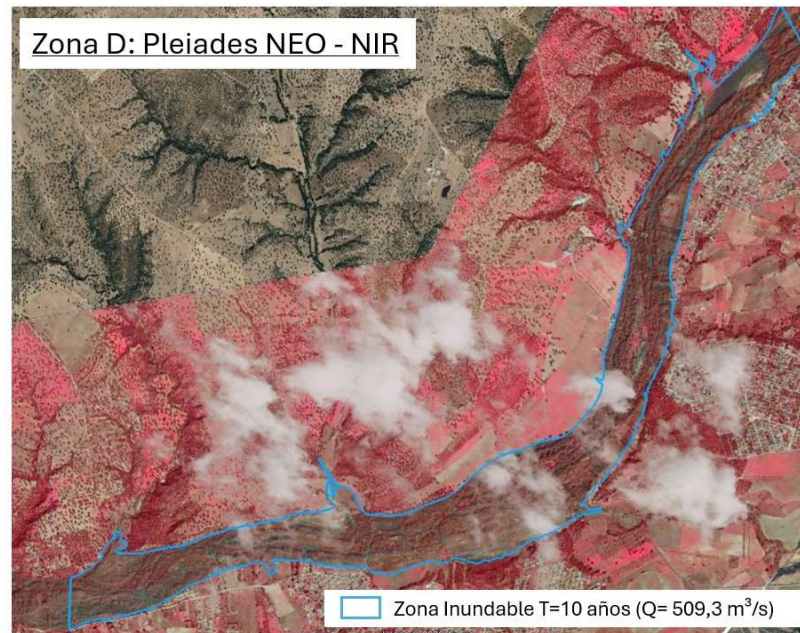
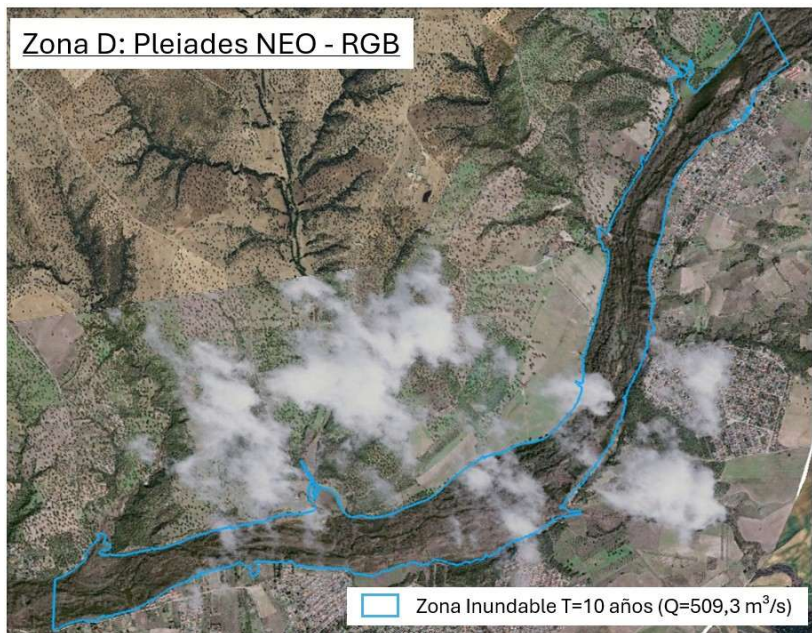
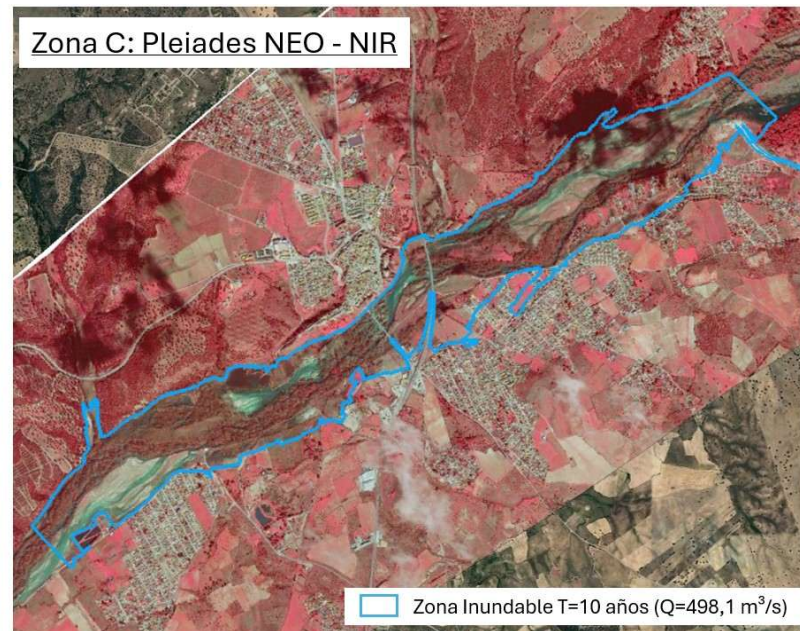
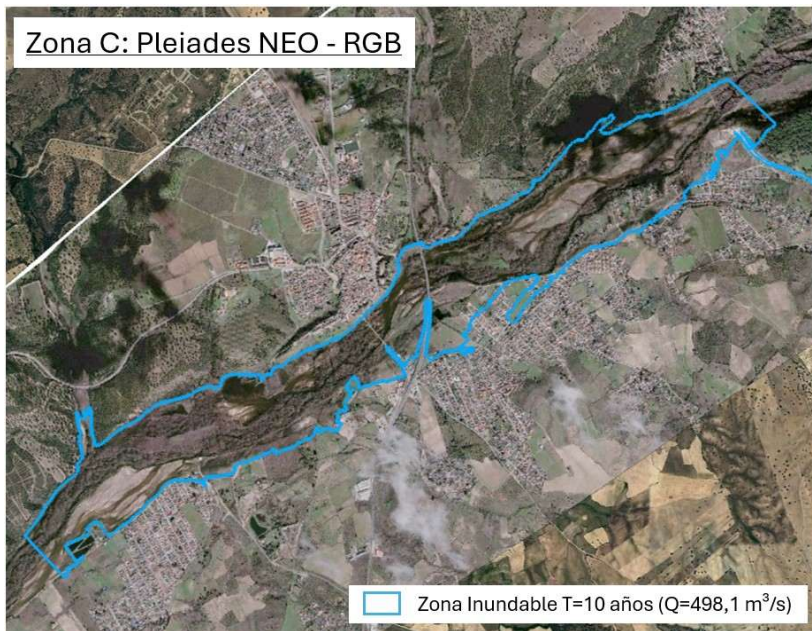


11.3. IMÁGEN SATÉLITE ALBERCHE









12. COMUNICACIONES CON PORTUGAL

De acuerdo con lo estipulado con el APA (Agência Portuguesa do Ambiente), para caudales vertidos superiores a 1.500 m³/s, se debe de avisar, por los cauces establecidos a Portugal. A lo largo del evento, se ha superado ese límite y la Confederación Hidrográfica del Tajo, OA, ha mantenido una comunicación constante con la APA.

Desde que se inició el episodio se ha mandado a Portugal más de 90 correos con aviso de superación de caudales. Se incluye en el **ANEXO III** la relación de correos mandados, con su fecha y hora.

13. REUNIONES CON ORGANOS DE PROTECCIÓN CIVIL

A lo largo del tren de borrascas y en consonancia con las obligaciones del Organismo de Cuenca, de acuerdo con lo indicado en el artículo 26 del RD 927/1988, de 29 de julio, por el que se aprueba el Reglamento de la Administración Pública del Agua y de la Planificación Hidrológica, en desarrollo de los títulos II y II de la Ley de Aguas, establece entre las funciones de los Organismos de cuenca la de informar sobre crecidas además de prestar el asesoramiento a la Administración del Estado, Comunidades Autónomas, Corporaciones Locales y demás Entidades públicas o privadas, uno o varios representantes de la CHT ha asistido como personal asesor a diferentes reuniones de órganos de protección civil.

Estas reuniones se pueden dividir en reuniones con la DGPCyE del Estado, en la llamada Unidad de Valoración de Riesgos (UVR), y con los CECOP, CECOPI y reuniones informativas realizadas por las Comunidades Autónomas.

13.1. REUNIONES UVR

Un representante del Organismo ha asistido desde que se nos convocó a partir del día 26, a un total de 28 reuniones.

En el **ANEXO IV** se puede consultar la fecha y hora de las reuniones a las que se ha asistido.

13.2. REUNIONES CON LAS CCAA

Uno o varios representantes del Organismo han asistido a las diferentes reuniones tanto de CECOP como reuniones informativas a las que se nos ha convocado desde el inicio del tren de borrascas, ascendiendo a un total de 16 reuniones.

Respecto a las reuniones por Comunidad Autónoma:

- Comunidad de Madrid 3 reuniones.
- Comunidad de Castilla- La Mancha 4 reuniones.
- Comunidad de Extremadura 9 reuniones.

En el **ANEXO IV** se puede consultar la fecha y hora de las reuniones a las que se ha asistido.

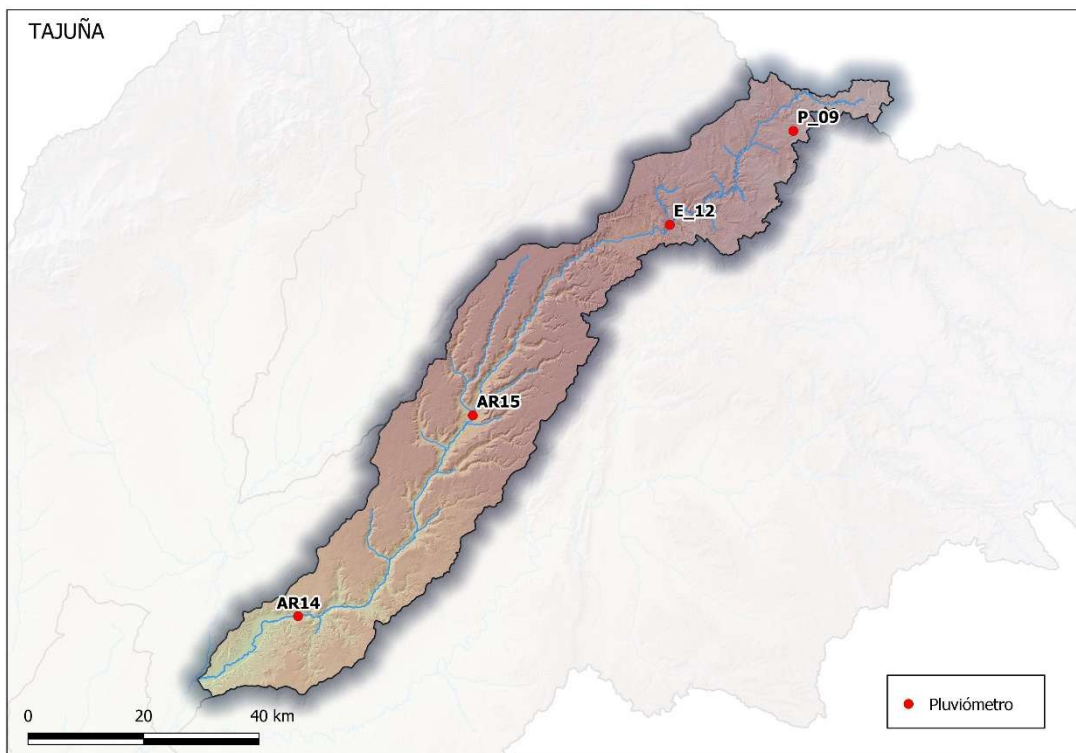
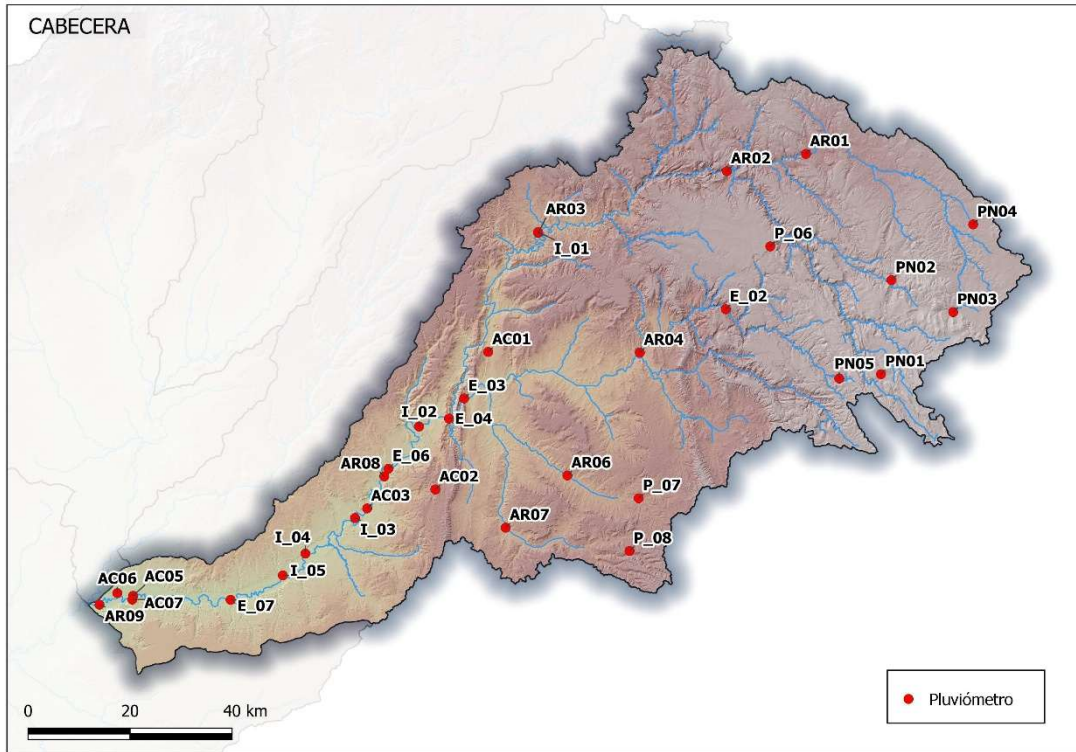
ANEXO I. UBICACIÓN ESTACIONES DE PLUVIOMETRÍA

ANEXO II. COMUNICACIÓN ESCENARIOS PRESAS

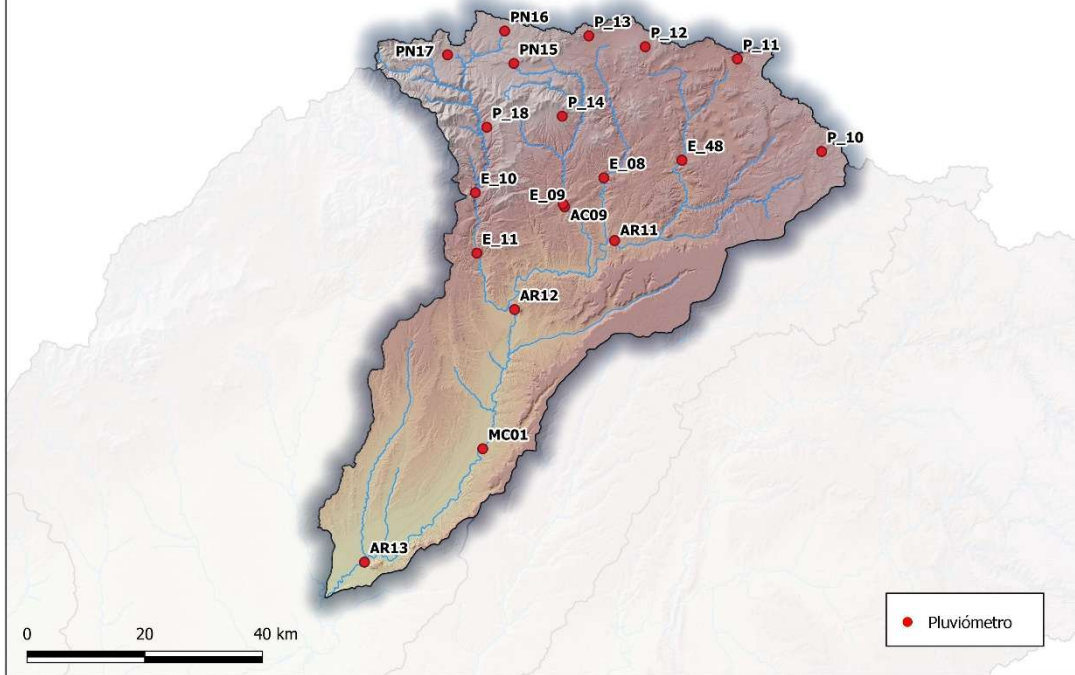
ANEXO III. RELACIÓN COMUNICACIÓN APA

ANEXO IV. RELACIÓN REUNIONES PROTECCIÓN CIVIL

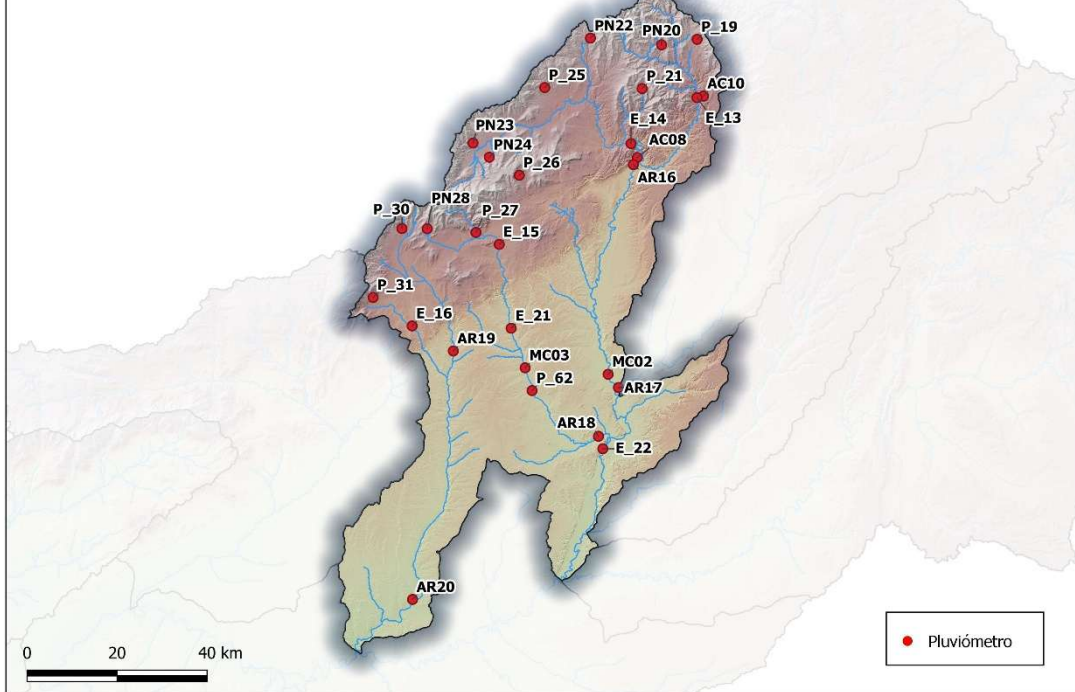
ANEXO I. UBICACIÓN ESTACIONES DE PLUVIOMETRÍA

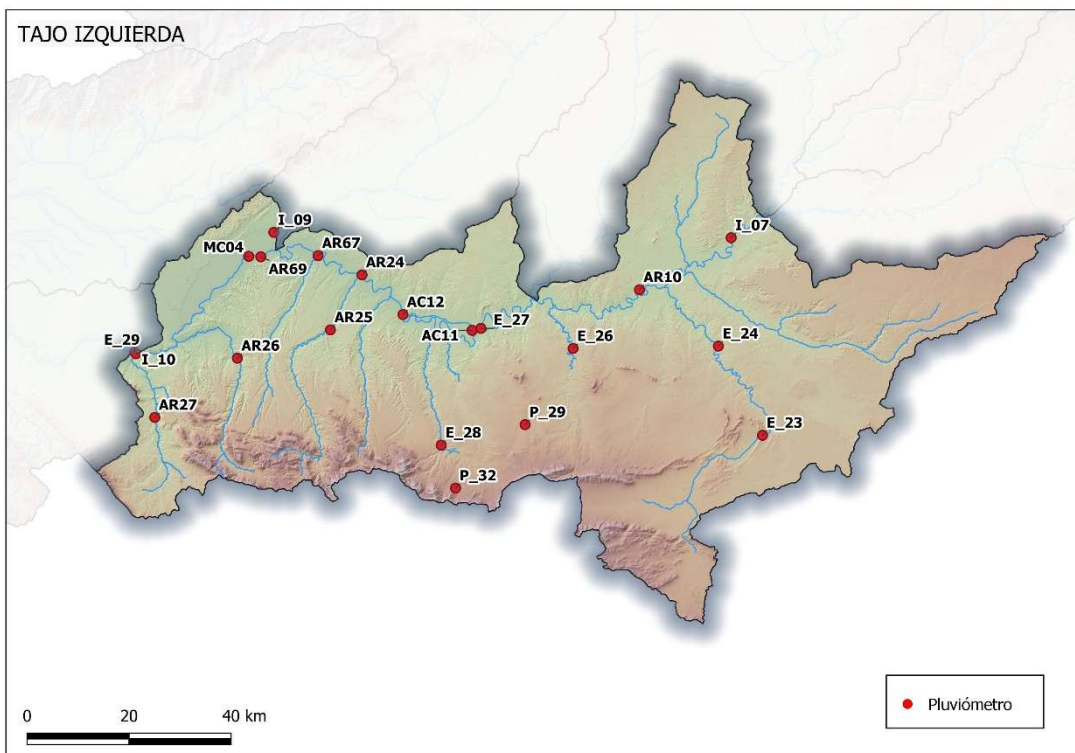
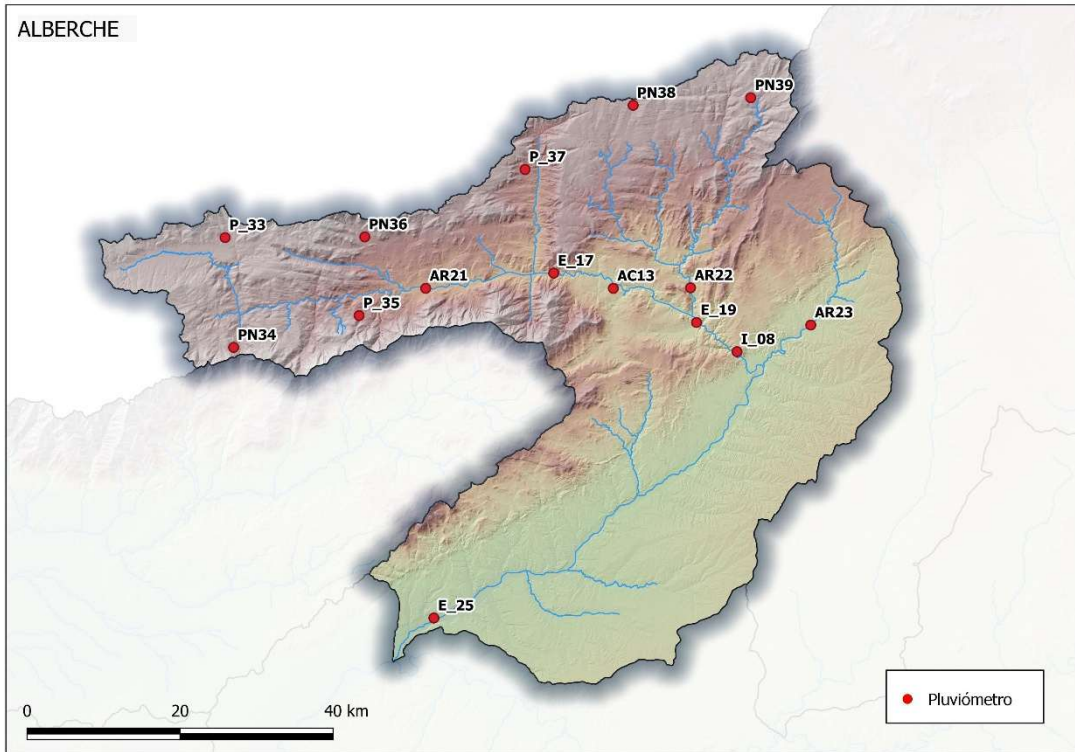


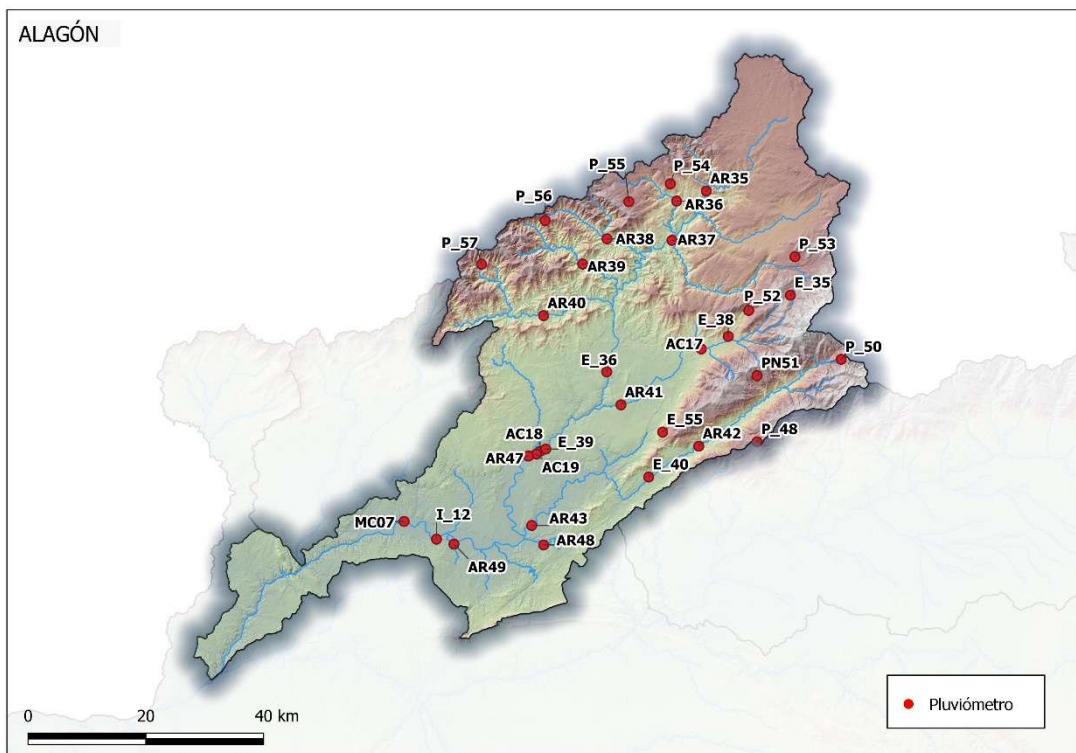
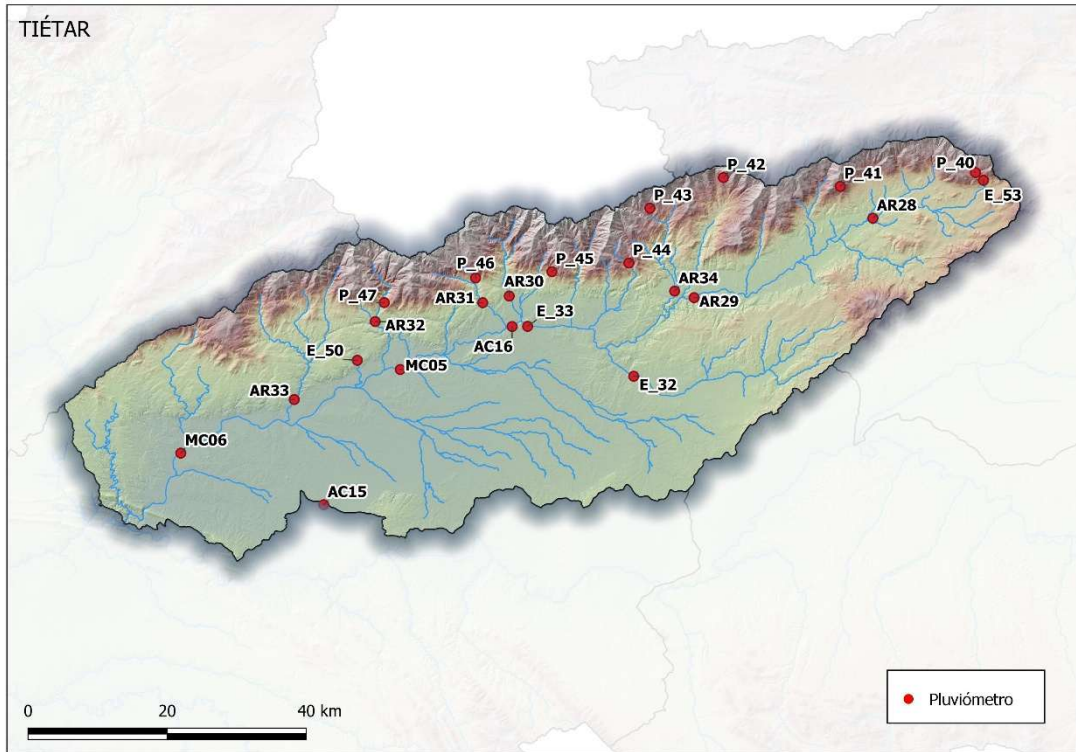
HENARES

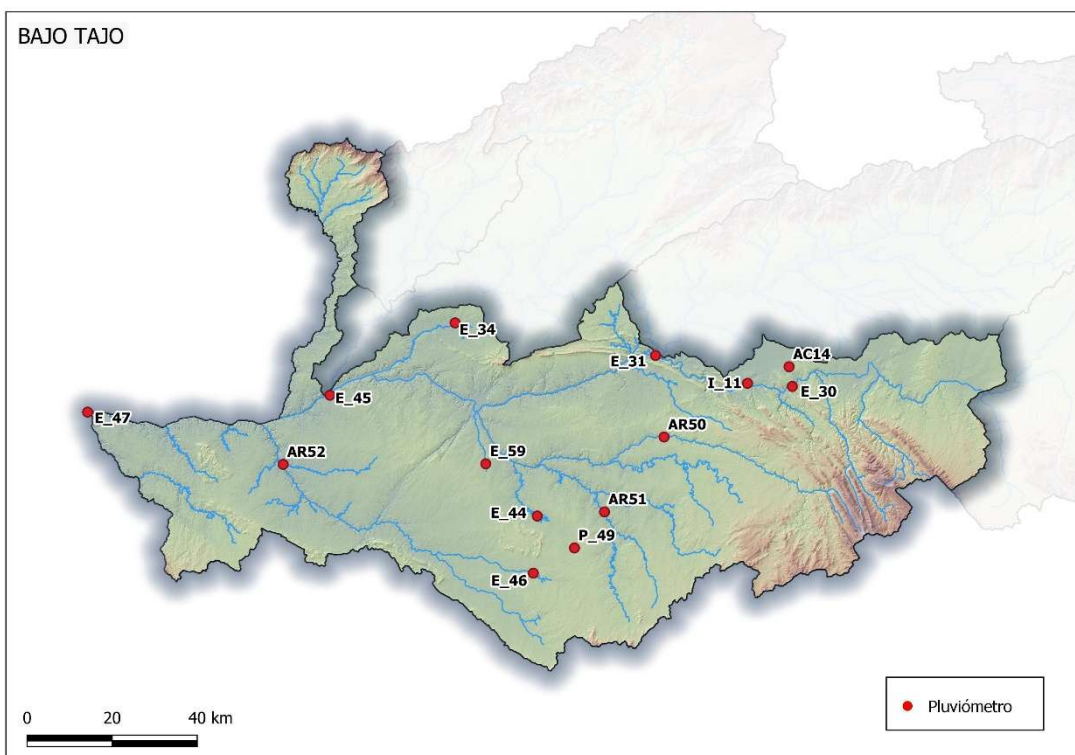
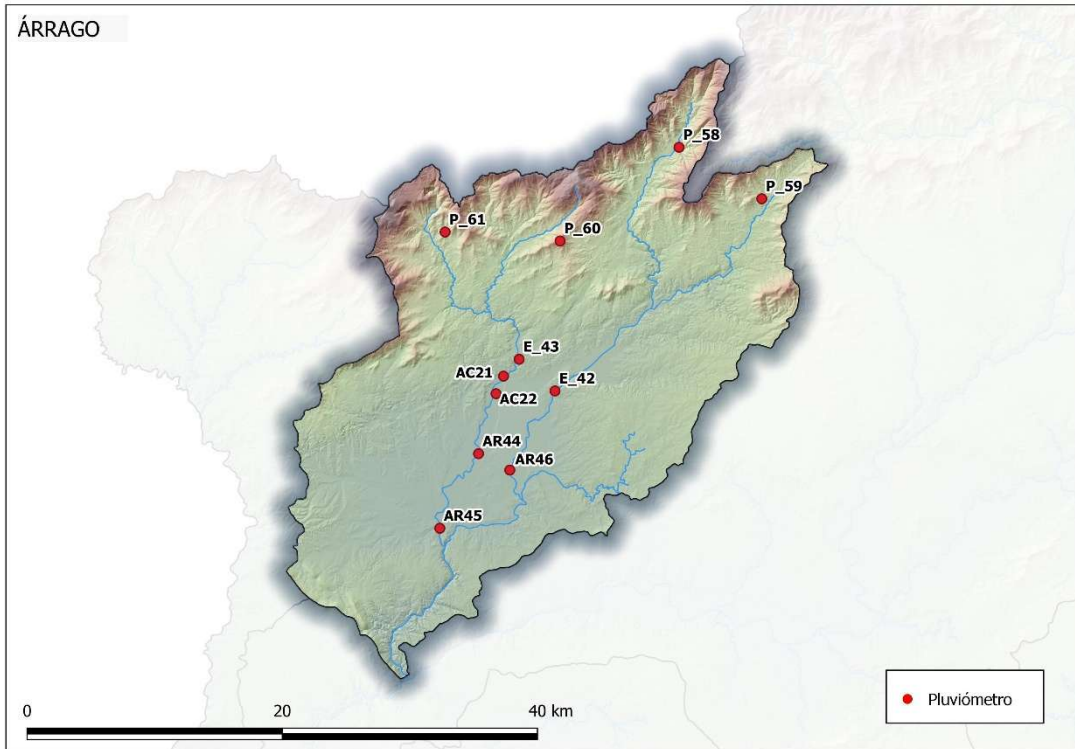


JARAMA-MANZANARES









ANEXO II. COMUNICACIÓN ESCENARIOS PRESAS

PRESAS TITULARIDAD ESTATAL

12/02/2026 – 15:15 – DECLARACIÓN ESCENARIO 0 PRESA GABRIEL Y GALÁN.

PLAN DE EMERGENCIA DE LA PRESA DE GABRIEL Y GALÁN
APÉNDICE 1 1 DE 90

PROCEDIMIENTO F-102
FORMULARIO DE NOTIFICACIÓN POR FAX DE DECLARACIÓN Y CAMBIO DE ESCENARIO

¡¡ Urgente!! Este es un mensaje derivado de la aplicación del Plan de Emergencia de la Presa de Gabriel y Galán.

Municipio: Guijo de Granadilla	Cuenca hidrográfica: Tajo	Código de la Presa: 0...
Provincia: Cáceres	Rio: Alagón	Código Plan de Emergencia: PED19
Comunidad Autónoma: Extremadura	Plano y Código:	Código Validación: VPED...

1) Se comunica a:

Confederación Hidrográfica del Tajo.

- Órgano de Dirección del Plan Territorial de Extremadura.
- Subdelegación del Gobierno en Cáceres.
- CECOPI.
- Presa de Guijo de Granadilla.
- Presa de Valdeobispo.
- Presa de Alcántara.

2) La declaración de escenario:

Escenario 0 Escenario 1 Escenario 2 Escenario 3

3) Anteriormente la presa se encontraba en:

Explotación normal

Escenario 0 Escenario 1 Escenario 2 Escenario 3

4) La descripción de la situación es: (causas, evolución).

A consecuencia de inspección rutinaria en cuerpo de presa se observa aparición de filtraciones anormalmente elevadas en junta horizontal de construcción. Estímulo derecho, cota 384,72 m. En el momento de la aparición se da la situación de que el embalse tiene almacenado un volumen de agua superior al usual en estas fechas (la cota actual de lámina de agua es la 384,9 m).

PLAN DE EMERGENCIA DE LA PRESA DE GABRIEL Y GALÁN
APÉNDICE 1 2 DE 90

5) Las medidas adoptadas son:

Aumento de la vigilancia en las filtraciones de la presa. Medida y seguimiento de la evolución de la filtración. Registro gráfico de la situación. Control topográfico de la presa, especialmente en la zona sobre la junta horizontal de construcción.

6) Se comunica simultáneamente a:

Confederación Hidrográfica del Tajo.

- Órgano de Dirección del Plan Territorial de Extremadura.
- Subdelegación del Gobierno en Cáceres.
- CECOPI.
- Presa de Guijo de Granadilla.
- Presa de Valdeobispo.
- Presa de Alcántara.

7) Las próximas comunicaciones tendrá lugar:

Presa de Gabriel y Galán. Fecha: 13/ 02/ 2026 Hora: 13:30
El Director del Plan: [REDACTED] Firma:

Firmado por [REDACTED] el día 12/02/2026 con un certificado emitido por AC Sector Público

Acusen recibo de esta notificación.
Fin del mensaje

16/02/2026 17:52 DECLARACIÓN FIN ESCENARIO 0. PRESA GABRIEL Y GALÁN

PLAN DE EMERGENCIA DE LA PRESA DE GABRIEL Y GALÁN
APÉNDICE 1 70 DE 90

PROCEDIMIENTO F-104
FORMULARIO DE NOTIFICACIÓN POR FAX DE COMUNICACIÓN DE FIN DE EMERGENCIA

¡¡ Urgente!! Este es un mensaje derivado de la aplicación del Plan de Emergencia de la Presa de Gabriel y Galán.

Municipio: Guijo de Granadilla	Cuenca hidrográfica: Tajo	Código de la Presa: 0...
Provincia: Cáceres	Rio: Alagón	Código Plan de Emergencia: PED...
Comunidad Autónoma: Extremadura	Plano y Código:	Código Validación: VPED...

1) Se comunica a:

Confederación Hidrográfica del Tajo.

- Órgano de Dirección del Plan Territorial de Extremadura.
- Subdelegación del Gobierno en Cáceres.
- CECOPI.
- Presa de Guijo de Granadilla.
- Presa de Valdeobispo.
- Presa de Alcántara.

Que habiendo desaparecido las causas que motivaron la aplicación del Plan, se declara el cierre de la Emergencia.

2) Se comunica simultáneamente a:

Confederación Hidrográfica del Tajo.

- Órgano de Dirección del Plan Territorial de Extremadura.
- Subdelegación del Gobierno en Cáceres.
- CECOPI.
- Presa de Guijo de Granadilla.
- Presa de Valdeobispo.
- Presa de Alcántara.

PLAN DE EMERGENCIA DE LA PRESA DE GABRIEL Y GALÁN
APÉNDICE 1 71 DE 90

Presa de Gabriel y Galán. Fecha: 16/ 02/ 2026 Hora: 13:15
El Director del Plan: [REDACTED] Firma:

Firmado por [REDACTED] el día 16/02/2026 con un certificado emitido por AC Sector Público

Acusen recibo de esta notificación.
Fin del mensaje

(Quitar esta misma hoja, marcando la casilla correspondiente al fax: _____ de la sala de emergencia.)

El Organismo:

- Confederación Hidrográfica del Tajo.
- Órgano de Dirección del Plan Territorial de Extremadura.
- Subdelegación del Gobierno en Cáceres.
- CECOPI.
- Presa de Guijo de Granadilla.
- Presa de Valdeobispo.
- Presa de Alcántara.

Se ha recibido la notificación adjunta. Fecha / / Hora: Firma: Sello:

Legible Legible con dificultad Legible

REVISIÓN: 0
FECHA: ABRIL 2007

ACTUALIZACIÓN:
FECHA:

REVISIÓN: 0
FECHA: ABRIL 2007

ACTUALIZACIÓN:
FECHA:

PRESAS TITULARIDAD NO ESTATAL

04/02/2026 11:35 DECLARACIÓN ESCENARIO 0. PRESA DE CEDILLO (E_47). TITULAR: IBERDROLA



PLAN DE EMERGENCIA DE LA PRESA DE CEDILLO

HOJA MODELO DE COMUNICACIÓN	
Comunicación de:	
<input checked="" type="checkbox"/> Se declara el Escenario: 0	<input type="checkbox"/> Prueba de funcionamiento <input type="checkbox"/> Fin de la Emergencia / Prueba
Denominación completa y oficial de la presa: Cedillo	
Coordenadas : Latitud Norte: 39°39'54" Longitud Oeste: 07°32'30" Municipio: Cedillo Provincia: Cáceres Comunidad Autónoma: Extremadura Río: Tajo y Sever Cuenca: Tajo	
Esta comunicación será enviada:	
<input checked="" type="checkbox"/> Confederación Hidrográfica del Tajo <input checked="" type="checkbox"/> Dirección General del Agua <input type="checkbox"/> Protección Civil de la Comunidad Autónoma de Castilla-La Mancha <input type="checkbox"/> Protección Civil de la Comunidad Autónoma de Extremadura <input type="checkbox"/> CECOPI Castilla-La Mancha	<input type="checkbox"/> CECOPI Extremadura <input type="checkbox"/> CENEM <input type="checkbox"/> Delegación del Gobierno en Castilla-La Mancha <input type="checkbox"/> Delegación del Gobierno en Extremadura <input type="checkbox"/> Presas de Valdecañas, La Portiña, Cazalegas, Torcón y Castrejón
Provincia susceptible de ser afectada:	
Cáceres	
Identificación del emisor de la comunicación:	
Centro de Operación de Hidroeléctricas (Tfno.: 962 51 70 71)	
Descripción escueta de las causas que motivan la declaración o cambio de Escenario:	
Incremento de caudales evacuados a través de órganos de desagüe de presa a valores superiores a 3.724 m ³ /s.	
Descripción escueta de la evolución prevista de la situación a corto plazo:	
Las predicciones meteorológicas de la AEMET muestran que los caudales entrantes se pueden incrementar a corto plazo, por lo que se mantendrá un seguimiento de los mismos.	
Descripción escueta de las medidas de vigilancia e inspección y de corrección que se prevé adoptar:	
Intensificación del control del nivel y de los caudales entrantes y salientes del embalse de Cedillo, de la inspección de presa y de la comprobación de adecuado funcionamiento de los órganos de desagüe.	
Identificación del Director del PEP:	
Dña.: [REDACTED]	
Sistemas de comunicación con el Director del PEP:	
Tfno [REDACTED]	
Denominación de la zona de inundación asociada a la situación. (Solo si existen varias):	
Momento en que se prevé nueva comunicación, si las circunstancias no cambian:	
En 48 horas	

- Será preceptivo remitir acuse de recibo a la recepción de la presente comunicación.
- Deberá comunicarse el final de la emergencia.

Apéndice 1 – Hoja modelo de comunicación

06/02/2026 08:15 DECLARACIÓN FIN ESCENARIO 0. PRESA DE CEDILLO (E_47). TITULAR: IBERDROLA



HOJA MODELO DE COMUNICACIÓN	
Comunicación de:	
<input type="checkbox"/> Se declara el Escenario: 0	<input type="checkbox"/> Prueba de funcionamiento <input checked="" type="checkbox"/> Fin de la Emergencia / Prueba
Denominación completa y oficial de la presa: Cedillo	
Coordenadas : Latitud Norte: 39°39'54" Longitud Oeste: 07°32'30"	
Municipio: Cedillo Provincia: Cáceres	
Comunidad Autónoma: Extremadura Río: Tajo y Sever Cuenca: Tajo	
Esta comunicación será enviada:	
<input checked="" type="checkbox"/> Confederación Hidrográfica del Tajo <input checked="" type="checkbox"/> Dirección General del Agua <input type="checkbox"/> Protección Civil de la Comunidad Autónoma de Extremadura	<input type="checkbox"/> CECOPI Extremadura <input type="checkbox"/> CENEM <input type="checkbox"/> Delegación del Gobierno en Extremadura
Provincia susceptible de ser afectada:	
Cáceres	
Identificación del emisor de la comunicación:	
Centro de Operación de Hidroeléctricas (Tfno.: 962 51 70 71)	
Descripción escueta de las causas que motivan la declaración o cambio de Escenario:	
Reducción de caudales evacuados a través de órganos de desagüe de presa a valores inferiores a 3.724 m ³ /s.	
Descripción escueta de la evolución prevista de la situación a corto plazo:	
Las predicciones meteorológicas de la AEMET muestran que la actual tendencia a la baja de los caudales entrantes al embalse de Cedillo se mantendrá en el corto plazo.	
Descripción escueta de las medidas de vigilancia e inspección y de corrección que se prevé adoptar:	
n/a	
Identificación del Director del PEP:	
Dña.: [REDACTED]	
Sistemas de comunicación con el Director del PEP:	
Tfno: [REDACTED]	
Denominación de la zona de inundación asociada a la situación. (Solo si existen varias):	
Momento en que se prevé nueva comunicación, si las circunstancias no cambian:	
n/a	

- Será preceptivo remitir acuse de recibo a la recepción de la presente comunicación.
- Deberá comunicarse el final de la emergencia.

11/02/2026 23:00 DECLARACIÓN ESCENARIO 0. PRESA DE ALCÁNTARA (E_45). TITULAR: IBERDROLA



PLAN DE EMERGENCIA DE LA PRESA DE JOSE MARÍA DE ORIOI

HOJA MODELO DE COMUNICACIÓN	
Comunicación de:	
<input checked="" type="checkbox"/> Se declara el Escenario: 0	<input type="checkbox"/> Prueba de funcionamiento <input type="checkbox"/> Fin de la Emergencia / Prueba
Denominación completa y oficial de la presa: Jose María de Oriol	
Coordenadas : 39°41'15" Latitud Norte 06°52'01" Longitud Oeste	
Municipio: Alcántara Provincia: Cáceres	
Comunidad Autónoma: Extremadura Río: Tajo Cuenca: Tajo	
Esta comunicación será enviada:	
<input checked="" type="checkbox"/> Confederación Hidrográfica del Tajo <input checked="" type="checkbox"/> Dirección General del Agua	<input checked="" type="checkbox"/> Presas de Cedillo, Torrejón-Tajo y Torrejón-Tiétar. <input checked="" type="checkbox"/> Presas de Borbollón, Valdeobispo y Rivera de Gata
Provincia susceptible de ser afectada:	
Cáceres	
Identificación del emisor de la comunicación:	
Centro de Operación de Hidroeléctricas (Tfno.: 962 51 70 71)	
Descripción escueta de las causas que motivan la declaración o cambio de Escenario:	
Incremento de caudales evacuados a través de órganos de desagüe de presa a valores superiores a 3.600 m ³ /s, provocado por el incremento de los caudales entrantes al embalse de Alcántara.	
Descripción escueta de la evolución prevista de la situación a corto plazo:	
La previsión a corto plazo es de incremento moderado de los caudales entrantes al embalse.	
Descripción escueta de las medidas de vigilancia e inspección y de corrección que se prevé adoptar:	
Intensificación del control del nivel y de los caudales entrantes y salientes del embalse de Alcántara, de la inspección de presa y de la comprobación de adecuado funcionamiento de los órganos de desagüe.	
Identificación del Director del PEP:	
Dña.: [REDACTED]	
Sistemas de comunicación con el Director del PEP:	
[REDACTED]	
Denominación de la zona de inundación asociada a la situación. (Solo si existen varias):	
[REDACTED]	
Momento en que se prevé nueva comunicación, si las circunstancias no cambian:	
En 48 horas	

- Será preceptivo remitir acuse de recibo a la recepción de la presente comunicación.
- Deberá comunicarse el final de la emergencia.



HOJA MODELO DE COMUNICACIÓN	
Comunicación de:	
<input type="checkbox"/> Escenario: 0	<input type="checkbox"/> Prueba de funcionamiento <input checked="" type="checkbox"/> Fin de la Emergencia / Prueba
Denominación completa y oficial de la presa: Jose María de Oriol	
Coordenadas : 39°41'15"Latitud Norte 06°52'01" Longitud Oeste	
Municipio: Alcántara	Provincia: Cáceres
Comunidad Autónoma: Extremadura	Río: Tajo Cuenca: Tajo
Esta comunicación será enviada:	
<input checked="" type="checkbox"/> Confederación Hidrográfica del Tajo <input checked="" type="checkbox"/> Dirección General del Agua	<input checked="" type="checkbox"/> Presas de Cedillo, Torrejón-Tajo y Torrejón-Tiétar. <input checked="" type="checkbox"/> Presas de Borbollón, Valdeobispo y Rivera de Gata
Provincia susceptible de ser afectada:	
Cáceres	
Identificación del emisor de la comunicación:	
Centro de Operación de Hidroeléctricas (Tfno.: 962 51 70 71)	
Descripción escueta de las causas que motivan la declaración o cambio de Escenario:	
Reducción significativa de los caudales entrantes al embalse.	
Descripción escueta de la evolución prevista de la situación a corto plazo:	
Las previsiones meteorológicas de la AEMET indican que no se esperan nuevos frentes de borrascas en los próximos días, por lo que se mantendrá la progresiva reducción de caudales.	
Descripción escueta de las medidas de vigilancia e inspección y de corrección que se prevé adoptar:	
n/a	
Identificación del Director del PEP:	
Dña.: [REDACTED]	
Sistemas de comunicación con el Director del PEP:	
Tfno: [REDACTED]	
Denominación de la zona de inundación asociada a la situación. (Solo si existen varias):	
Momento en que se prevé nueva comunicación, si las circunstancias no cambian:	
n/a	

Será preceptivo remitir acuse de recibo a la recepción de la presente comunicación.

Deberá comunicarse el final de la emergencia.



HOJA MODELO DE COMUNICACIÓN	
Comunicación de:	
<input checked="" type="checkbox"/> Se declara el Escenario: 0	<input type="checkbox"/> Prueba de funcionamiento <input type="checkbox"/> Fin de la Emergencia / Prueba
Denominación completa y oficial de la presa: Cedillo	
Coordenadas: Latitud Norte: 39°39'54" Longitud Oeste: 07°32'30"	
Municipio: Cedillo Provincia: Cáceres	
Comunidad Autónoma: Extremadura Río: Tajo y Sever Cuenca: Tajo	
Esta comunicación será enviada:	
<input checked="" type="checkbox"/> Confederación Hidrográfica del Tajo <input checked="" type="checkbox"/> Dirección General del Agua	
Provincia susceptible de ser afectada:	
Cáceres y aguas abajo en Portugal	
Identificación del emisor de la comunicación:	
Centro de Operación de Hidroeléctricas (Tfno.: 962 51 70 71)	
Descripción escueta de las causas que motivan la declaración o cambio de Escenario:	
Evacuación por órganos de desagüe de caudales superiores a 3724 m3/s, provocado por incremento de caudales entrantes al embalse de Cedillo	
Descripción escueta de la evolución prevista de la situación a corto plazo:	
La previsión a corto plazo es de incremento moderado de los caudales entrantes al embalse	
Descripción escueta de las medidas de vigilancia e inspección y de corrección que se prevé adoptar:	
Intensificación del control del nivel y de los caudales entrantes y salientes del embalse de Cedillo, de la inspección de presa y de la comprobación de adecuado funcionamiento de los órganos de desagüe.	
Identificación del Director del PEP:	
Dña. [REDACTED]	
Sistemas de comunicación con el Director del PEP:	
Tfno: [REDACTED]	
Denominación de la zona de inundación asociada a la situación. (Solo si existen varias):	
Momento en que se prevé nueva comunicación, si las circunstancias no cambian:	
48 h	

Será preceptivo remitir acuse de recibo a la recepción de la presente comunicación.

Deberá comunicarse el final de la emergencia.



HOJA MODELO DE COMUNICACIÓN	
Comunicación de:	
<input type="checkbox"/> Escenario: 0	<input type="checkbox"/> Prueba de funcionamiento <input checked="" type="checkbox"/> Fin de la Emergencia / Prueba
Denominación completa y oficial de la presa: Cedillo	
Coordenadas: Latitud Norte: 39°39'54" Longitud Oeste: 07°32'30"	
Municipio: Cedillo Provincia: Cáceres	
Comunidad Autónoma: Extremadura Río: Tajo y Sever Cuenca: Tajo	
Esta comunicación será enviada:	
<input checked="" type="checkbox"/> Confederación Hidrográfica del Tajo <input checked="" type="checkbox"/> Dirección General del Agua	
Provincia susceptible de ser afectada:	
n/a	
Identificación del emisor de la comunicación:	
Centro de Operación de Hidroeléctricas (Tfno.: 962 51 70 71)	
Descripción escueta de las causas que motivan la declaración o cambio de Escenario:	
Reducción significativa de los caudales entrantes al embalse.	
Descripción escueta de la evolución prevista de la situación a corto plazo:	
Las previsiones meteorológicas de la AEMET indican que no se esperan nuevos frentes de borrascas en los próximos días, por lo que se mantendrá la progresiva reducción de caudales.	
Descripción escueta de las medidas de vigilancia e inspección y de corrección que se prevé adoptar:	
n/a	
Identificación del Director del PEP:	
Dña.: [REDACTED]	
Sistemas de comunicación con el Director del PEP:	
Tfno: [REDACTED]	
Denominación de la zona de inundación asociada a la situación. (Solo si existen varias):	
n/a	
Momento en que se prevé nueva comunicación, si las circunstancias no cambian:	
n/a	

Será preceptivo remitir acuse de recibo a la recepción de la presente comunicación.

Deberá comunicarse el final de la emergencia.



HOJA MODELO DE COMUNICACIÓN	
Comunicación de:	
<input checked="" type="checkbox"/> Se declara el Escenario: 0	<input type="checkbox"/> Prueba de funcionamiento <input type="checkbox"/> Fin de la Emergencia / Prueba
Denominación completa y oficial de la presa: Valdecañas	
Coordenadas UTM Huso UTM 30: X: 276.293,21/Y: 4.406.376,17	
Municipio: Valdecañas de Tajo y Belvis de Monroy	Provincia: Cáceres
Comunidad Autónoma: Extremadura Río: Tajo	Cuenca: Tajo
Esta comunicación será enviada:	
<input checked="" type="checkbox"/> Confederación Hidrográfica del Tajo <input checked="" type="checkbox"/> Dirección General del Agua <input type="checkbox"/> Protección Civil de la Comunidad Autónoma de Extremadura <input type="checkbox"/> CECOPI Extremadura <input type="checkbox"/> CENEM	<input type="checkbox"/> Delegación del Gobierno en Extremadura <input checked="" type="checkbox"/> Presas de Azután y Torrejón-Tajo <input checked="" type="checkbox"/> Presa de La Recuerdo <input checked="" type="checkbox"/> Presa de Almaraz-Arrocampo <input checked="" type="checkbox"/> Central Nuclear de Almaraz
Provincia susceptible de ser afectada:	
Cáceres	
Identificación del emisor de la comunicación:	
Centro de Operación de Hidroeléctricas (Tfno.: 962 51 70 71)	
Descripción escueta de las causas que motivan la declaración o cambio de Escenario:	
Evacuación de un caudal superior a 800 m ³ /s por los órganos de desagüe de presa.	
Descripción escueta de la evolución prevista de la situación a corto plazo:	
La actual situación hidrológica y las previsiones de la AEMET indican que los caudales entrantes se van a mantener a corto plazo.	
Descripción escueta de las medidas de vigilancia e inspección y de corrección que se prevé adoptar:	
Intensificación del control del nivel y de los caudales entrantes y salientes del embalse de Valdecañas, de la inspección de presa y de la comprobación de adecuado funcionamiento de los órganos de desagüe.	
Identificación del Director del PEP:	
Dña.: [REDACTED]	
Sistemas de comunicación con el Director del PEP:	
Tfno: [REDACTED]	
Denominación de la zona de inundación asociada a la situación. (Solo si existen varias):	
Momento en que se prevé nueva comunicación, si las circunstancias no cambian:	
En 48 horas	

Será preceptivo remitir acuse de recibo a la recepción de la presente comunicación.

Deberá comunicarse el final de la emergencia.

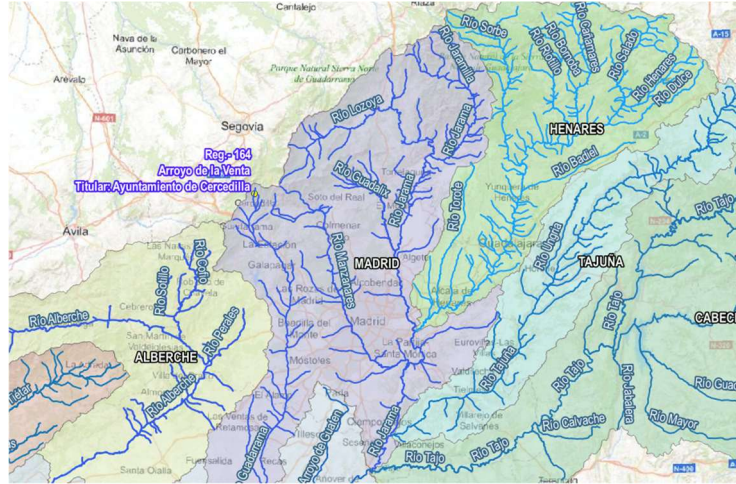


HOJA MODELO DE COMUNICACIÓN	
Comunicación de:	
<input type="checkbox"/> Escenario: 0	<input type="checkbox"/> Prueba de funcionamiento <input checked="" type="checkbox"/> Fin de la Emergencia / Prueba
Denominación completa y oficial de la presa: Valdecañas	
Coordenadas UTM Huso UTM 30: X: 276.293,21/Y: 4.406.376,17	
Municipio: Valdecañas de Tajo y Belvís de Monroy	Provincia: Cáceres
Comunidad Autónoma: Extremadura	Río: Tajo
	Cuenca: Tajo
Esta comunicación será enviada:	
<input checked="" type="checkbox"/> Confederación Hidrográfica del Tajo <input checked="" type="checkbox"/> Dirección General del Agua <input type="checkbox"/> Protección Civil de la Comunidad Autónoma de Extremadura <input type="checkbox"/> CECOPI Extremadura <input type="checkbox"/> CENEM	<input type="checkbox"/> Delegación del Gobierno en Extremadura <input checked="" type="checkbox"/> Presas de Azután y Torrejón-Tajo <input checked="" type="checkbox"/> Presa de La Recuerdo <input checked="" type="checkbox"/> Presa de Almaraz-Arrocampo <input checked="" type="checkbox"/> Central Nuclear de Almaraz
Provincia susceptible de ser afectada:	
Cáceres	
Identificación del emisor de la comunicación:	
Centro de Operación de Hidroeléctricas (Tfno.: 962 51 70 71)	
Descripción escueta de las causas que motivan la declaración o cambio de Escenario:	
Reducción significativa de los caudales entrantes al embalse.	
Descripción escueta de la evolución prevista de la situación a corto plazo:	
Las previsiones meteorológicas de la AEMET indican que no se esperan nuevos frentes de borrascas en los próximos días, por lo que se mantendrá la progresiva reducción de caudales.	
Descripción escueta de las medidas de vigilancia e inspección y de corrección que se prevé adoptar:	
n/a	
Identificación del Director del PEP:	
Dña.: [REDACTED]	
Sistemas de comunicación con el Director del PEP:	
Tfno: [REDACTED]	
Denominación de la zona de inundación asociada a la situación. (Solo si existen varias):	
Momento en que se prevé nueva comunicación, si las circunstancias no cambian:	
n/a	

- Será preceptivo remitir acuse de recibo a la recepción de la presente comunicación.
- Deberá comunicarse el final de la emergencia.

28/01/2026 14:00. DECLARACIÓN ESCENARIO 0. PRESA DEL ARROYO DE LA VENTA. TITULAR: AYUNTAMIENTO DE CERCEDILLA

Localización:



16/02/2026 10:00. DECLARACIÓN FIN ESCENARIO 0. PRESA DEL ARROYO DE LA VENTA. TITULAR: AYUNTAMIENTO DE CERCEDILLA

COMUNICACIÓN DE FINALIZACIÓN DE LA DECLARACIÓN DE ESCENARIO 0 DE CONTROL DE LA SEGURIDAD DE LA PRESA DEL ARROYO DE LA VENTA EL LUNES 16 DE FEBRERO 2026 A LAS 10:00 HORAS

Se comunica la desactivación de la declaración de escenario 0 de control de la seguridad de la presa del Arroyo de la Venta a fecha lunes 16 de febrero 2026 y 10:00 horas, debido al fin del episodio de lluvias continuas e intensas por las continuas borrascas agravadas por deshielos durante las últimas 3 semanas.

El escenario cero (0) se declaró con fecha 28 de enero de 2026, en cumplimiento del actual Plan de Emergencia de la presa del Arroyo de La Venta y han consistido en la realización de actuaciones de comprobación del buen funcionamiento de los sistemas de comunicaciones y alarma y del correcto estado operativo de los desagües e instalaciones del dique, mediante conexiones continuas a los datos registrados en la aplicación SCADA con los parámetros de funcionamiento de la presa (nivel del embalse, mm de precipitación y valores de los piezómetros) e inspecciones visuales periódicas a la presa por el personal responsable de la explotación de la presa del Ayuntamiento de Cercedilla.

El funcionamiento de la presa ha sido correcto, pudiéndose desaguar sin ningún problema por el aliviadero el caudal de entrada del arroyo de La Venta al embalse, con una laminación máxima de 40 cm alcanzada el 10 de febrero de 2026, sin advertirse daños en la presa ni aguas abajo de la misma.

A todos los efectos,

Firmado en Madrid:

[Redacted Signature]

DNI: [Redacted]

Director de Explotación Presa del Arroyo de la Venta del Ayuntamiento de Cercedilla

Tno: [Redacted]

ANEXO III. RELACIÓN COMUNICACIÓN APA

26/01/2026 – 18:06	06/02/2026 – 03:16	12/02/2026 – 0:08
26/01/2026 – 18:49	06/02/2026 – 05:05	12/02/2026 – 1:11
27/01/2026 – 14:23	06/02/2026 – 05:41	12/02/2026 – 1:57
28/01/2026 – 12:14	06/02/2026 – 06:34	12/02/2026 – 2:23
28/01/2026 – 14:44	06/02/2026 – 10:44	12/02/2026 – 3:05
28/01/2026 – 22:48	06/02/2026 – 10:54	12/02/2026 – 11:20
29/01/2026 – 2:26	06/02/2026 – 14:24	12/02/2026 – 11:56
02/02/2026 – 21:09	06/02/2026 – 14:48	12/02/2026 – 15:16
03/02/2026 – 21:33	06/02/2026 – 21:03	12/02/2026 – 19:59
04/02/2026 – 12:24	07/02/2026 – 19:44	13/02/2026 – 01:08
04/02/2026 – 18:52	08/02/2026 – 12:24	13/02/2026 – 06:41
05/02/2026 – 00:38	08/02/2026 – 14:34	14/02/2026 – 00:17
05/02/2026 – 03:32	08/02/2026 – 18:00	14/02/2026 – 00:44
05/02/2026 – 05:11	09/02/2026 – 4:15	14/02/2026 – 06:49
05/02/2026 – 06:20	09/02/2026 – 12:13	14/02/2026 – 11:29
05/02/2026 – 06:38	09/02/2026 – 18:36	14/02/2026 – 12:23
05/02/2026 – 06:59	09/02/2026 – 20:34	14/02/2026 – 13:22
05/02/2026 – 07:27	10/02/2026 – 02:02	14/02/2026 – 14:58
05/02/2026 – 08:44	10/02/2026 – 4:08	15/02/2026 – 01:11
05/02/2026 – 09:21	10/02/2026 – 4:24	15/02/2026 – 04:43
05/02/2026 – 09:36	10/02/2026 – 5:15	15/02/2026 – 06:05
05/02/2026 – 09:50	10/02/2026 – 06:53	15/02/2026 – 23:18
05/02/2026 – 10:19	10/02/2026 – 13:26	16/02/2026 – 1:09
05/02/2026 – 10:41	10/02/2026 – 18:12	17/02/2026 – 7:30
05/02/2026 – 11:11	10/02/2026 – 22:36	17/02/2026 – 8:18
05/02/2026 – 11:41	10/02/2026 – 22:47	17/02/2026 – 10:47
05/02/2026 – 17:22	10/02/2026 – 23:35	18/02/2026 – 01:32
05/02/2026 – 20:37	11/02/2026 – 14:04	18/02/2026 – 4:49
05/02/2026 – 21:54	11/02/2026 – 14:20	18/02/2026 – 14:29
05/02/2026 – 22:56	11/02/2026 - 17:32	
06/02/2026 – 02:56	11/02/2026 – 19:46	

ANEXO IV. RELACIÓN REUNIONES PROTECCIÓN CIVIL

REUNIONES UVR

27/01/2026 19:30 Reunión Unidad de Valoración de Riesgos (UVR) – CENEM
28/01/2026 11:00 Reunión Unidad de Valoración de Riesgos (UVR) – CENEM
28/01/2026 19:30 Reunión Unidad de Valoración de Riesgos (UVR) – CENEM
29/01/2026 13:00 Reunión Unidad de Valoración de Riesgos (UVR) – CENEM
30/01/2026 13:00 Reunión Unidad de Valoración de Riesgos (UVR) – CENEM
03/02/2026 13:00 Reunión Unidad de Valoración de Riesgos (UVR) – CENEM
03/02/2026 19:30 Reunión Unidad de Valoración de Riesgos (UVR) – CENEM
04/02/2026 13:00 Reunión Unidad de Valoración de Riesgos (UVR) – CENEM
04/02/2026 19:30 Reunión Unidad de Valoración de Riesgos (UVR) – CENEM
05/02/2026 13:00 Reunión Unidad de Valoración de Riesgos (UVR) – CENEM
05/02/2026 19:30 Reunión Unidad de Valoración de Riesgos (UVR) – CENEM
06/02/2026 12:15 Reunión Unidad de Valoración de Riesgos (UVR) – CENEM
06/02/2026 19:30 Reunión Unidad de Valoración de Riesgos (UVR) – CENEM
07/02/2026 09:00 Reunión Unidad de Valoración de Riesgos (UVR) – CENEM
07/02/2026 13:00 Reunión Unidad de Valoración de Riesgos (UVR) – CENEM
07/02/2026 19:30 Reunión Unidad de Valoración de Riesgos (UVR) – CENEM
09/02/2026 13:00 Reunión Unidad de Valoración de Riesgos (UVR) – CENEM
09/02/2026 19:30 Reunión Unidad de Valoración de Riesgos (UVR) – CENEM
10/02/2026 13:00 Reunión Unidad de Valoración de Riesgos (UVR) – CENEM
10/02/2026 19:30 Reunión Unidad de Valoración de Riesgos (UVR) – CENEM
11/02/2026 13:00 Reunión Unidad de Valoración de Riesgos (UVR) – CENEM
11/02/2026 19:30 Reunión Unidad de Valoración de Riesgos (UVR) – CENEM
12/02/2026 13:00 Reunión Unidad de Valoración de Riesgos (UVR) – CENEM
12/02/2026 19:30 Reunión Unidad de Valoración de Riesgos (UVR) – CENEM
13/02/2026 13:00 Reunión Unidad de Valoración de Riesgos (UVR) – CENEM
13/02/2026 19:30 Reunión Unidad de Valoración de Riesgos (UVR) – CENEM
14/02/2026 13:00 Reunión Unidad de Valoración de Riesgos (UVR) – CENEM

REUNIONES CON CCAA

28/01/2026 11:30 Reunión CECOP del Plan PLATERCAEX – EXTREMADURA
28/01/2026 14:00 Reunión Comité asesor de ASEM-112
04/02/2026 9:00 Reunión Informativa ASEM – Municipios CAM - Madrid
04/02/2026 20:00 Reunión CECOP Autonómico del Plan INUNCAEX – EXTREMADURA
05/02/2026 10:00 Reunión CECOP Autonómico del Plan INUNCAEX - EXTREMADURA
05/02/2026 20:00 Reunión CECOP Autonómico del Plan INUNCAEX – EXTREMADURA
06/02/2026 10:30 Reunión CECOP Autonómico del Plan INUNCAEX - EXTREMADURA
06/02/2026 20:00 Reunión CECOP Autonómico del Plan INUNCAEX - EXTREMADURA
07/02/2026 09:00 Reunión CECOP PRICAM– CLM
07/02/2026 10:30 Reunión CECOP Autonómico del Plan INUNCAEX – EXTREMADURA
07/02/2026 20:00 Reunión CECOP Autonómico del Plan INUNCAEX- EXTREMADURA
09/02/2026 14:00 Reunión informativa ASEM. MADRID
11/02/2026 20:00 Reunión del CECOPI. PRICAM – Situación operativa 2- CLM
13/02/2026 09:00 Reunión del CECOPI. PRICAM – Situación operativa 2- CLM
14/02/2026 10:00 Reunión CECOP Autonómico del Plan INUNCAEX- EXTREMADURA
15/02/2026 13:00 Reunión CECOPI PRICAM – CLM